



Master d'Informatique ITI Initiation au Traitement d'Images

image Landsat - désert d'Australie

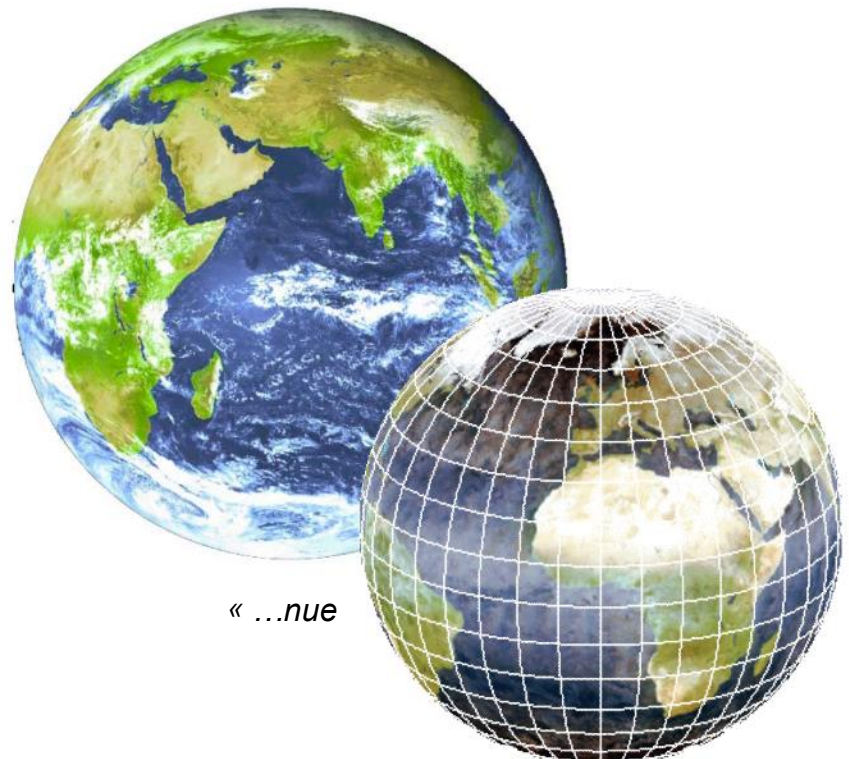


Une histoire d'amours

Léna



La Terre



« ...nue

ou habillée... »



Table des matières

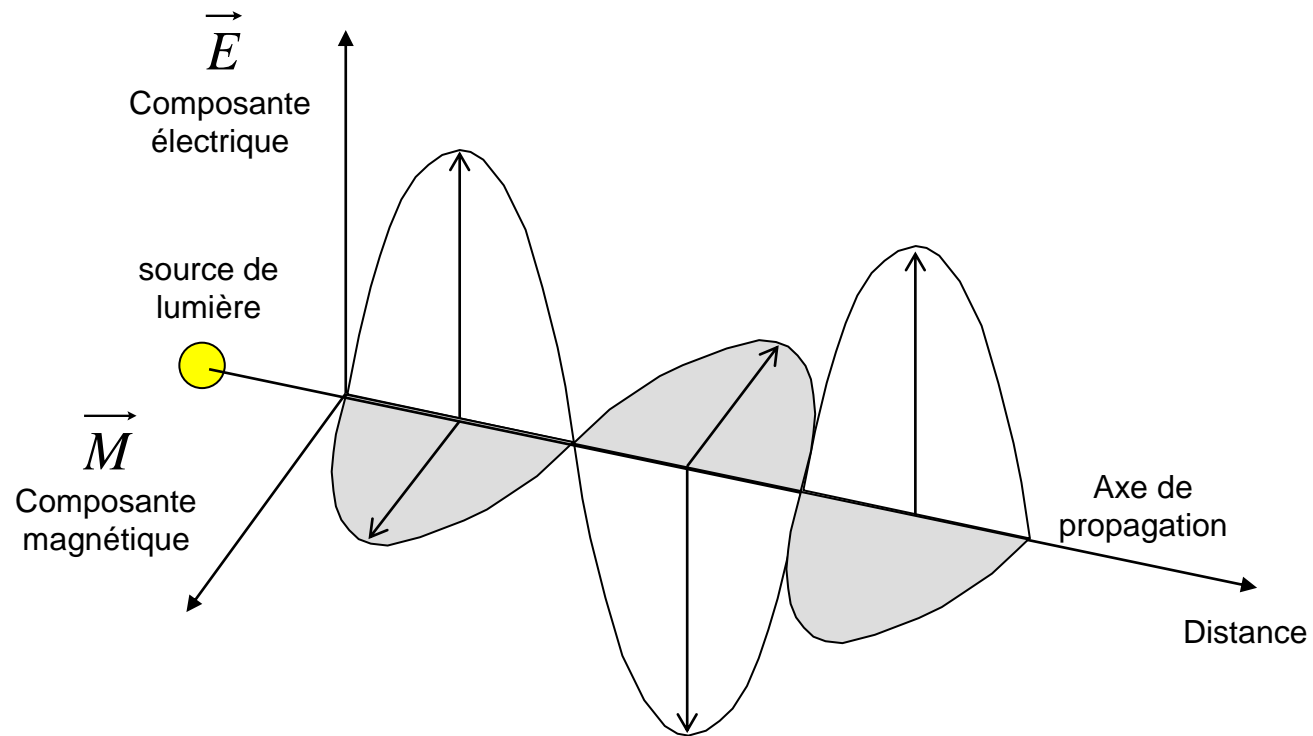
- [Physique de la lumière](#)
- [Physique de l'acquisition](#)
- [Représentation et format des données](#)
- [Visualisation d'images sous X-Window](#)
- [Pseudo-couleurs et compositions colorées](#)
- [Ratios et indices normalisés](#)
- [Distributions et statistiques](#)
- [Traitement radiométrique global par transformation d'histogrammes](#)
- [Traitement radiométrique par filtrage](#)
- [Traitement géométrique](#)
- [Bibliographie](#)



● Physique de la lumière

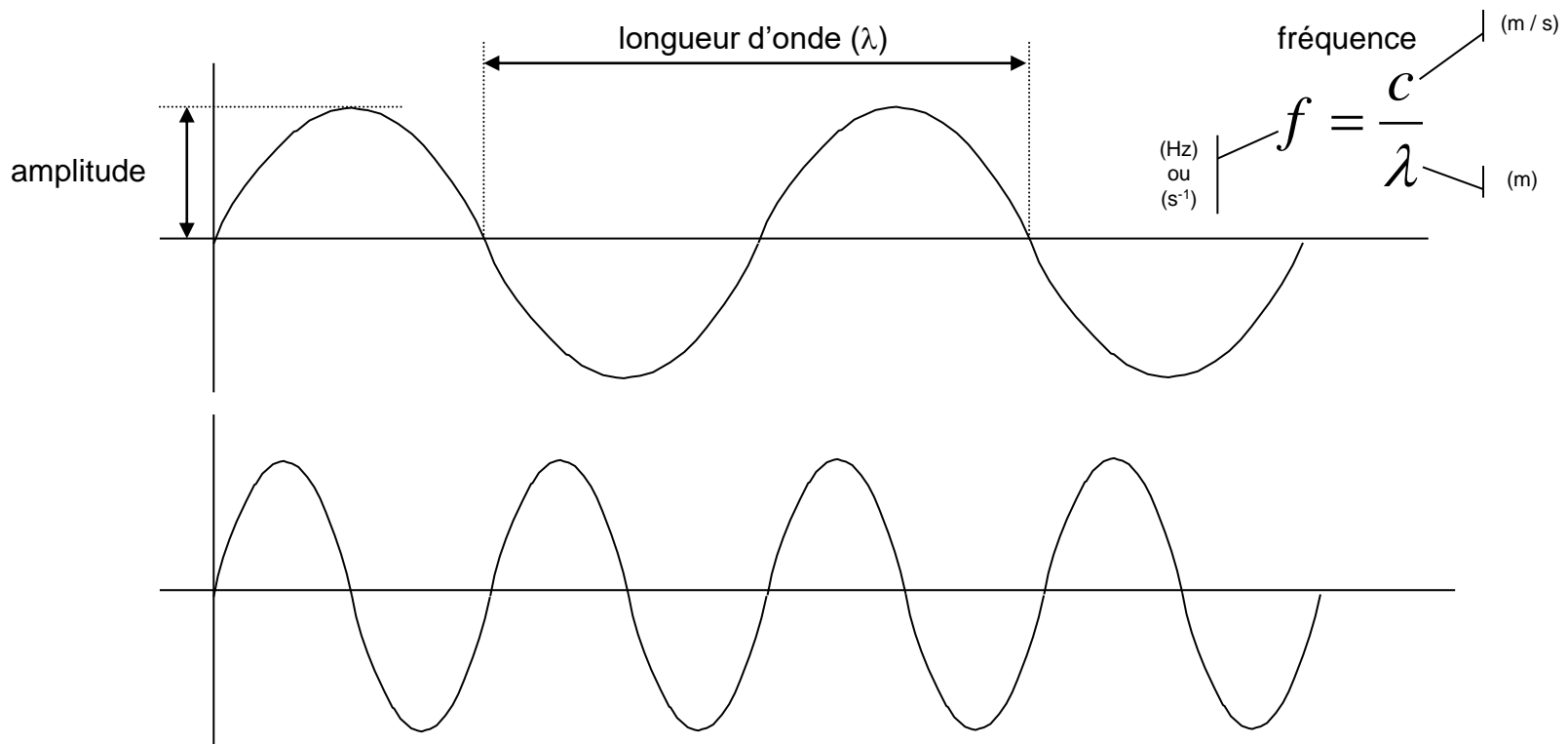
- radiation / onde / spectre électromagnétiques
- transmission à travers l'atmosphère
- interaction lumière / matière
- synthèse additive / soustractive

◆ La radiation électromagnétique





➊ L'onde électromagnétique

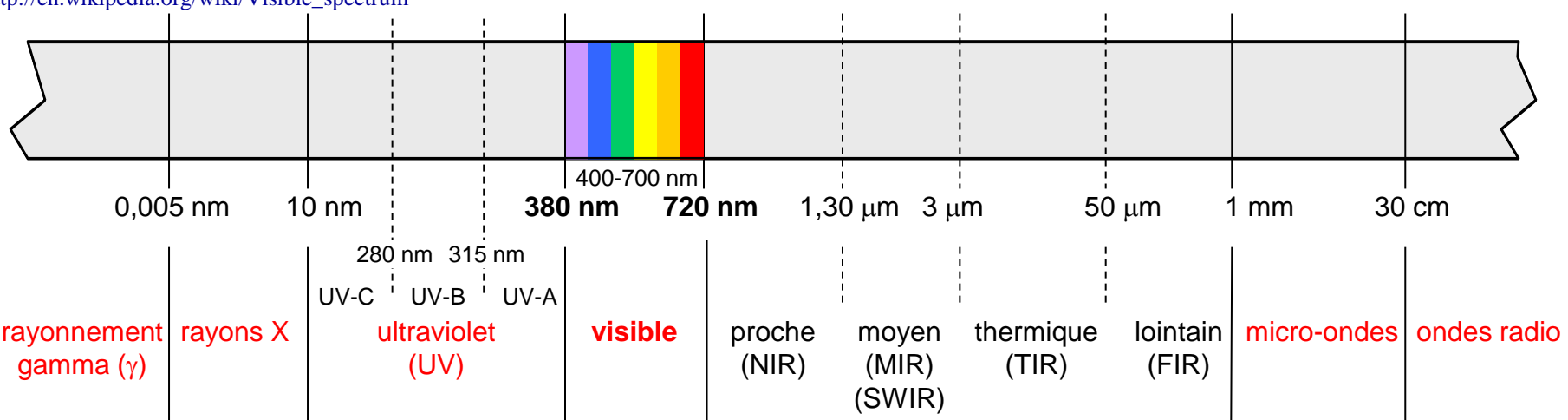
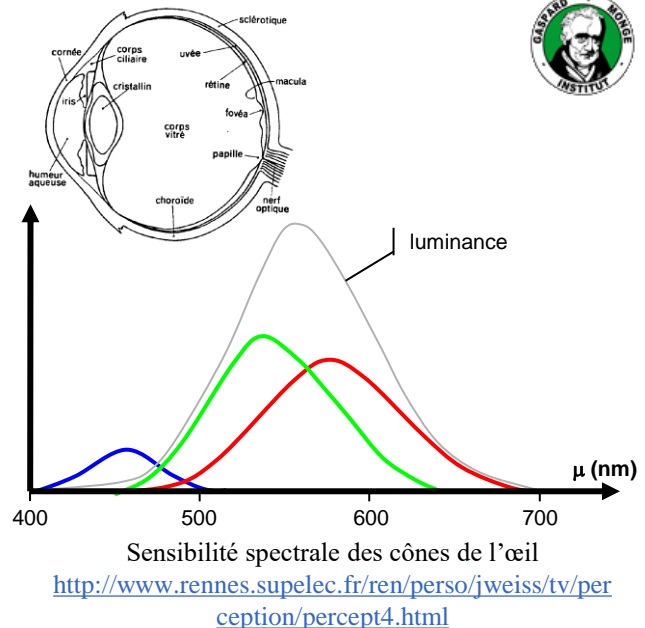
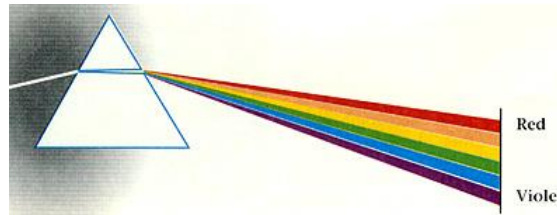




Le spectre électromagnétique



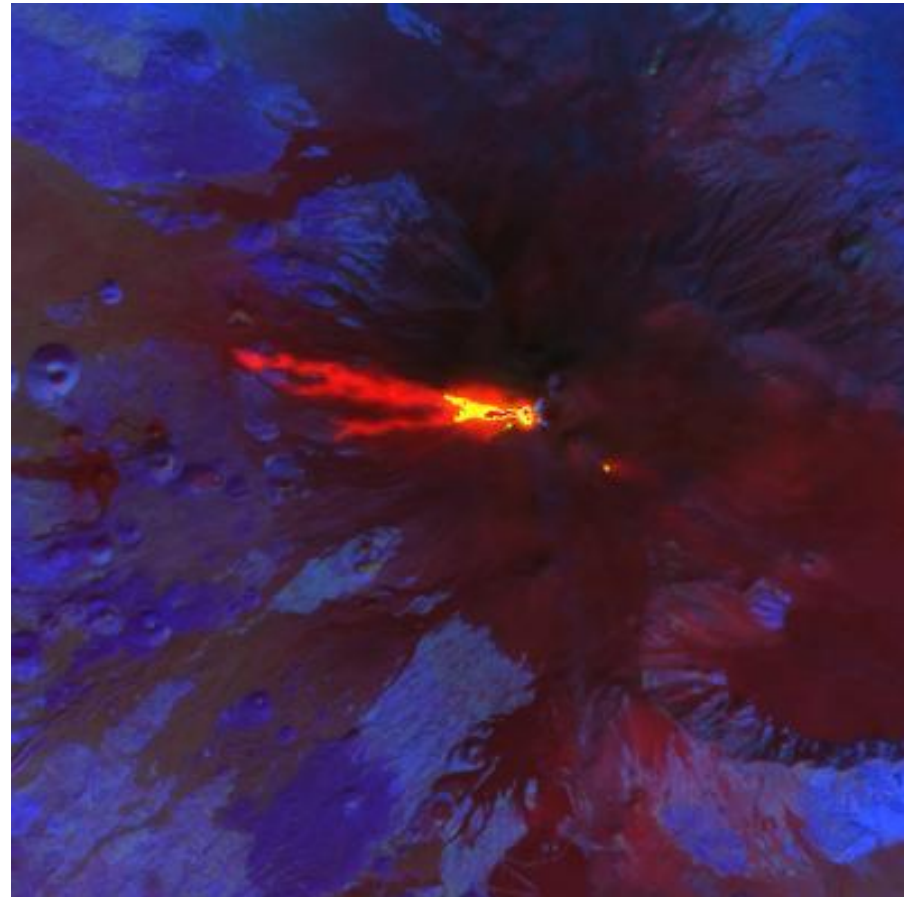
http://en.wikipedia.org/wiki/Visible_spectrum



$$\text{Energie du photon: } E = h \times v$$

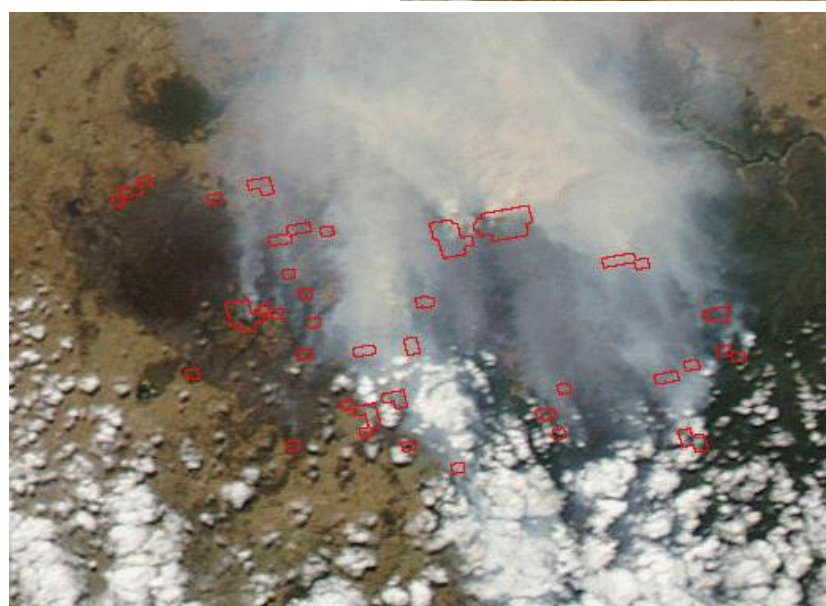
Constante de Planck: $h = 6,626\,068\,96 \times 10^{-34} \text{ J.s}$

❖ Application en observation de la Terre



Vue de l'éruption d'un volcan.

http://igett.delmar.edu/08/Resources/NASA_Landsat_Intro/Geospatial+Landsat_Allen_2007.ppt



B-V-R



VIS-NIR-SWIR

<http://www-igm.univ-mlv.fr/~riazano/>
version 2.09

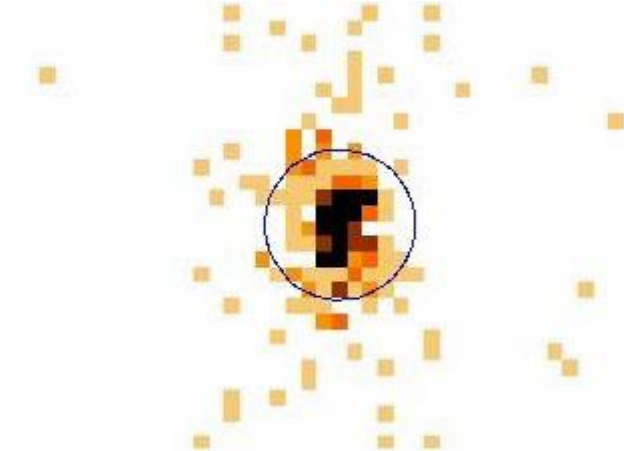
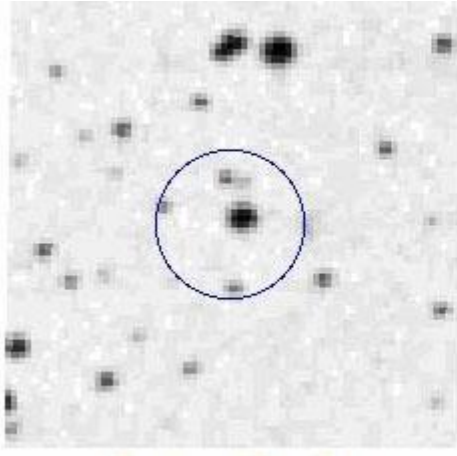


Incendie en Australie (Barry Mountains of central Victoria) le 2 février 2009.

<http://earthobservatory.nasa.gov/IOTD/view.php?id=36979>



❖ Application en astronomie



Images acquises par XMM-Newton dans le spectre visible (gauche) et Rayons-X (droit).

Vue de la supernova «V598 Puppis». Crédit ESA.

http://www.esa.int/esaSC/SEMH9HWIPIF_index_0.html



Images acquises par XMM-Newton de la pépinière d'étoiles «NGC 346» dans la Constellation de Magellan. Crédit ESA.

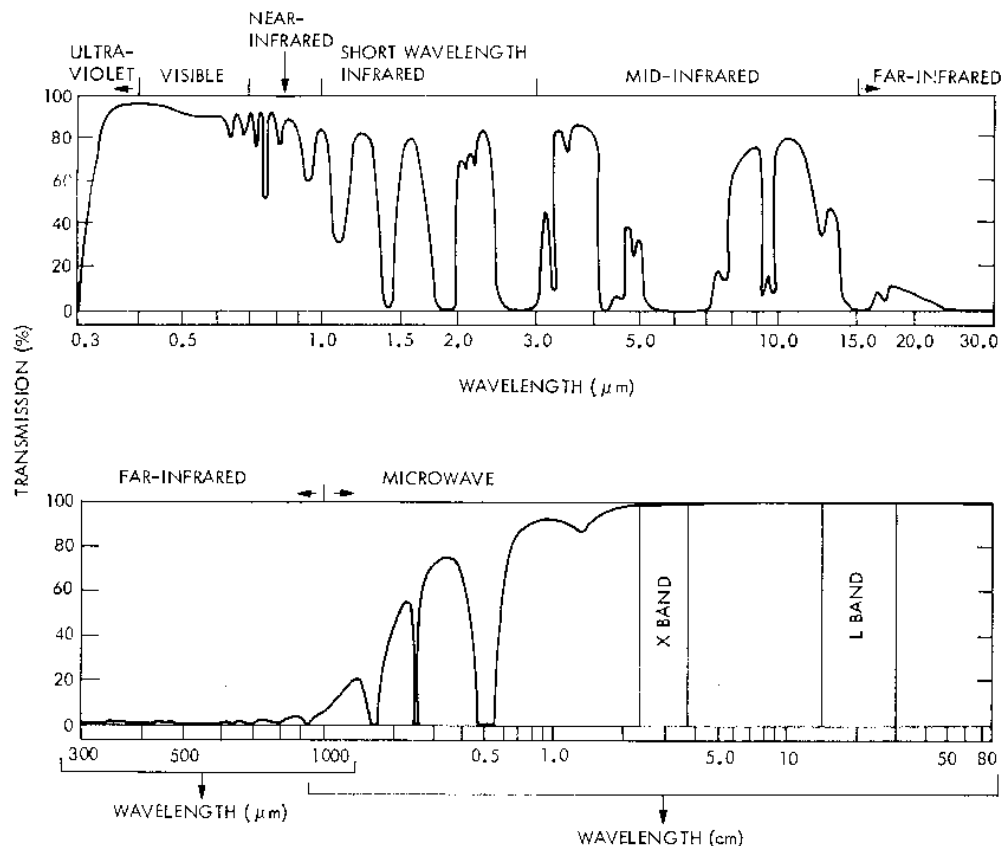
Composition colorée:

- Rouge: rayonnement infrarouge
- Vert: visible (gaz interstellaire)
- Bleu: rayons X (étoiles à hautes énergie)

http://www.esa.int/esaCP/SEMLKL4N0MF_index_0.html



◆ Transmission à travers l'atmosphère au zénith



*Manual of Remote Sensing –
Second edition – American
Society of Photogrammetry –
1983, vol. I, fig. 13-1, page 572.*



➊ Rayonnement du « corps noir »

■ Loi de Stefan-Boltzmann

Corps noir: Source d'énergie idéale absorbant toute radiation incidente (aucune réflexion) et émettant intégralement l'énergie résultant d'une élévation de sa température.

$$W = \sigma \times T^4$$

W radiation totale émise (W.m^{-2})

T température absolue (K)

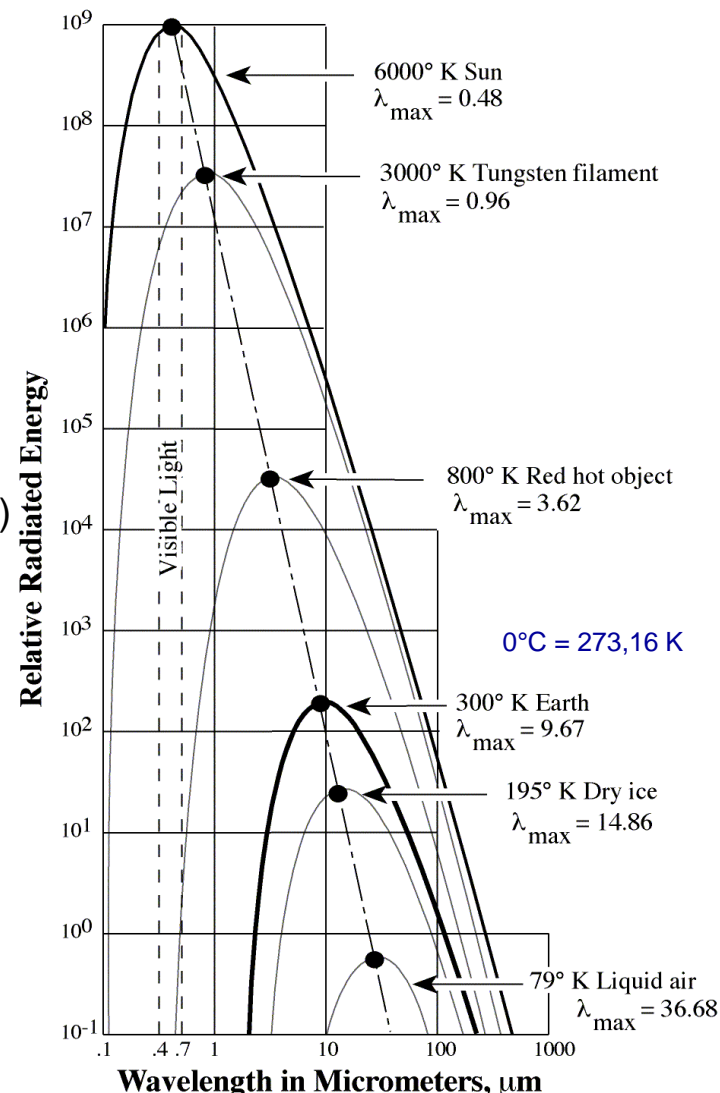
s constante de Boltzmann ($5.6697 \cdot 10^{-8} \text{ W.m}^{-2}.K^{-4}$)

■ Loi de Wien

$$\lambda = 2897,8 / T$$

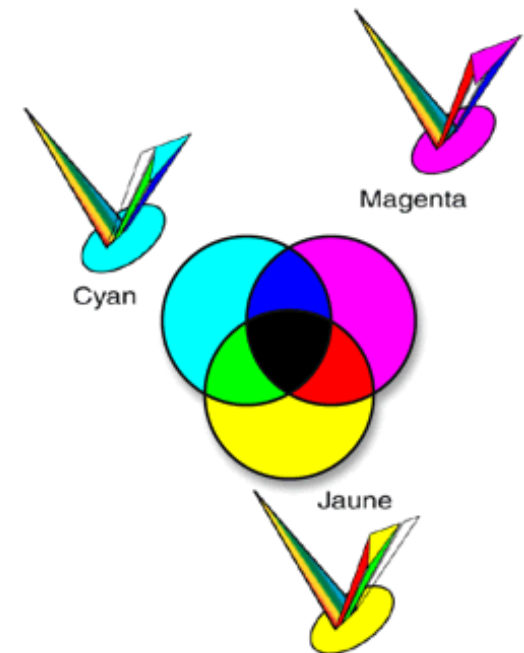
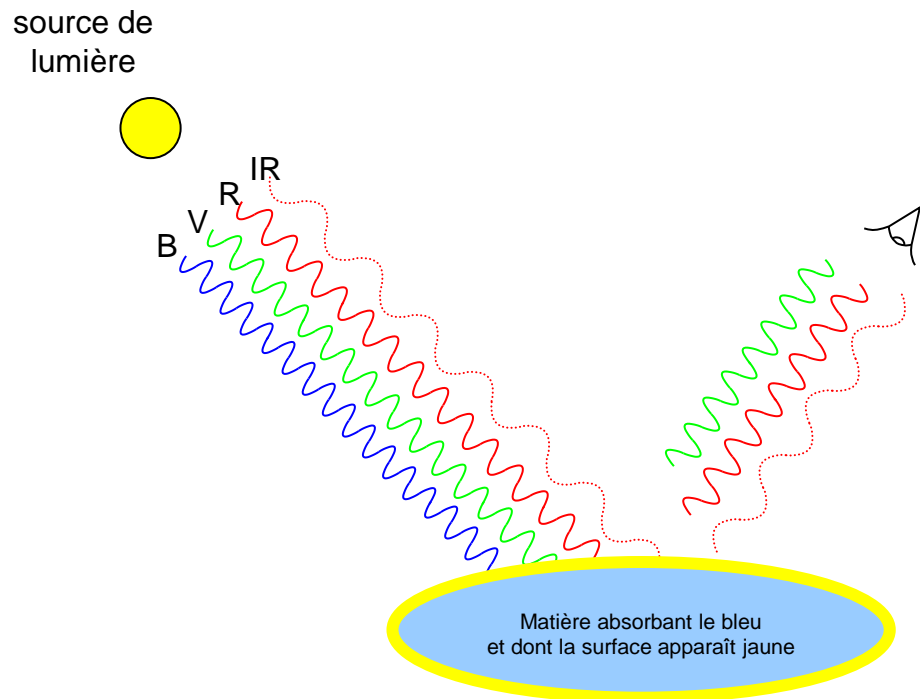
λ longueur d'onde pour laquelle la radiance est maximale (m)

T température absolue (K)



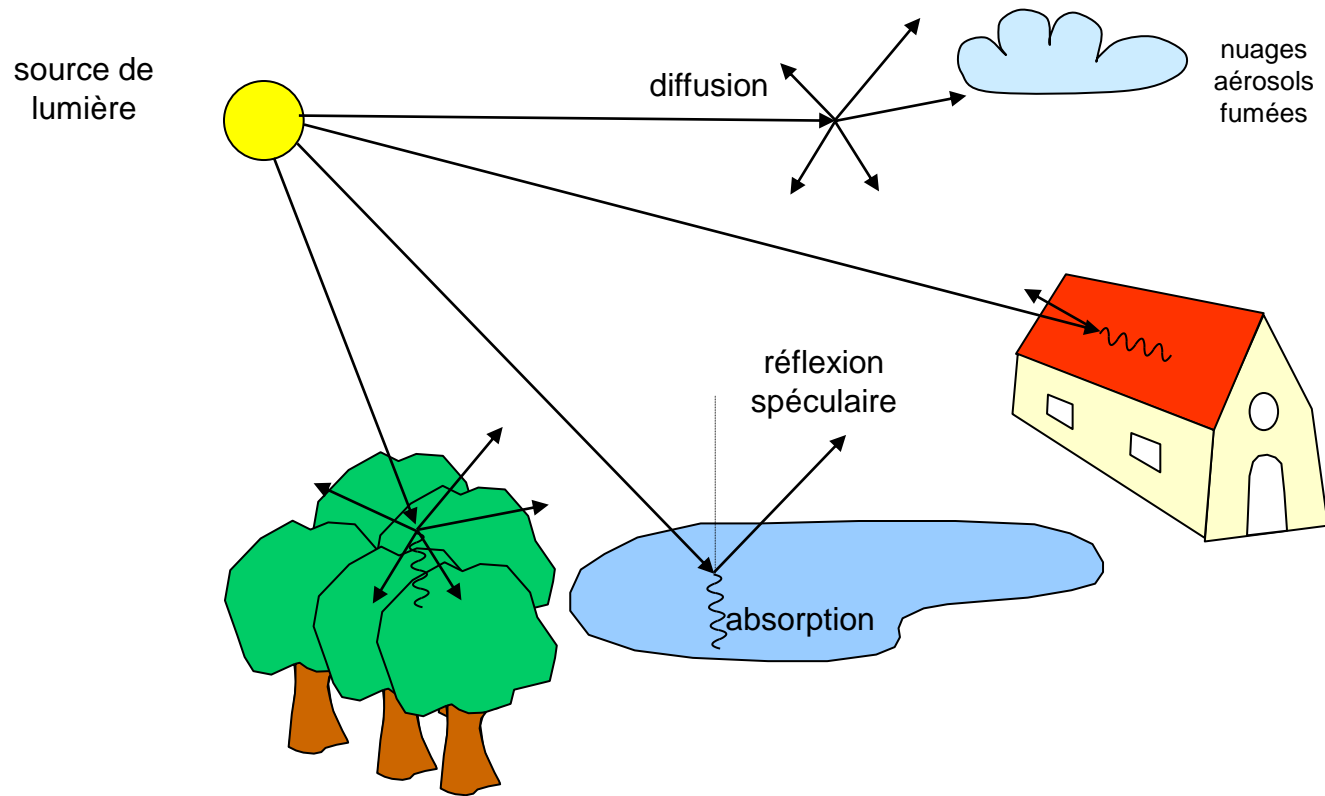


❖ Interaction de la lumière avec la matière





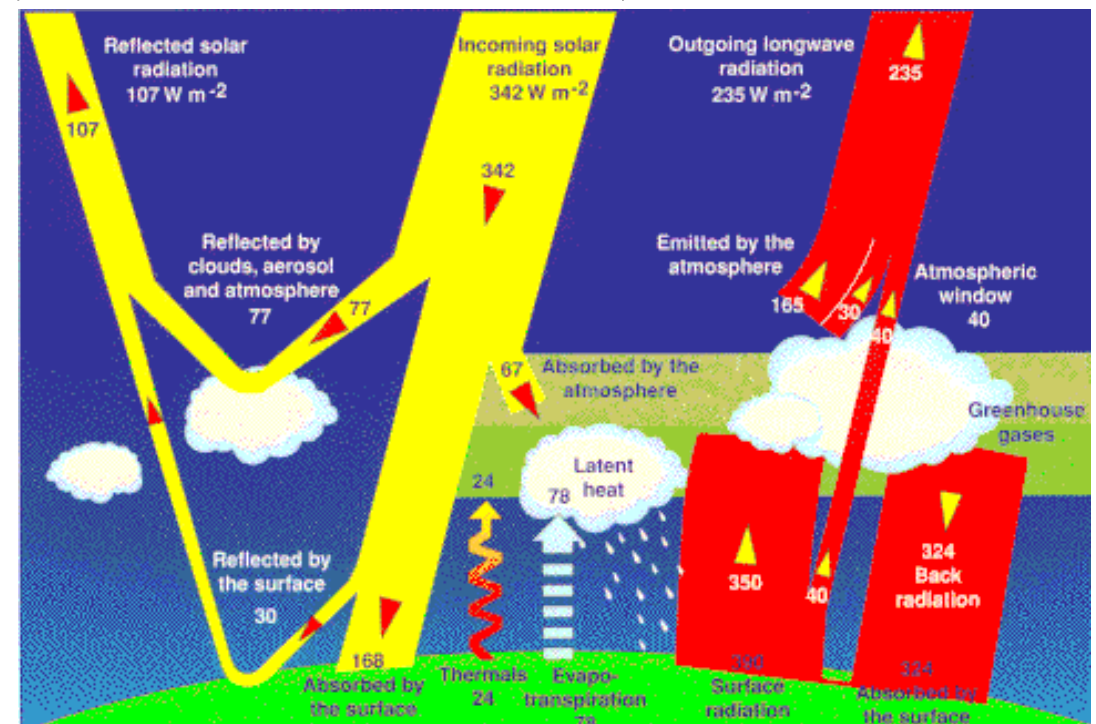
◆ Réflexion, absorption et diffusion de la lumière





◆ Bilan de radiation

$$\text{albedo} = \frac{\text{énergie réfléchie}}{\text{énergie incidente}}$$

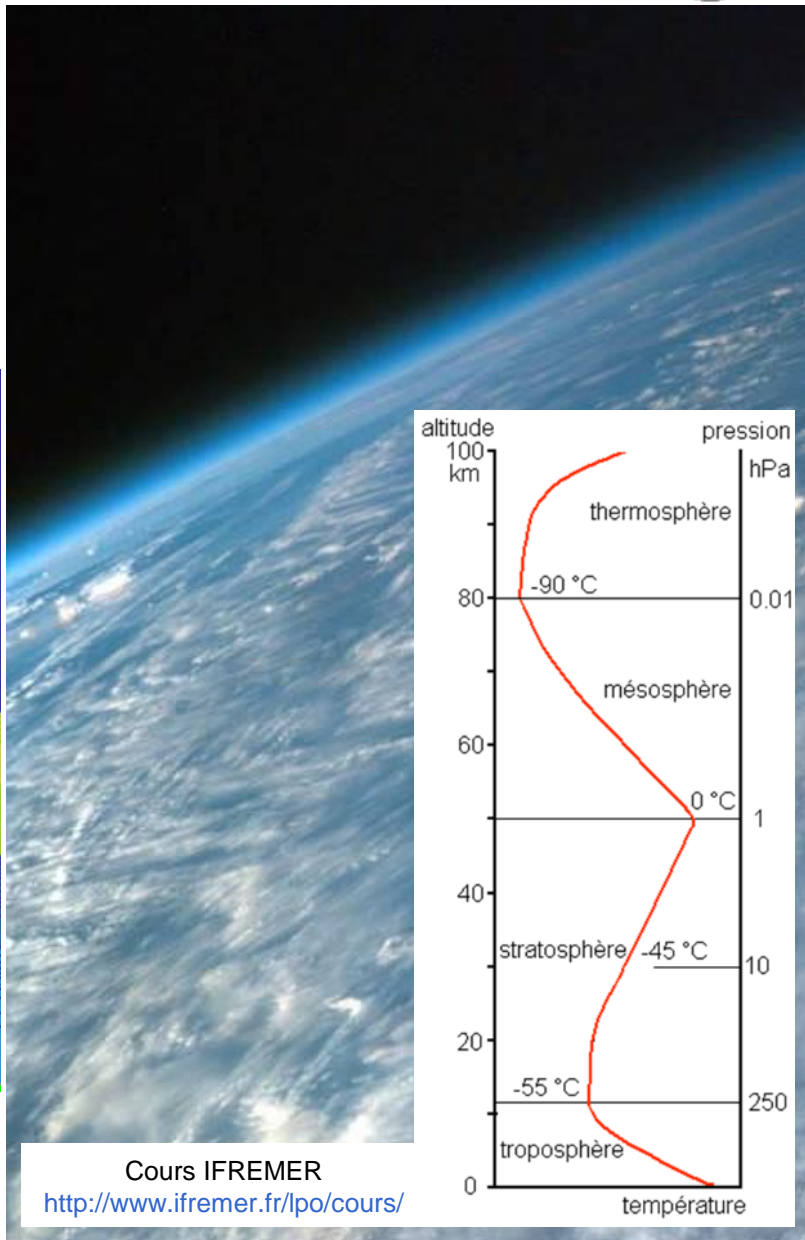


Exemple de mesure effectuée par l'instrument CERES (plate-forme TRMM et EOS Terra)

http://asd-www.larc.nasa.gov/ceres/brochure/clouds_and_energy.html

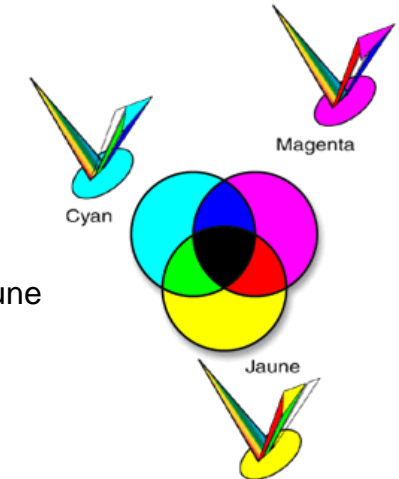
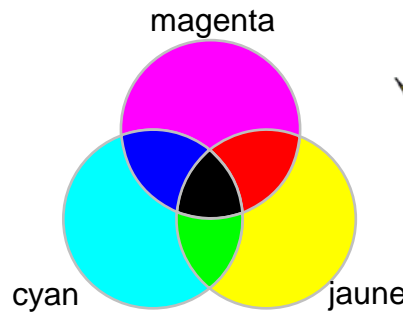
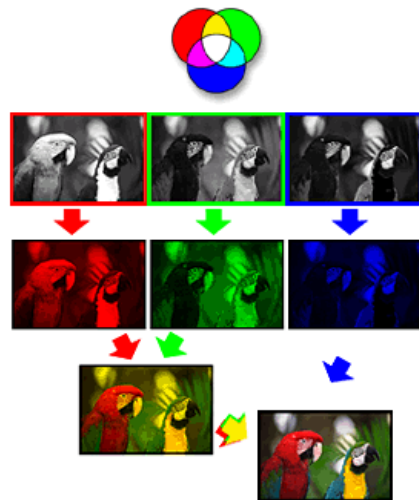
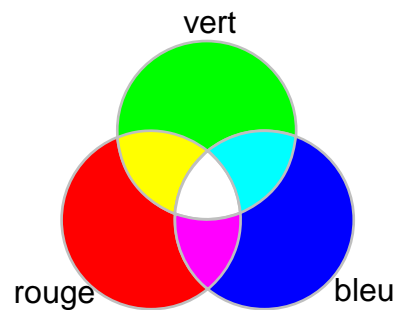
<http://www-igm.univ-mlv.fr/~riazano/>

version 2.09





◆ Synthèse par addition et par soustraction



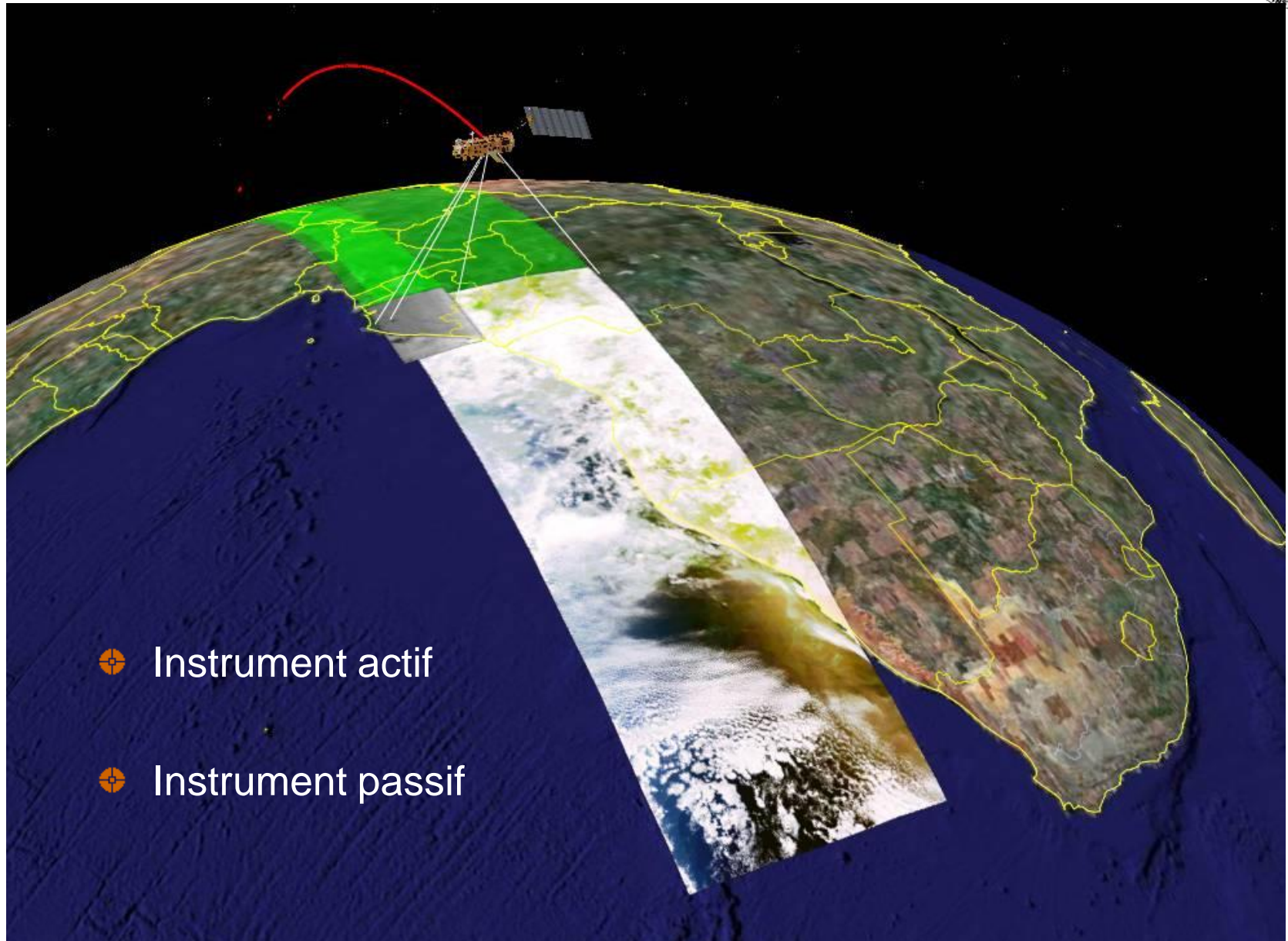
Ajout des couleurs primaires
Mélange de lumières
(œil, CCD...)

Soustraction des couleurs primaires
Mélange de pigments
(absorption, imprimantes jet d'encre...)



● Physique de l'acquisition

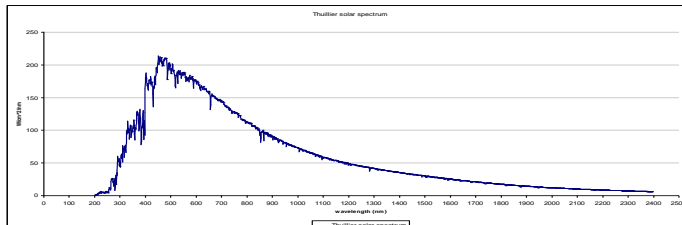
- instrument passif / actif
- résolution spatiale / fréquentielle
- rapport signal sur bruit – quelques bruits
- satellites et instruments – géométrie de prise de vues



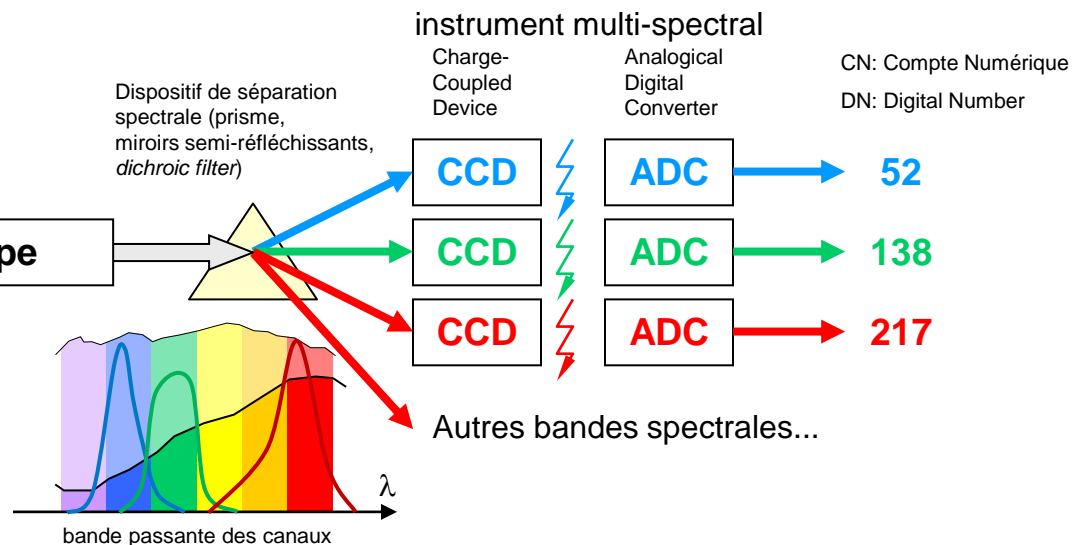
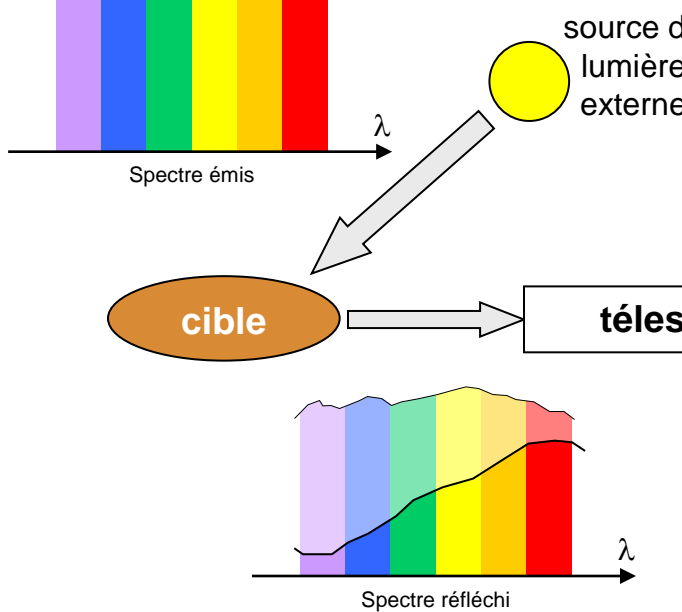
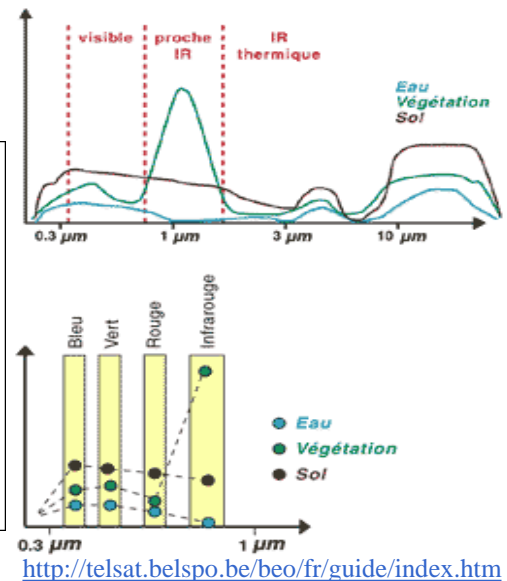
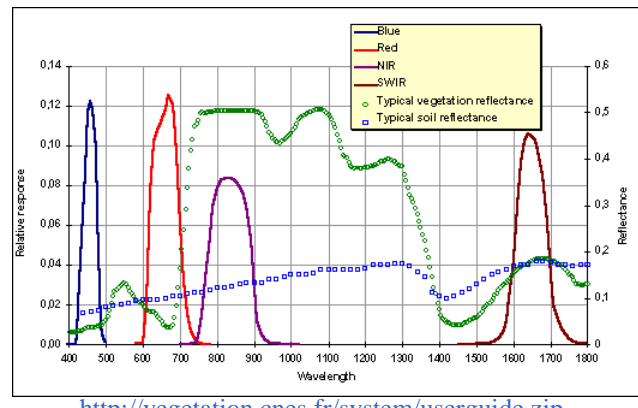
- Instrument actif
- Instrument passif



Instrument passif



Thuillier (2003) solar spectrum - wavelength range 200 - 2397 nm
 Thuillier, G., M. Hersé, P. C. Simon, D. Labs, H. Mandel, D. Gillotay, and T. Foujols, 2003, "The solar spectral irradiance from 200 to 2400 nm as measured by the SOLSPEC spectrometer from the ATLAS 1-2-3 and EURECA missions, Solar Physics, 214(1): 1-22
http://oceancolor.gsfc.nasa.gov/DOCS/RSR_tables.html

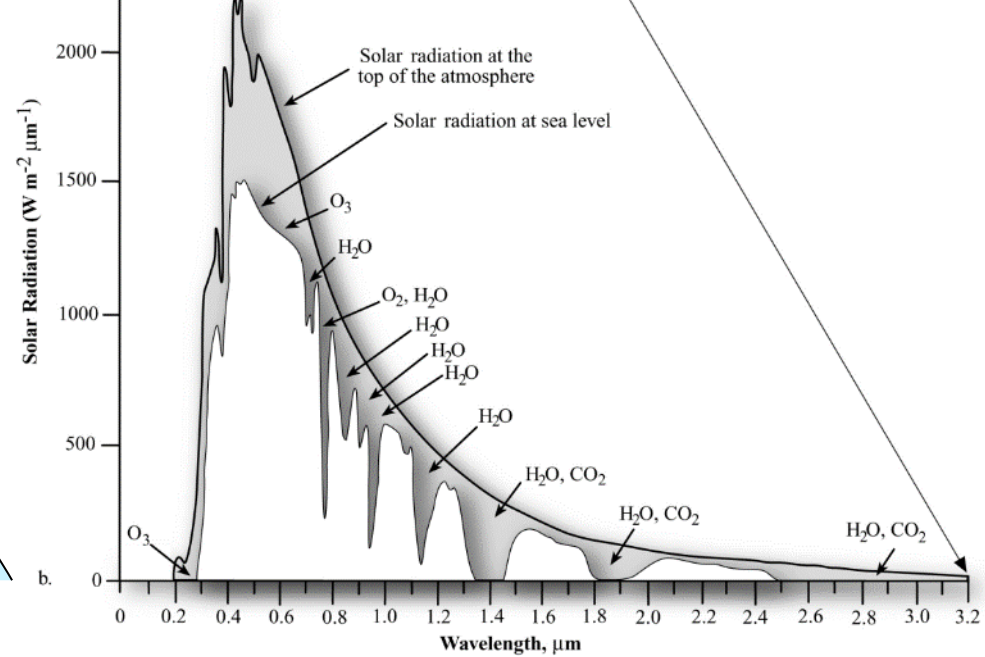
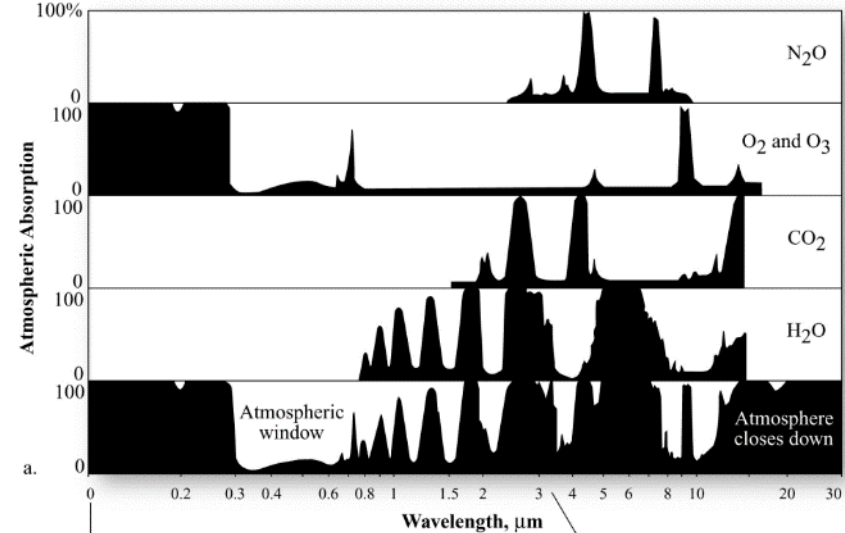
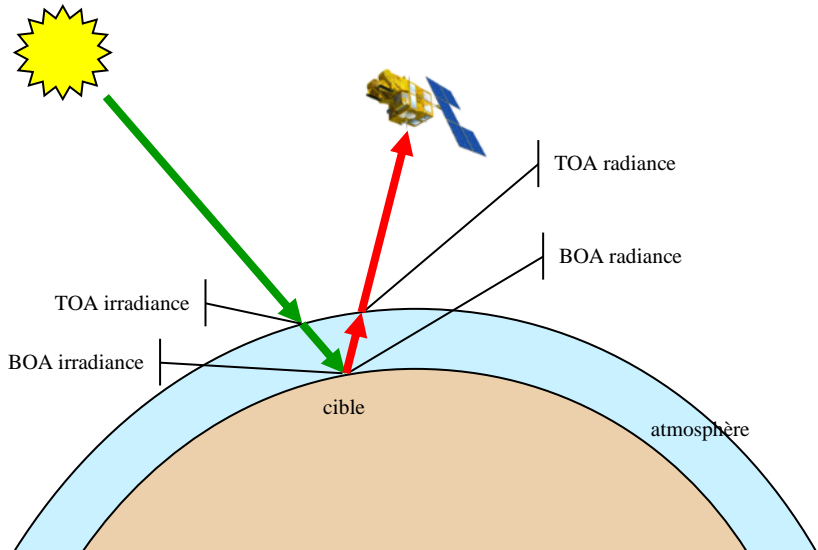




Absorption et transmission dans l'atmosphère

JENSEN-2007

“Principles of Remote Sensing” tutorial
University of South Carolina
Center for GIS and Remote Sensing
<http://www.cas.sc.edu/geog/rslab/551/index.html>



Calibration

- avant vol
- à-bord (courant d'obscurité, étoiles)
- à partir de données de terrain

mesure_physique = F (CN,données_auxiliaires)

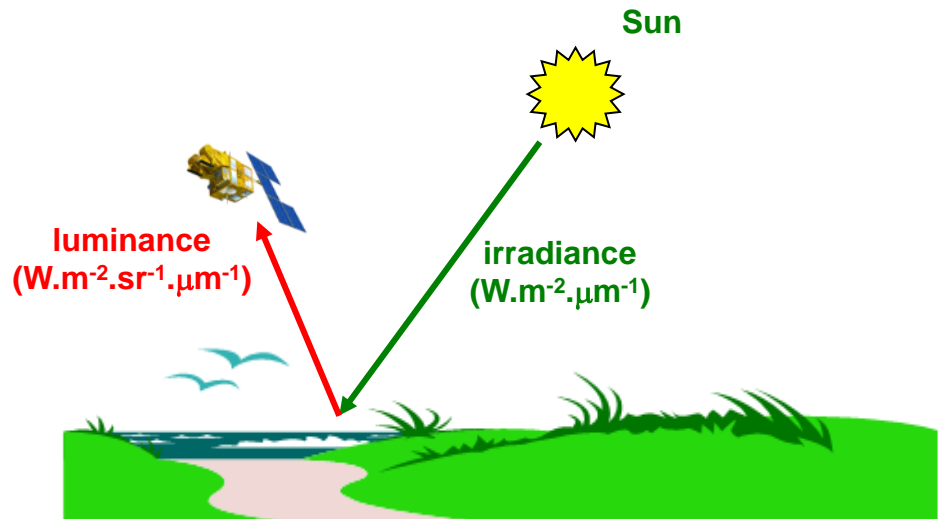
Exemples:

$$\text{radiance} = A \times \text{CN} + B$$

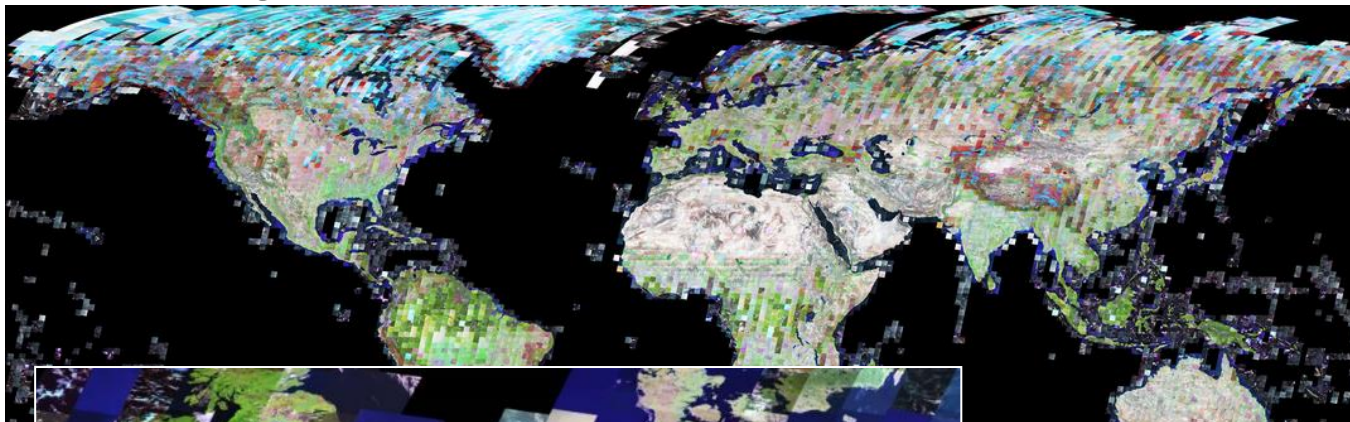
$$\text{température} = A \times \log(C \times \text{CN}) + B$$



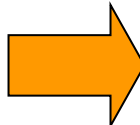
Irradiance solaire et luminance



◆ Egalisation des radiométries – Les mosaïques



Mosaïque Landsat-7 ETM+ produite le 31/12/2000
http://landsat.usgs.gov/gallery_view.php?category=grayflag&thesort=mainTitle
http://landsat.usgs.gov/images/gallery/89_L.jpg





❖ Exemples



léná

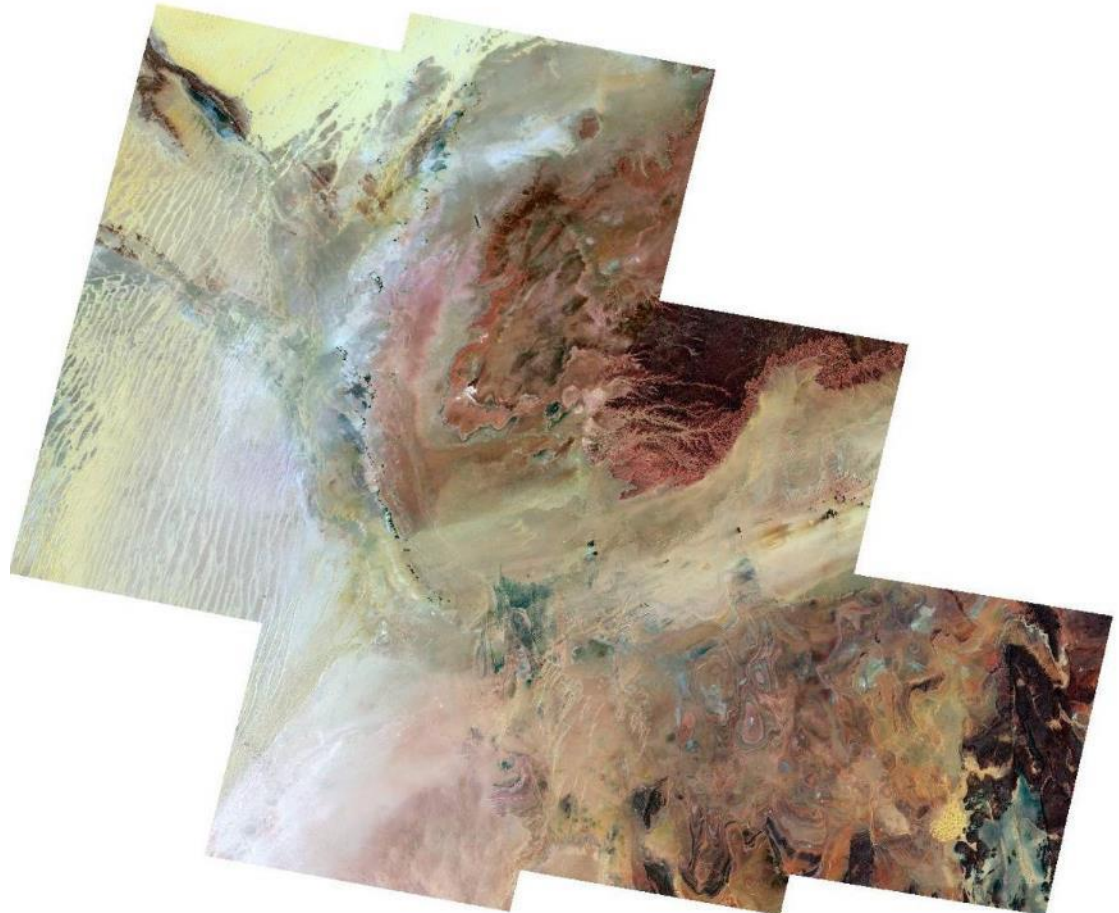
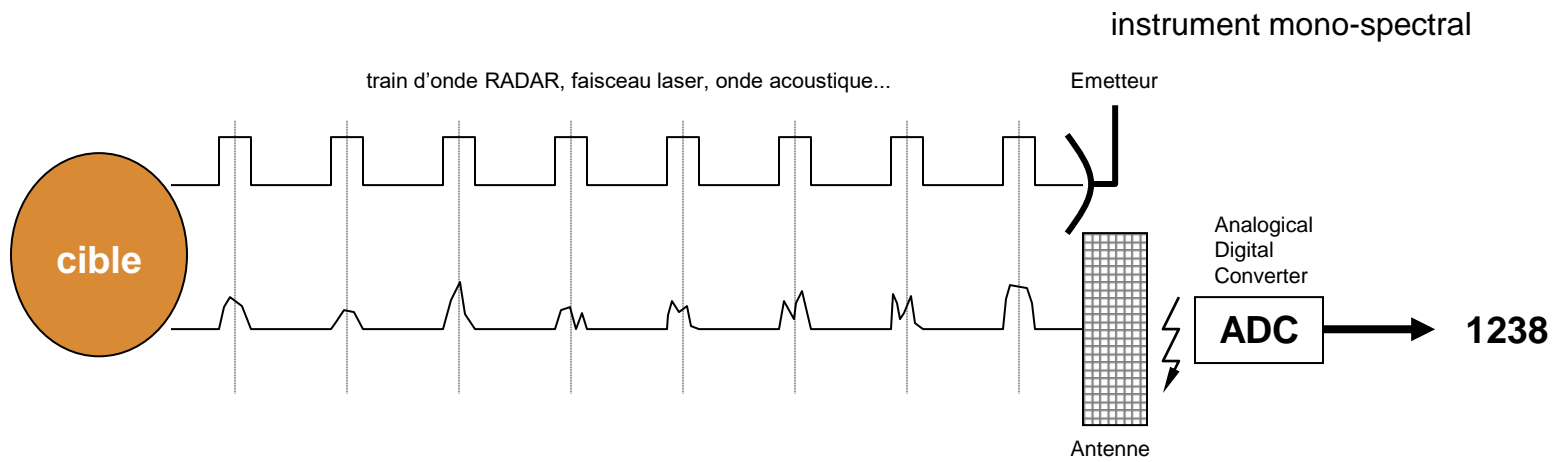


image Landsat ETM+ du sud de l'Algérie

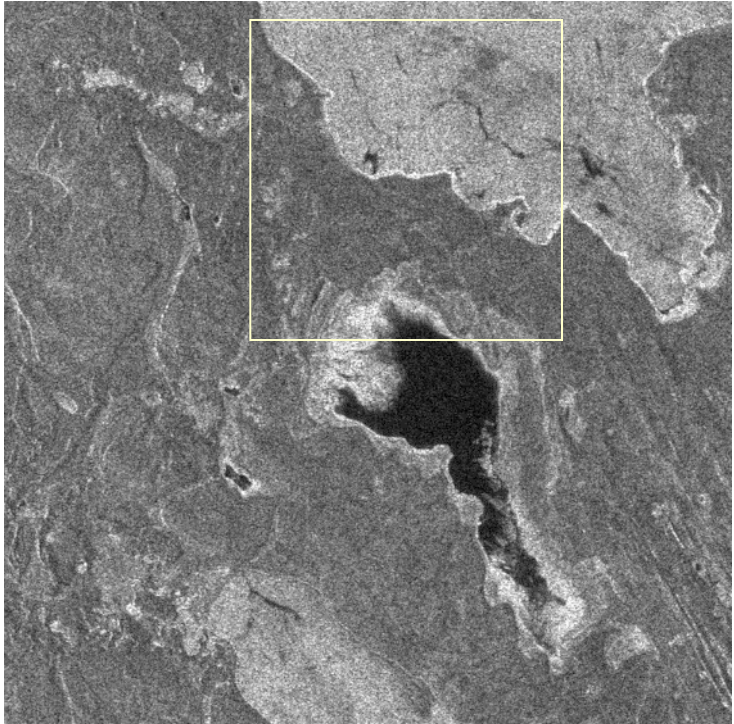


● Instrument actif

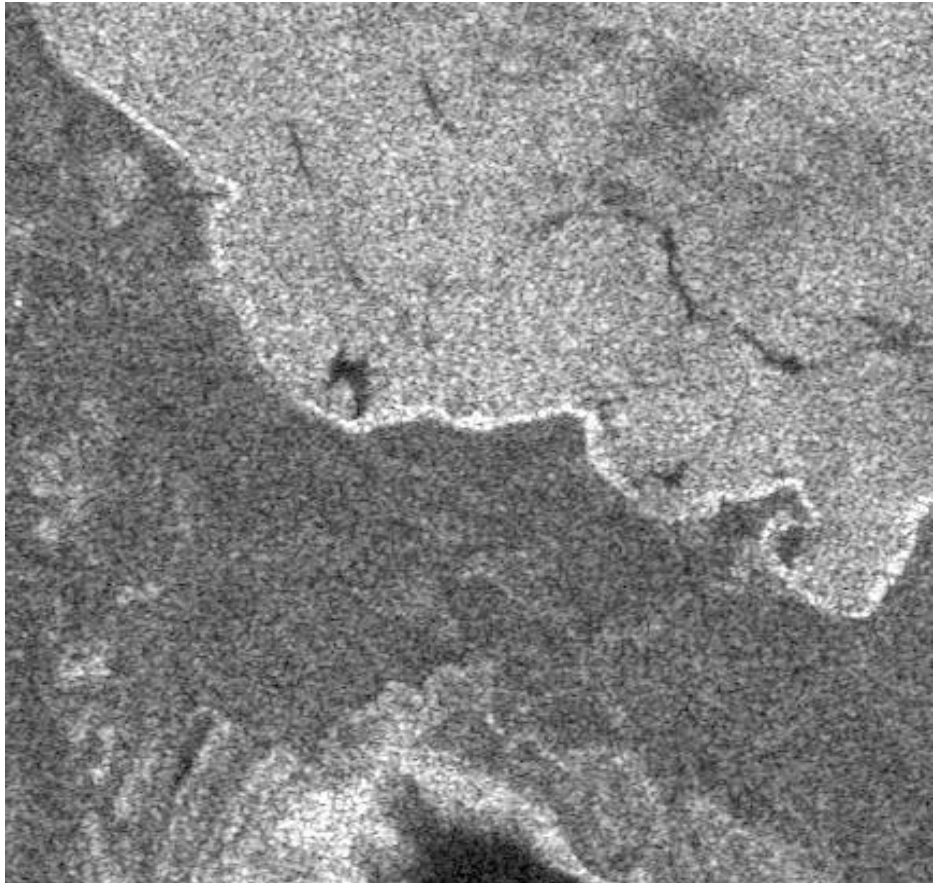


Cours détaillé en [SR-RADAR-COURS-01-01.ppt](#)

■ Exemple 1 – ERS Patagonie

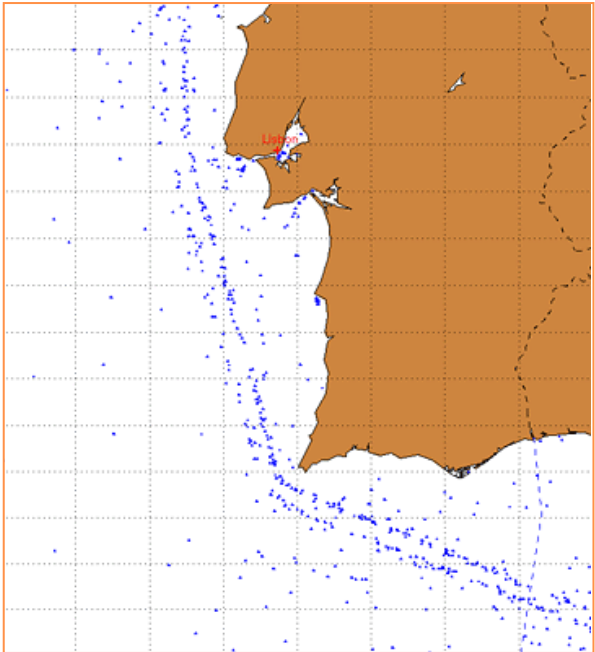


Radar ERS Patagonie





■ Exemple 2



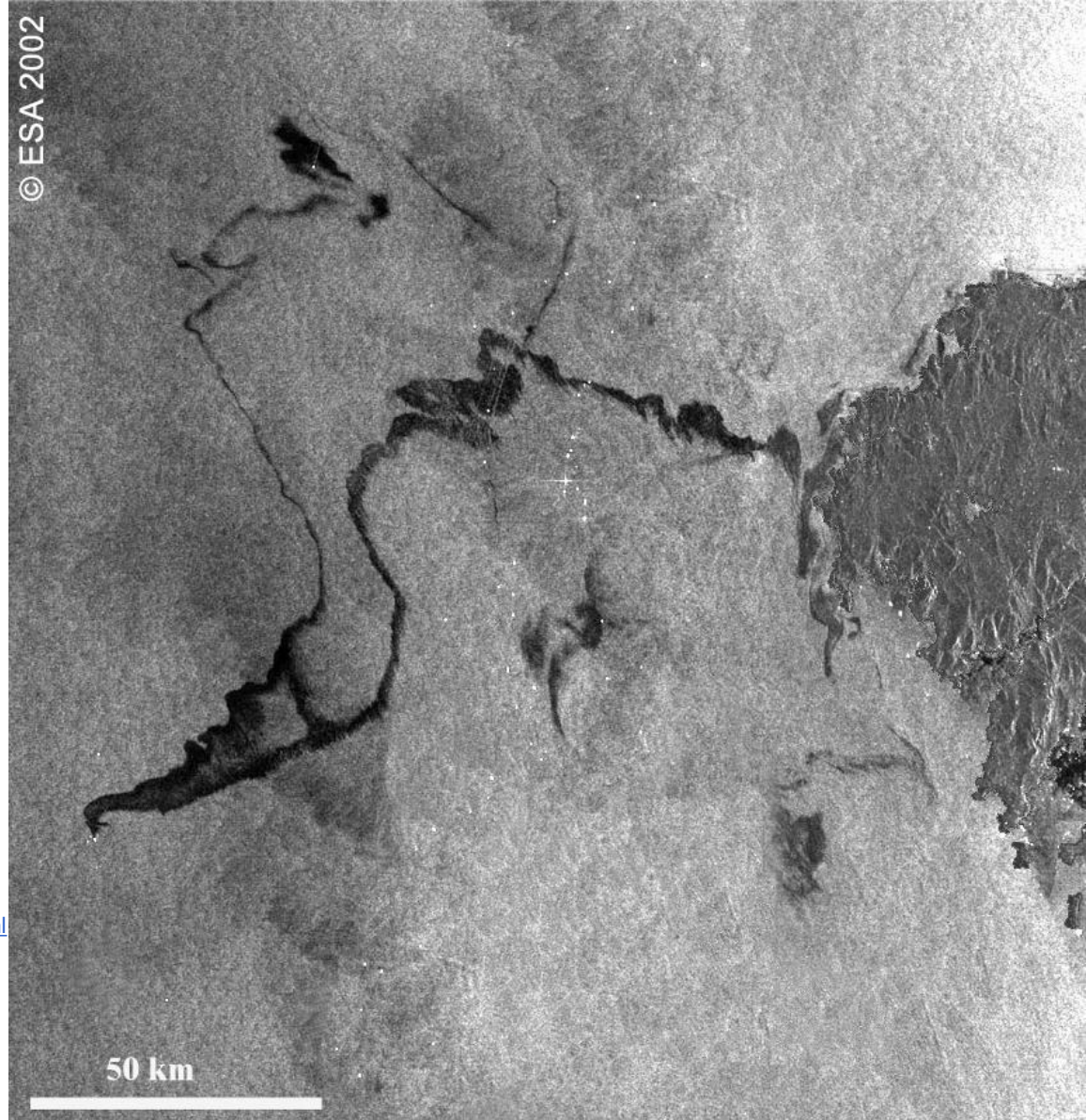
Repérage des navires par ASAR

Effet du changement de route maritime entre Cap Roca and et Cap São Vincent au 1^{er} juillet 2005

http://www.esa.int/esaEO/SEMBDI0OWUF_index_0.html

Naufrage du « Prestige ».
Image Envisat ASAR
acquise le 20 novembre 2002

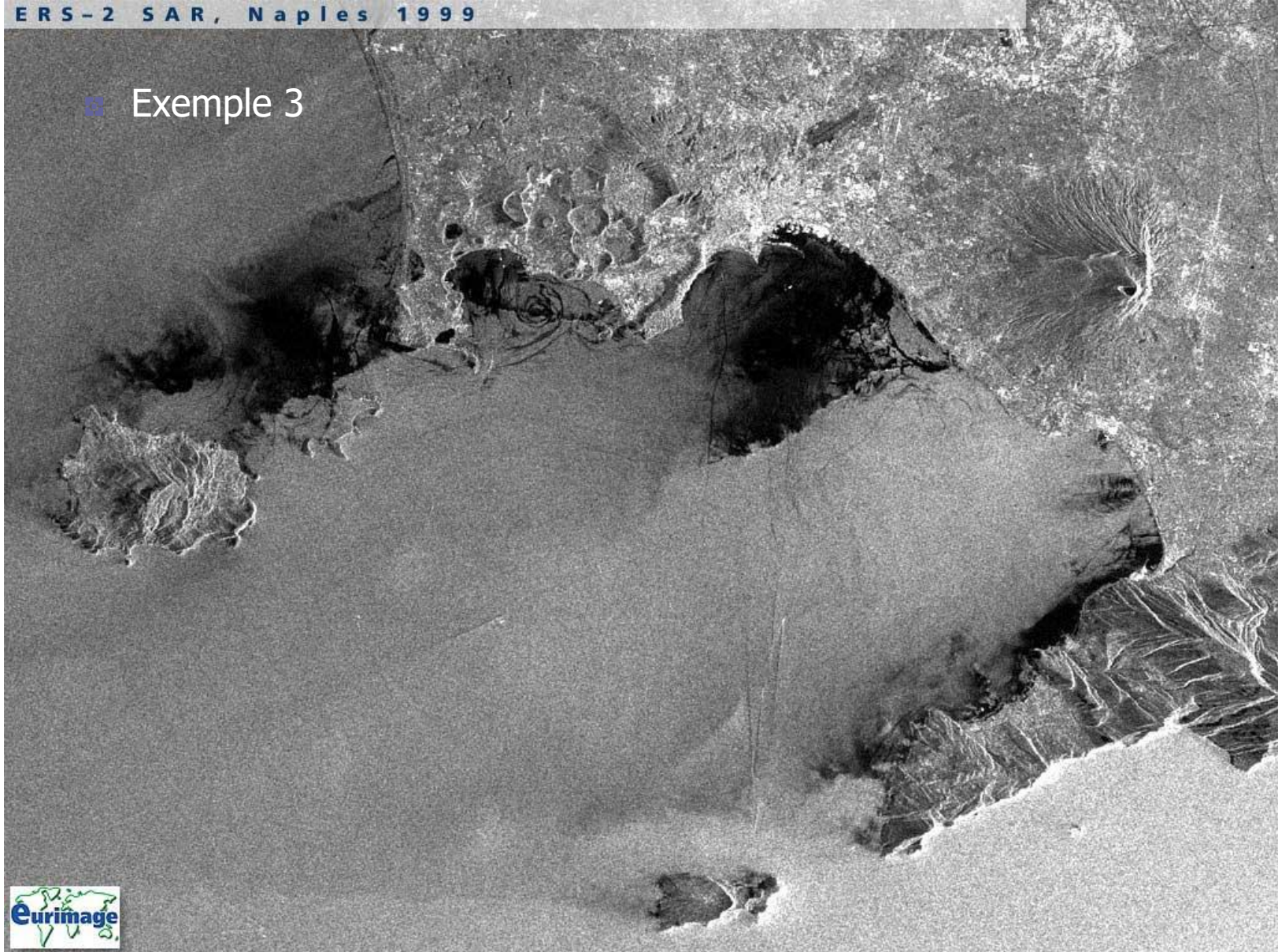
<http://www-igm.univ-mlv.fr/~riazano/>
version 2.09





E R S - 2 S A R , N a p l e s 1 9 9 9

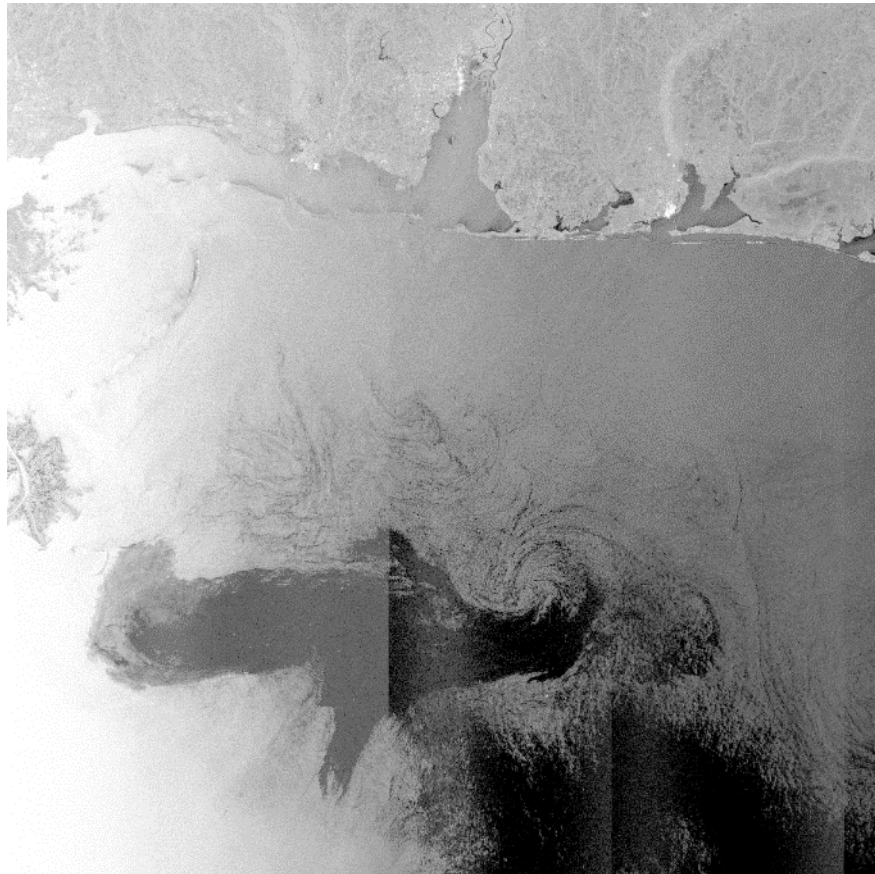
■ Exemple 3



❖ Comparaison optique - Radar

Pollution de la plateforme BP dans le Golfe du Mexique

http://www.esa.int/esaEO/SEMW1HHMI8G_index_0.html



Envisat / ASAR acquise le 28 avril 2010

<http://www-igm.univ-mlv.fr/~riazano/>

version 2.09



Envisat / MERIS acquise le 29 avril 2010

Serge RIAZANOFF
Initiation au Traitement d'Images

page 29

❖ Comparaison optique - Radar

Pollution de la plateforme BP dans le Golfe du Mexique

http://www.esa.int/esaEO/SEM990HMI8G_index_0.html



Envisat / ASAR acquise le 22 avril 2010

<http://www-igm.univ-mlv.fr/~riazano/>
version 2.09

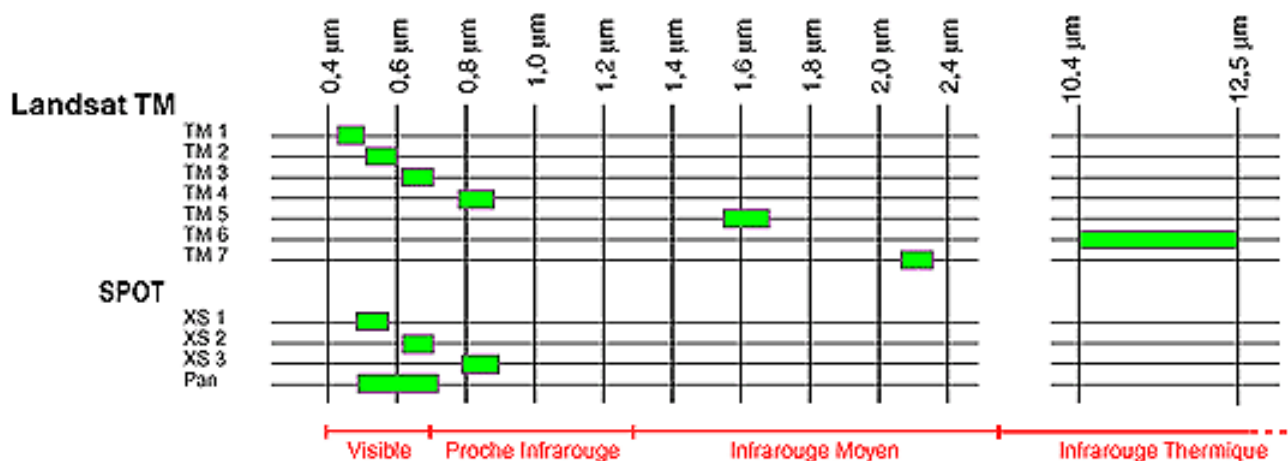
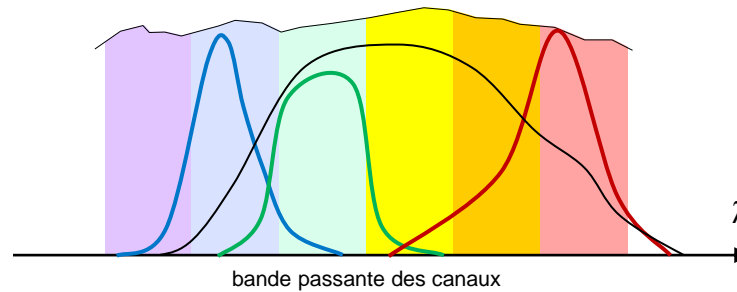


Envisat / MERIS acquise le 25 avril 2010

Serge RIAZANOFF
Initiation au Traitement d'Images

◆ Caractéristiques des instruments

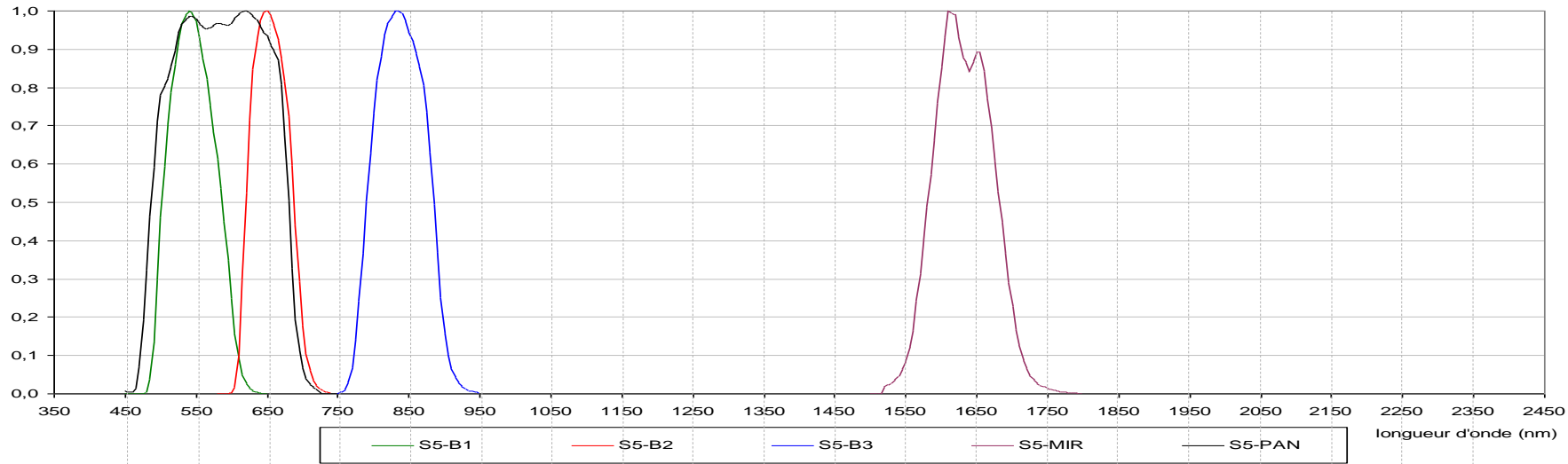
- Réponse spectrale et résolution fréquentielle (ou spectrale)



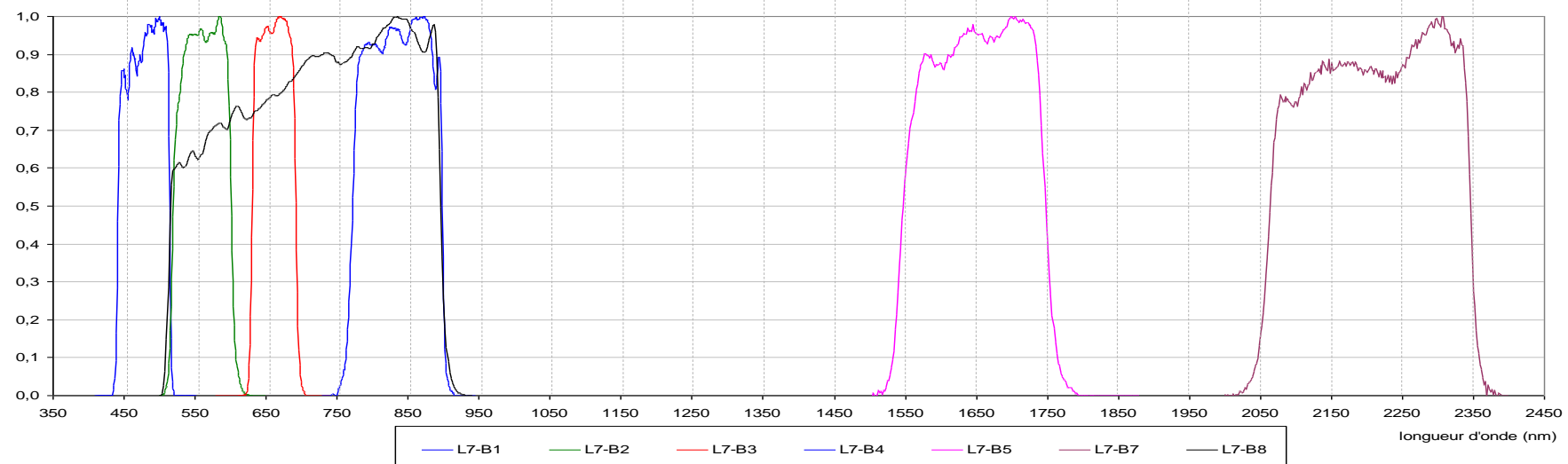
<http://telsat.belspo.be/beo/fr/guide/index.htm>



REPONSES SPECTRALES SPOT-5



REPONSES SPECTRALES LANDSAT-7



EO-1/Hyperion

Site de référence Hyperion:

<http://eo1.gsfc.nasa.gov/Technology/Hyperion.html>

Analysis

jachère

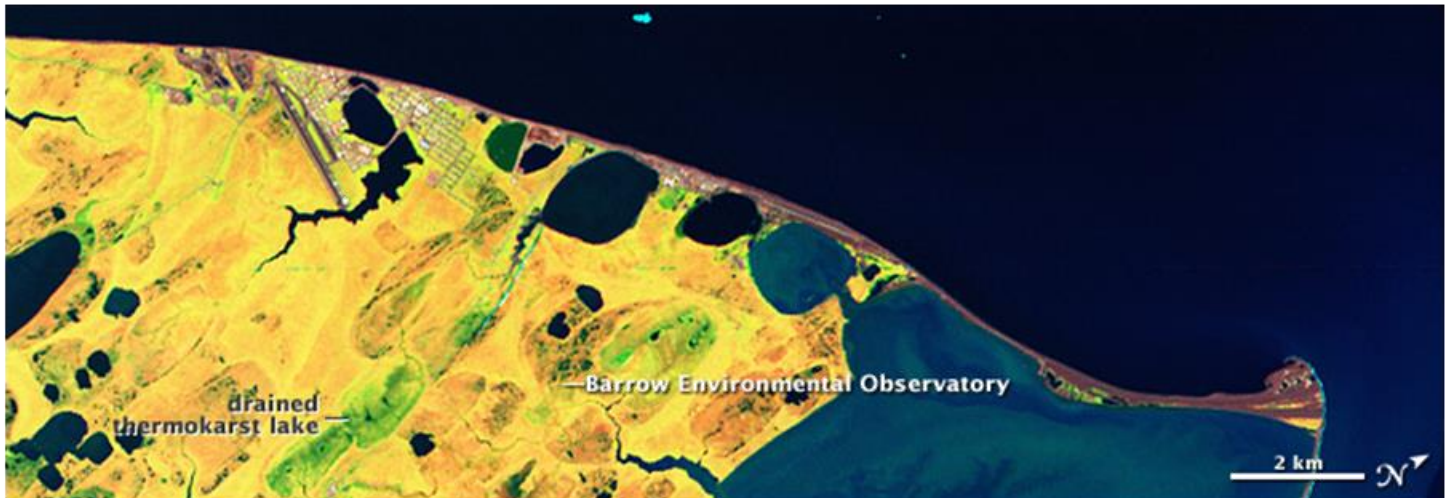


Instrument Hyperion – 220 bandes dans l'intervalle 0,4 µm (bleu) à 2,5 µm (MIR) – 30 m résolution – 7.5 km x 100 km

http://earthobservatory.nasa.gov/Newsroom/NewImages/images.php3?img_id=4828



False Color



acquired July 20, 2009

Natural Color



acquired July 20, 2009

Instrument Hyperion – 220 bandes dans l'intervalle 0,4 µm (bleu) à 2,5 µm (MIR)
<http://earthobservatory.nasa.gov/IOTD/view.php?id=40853>



- Comparer la réponse spectrale de différents instruments

Table 4 Characteristics of SPOT-4 and IRS P6 imagery compared to Landsat-7

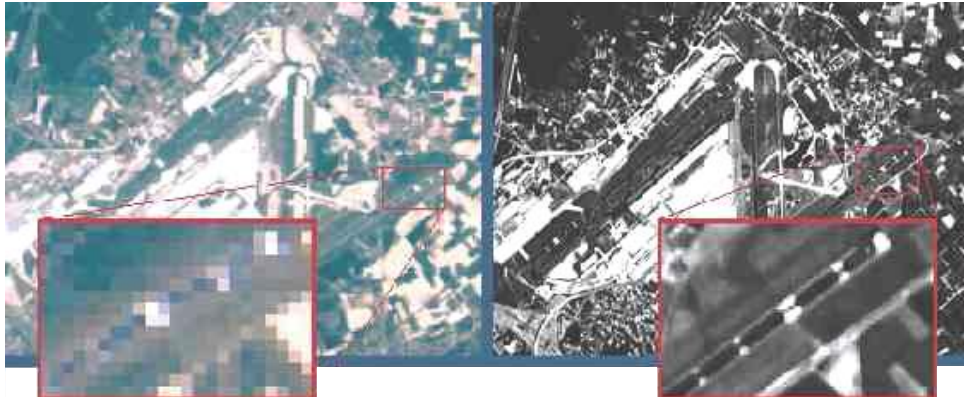
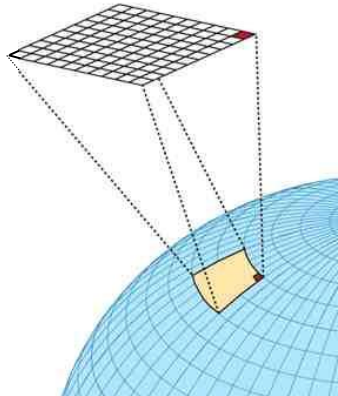
Satellite	Landsat-7	SPOT-4	IRS P6
Sensor	ETM	HRVIR	LISS III
Swath width (km)	180	60-80 (depending on looking angle)	141
Pixel size (m)	30 (multi-spectral) 15 (panchromatic)	20 (multi-spectral) 10 (panchromatic)	23
Image dynamics (bits)	8	8	7
Number of bands	7 + 1	4 + 1	4
Blue band	0.45 – 0.52 µm (TM1)	--	--
Green band	0.53 – 0.61 µm (TM2)	0.50 – 0.59 µm (XI1)	0.52 – 0.59 µm (MS1)
Red band	0.63 – 0.69 µm (TM3)	0.61 – 0.68 µm (XI2)	0.62 – 0.68 µm (MS2)
Near-infrared band	0.75 – 0.90 µm (TM4)	0.78 – 0.89 µm (XI3)	0.77 – 0.86 µm (MS3)
Middle-infrared band	1.55 – 1.75 µm (TM5)	1.58 – 1.75 µm (XI4)	1.55 – 1.70 µm (MS4)
Thermal infrared band	10.4 – 12.5 µm (TM6)	--	--
Middle-infrared band	2.09 – 2.35 µm (TM7)	--	--
Panchromatic band	0.52 – 0.90 µm (PAN)	0.61 – 0.68 µm (M)	--
Observation mode	Vertical only	Tilttable sensor (up to +/- 31 degree)	Vertical only

Extrait de « CLC2006 technical guidelines » édité par l'EEA en 2007
http://www.igeo.pt/gdr/pdf/CLC2006_technical_guidelines.pdf





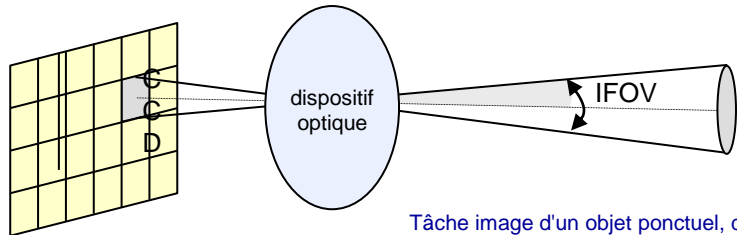
■ Résolution spatiale



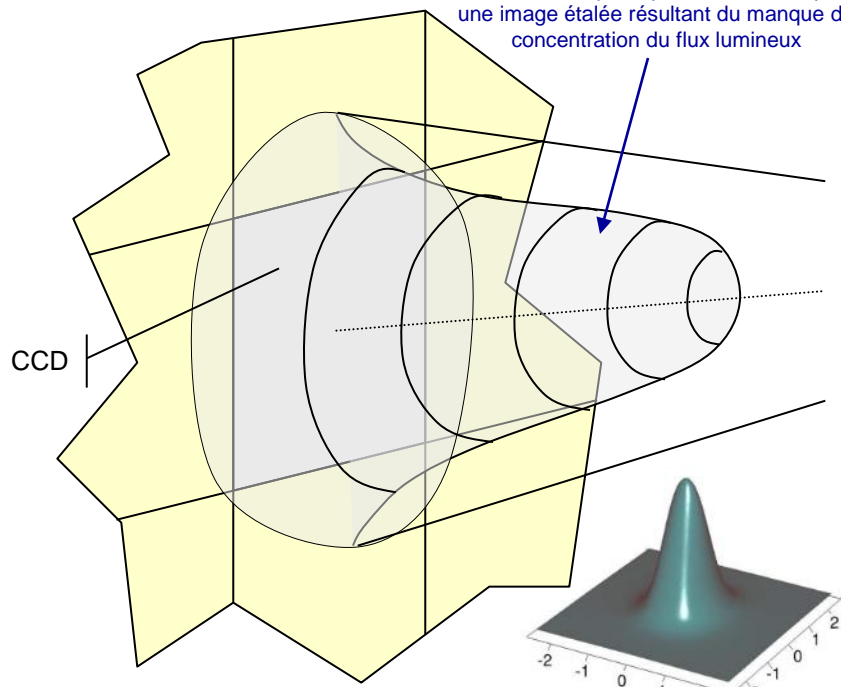
Landsat TM (30 mètres)

<http://telsat.belspo.be/beo/fr/guide/index.htm>

SPOT PAN (10 mètres)



Tâche image d'un objet ponctuel, donné par un instrument d'optique entaché d'aberration sphérique, caractérisée par une image étalée résultant du manque de concentration du flux lumineux



« Tâche image » ou « Fonction instrumentale »
ou « Bande passante spatiale »
(PSF: Point Spread Function)

(FTM: Fonction de Transfert de Modulation
dans le domaine fréquentiel)

■ Résolution spatiale – Exemple de SPOT

XS 20 metres



XI 10 metres



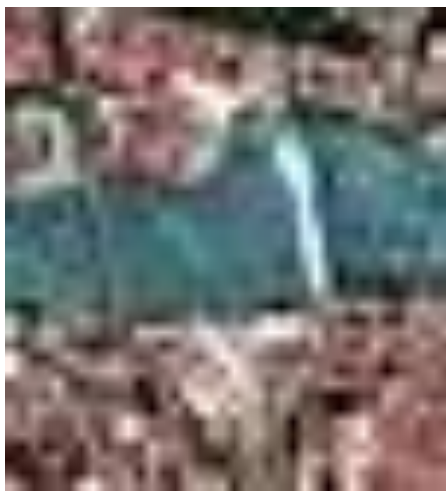
XI+P 5 metres



XI+P 2.5 metres

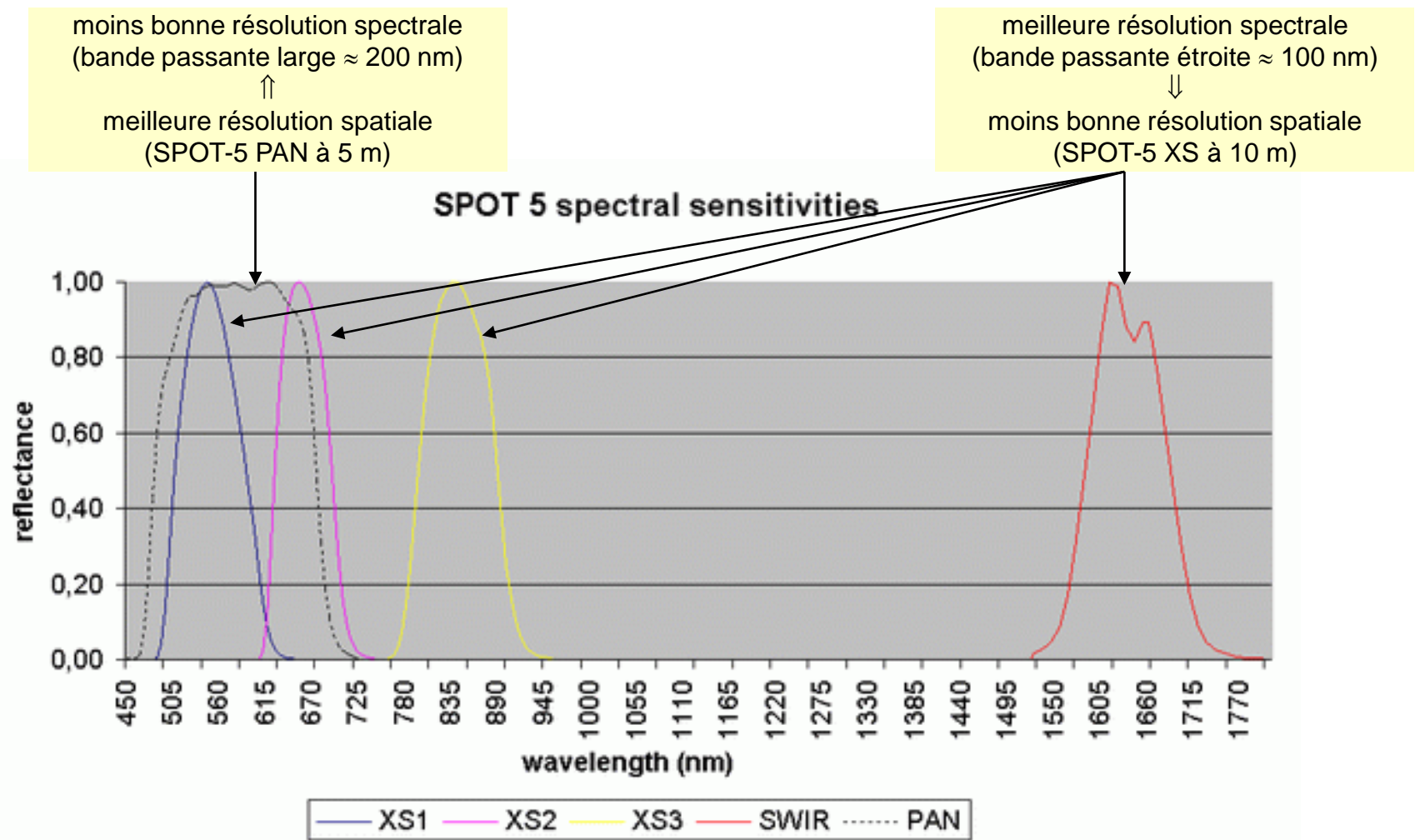


Full resolution (x1)



Zoomed (x8 x4 x2 x1)

■ résolution fréquentielle (ou spectrale) contre résolution spatiale





▣ Satellites et instruments – Exemple de SPOT

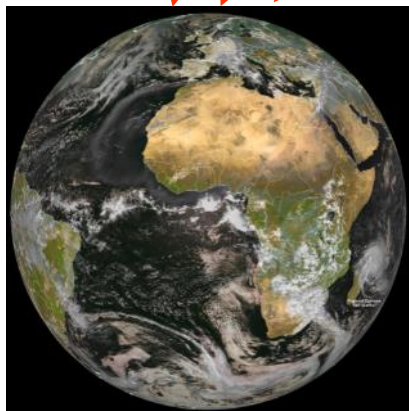
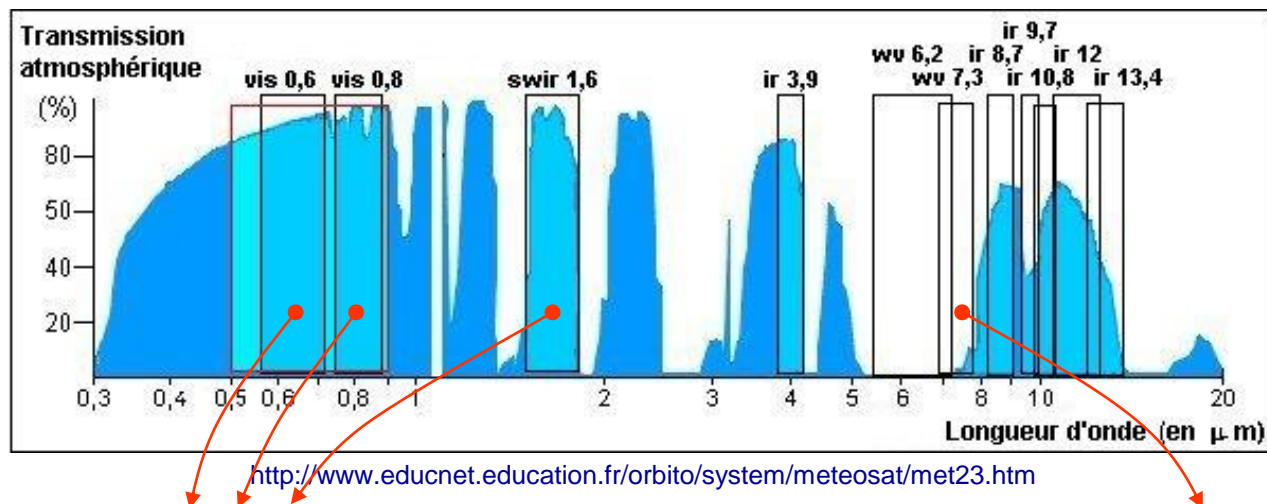
<i>satellite</i>	<i>instrument</i>	<i>nom de la bande spectrale</i>	<i>longueur d'onde (μm)</i>	<i>résolution spatiale⁽¹⁾</i>	<i>nb. de CCD par ligne</i>
SPOT123	HRV1 ou HRV2	XS1	0.50-0.59	20 m	3000
		XS2	0.61-0.68	20 m	3000
		XS3	0.78-0.89	20 m	3000
		PAN	0.50-0.73	10 m	6000
SPOT4	HRVIR1 ou HRVIR2	XS1	0.50-0.59	20 m	3000
		XS2	0.61-0.68	20 m	3000
		XS3	0.78-0.89	20 m	3000
		SWIR	1.58-1.75	20 m	3000
		M	0.61-0.68	10 m	6000
SPOT5	HRG1 ou HRG2	XS1	0.495-0.605	10 m	6000
		XS2	0.617-0.687	10 m	6000
		XS3	0.780-0.893	10 m	6000
		SWIR	1.545-1.750	20 m	3000
		HMA	0.475-0.710	5 m	12000
		HMB	0.475-0.710	5 m	12000
	HRS	HRS1 (visée avant)	0.49-0.69	10 m x 5 m	12000
		HRS2 (visée arrière)	0.49-0.69	10 m x 5 m	12000

(1) Distance d'échantillonnage au sol en visée verticale.



- Satellites et instruments – Exemple de Meteosat-8 SEVIRI

	12	1	2	3	4	5	6	7	8	9	10	11
	HRV	VIS 0.6	VIS 0.8	SWIR	IR 3.9	WV 6.2	WV 7.3	IR 8.7	IR 9.7	IR 10.8	IR 12	IR 13.4
domaine spectral (μm)	0.5-0.9	0.6-0.7	0.7-0.9	1.5-1.8	3.5-4.4	5.3-7.1	6.8-7.9	8.3-9.1	9.4-9.9	9.8-11.8	11-13	12.4-14
résolution spatiale au NADIR	1 km	3 km	3 km	3 km								



Composition colorée
VIS 0.6 (B)
VIS 0.8 (V)
SWIR 1.6 (R)

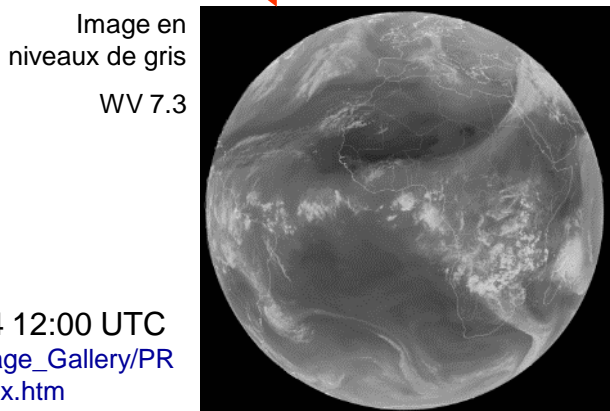
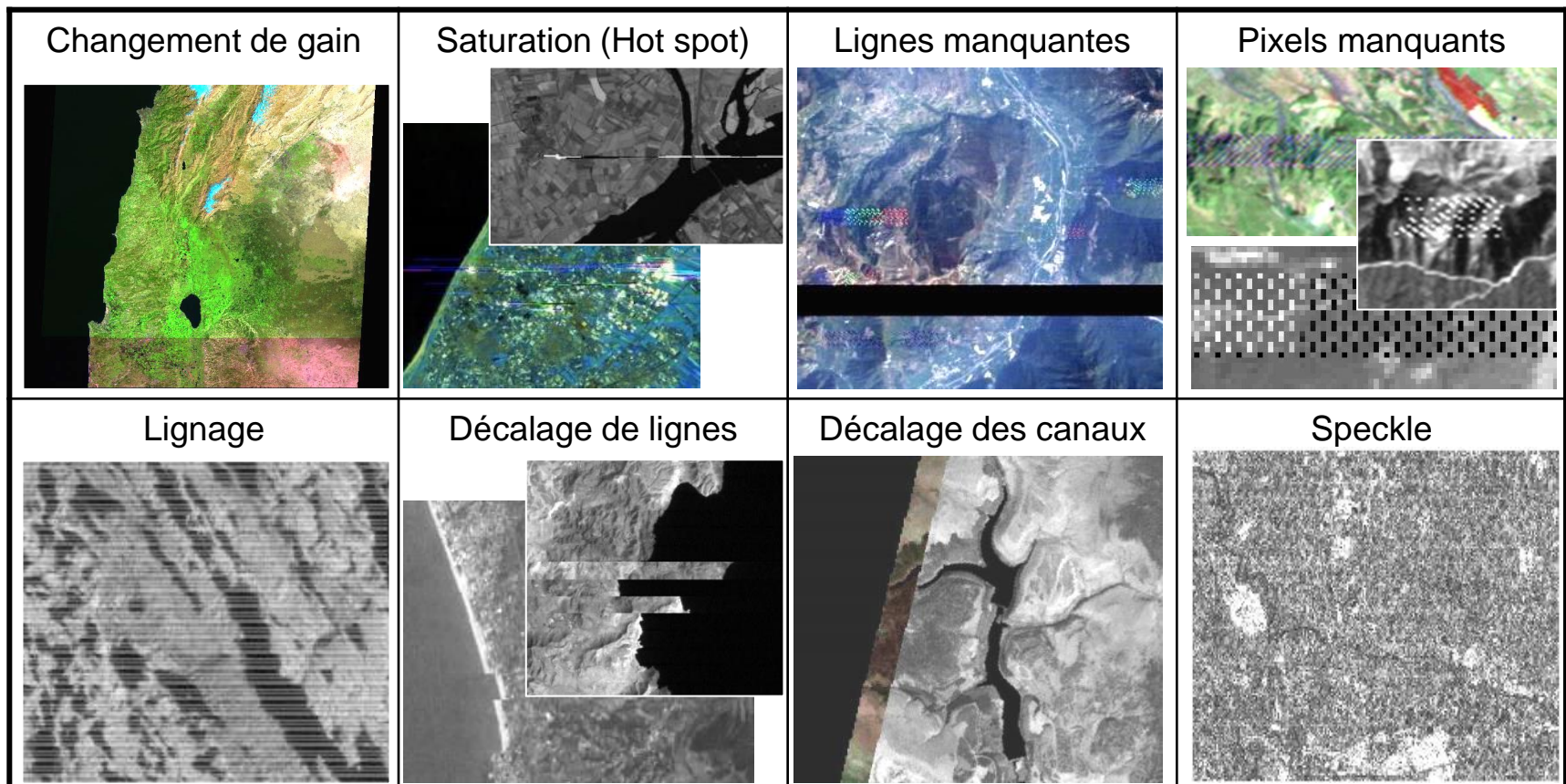


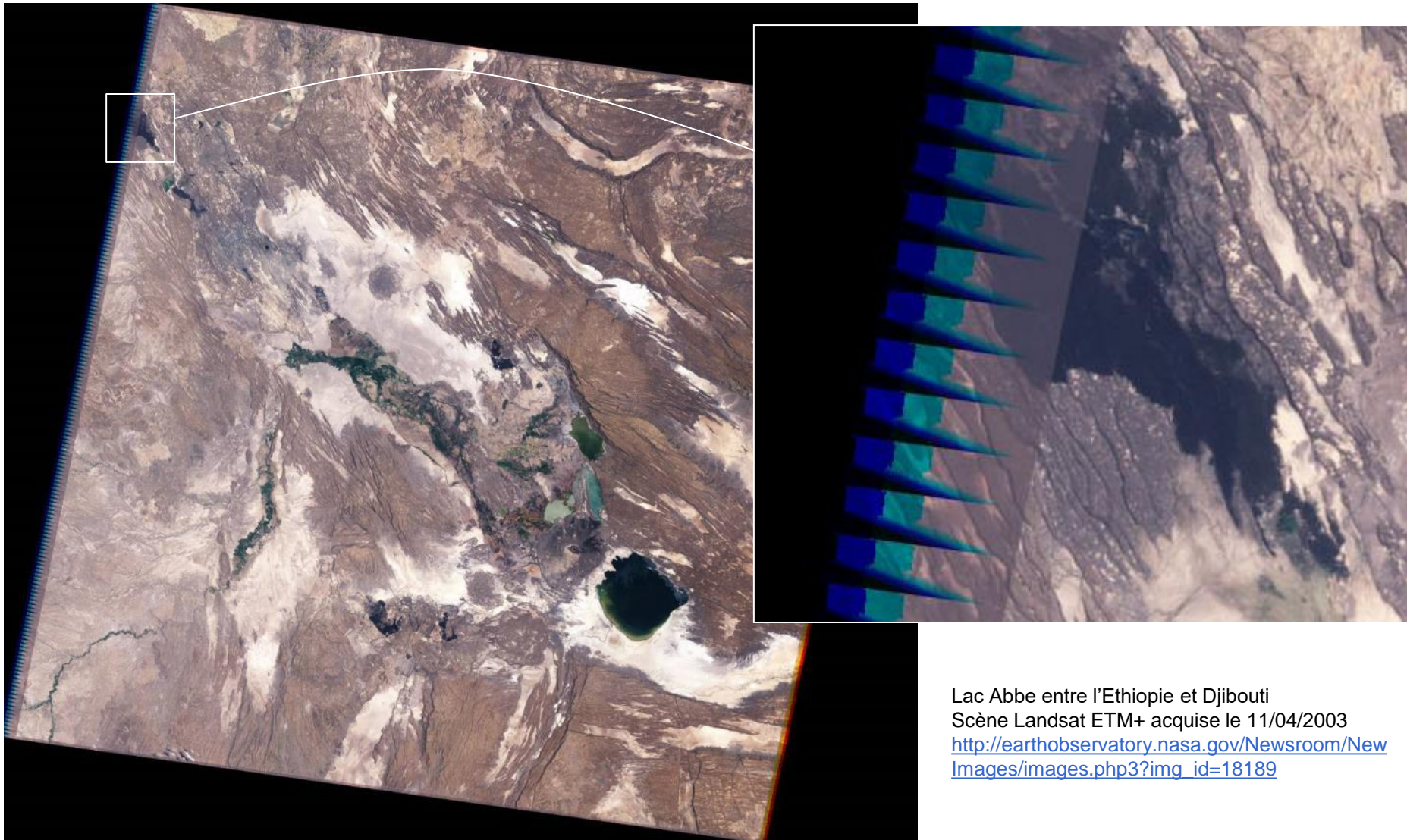
Image en niveaux de gris
WV 7.3

Meteosat-8 acquis le 06/03/2004 12:00 UTC
http://www.eumetsat.int/Home/Main/Image_Gallery/PR_Images/Fulldisk_Images/index.htm

■ Rapport signal / bruit (SNR) - Quelques exemples de bruit dans les images



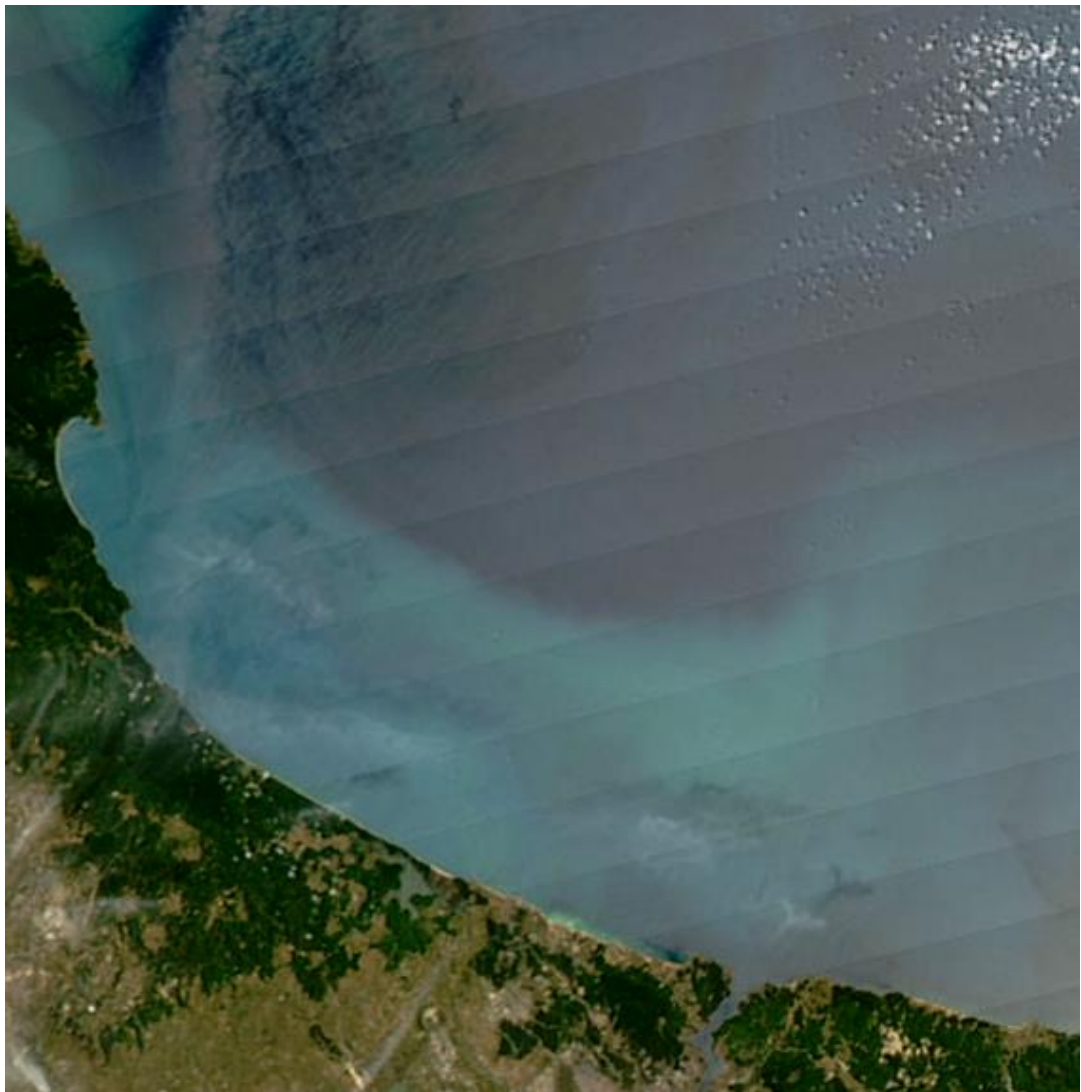
■ Landsat / ETM+ – Emprise incomplète des bandes spectrales



Lac Abbe entre l'Ethiopie et Djibouti
Scène Landsat ETM+ acquise le 11/04/2003
http://earthobservatory.nasa.gov/Newsroom/NewImages/images.php3?img_id=18189



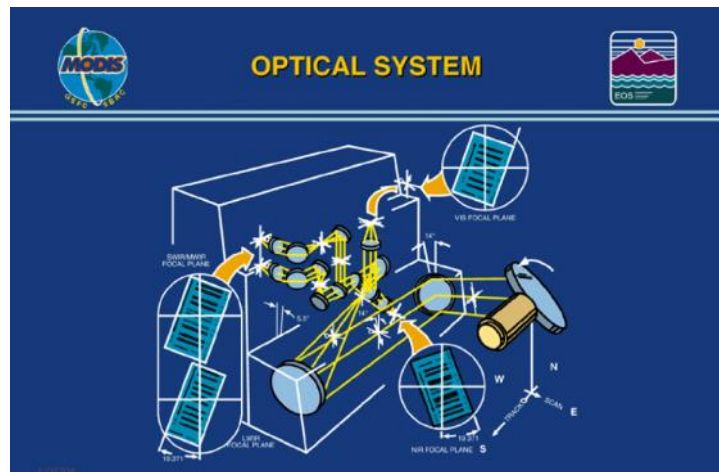
■ AQUA / MODIS – Défaut de calibration des détecteurs



http://earthobservatory.nasa.gov/Newsroom/NewImages/images.php3?img_id=18054
<http://www-igm.univ-mlv.fr/~riazano/>

version 2.09

Serge RIAZANOFF
Initiation au Traitement d'Images

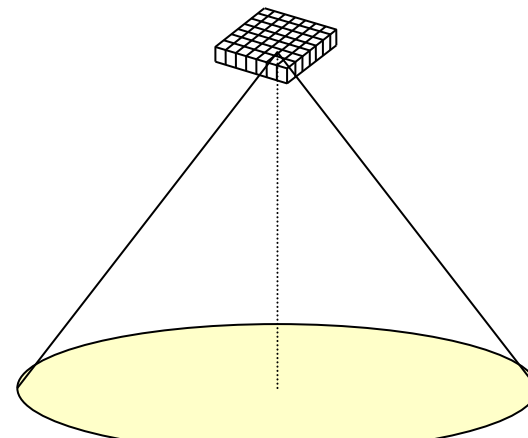


Wiskbroom 40 (B1-2) / 20 (B3-7) /10 (B8-36) CCDs
http://modis.gsfc.nasa.gov/MODIS/CAL/DOCS/L137_014.pdf

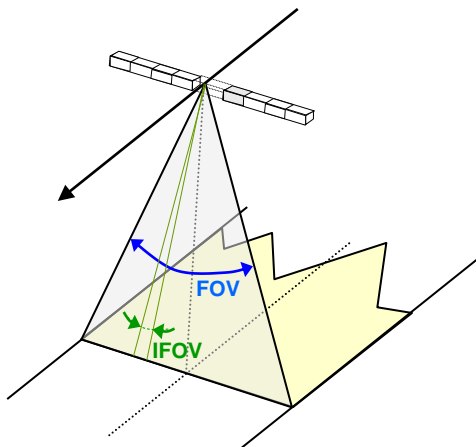
page 43

➊ Satellites et instruments – Géométrie de prise de vue

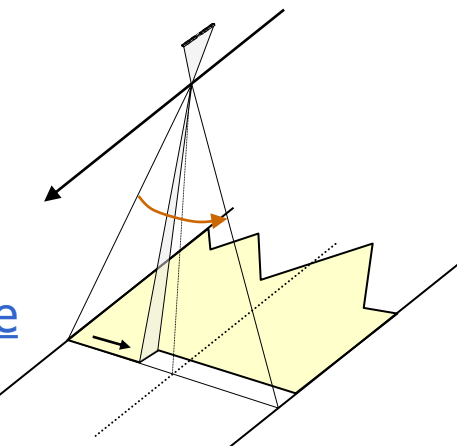
- Capteur matriciel
Géométrie conique
(*frame camera*)



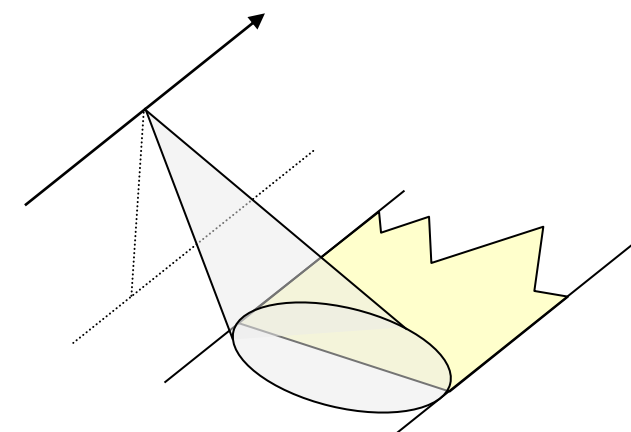
- Capteur en peigne
(*pushbroom*)



- Fauchées latérales
(*whiskbroom*)

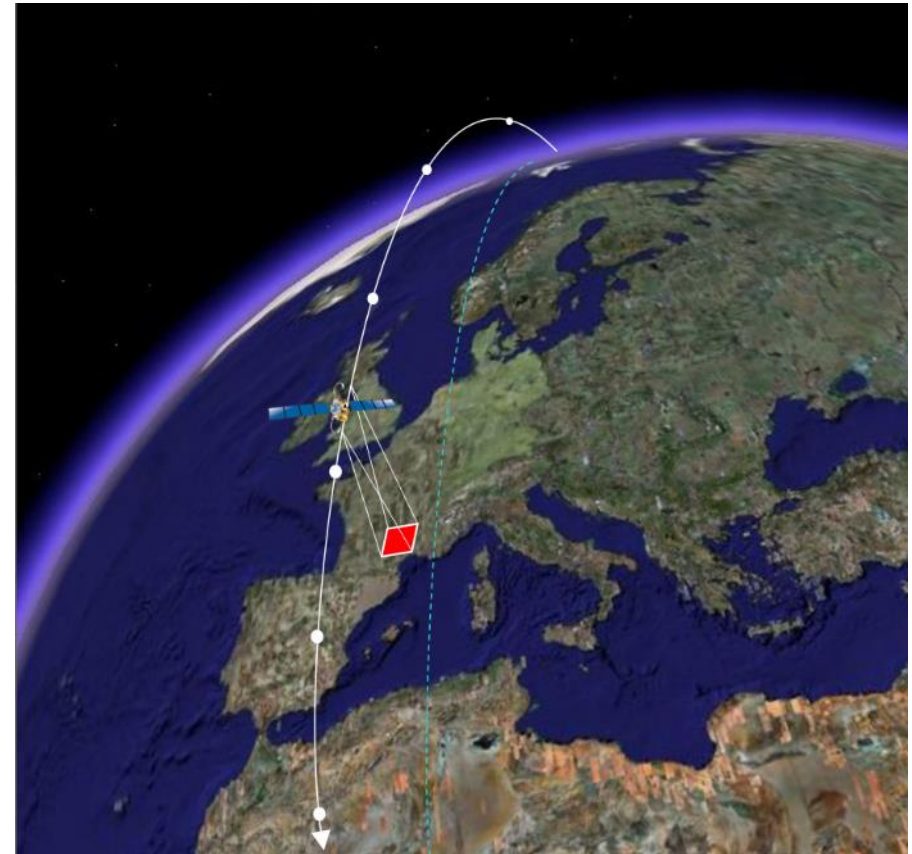
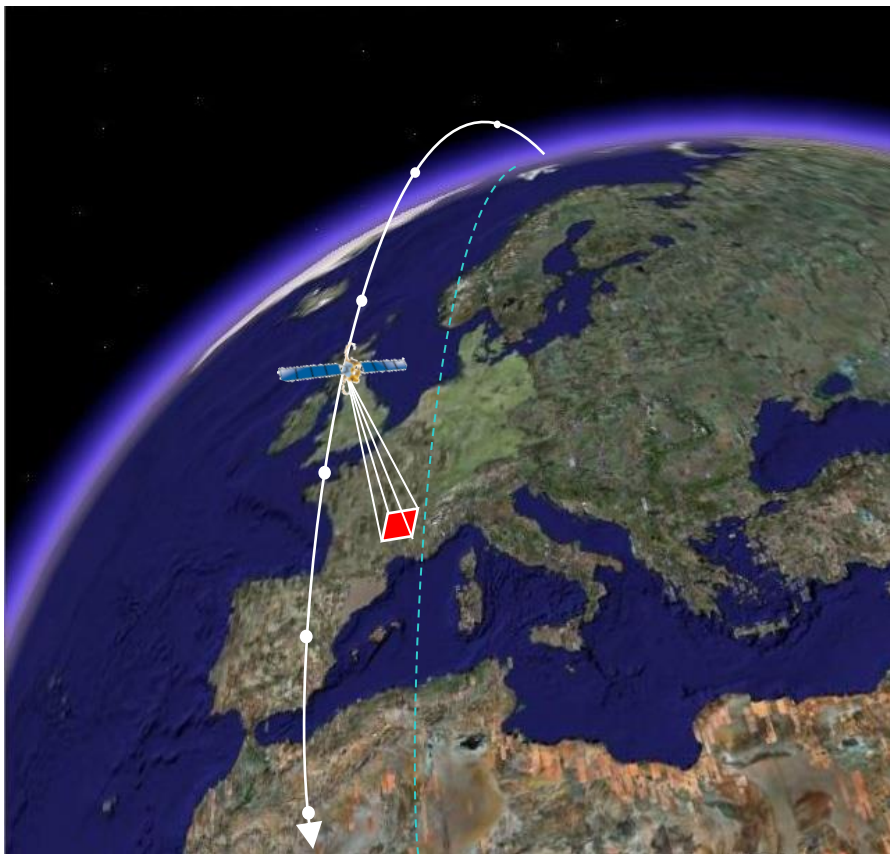


- Radar



Erreurs de parallaxe

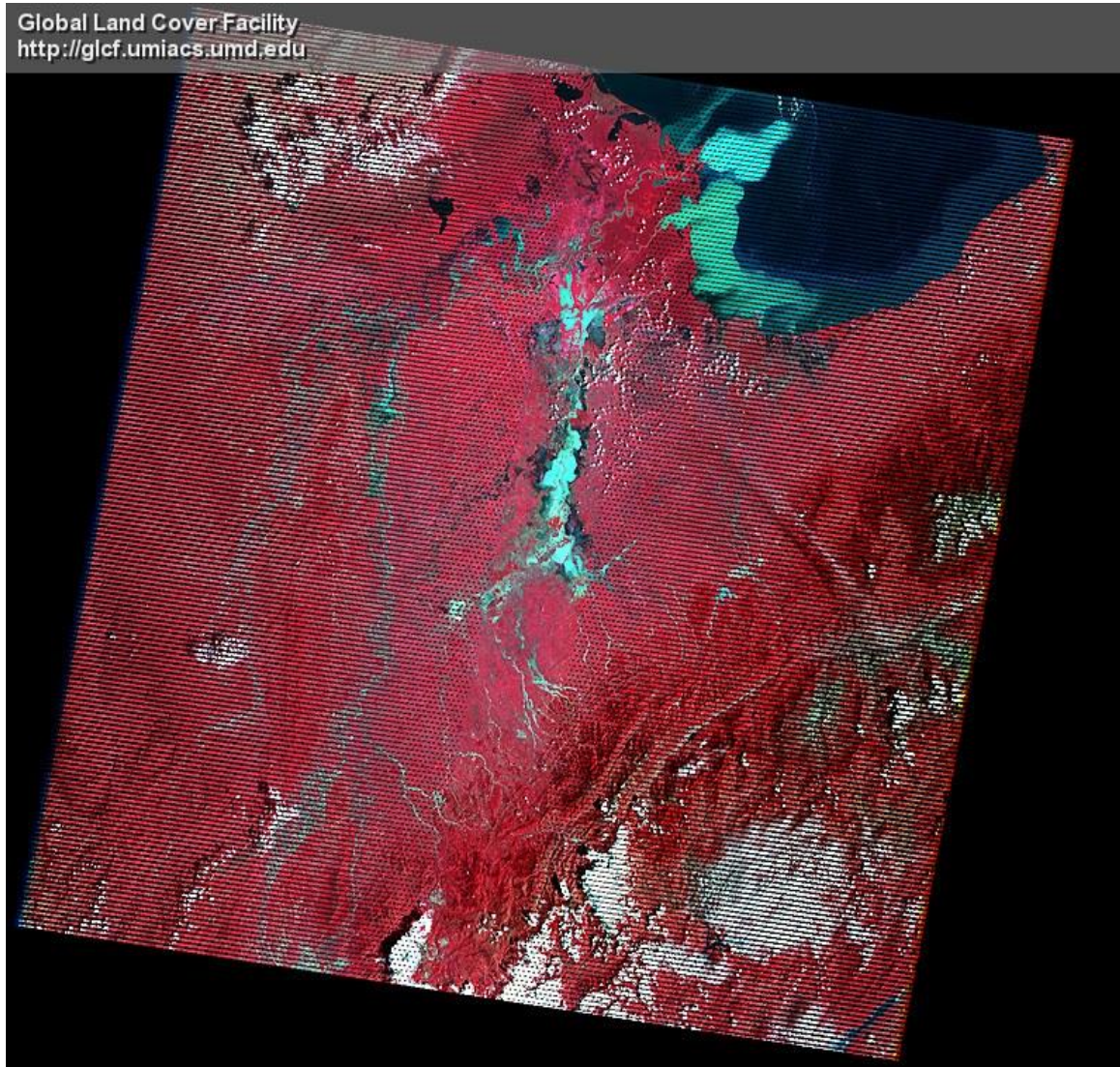
- Prise de vue instantanée
Frame camera
- Prise de vue en peigne
Pushbroom



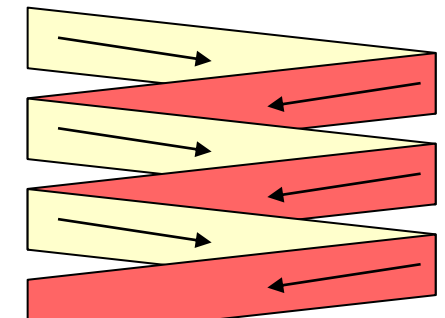


Landsat 7 – Défaut des miroirs correcteurs

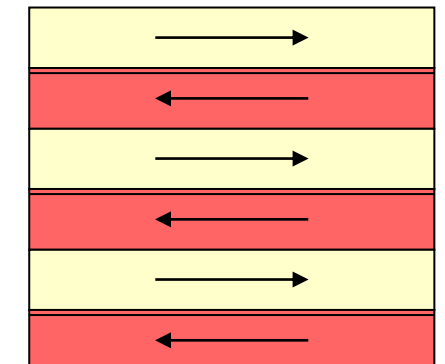
Global Land Cover Facility
<http://glcf.umiacs.umd.edu>



Landsat 7 ETM+
path 007 – row 054
Acquired on 26/02/2005
South of Maracaibo Lake
(Venezuela)

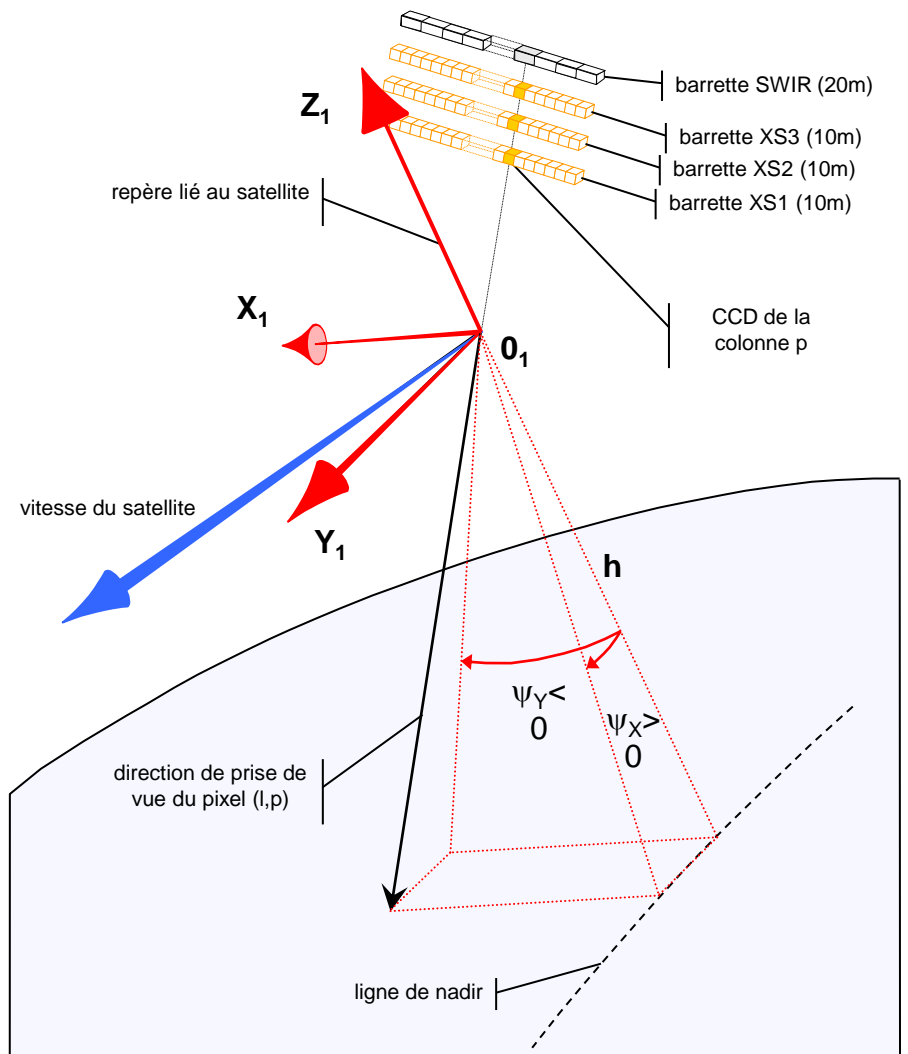
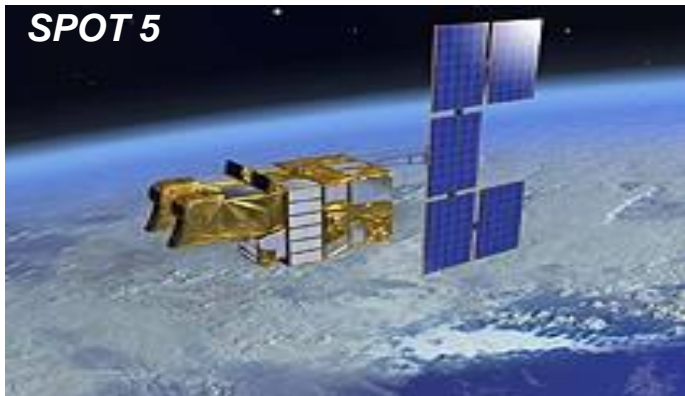


SLC-off
panne le 31 mai 2003



SLC-on

Exemple de SPOT 5





● Représentation et format des données

- trame et topologie
- repère image
- représentation des pixels
- formats BSQ, BIL, BIP
- supports - transport et compression des données

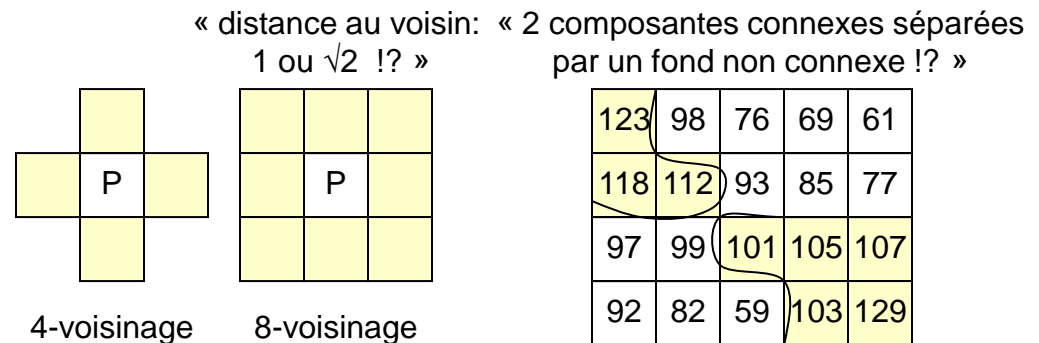




◆ Images: trame et topologie

■ Trame carrée

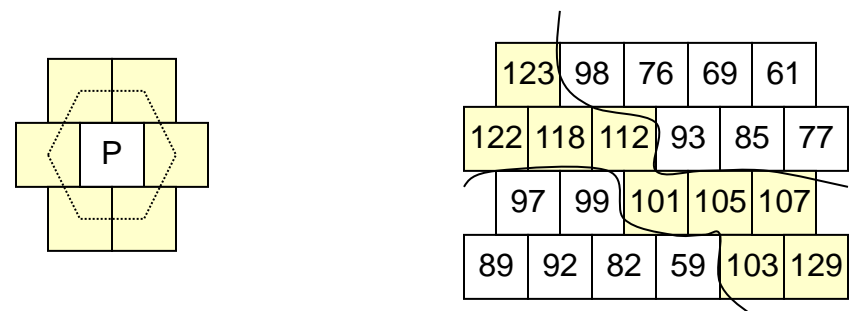
123	98	76	69	61
118	112	93	85	77
97	99	101	105	107
92	82	59	103	129



123	98	76	69	61
118	112	93	85	77
97	99	101	105	107
92	82	59	103	129

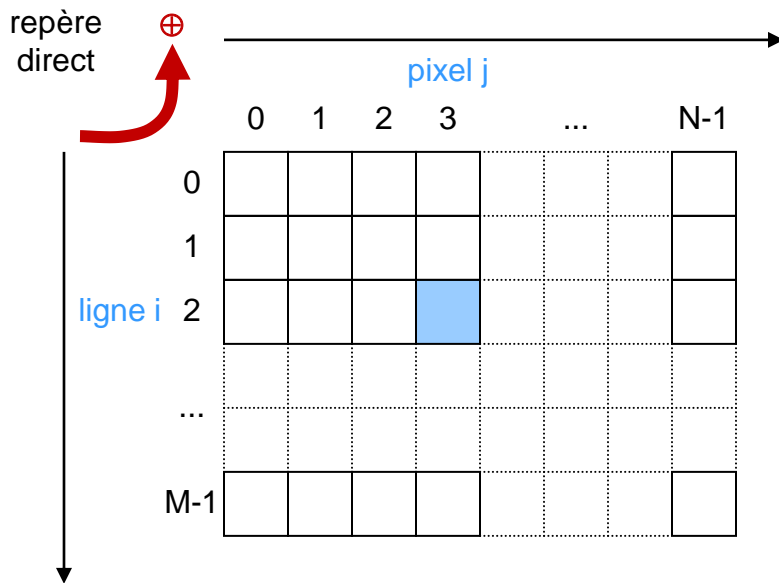
■ Trame hexagonale

123	98	76	69	61	
122	118	112	93	85	77
97	99	101	105	107	
89	92	82	59	103	129

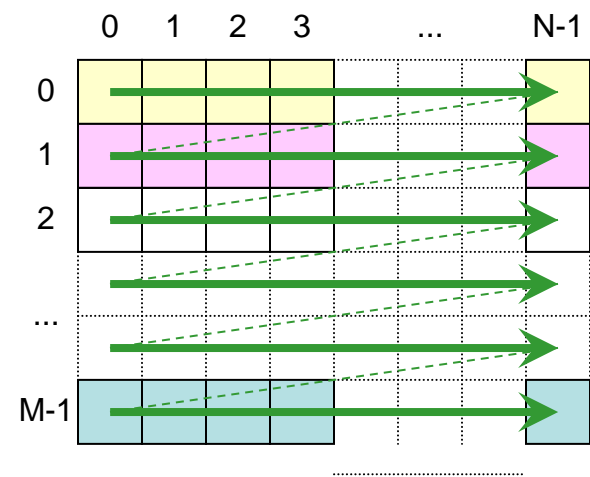




❖ Représentation et repère image



sens de parcours séquentiel
d'une image



pour des raisons d'optimisation, c'est
dans ce sens que seront rangés les
pixels dans le tableau image



❖ Représentation des pixels

unsigned integer – signed integer – float – double

- 1 bit par pixel → {0,1}
- 8 bits par pixel → [0,255]
- 16 bits par pixel → [0,65535]



original (8 bits/pixel)

1 bit
{0,1}



2 bits
[0,3]



3 bits
[0,7]



4 bits
[0,15]



5 bits
[0,31]

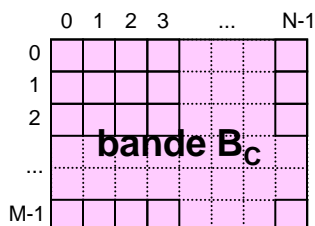
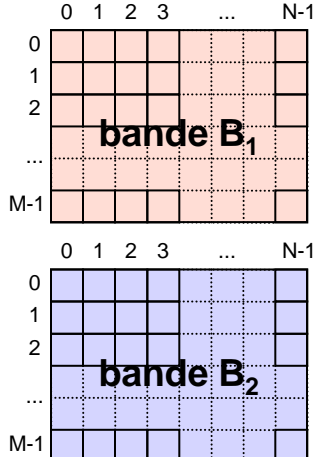




◆ Formats BSQ, BIL et BIP

BSQ

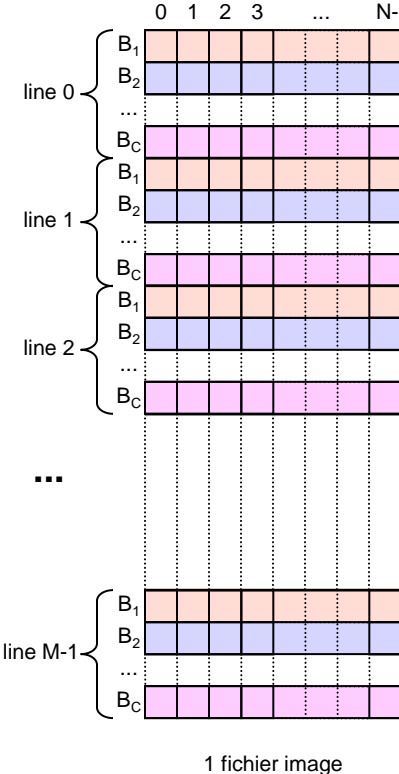
Band Sequential



C fichiers image

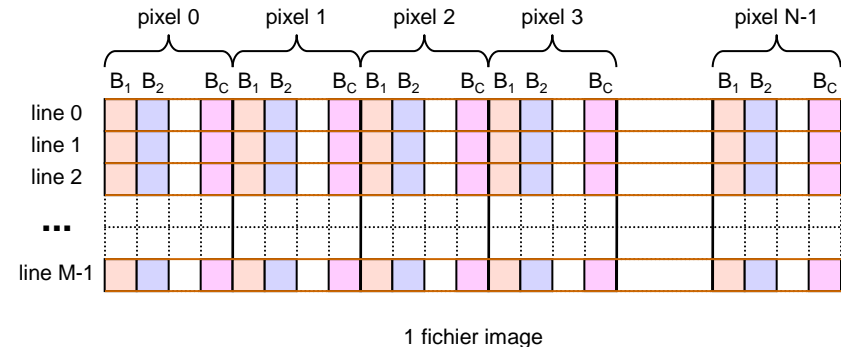
BIL

Band Interleaved by Line



BIP

Band Interleaved by Pixel



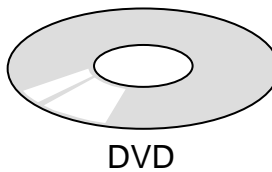
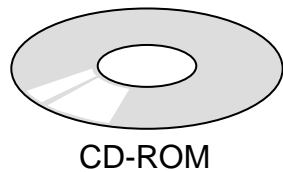
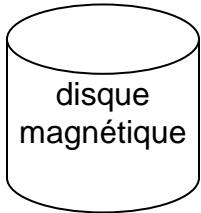
+ Données auxiliaires

- En-tête ou fichier(s) associé(s)
- Structure: taille, nombre de canaux, nombre de lignes, nombre de colonnes, nombre de bits, type de valeurs (entier/flottant, signé/non signé...)...
- Plate-forme / Instrument: nom du satellite, nom de l'instrument, date d'acquisition, path/row, niveau de traitement, mode spectrale, angles de visée, éphémérides...
- Physique: gain, offset, unité...
- Administration: date de création, historique de traitement...

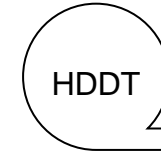
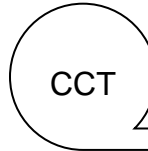
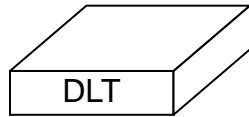
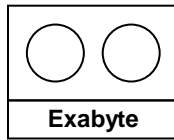
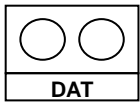


◆ Supports de données image

■ Supports à accès direct



■ Supports à accès séquentiel



name	print	value
yotta	Y	1×10^{24}
zetta	Z	1×10^{21}
exa	E	1×10^{18}
peta	P	1×10^{15}
tera	T	1×10^{12}
giga	G	1×10^9
mega	M	1×10^6
kilo	k	1×10^3
hecto	h	1×10^2
deka	da	1×10^1
deci	d	1×10^{-1}
centi	c	1×10^{-2}
milli	m	1×10^{-3}
micro	μ	1×10^{-6}
nano	n	1×10^{-9}
pico	p	1×10^{-12}
femto	f	1×10^{-15}
atto	a	1×10^{-18}
zepto	z	1×10^{-21}
yocto	y	1×10^{-24}

The prefix symbols – UCUM
(Unified Code for Units of Measure)

<http://aurora.regenstrief.org/UCUM/ucum.html>

◆ Transport et compression des données

- Bande passante des réseaux
- compression sans perte
- compression avec perte

TIFF sans perte	JPEG quality 100 perte minimale	JPEG quality 30	JPEG quality 20	JPEG quality 10
170760	11133	7633	6004	4120



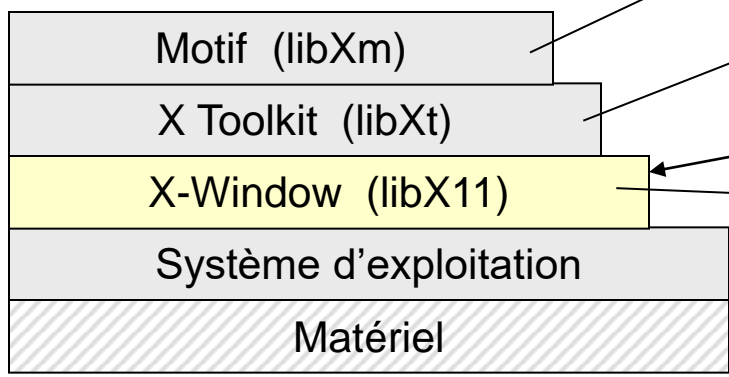
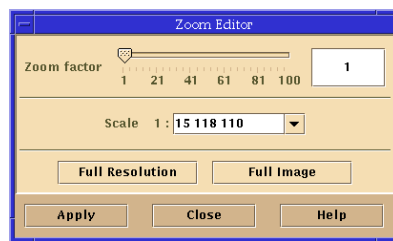


● Visualisation d'images sous X-Window

- introduction à X-Window – serveur X
- du disque à l'écran – visual et colormap – compositions colorées
- couleurs prédéfinies de X-Window
- l'application « xv »



◆ Présentation succincte de X-Window



Widget classes
Window manager

Widget (design, actions)

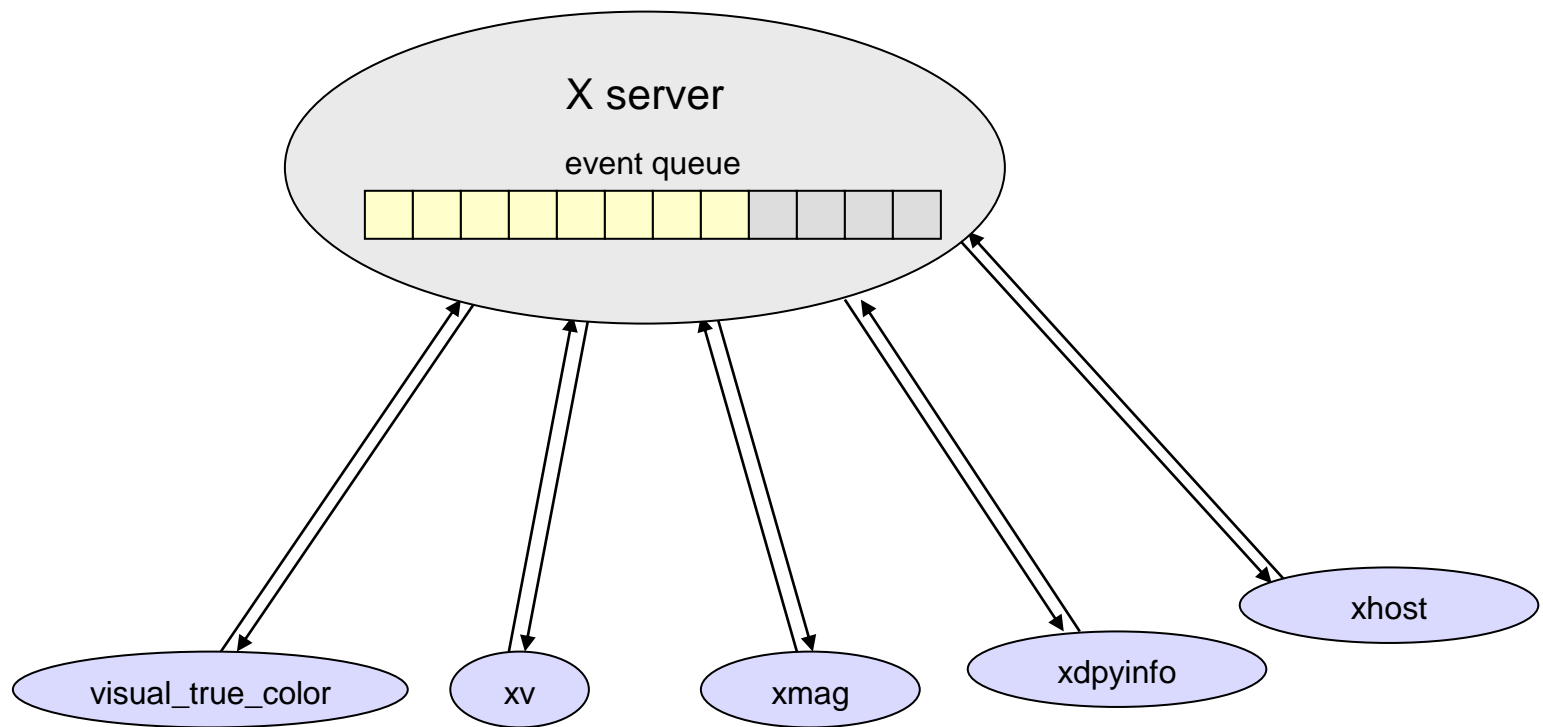
visual_true_col

X Protocol

librairie graphique
(fenêtres, tracés,
événements...)

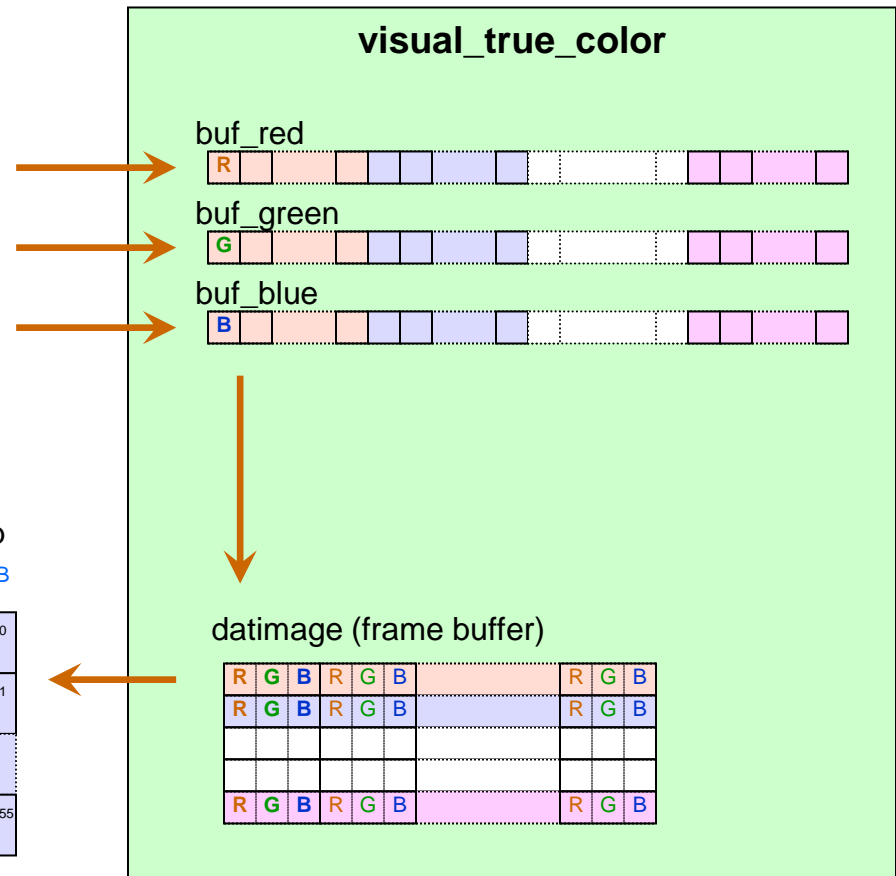
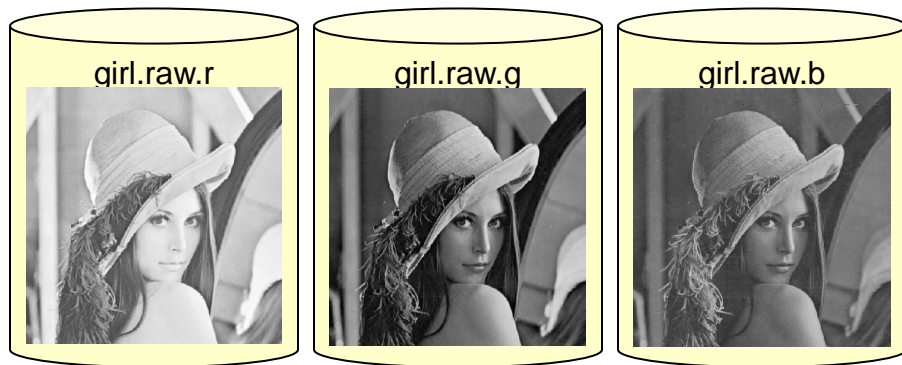


➊ Le serveur X





❖ Du disque à l'écran

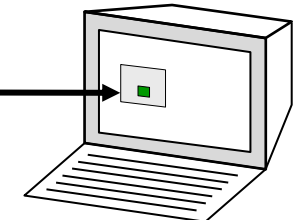
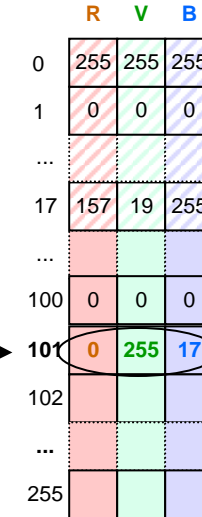
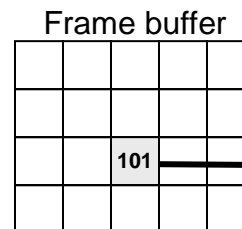




Visual et Colormap

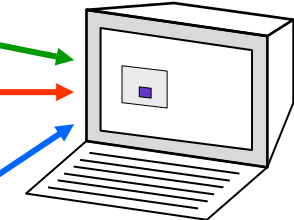
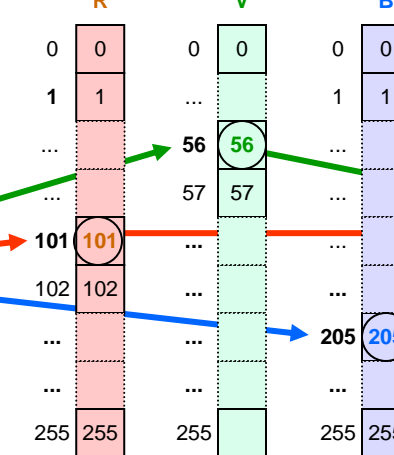
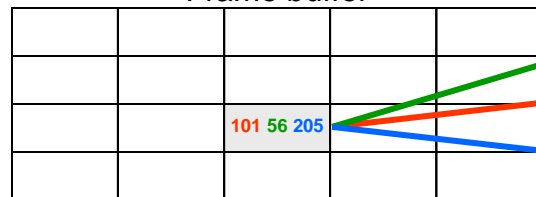
Visual		
	Colormap en read-only	Colormap en read-write
Monochrome / Gray	StaticGray	GrayScale
1 seule colormap RGB	StaticColor	PseudoColor
3 colormaps R, G et B	TrueColor	DirectColor

PseudoColor



TrueColor

Frame buffer

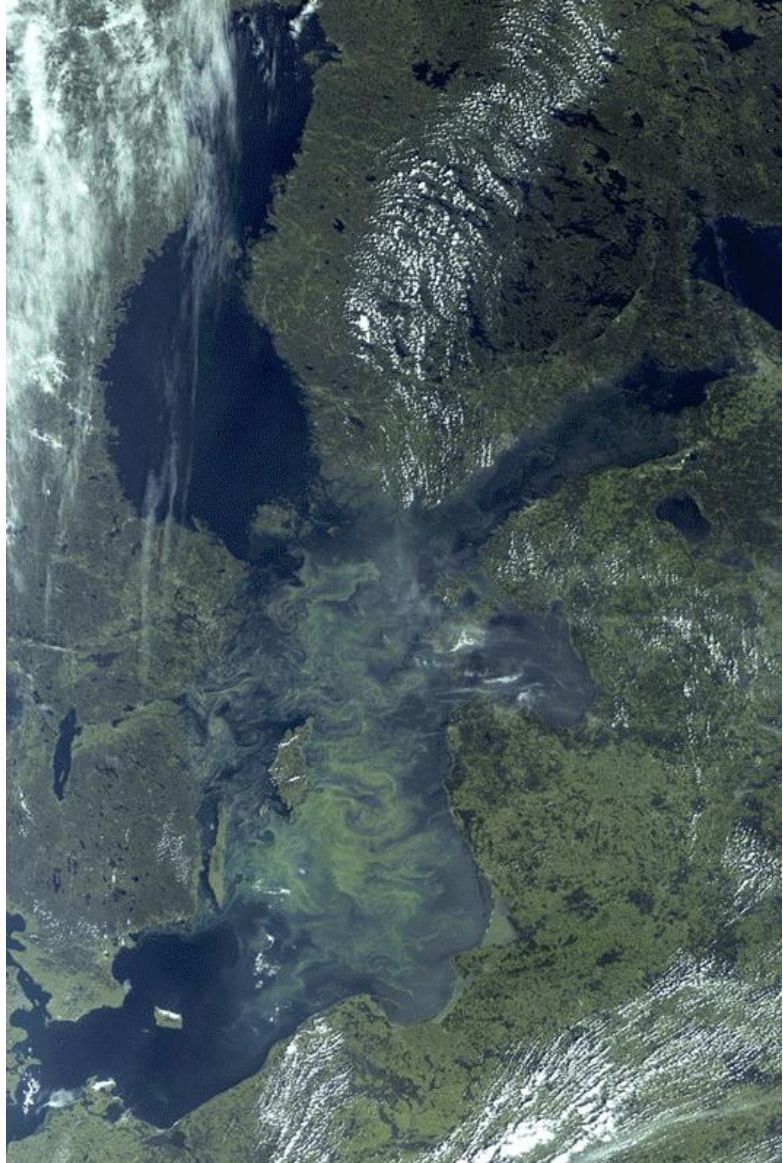




◆ TrueColor et PseudoColor

Scène Envisat MERIS de la Mer Baltique
Sédiments en suspension dérivés de l'image multispectrale
au large de Tallinn (Estonie)

http://www.esa.int/esaCP/SEMXTLLTRJG_index_0.html





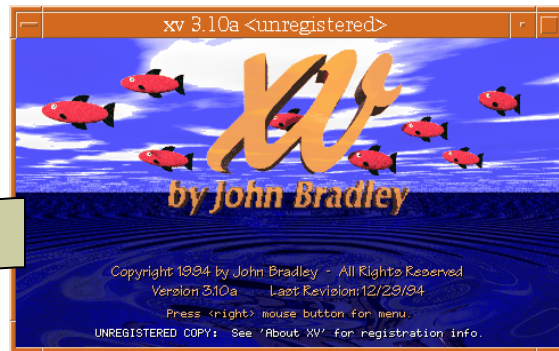
Les couleurs prédéfinies de X-Window

Color names	RGB decimal	hexa.	Light Cyan	224 255 255	#E0FFFF	Pale Violet Red	219 112 147	#DB7093	Lavender Blush3	205 193 197	#CDC1C5	Light Cyan4	122 139 139	#7A8B8B	Khaki1	255 246 143	#FFF6F8	Firebrick2	238 44 44	#EE2C2C	Pale Violet Red3	205 104 137	#CD6889						
Snow	255 250 250	#FFFFFF	Cadet Blue	95 158 160	#5F9EA0	Medium Aquamarine	102 205 170	#66CDCAA	Misty Rose1	199 21 133	#C71585	Misty Rose2	235 213 210	#EED5D2	Misty Rose3	205 183 181	#CDB7B5	Misty Rose4	130 125 123	#8B7D7B	Cadet Blue1	174 238 238	#AAAAEE	Khaki3	205 198 115	#CDC673			
Ghost White	248 248 255	#FFBFBF	Aquamarine	127 255 212	#77FFD4	Violet Red	208 32 144	#002090	Lavender Blush4	130 131 134	#8B8386	Misty Rose1	255 228 225	#FFE4E1	Pale Turquoise1	187 255 255	#BBFFFF	Khaki2	238 230 133	#EEE685	Firebrick3	205 38 38	#CD2626	Pale Violet Red4	139 71 93	#B475D			
White Smoke	245 245 245	#F5F5F5	Dark Green	0 100 0	#006400	Dark Olive Green	85 107 44	#556B2F	Magenta	255 0 255	#FF00FF	Misty Rose2	235 213 210	#EED5D2	Pale Turquoise2	150 205 205	#96CDCD	Khaki4	139 134 78	#B8B6E4	Firebrick4	139 26 26	#B81A1A	Maroon1	255 52 179	#F34B3			
Gainsboro	220 220 220	#CDCDCD	Dark Green	0 100 0	#006400	Floral White	255 250 240	#FFFFFF	Violet	238 130 234	#E8E8E8	Misty Rose2	235 213 210	#EED5D2	Pale Turquoise3	150 205 205	#96CDCD	Khaki2	238 230 133	#EEE685	Firebrick5	255 64 64	#FF4040	Maroon2	238 48 167	#E330A7			
Old Lace	253 245 230	#DF5F66	Dark Sea Green	143 188 143	#8B8CF8	Plum	221 160 221	#00A0D0	Azure1	240 255 255	#00FFFF	Misty Rose3	130 125 123	#8B7D7B	Cadet Blue1	152 245 255	#9895FF	Light Goldenrod1	255 236 139	#FFECB8	Brown1	255 64 64	#FF4040	Maroon3	205 41 144	#DC2996			
Linen	250 240 230	#F0FAE6	SeaGreen	46 139 87	#2E8B57	Orchid	218 112 214	#DA70D6	Azure2	224 238 238	#E0EEEE	Misty Rose4	130 125 123	#8B7D7B	Cadet Blue2	142 229 238	#EE5EE5	Light Goldenrod2	238 220 130	#EEDC82	Brown2	238 59 59	#EE33B3	Maroon4	139 28 98	#B81C62			
Antique White	205 235 215	#AEBD70	MediumSeaGreen	60 179 179	#3CB371	Medium Orchid	186 185 186	#BA5D53	Azure3	193 205 205	#C1CCD	Cadet Blue4	83 134 139	#53B686	Cadet Blue4	122 139 139	#7A8B8B	Light Yellow1	255 255 224	#FFFEF0	Salmon1	255 140 105	#FF8C69	Violet Red1	255 52 179	#F34B3			
Papaya Whip	255 239 213	#FFEFDD	Light Sea Green	32 178 170	#20B2AA	Dark Orchid	153 50 204	#9932CC	Azure4	131 139 139	#383B8B	Turquoise1	0 245 255	#00FF5F	Turquoise1	238 238 209	#EEDEE1	Salmon3	205 112 84	#CD7054	Violet Red2	205 50 120	#CD3278	Pale Violet Red3	139 71 93	#B475D			
Blanched Almond	255 235 205	#FFEBCC	Pale Green	152 251 152	#99FB88	Dark Violet	148 0 211	#9400D3	Slate Blue1	131 111 225	#345FC0	Blue Violet	208 32 144	#002090	Slate Blue2	122 103 228	#7A7EE	Turquoise2	0 245 255	#005E5E	Light Yellow2	205 205 180	#CCDCB4	Salmon4	139 76 57	#B8AC39	Maroon5	255 25 255	#FF00FF
Bisque	255 228 196	#FFEE4C	Spring Green	0 255 127	#00FF77	Blue Violet	138 43 226	#6A2B2E	Slate Blue3	105 59 205	#95959C	Purple	160 32 240	#00A0F0	Slate Blue4	117 60 219	#473C8B	Turquoise3	0 245 255	#005C5D	Light Yellow3	139 139 122	#B8B67A	Light Salmon1	255 160 122	#FFA07A	Magenta6	238 0 238	#EE00EE
Peach	252 218 185	#FFDAB9	Lawn Green	238 124 250	#77CC00	Yellow	0 255 0	#00FFFF	Medium Purple	147 112 219	#9370D8	Blue4	71 60 130	#473C8B	Royal Blue1	122 112 214	#7A8B8B	Cyan1	0 255 255	#00FFFF	Light Salmon2	238 149 114	#EE9572	Light Salmon3	205 129 98	#CD162	Violet Red7	255 62 150	#FF3E96
Navajo White	255 222 173	#FFDEAD	Green	0 255 0	#00FFFF	Medium Purple	147 112 219	#9370D8	Royal Blue2	130 125 123	#8B5A5D	Blue5	160 32 240	#00A0F0	Royal Blue3	117 60 219	#473C8B	Cyan2	0 255 255	#00FFFF	Light Salmon4	238 149 114	#EE9572	Light Salmon5	139 139 129	#B8B67A	Magenta8	238 58 140	#IE3A8C
Moccasin	255 228 181	#FFEBB5	Chartreuse	0 255 255	#00FFFF	Thistle	216 191 216	#8B80D0	Royal Blue4	122 112 214	#7A8B8B	Blue6	160 32 240	#00A0F0	Royal Blue5	117 60 219	#473C8B	Cyan3	0 255 205	#00CDCC	Light Salmon6	238 149 114	#EE9572	Light Salmon7	139 139 129	#B8B67A	Violet Red9	205 50 120	#CD3278
Corn silk	255 248 220	#FFFBDC	MediumSeaGreen	60 179 179	#3CB371	Medium Orchid	186 185 186	#BA5D53	Royal Blue6	130 125 123	#8B5A5D	Blue7	160 32 240	#00A0F0	Royal Blue7	117 60 219	#473C8B	Cyan4	0 255 205	#00FFFF	Light Salmon8	238 149 114	#EE9572	Light Salmon9	139 139 129	#B8B67A	Pale Violet Red10	205 50 120	#CD3278
Ivory	255 255 240	#FFFBF0	MedSpringGreen	0 255 154	#00FA9A	Snow1	255 250 250	#FFFFFF	Royal Blue8	122 112 214	#7A8B8B	Blue8	160 32 240	#00A0F0	Royal Blue9	117 60 219	#473C8B	Cyan5	0 255 205	#00CDCC	Light Salmon10	238 149 114	#EE9572	Light Salmon11	139 139 129	#B8B67A	Violet Red11	205 50 120	#CD3278
Lemon Chiffon	255 250 205	#FFFAAD	Green Yellow	173 255 47	#A9F5E0	Snow2	238 233 233	#E9EE99	Royal Blue10	122 112 214	#7A8B8B	Blue9	160 32 240	#00A0F0	Royal Blue11	117 60 219	#473C8B	Cyan6	0 255 205	#00CDCC	Light Salmon12	238 149 114	#EE9572	Light Salmon13	139 139 129	#B8B67A	Pale Violet Red14	205 50 120	#CD3278
Seashell	255 245 238	#FFSEE6	Light Green	50 205 50	#3C3C3D	Snow3	205 201 201	#00CD9C	Royal Blue12	122 112 214	#7A8B8B	Blue10	160 32 240	#00A0F0	Royal Blue13	117 60 219	#473C8B	Cyan7	0 255 205	#00CDCC	Light Salmon14	238 149 114	#EE9572	Light Salmon15	139 139 129	#B8B67A	Violet Red16	205 50 120	#CD3278
Honeydew	240 255 240	#FFFOFO	Yellow Green	154 205 50	#99CD32	Snow4	139 137 137	#8B8989	Royal Blue14	122 112 214	#7A8B8B	Blue11	160 32 240	#00A0F0	Royal Blue15	117 60 219	#473C8B	Cyan8	0 255 205	#00CDCC	Light Salmon16	238 149 114	#EE9572	Light Salmon17	139 139 129	#B8B67A	Pale Violet Red18	205 50 120	#CD3278
Mint Cream	245 255 250	#FF55FF	Forest Green	34 138 34	#228822	Sesame1	228 222 222	#8B80D0	Royal Blue16	122 112 214	#7A8B8B	Blue12	160 32 240	#00A0F0	Royal Blue17	117 60 219	#473C8B	Cyan9	0 255 205	#00CDCC	Light Salmon18	238 149 114	#EE9572	Light Salmon19	139 139 129	#B8B67A	Violet Red20	205 50 120	#CD3278
Azure	240 255 255	#FF55FF	Olive Drab	107 142 35	#6B8E23	Sesame2	228 222 222	#8B80D0	Royal Blue18	122 112 214	#7A8B8B	Blue13	160 32 240	#00A0F0	Royal Blue19	117 60 219	#473C8B	Cyan10	0 255 205	#00CDCC	Light Salmon20	238 149 114	#EE9572	Light Salmon21	139 139 129	#B8B67A	Pale Violet Red22	205 50 120	#CD3278
Alice Blue	240 248 255	#FF00FF	Dark Khaki	189 183 107	#BDB76B	Sesame3	205 197 197	#00CD5C	Royal Blue20	122 112 214	#7A8B8B	Blue14	160 32 240	#00A0F0	Royal Blue21	117 60 219	#473C8B	Cyan11	0 255 205	#00CDCC	Light Salmon22	238 149 114	#EE9572	Light Salmon23	139 139 129	#B8B67A	Violet Red24	205 50 120	#CD3278
Lavender	230 230 250	#E6E6FA	Pale Gold	71 139 71	#3CB371	Pale Gold	238 213 170	#E9EE8A	Royal Blue22	122 112 214	#7A8B8B	Blue15	160 32 240	#00A0F0	Royal Blue23	117 60 219	#473C8B	Cyan12	0 255 205	#00CDCC	Light Salmon24	238 149 114	#EE9572	Light Salmon25	139 139 129	#B8B67A	Pale Violet Red26	205 50 120	#CD3278
Light lavender	255 240 245	#FFD9D9	Light	255 255 224	#00FFFF	Antique White1	255 239 239	#99FFD4	Royal Blue24	122 112 214	#7A8B8B	Blue16	160 32 240	#00A0F0	Royal Blue25	117 60 219	#473C8B	Cyan13	0 255 205	#00CDCC	Light Salmon26	238 149 114	#EE9572	Light Salmon27	139 139 129	#B8B67A	Violet Red28	205 50 120	#CD3278
Misty Rose	255 228 228	#FFEE41	Yellow	255 255 250	#00FFFF	Antique White2	255 239 239	#99FFD4	Royal Blue26	122 112 214	#7A8B8B	Blue17	160 32 240	#00A0F0	Royal Blue27	117 60 219	#473C8B	Cyan14	0 255 205	#00CDCC	Light Salmon28	238 149 114	#EE9572	Light Salmon29	139 139 129	#B8B67A	Pale Violet Red30	205 50 120	#CD3278
White	255 255 255	#FFFFFF	Gold	255 251 251	#FF7D70	Antique White3	255 239 239	#99FFD4	Royal Blue28	122 112 214	#7A8B8B	Blue18	160 32 240	#00A0F0	Royal Blue29	117 60 219	#473C8B	Cyan15	0 255 205	#00CDCC	Light Salmon30	238 149 114	#EE9572	Light Salmon31	139 139 129	#B8B67A	Violet Red32	205 50 120	#CD3278
Black	0 0 0	#000000	Light Goldenrod	238 221 130	#EEDD82	Bisque1	255 228 196	#F0F0F0	Royal Blue30	122 112 214	#7A8B8B	Blue19	160 32 240	#00A0F0	Royal Blue31	117 60 219	#473C8B	Cyan16	0 255 205	#00CDCC	Light Salmon32	238 149 114	#EE9572	Light Salmon33	139 139 129	#B8B67A	Pale Violet Red34	205 50 120	#CD3278
Dark State Gray	47 79 79	#2F4F4F	Goldenrod	218 165 32	#DAA520	Bisque2	238 213 183	#EED5B7	Royal Blue35	122 112 214	#7A8B8B	Blue20	160 32 240	#00A0F0	Royal Blue36	117 60 219	#473C8B	Cyan17	0 255 205	#00CDCC	Light Salmon37	238 149 114	#EE9572	Light Salmon38	139 139 129	#B8B67A	Violet Red39	205 50 120	#CD3278
Dim Grey	105 105 105	#666666	Dark Gold	184 134 134	#B8B66D	Bisque3	205 183 153	#00CD70	Royal Blue39	122 112 214	#7A8B8B	Blue21	160 32 240	#00A0F0	Royal Blue40	117 60 219	#473C8B	Cyan18	0 255 205	#00CDCC	Light Salmon41	238 149 114	#EE9572	Light Salmon42	139 139 129	#B8B67A	Pale Violet Red43	205 50 120	#CD3278
State Gray	112 128 144	#070890	Rosy Brown	188 143 143	#B288F8	Bisque4	139 125 107	#00CD8E	Royal Blue44	122 112 214	#7A8B8B	Blue22	160 32 240	#00A0F0	Royal Blue45	117 60 219	#473C8B	Cyan19	0 255 205	#00CDCC	Light Salmon46	238 149 114	#EE9572	Light Salmon47	139 139 129	#B8B67A	Violet Red48	205 50 120	#CD3278
Grey	190 190 190	#BEBEBE	Indian Red	205 92 92	#DC5C5C	Bisque5	255 218 218	#FFDAB9	Royal Puff1	122 112 214	#7A8B8B	Blue23	160 32 240	#00A0F0	Royal Puff2	117 60 219	#473C8B	Cyan20	0 255 205	#00CDCC	Light Salmon51	238 149 114	#EE9572	Light Salmon52	139 139 129	#B8B67A	Pale Violet Red53	205 50 120	#CD3278
Light Gray	211 211 211	#D3D3D3	Saddle Brown	139 69 69	#A6B413	Peach Puff1	238 203 173	#E0E0E0	Royal Puff2	122 112 214	#7A8B8B	Blue24	160 32 240	#00A0F0	Royal Puff3	117 60 219	#473C8B	Cyan21	0 255 205	#00CDCC	Light Salmon54	238 149 114	#EE9572	Light Salmon55	139 139 129	#B8B67A	Violet Red56	205 50 120	#CD3278
Midnight Blue	25 25 25	#191970	Sienna	160 82 45	#A0A0D2	Peach Puff4	210 150 3	#00CD95	Royal Puff5	122 112 214	#7A8B8B	Blue25	160 32 240	#00A0F0	Royal Puff6	117 60 219	#473C8B	Cyan22	0 255 205	#00CDCC	Light Salmon57	238 149 114	#EE9572	Light Salmon58	139 139 129	#B8B67A	Pale Violet Red59	205 50 120	#CD3278
Navy Blue	0 0 128	#000080	Burlywood	222 184 135	#D8BFD7	Royal Puff7	255 222 173	#FFDAD6	Royal Puff8	122 112 214	#7A8B8B	Blue26	160 32 240	#00A0F0	Royal Puff9	117 60 219	#473C8B	Cyan23	0 255 205	#00CDCC	Light Salmon60	238 149 114	#EE9572	Light Salmon61	139 139 129	#B8B67A	Violet Red62	205 50 120	#CD3278
Conflower Blue	100 149 237	#49E5D9	Dark Olive	245 220 220	#FF55FF	Navy White1	255 222 173	#FFDAD6	Royal Puff10	122 112 214	#7A8B8B	Blue27	160 32 240	#00A0F0	Royal Puff11	117 60 219	#473C8B	Cyan24	0 255 205	#00CDCC	Light Salmon63	238 149 114	#EE9572	Light Salmon64	139 139 129	#B8B67A	Pale Violet Red65	205 50 120	#CD3278
Dark State Blue	76 119 139	#A3D9B8	Be																										

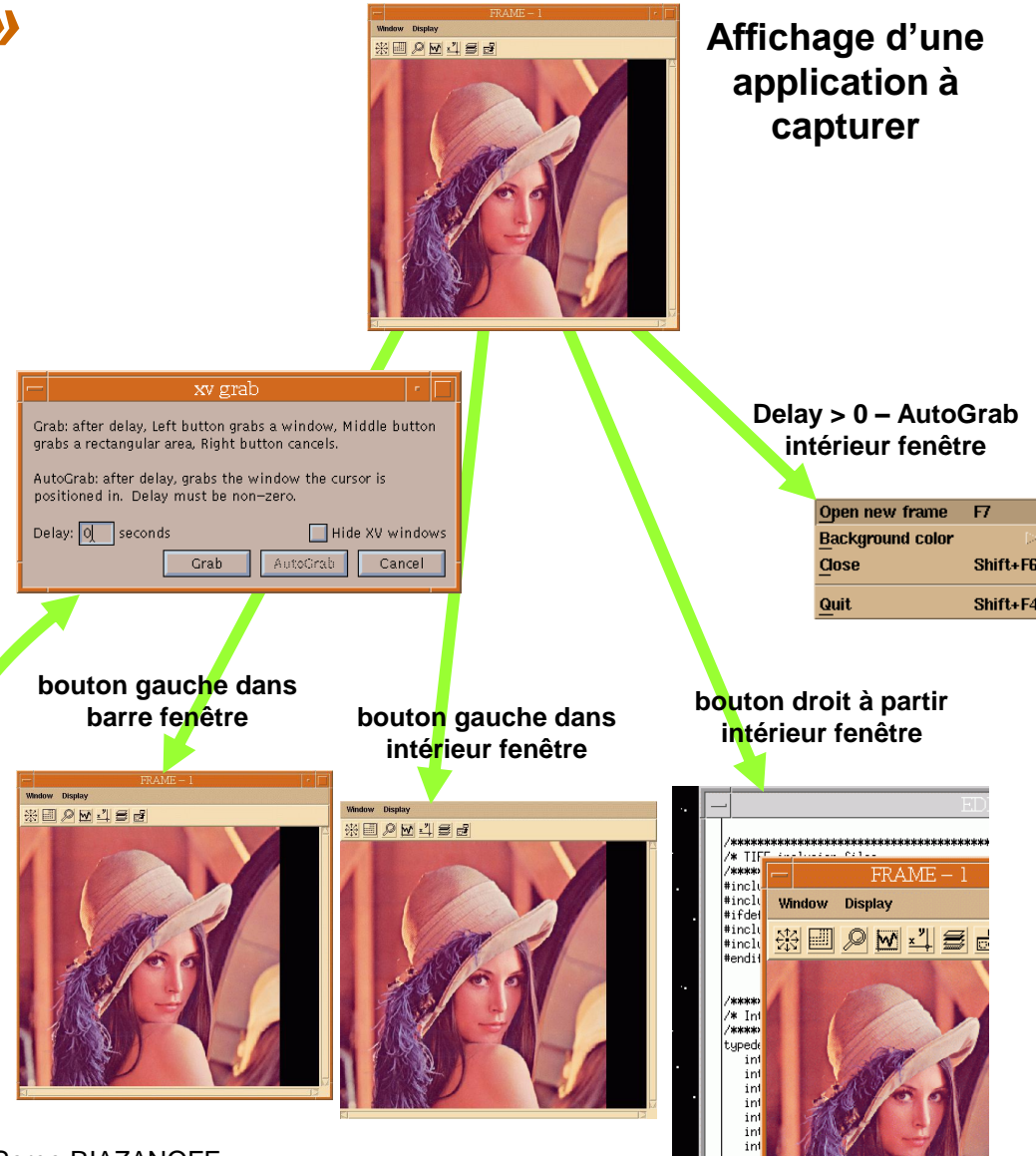
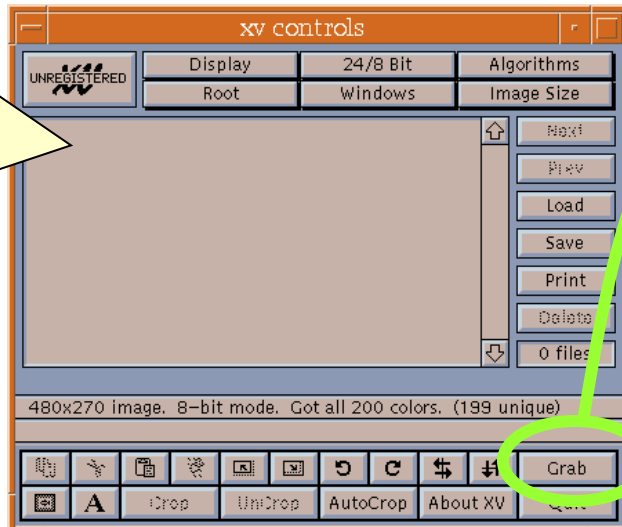


L'application « XV »

Capture d'une image



Bouton droit



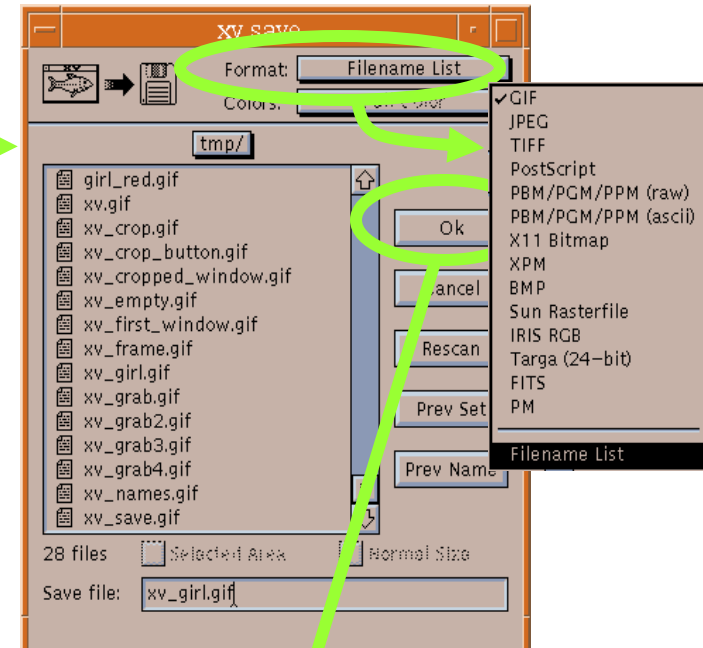
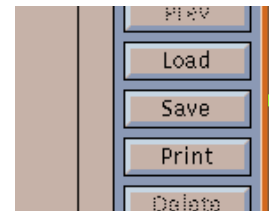


❖ Cadrage et sauvegarde d'une image



<http://www-igm.univ-mlv.fr/~riazano/>

version 2.09





● Pseudo-couleurs et compositions colorées

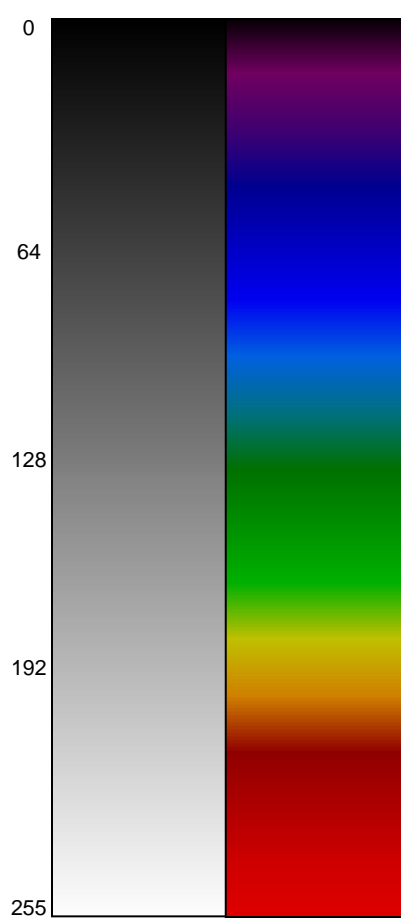
- Images monochromatiques
Tables de pseudo-couleurs (LUT)
- Images multispectrales et visualisation Rouge/Verte/Bleu
Compositions colorées



Images monochromatiques Tables de pseudo-couleurs (LUT)



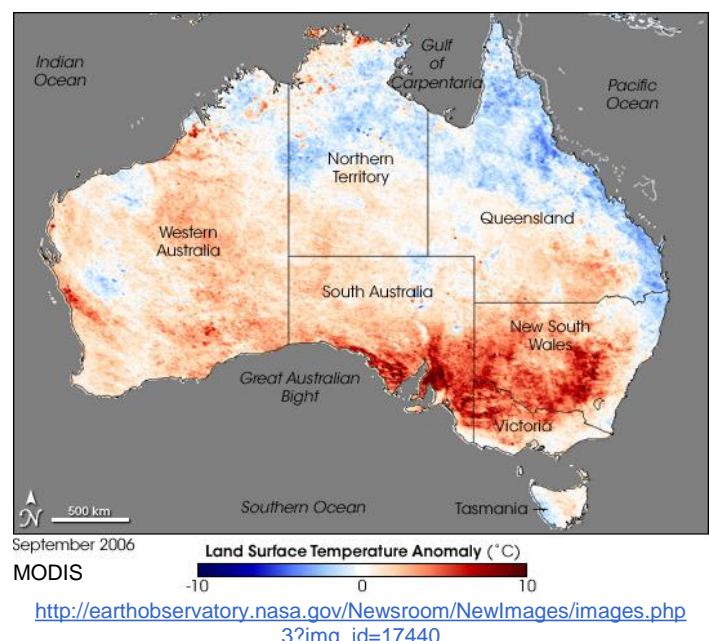
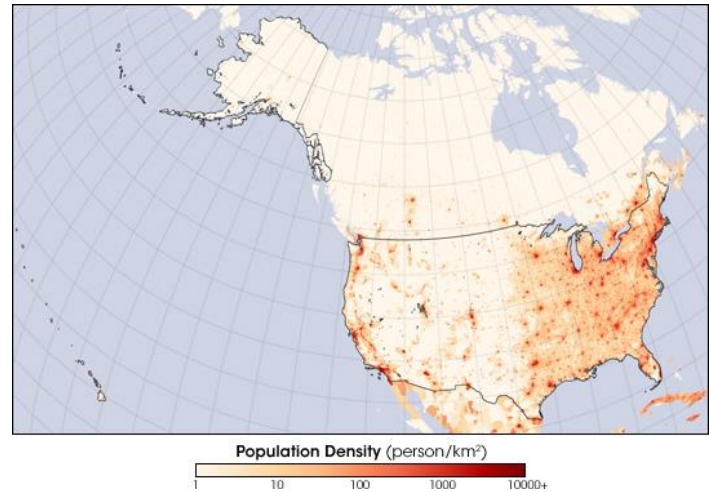
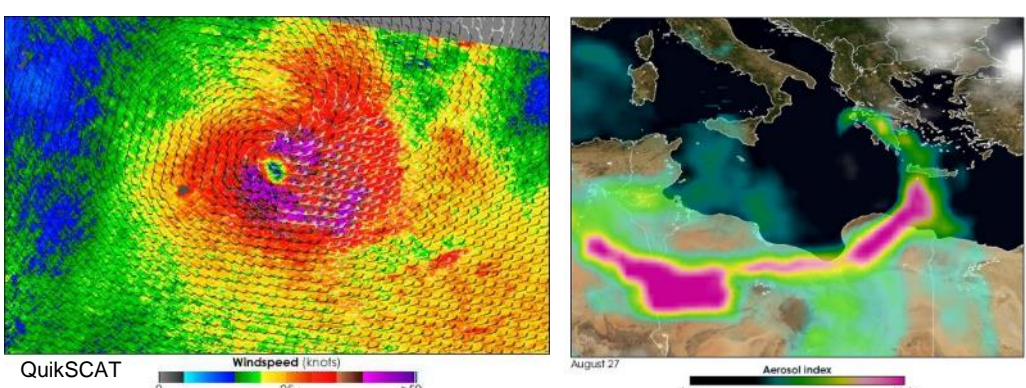
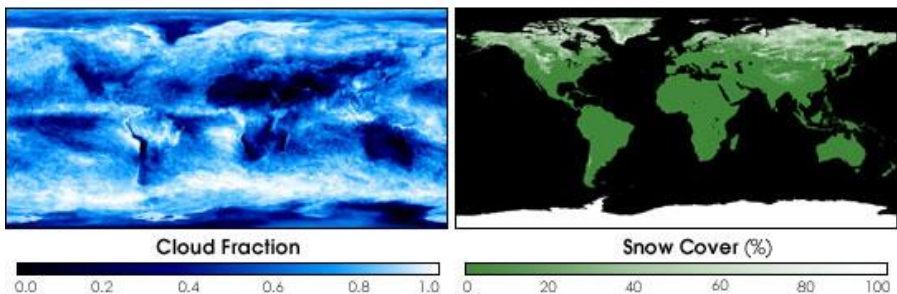
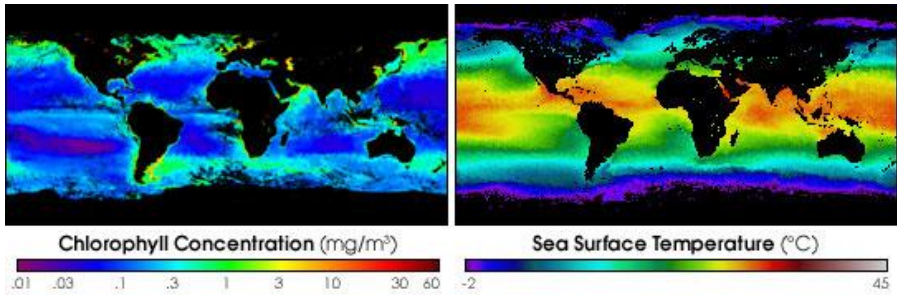
Exemple de Visual PseudoColor: la colormap pseudo-couleur



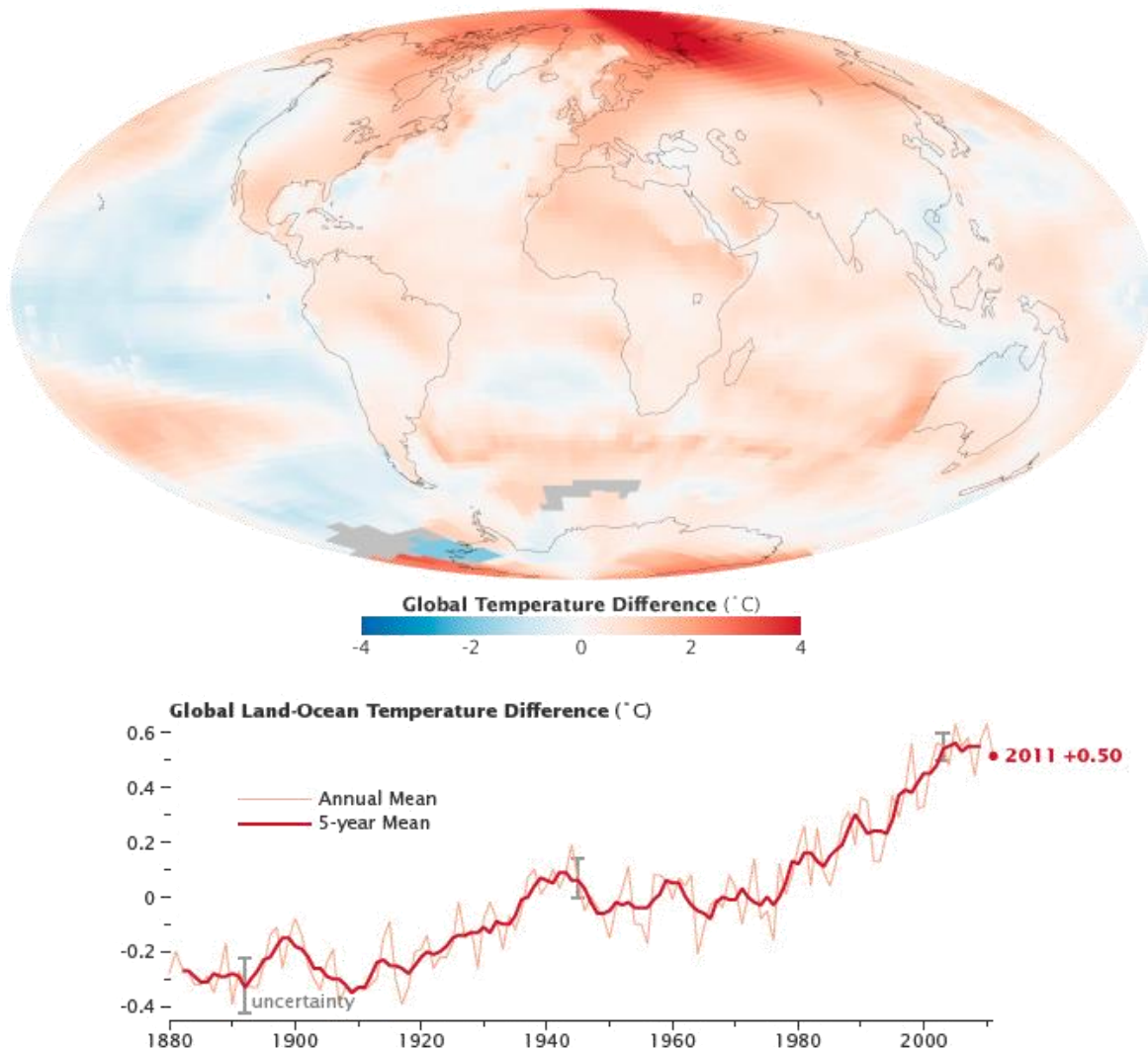
	R	V	B	0	32	40	0	70	64	0	0	c0	96	0	60	e0	128	0	70	0	160	0	b0	0	192	d0	80	0	224	b0	0	0
1	7	0	6	33	3c	0	72	65	0	0	c3	97	0	61	da	129	0	72	0	161	0c	b1	0	193	cc	78	0	225	b2	0	0	
2	0e	0	0c	34	38	0	74	66	0	0	c6	98	0	62	d4	130	0	74	0	162	18	b2	0	194	c8	70	0	226	b4	0	0	
3	15	0	12	35	34	0	76	67	0	0	c9	99	0	63	ce	131	0	76	0	163	24	b3	0	195	c4	68	0	227	b6	0	0	
4	1c	0	18	36	30	0	78	68	0	0	cc	100	0	64	c8	132	0	78	0	164	30	b4	0	196	c0	60	0	228	b8	0	0	
5	23	0	1e	37	2c	0	7a	69	0	0	cf	101	0	65	c2	133	0	7a	0	165	3c	b5	0	197	bc	58	0	229	ba	0	0	
6	2a	0	24	38	28	0	7c	70	0	0	d2	102	0	66	bc	134	0	7c	0	166	48	b6	0	198	b8	50	0	230	bc	0	0	
7	31	0	2a	39	24	0	7e	71	0	0	d5	103	0	67	b6	135	0	7e	0	167	54	b7	0	199	b4	48	0	231	be	0	0	
8	38	0	30	40	20	0	80	72	0	0	d8	104	0	68	b0	136	0	80	0	168	60	b8	0	200	b0	40	0	232	c0	0	0	
9	3f	0	36	41	1c	0	82	73	0	0	db	105	0	69	aa	137	0	82	0	169	6c	b9	0	201	ac	38	0	233	c2	0	0	
10	46	0	3c	42	18	0	84	74	0	0	de	106	0	6a	a4	138	0	84	0	170	78	ba	0	202	a8	30	0	234	c4	0	0	
11	4d	0	42	43	14	0	86	75	0	0	e1	107	0	6b	9e	139	0	86	0	171	84	bb	0	203	a4	28	0	235	c6	0	0	
12	54	0	48	44	10	0	88	76	0	0	e4	108	0	6c	98	140	0	88	0	172	90	bc	0	204	a0	20	0	236	c8	0	0	
13	5b	0	4e	45	0c	0	8a	77	0	0	e7	109	0	6d	92	141	0	8a	0	173	9c	bd	0	205	9c	18	0	237	ca	0	0	
14	62	0	54	46	8	0	8c	78	0	0	ea	110	0	6e	8c	142	0	8c	0	174	a8	be	0	206	98	10	0	238	cc	0	0	
15	69	0	5a	47	4	0	8e	79	0	0	ed	111	0	6f	86	143	0	8e	0	175	b4	bf	0	207	94	8	0	239	ce	0	0	
16	70	0	60	48	0	0	90	80	0	0	f0	112	0	70	80	144	0	90	0	176	c0	co	0	208	90	0	0	240	d0	0	0	
17	6d	0	61	49	0	0	93	81	0	6	ef	113	0	70	78	145	0	92	0	177	c1	bc	0	209	92	0	0	241	d1	0	0	
18	6a	0	62	50	0	0	96	82	0	0c	ee	114	0	70	70	146	0	94	0	178	c2	bb	0	210	94	0	0	242	d2	0	0	
19	67	0	63	51	0	0	99	83	0	12	ed	115	0	70	68	147	0	96	0	179	c3	b4	0	211	96	0	0	243	d3	0	0	
20	64	0	64	52	0	0	9c	84	0	18	ec	116	0	70	60	148	0	98	0	180	c4	bo	0	212	98	0	0	244	d4	0	0	
21	61	0	65	53	0	0	9f	85	0	1e	eb	117	0	70	58	149	0	9a	0	181	c5	ac	0	213	9a	0	0	245	d5	0	0	
22	5e	0	66	54	0	0	a2	86	0	24	ea	118	0	70	50	150	0	9c	0	182	c6	ab	0	214	9c	0	0	246	d6	0	0	
23	5b	0	67	55	0	0	a5	87	0	2a	e9	119	0	70	48	151	0	9e	0	183	c7	a4	0	215	9e	0	0	247	d7	0	0	
24	58	0	68	56	0	0	a8	88	0	30	e8	120	0	70	40	152	0	a0	0	184	c8	a0	0	216	a0	0	0	248	d8	0	0	
25	55	0	69	57	0	0	ab	89	0	36	e7	121	0	70	38	153	0	a2	0	185	c9	9c	0	217	a2	0	0	249	d9	0	0	
26	52	0	6a	58	0	0	ae	90	0	3c	e6	122	0	70	30	154	0	a4	0	186	ca	98	0	218	a4	0	0	250	da	0	0	
27	4f	0	6b	59	0	0	b1	91	0	42	e5	123	0	70	28	155	0	a6	0	187	cb	94	0	219	a6	0	0	251	db	0	0	
28	4c	0	6c	60	0	0	b4	92	0	48	e4	124	0	70	20	156	0	a8	0	188	cc	90	0	220	a8	0	0	252	dc	0	0	
29	49	0	6d	61	0	0	b7	93	0	4e	e3	125	0	70	18	157	0	aa	0	189	cd	8c	0	221	aa	0	0	253	dd	0	0	
30	46	0	6e	62	0	0	ba	94	0	54	e2	126	0	70	10	158	0	ac	0	190	ce	88	0	222	ac	0	0	254	de	0	0	
31	43	0	6f	63	0	0	bd	95	0	5a	e1	127	0	70	8	159	0	ae	0	191	cf	84	0	223	ae	0	0	255	df	0	0	

hexadécimal

D'autres exemples de tables pseudo-couleur

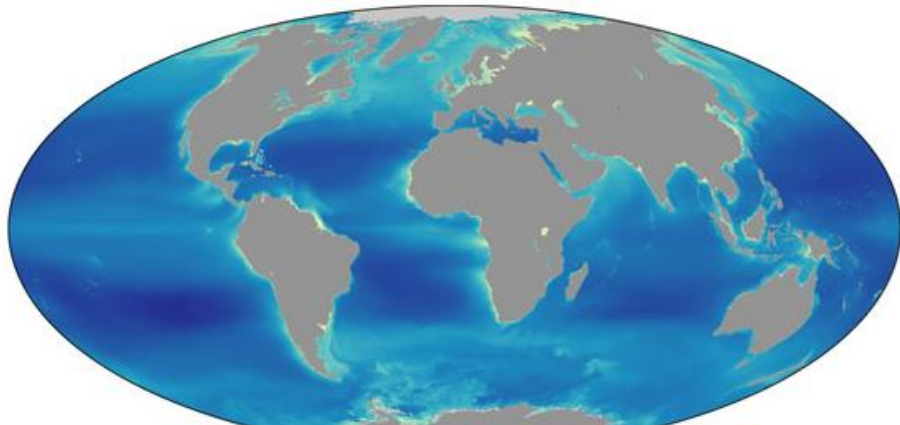


➊ Une table de pseudo-couleur pour illustrer une mesure biophysique

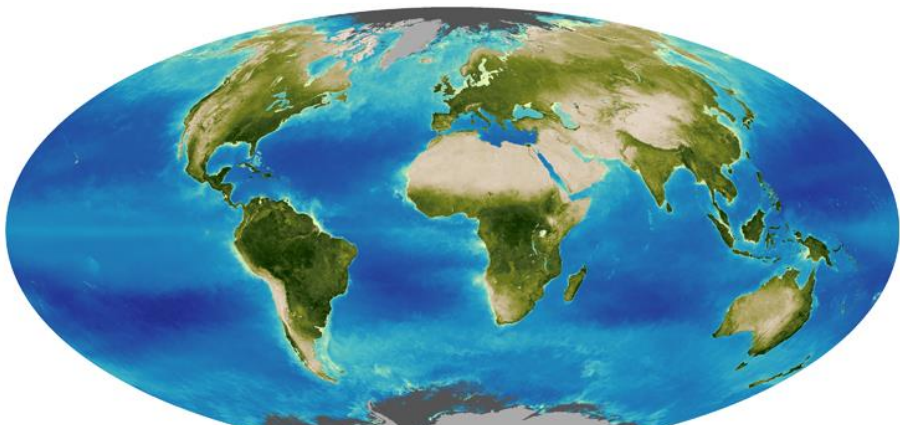


<http://earthobservatory.nasa.gov/IOTD/view.php?id=76975>

D'autres exemples de tables pseudo-couleur (suite)



http://earthobservatory.nasa.gov/Newsroom/NewImages/images.php3?img_id=17801

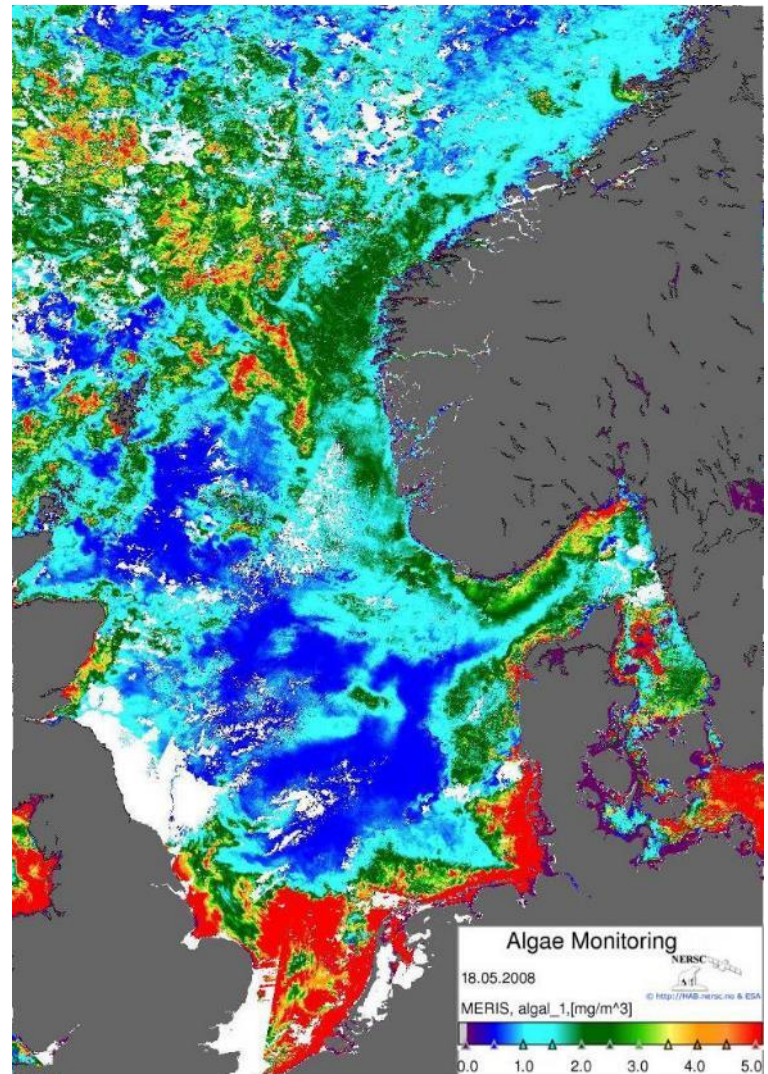


Chlorophyll Concentration (mg/m^3)
Vegetation Index
0.01 0.1 1 10 50

<http://earthobservatory.nasa.gov/IOTD/view.php?id=38889>

<http://www-igm.univ-mlv.fr/~riazano/>

version 2.09

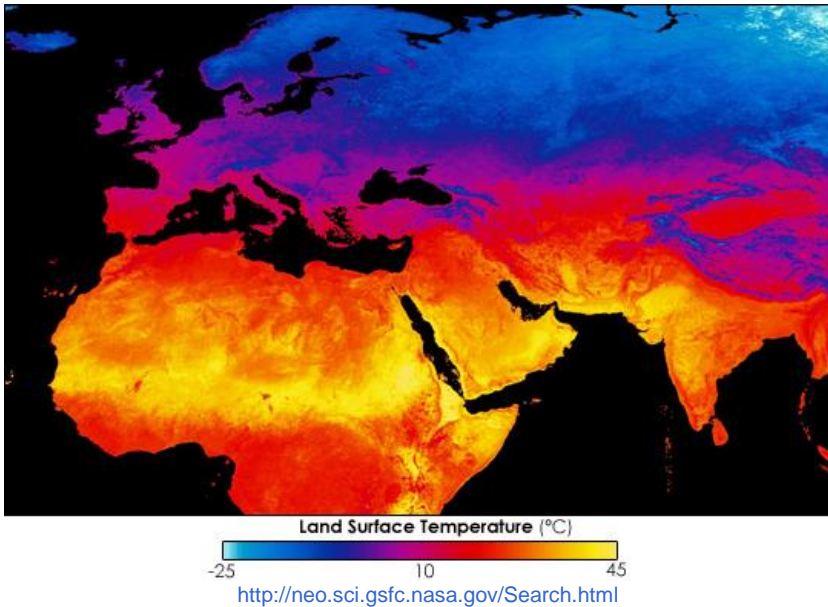
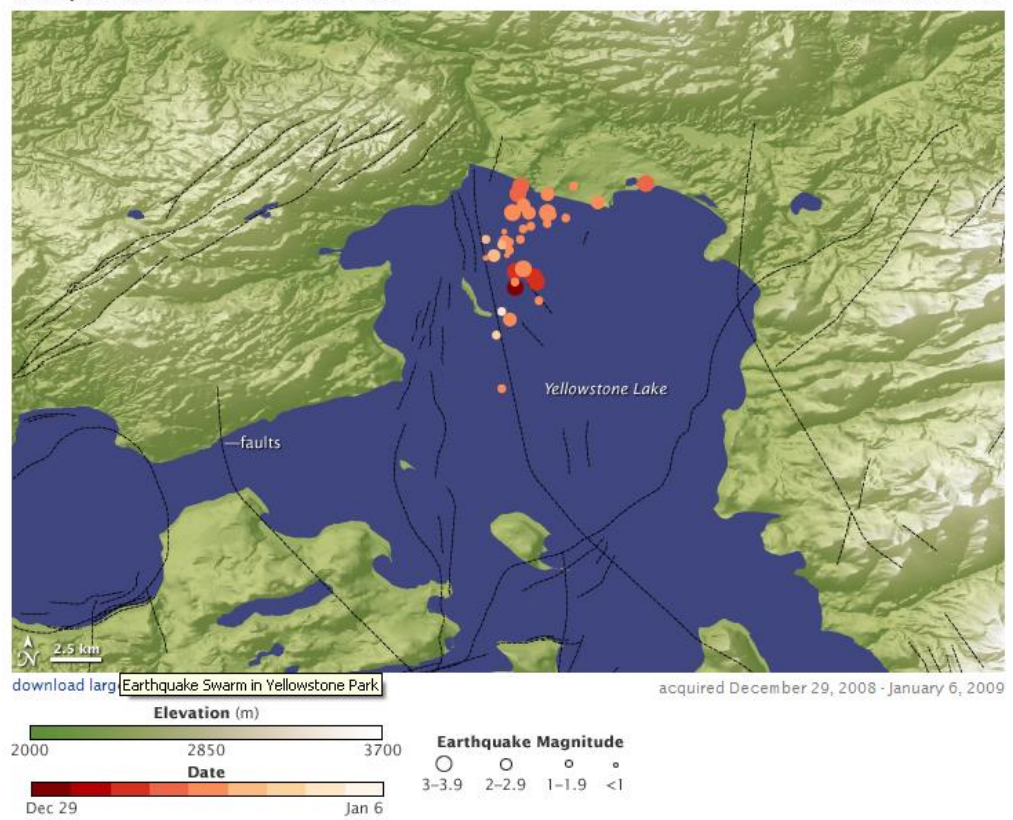


Envisat MERIS
http://esamultimedia.esa.int/images/EarthObservation/sst_20080509_H1.jpg

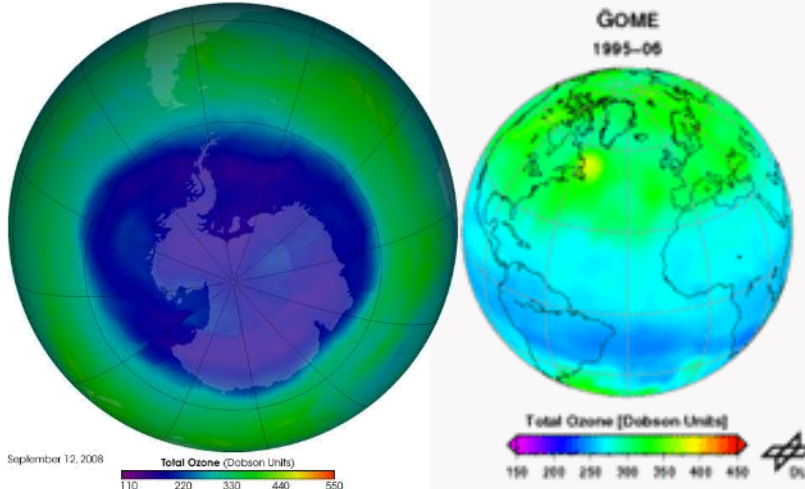


❖ D'autres exemples de tables pseudo-couleur (suite)

Earthquake Swarm in Yellowstone Park

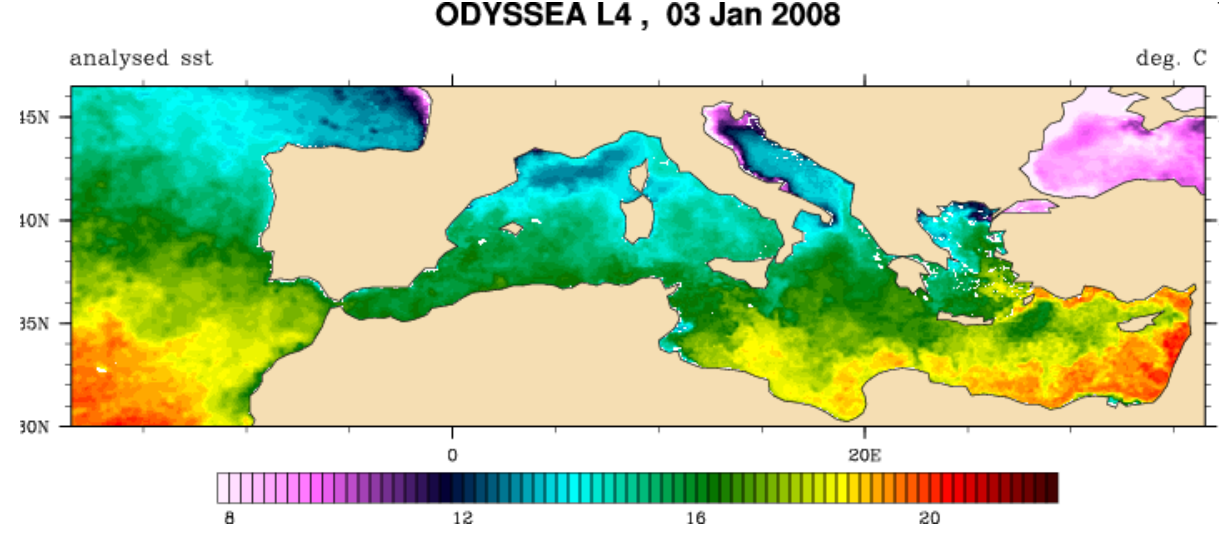
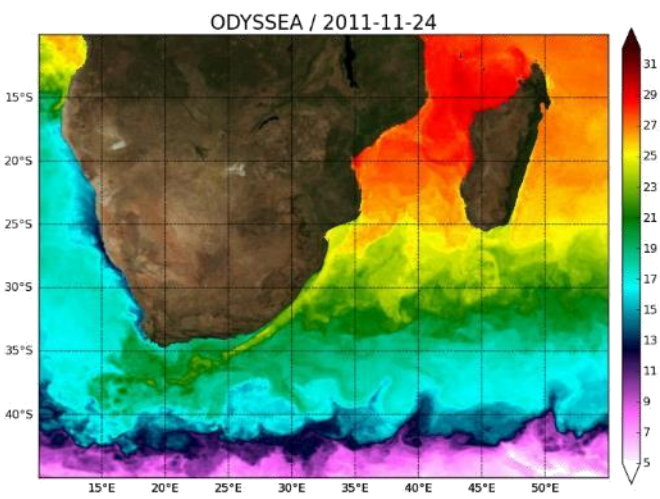
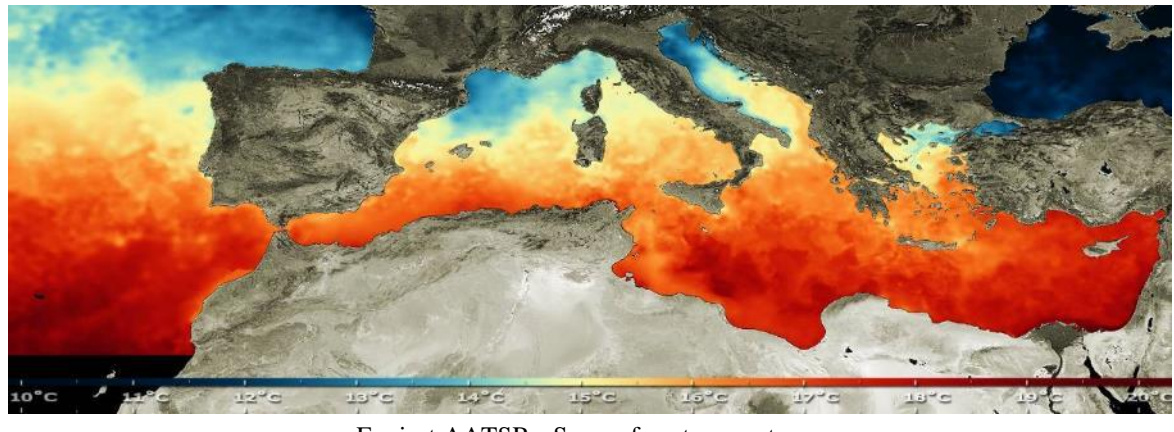
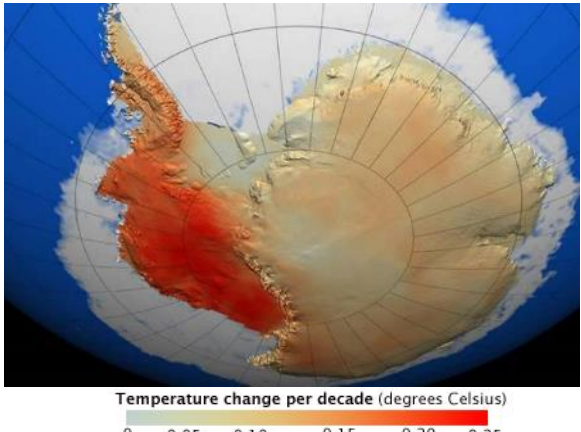


The Ozone Hole of 2008



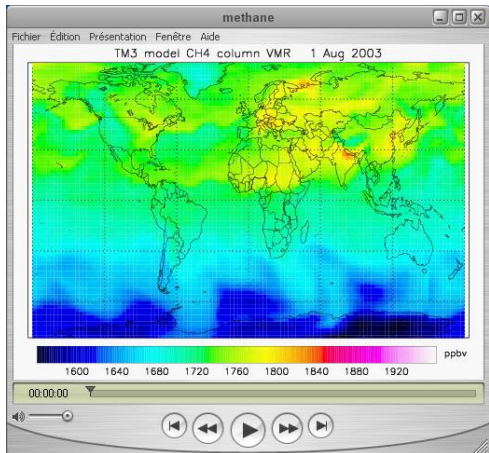
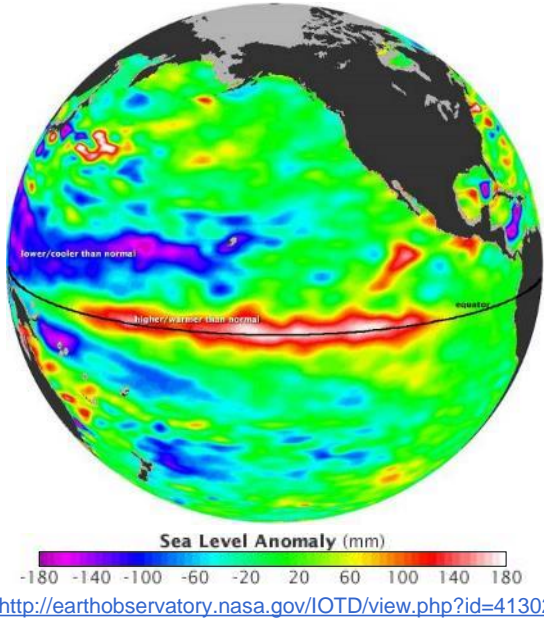


◆ D'autres exemples de tables pseudo-couleur (suite)

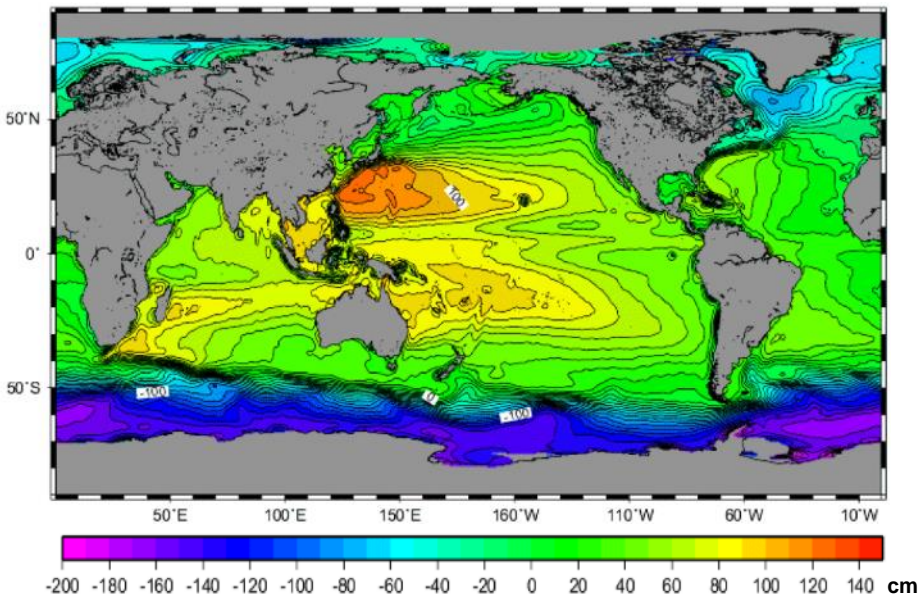
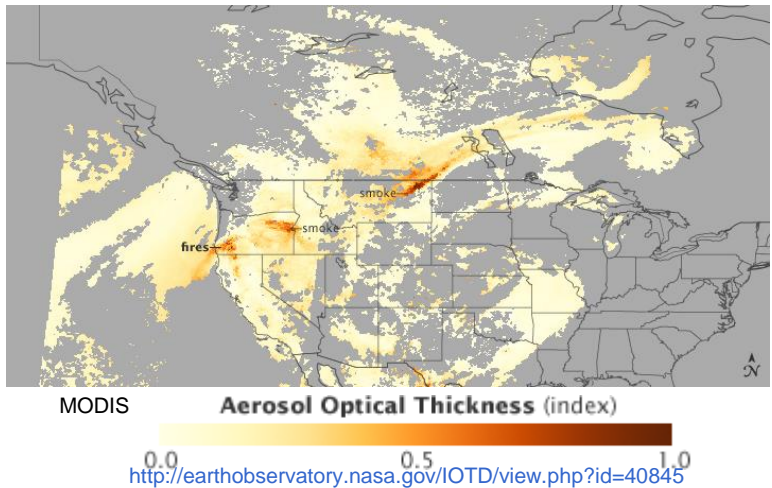




D'autres exemples de tables pseudo-couleur (suite)



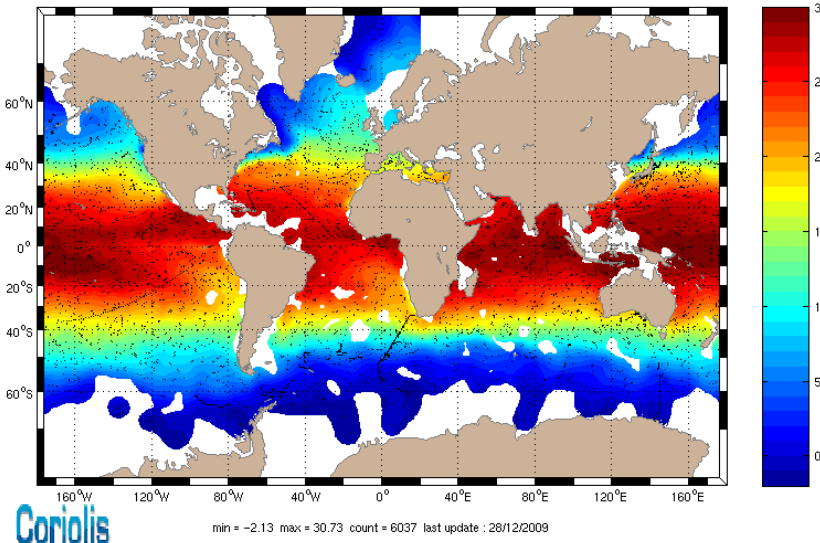
<http://www-igm.univ-mlv.fr/~riazano/>
version 2.09



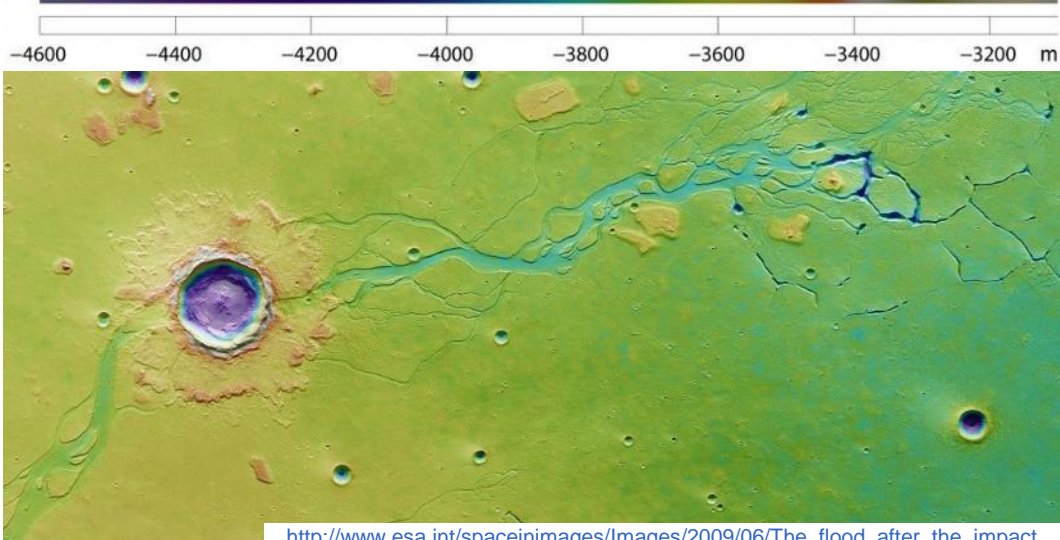
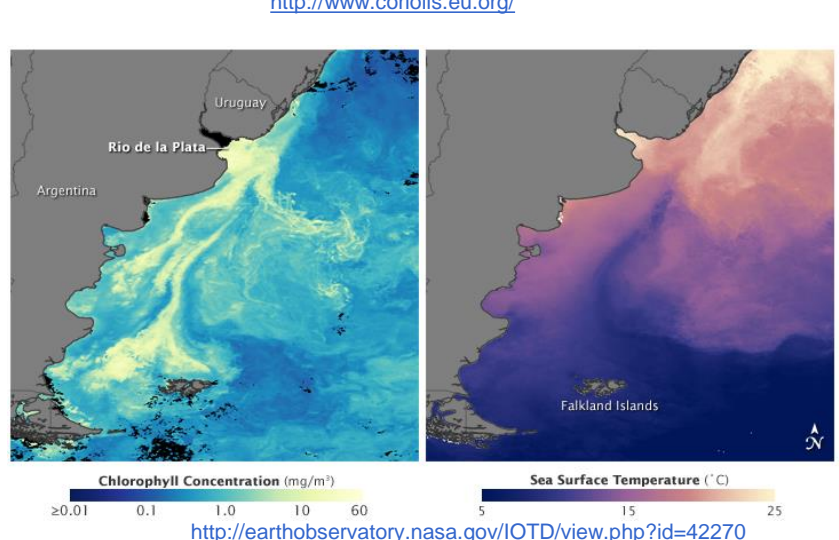
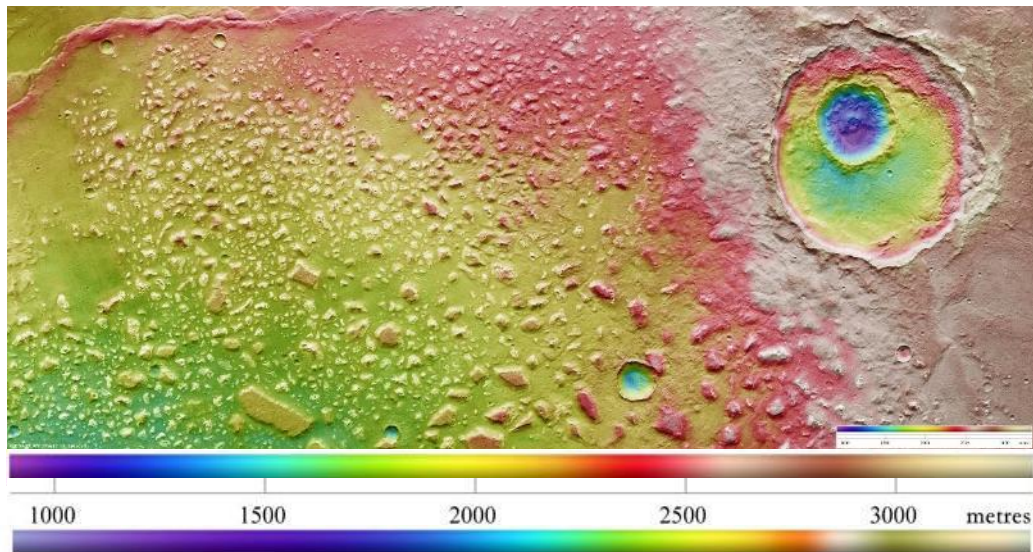


D'autres exemples de tables pseudo-couleur (suite)

TEMP - 28 December 2009 - 10 m



http://www.esa.int/SPECIALS/Mars_Express/SEM8JKANJTF_0.html

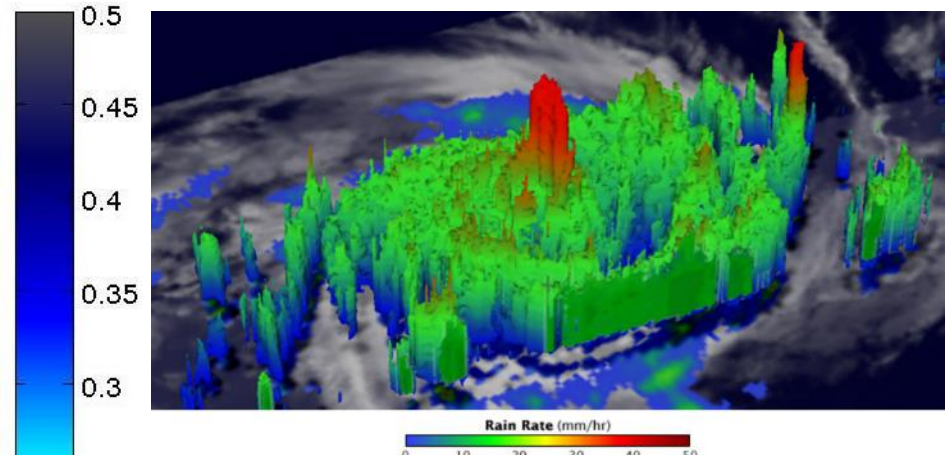
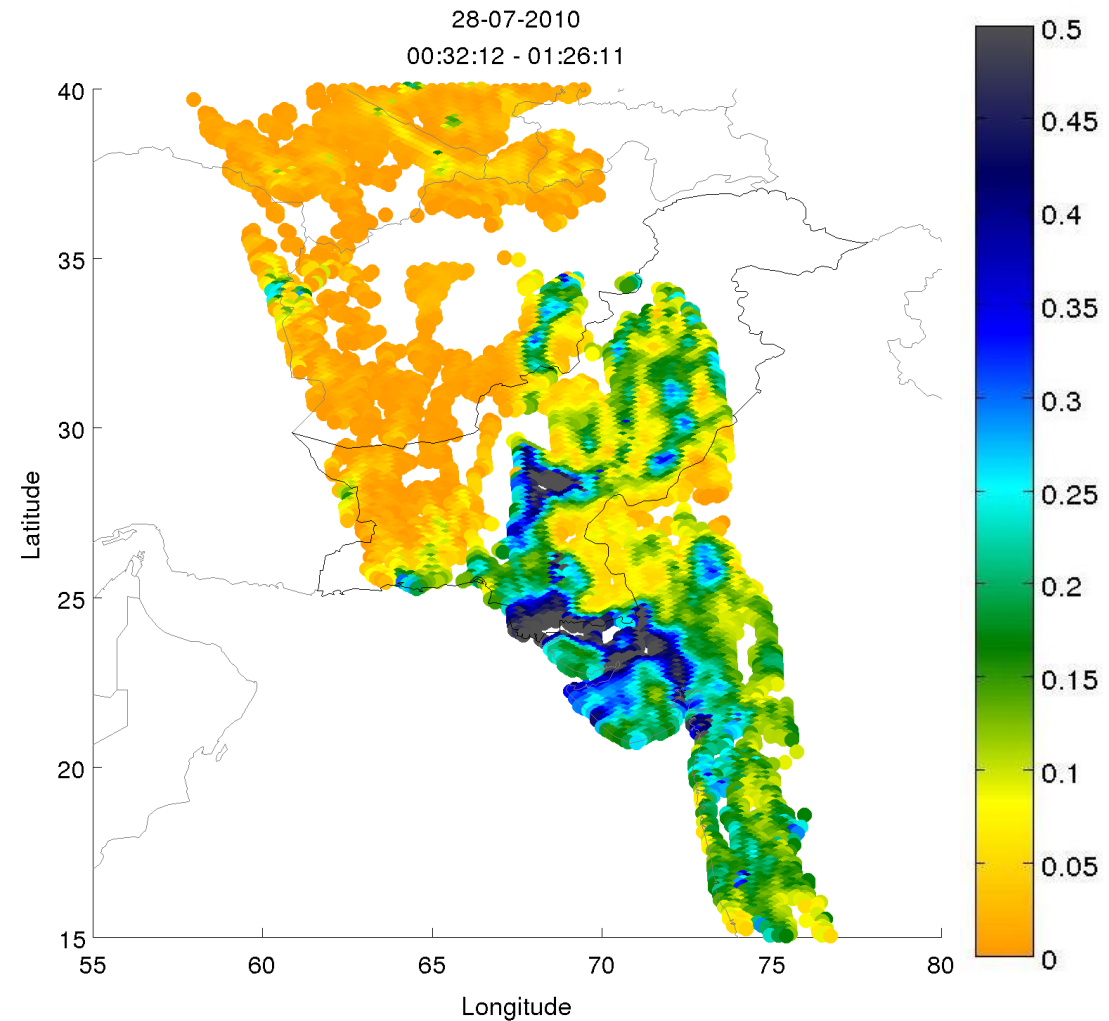


<http://www-igm.univ-mlv.fr/~riazano/>

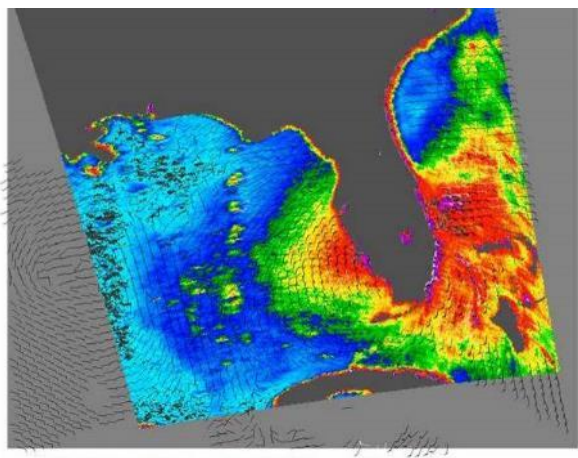
version 2.09



D'autres exemples de tables pseudo-couleur (suite)

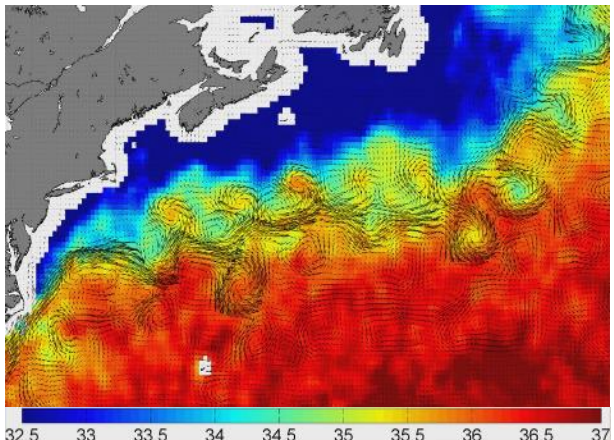


Ouragan Danielle (large de la Floride) observé le 27.08.2010 par l'instrument « Tropical Rainfall Measuring Mission (TRMM) »
<http://earthobservatory.nasa.gov/IOTD/view.php?id=45517>



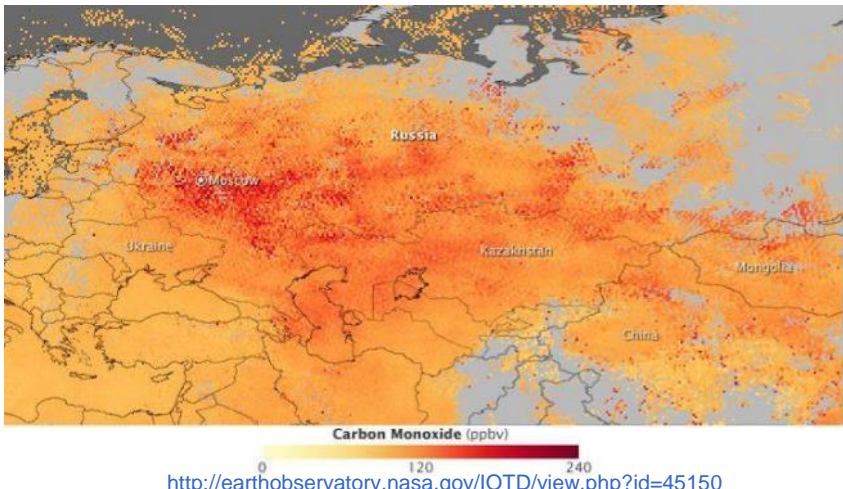
http://www.nasa.gov/images/content/353948main_267765main_fay_20080820_q_lg.jpg

◆ D'autres exemples de tables pseudo-couleur (suite)

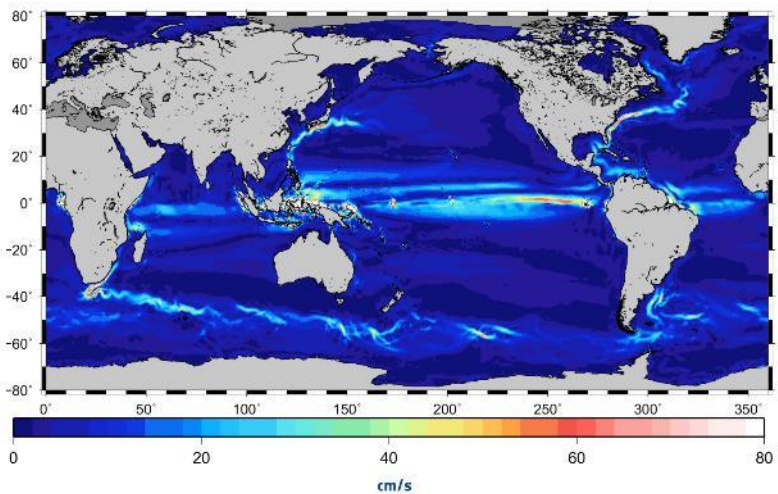


SMOS - Salinité de surface et courants marins

http://www.esa.int/Our_Activities/Observing_the_Earth/SMOS/SMOS_the_global_success_story_continues



<http://earthobservatory.nasa.gov/IOTD/view.php?id=45150>

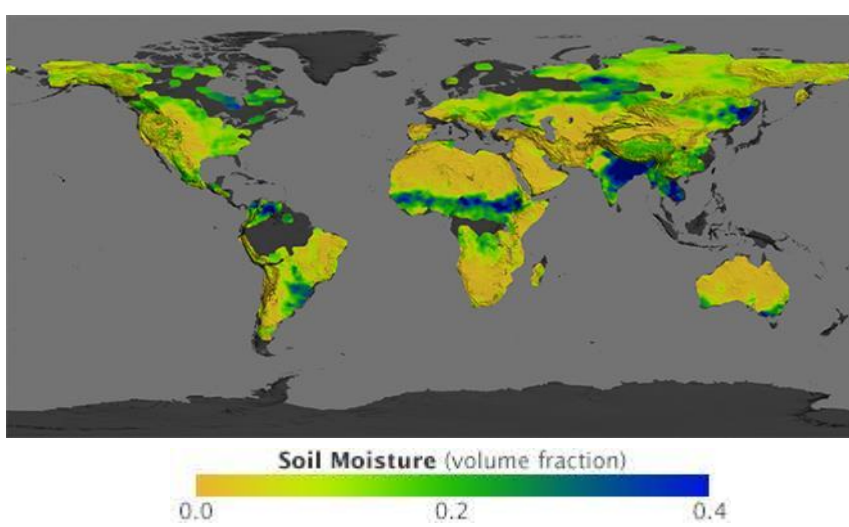


GOCE – Courants océaniques

http://www.esa.int/spaceinimages/Images/2014/11/Ocean_currents_from_GOCE

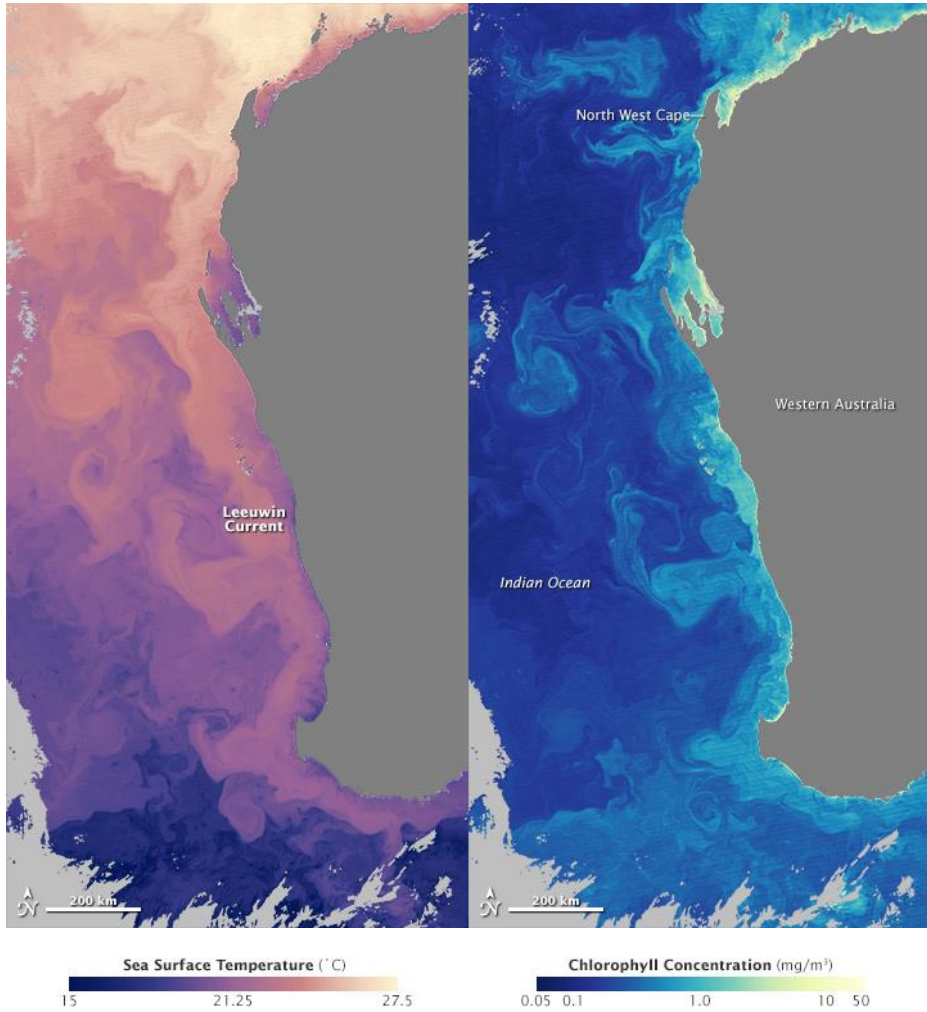
<http://www-igm.univ-mlv.fr/~riazano/>
version 2.09

Serge RIAZANOFF
Initiation au Traitement d'Images



<http://earthobservatory.nasa.gov/IOTD/view.php?id=84017&eoicn=image&eoic=moreiotd>

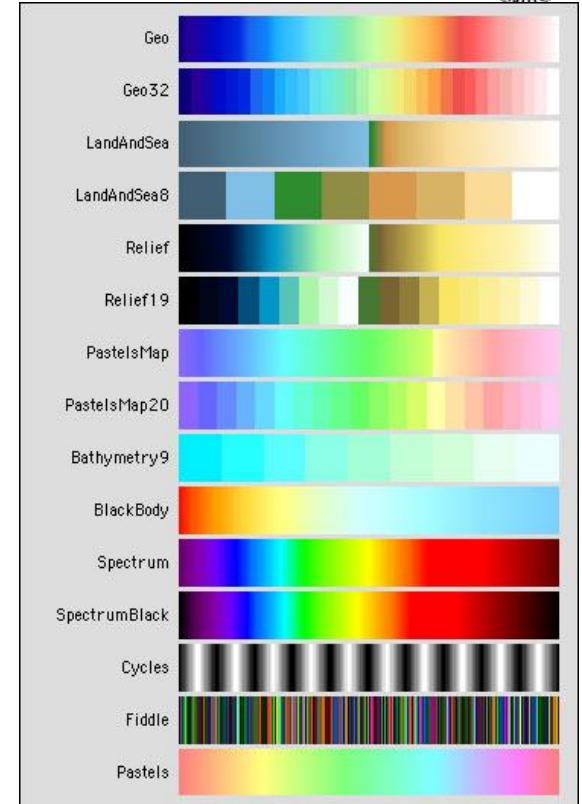
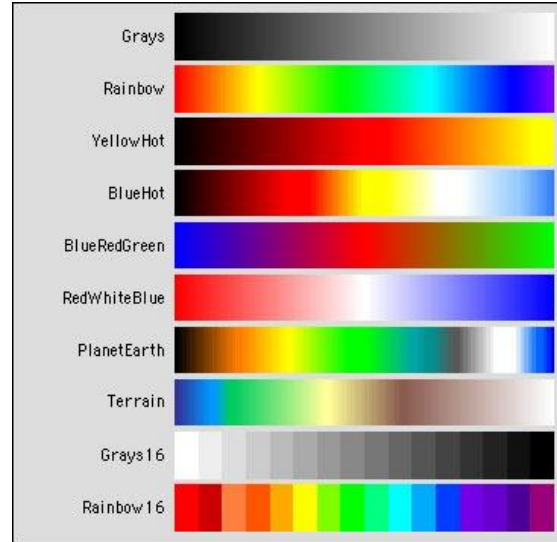
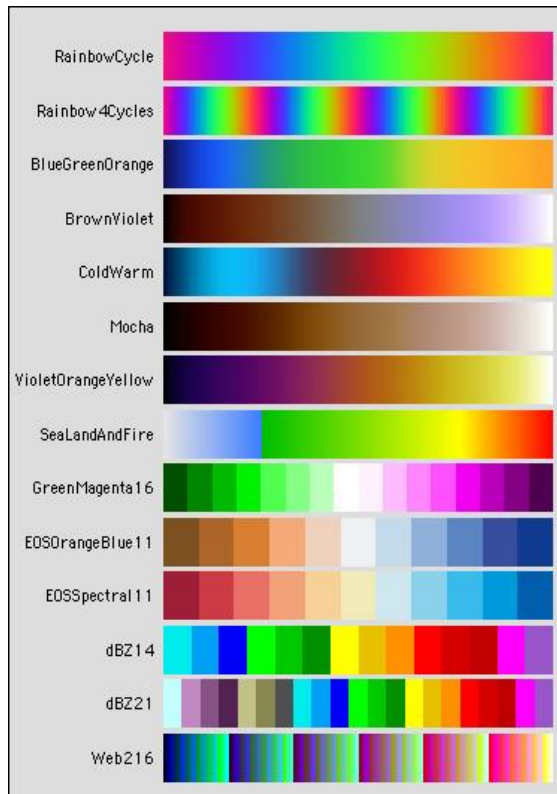
◆ D'autres exemples de tables pseudo-couleur (suite)



<http://earthobservatory.nasa.gov/IOTD/view.php?id=83944&eocn=image&eoci=moreiota>



Choix de tables de pseudo-couleur dans un logiciel (WaveMetrics™)



<http://www.wavemetrics.com/products/igorpro/creatinggraphs/colortab.htm>

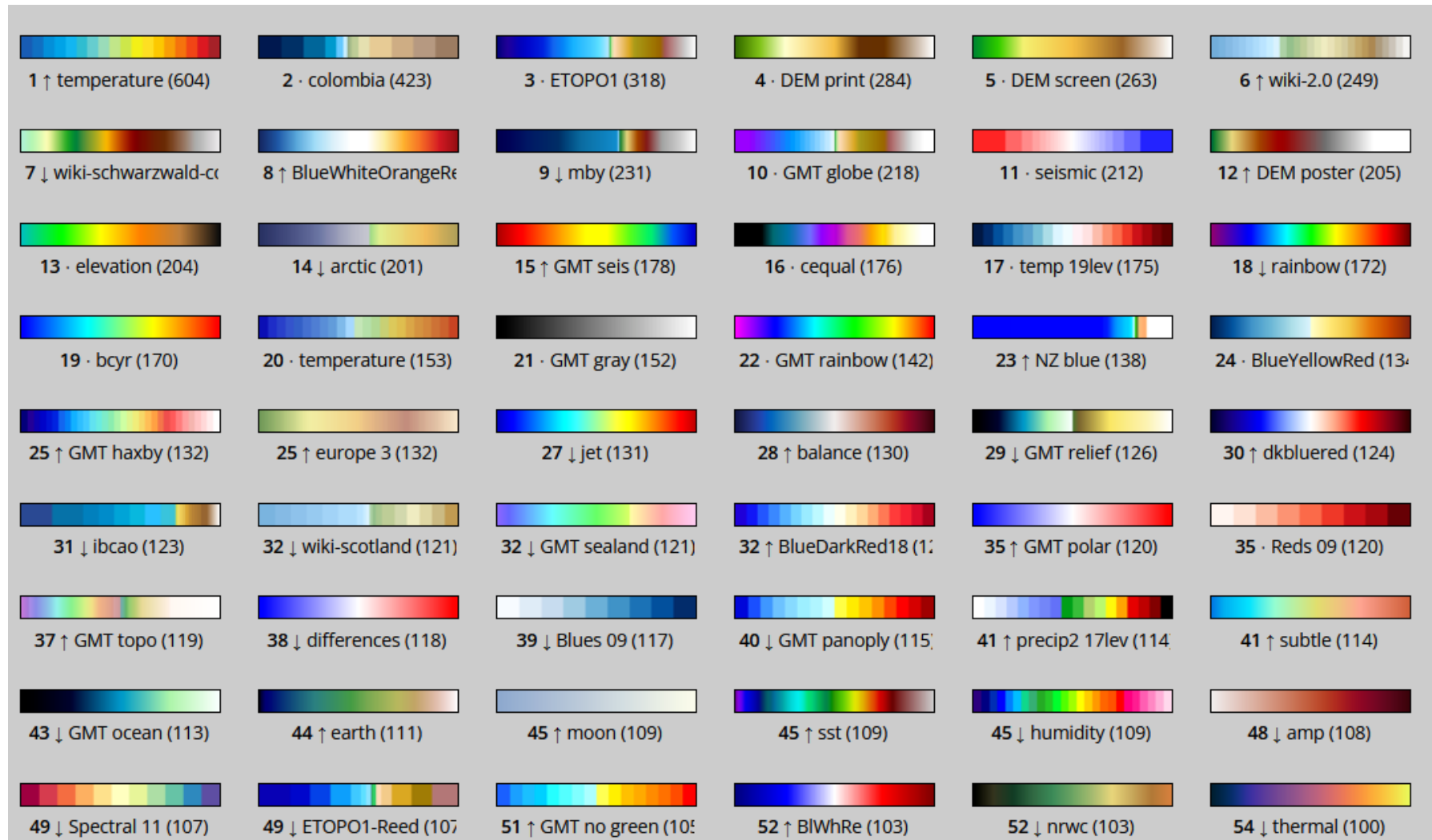
<http://www-igm.univ-mlv.fr/~riazano/>
version 2.09

Serge RIAZANOFF
Initiation au Traitement d'Images



cpt-city

<http://soliton.vm.bytemark.co.uk/pub/cpt-city/index.html>



◆ Niveaux de gris – Niveaux d'une couleur

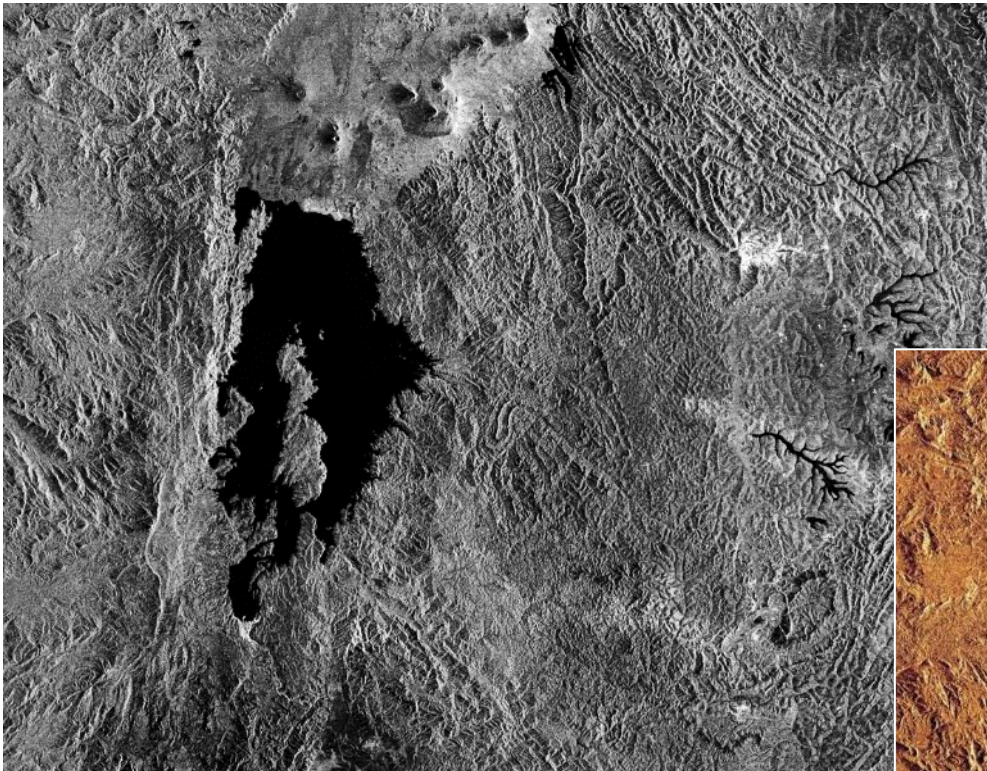


Image Envisat/ASAR Wide Swath Mode
Rift Africain – 24/09/2007

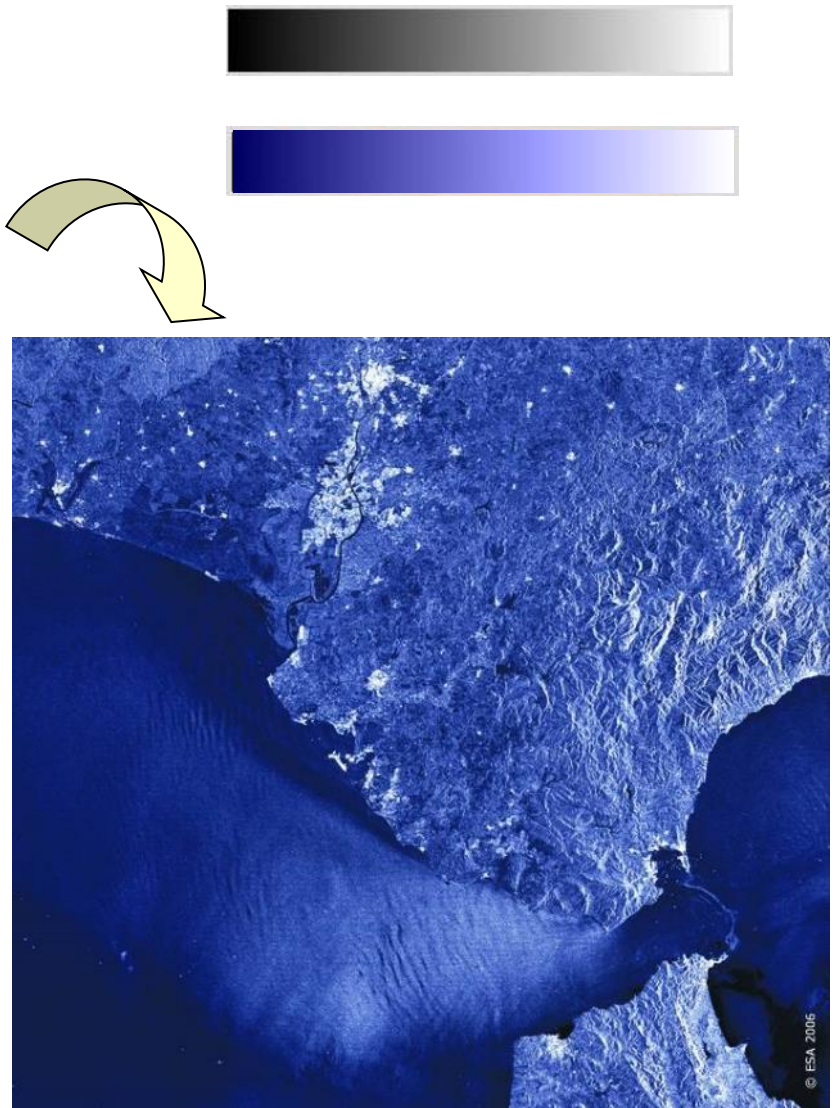
http://www.esa.int/esaEO/SEM3I7VHJCF_index_0.html



◆ Niveaux de gris – Niveaux d'une couleur



Image Envisat/ASAR Wide Swath Mode
Détroit de Gibraltar – 20/10/2002



◆ Niveaux de gris – Niveaux d'une couleur

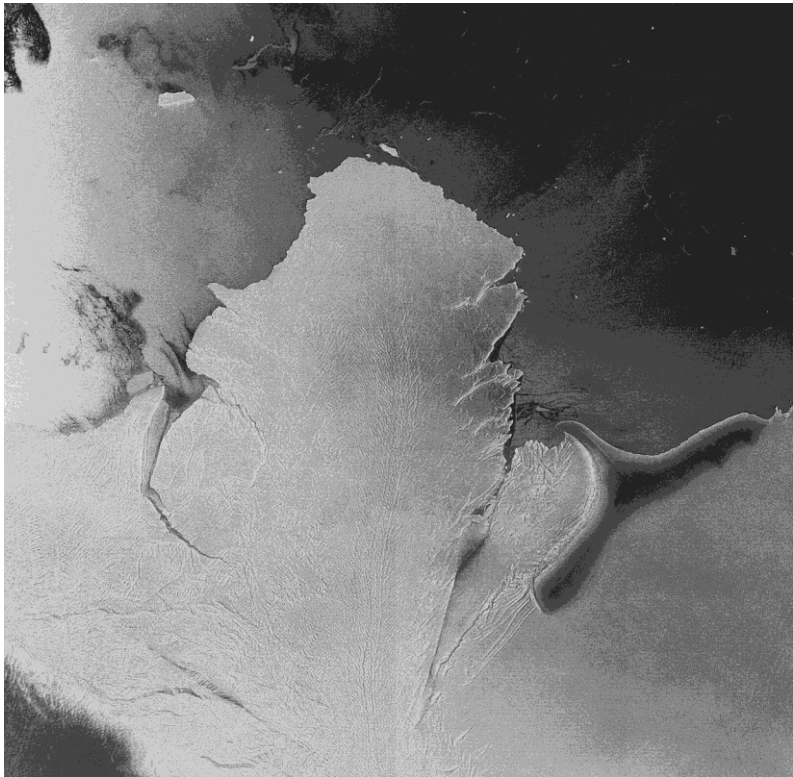
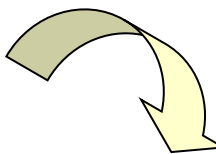


Image Envisat/ASAR
Plateau de Brunt / Mer de Weddell (Antarctique) – 05/03/2011

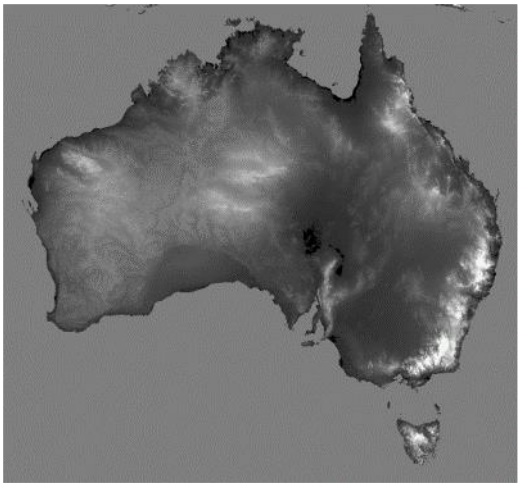


Retrouver une table de pseudo-couleur

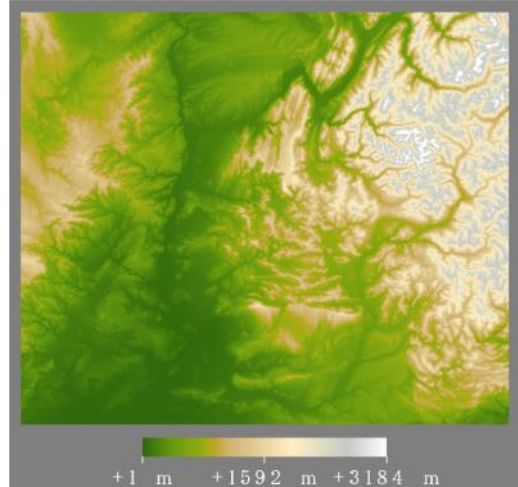


Modèle de LUT

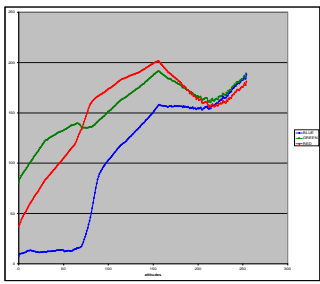
<http://photojournal.jpl.nasa.gov/catalog/pia06665>



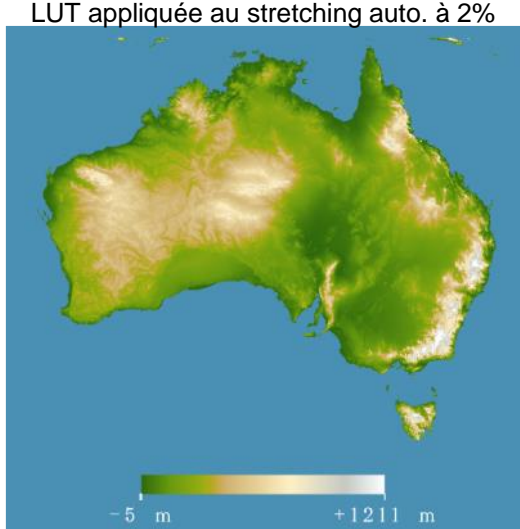
MNT SRTM reprojeté



LUT et ombrage appliqués à un autre MNT



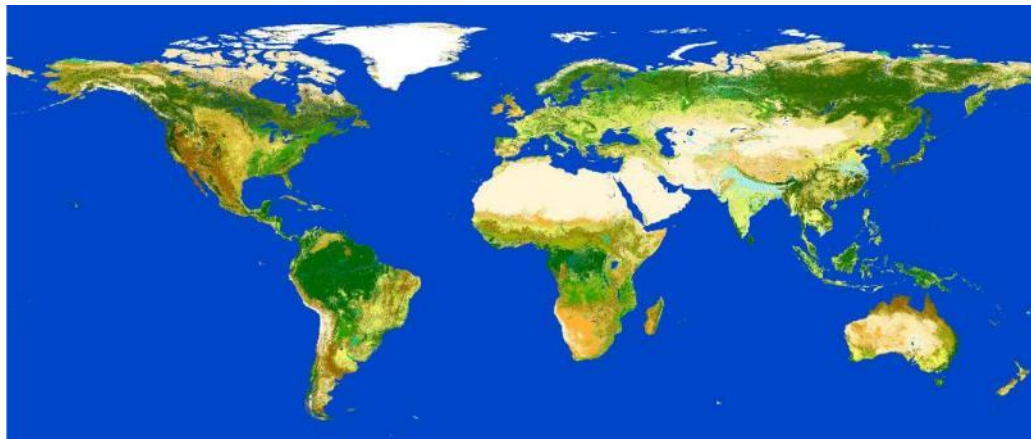
Résultat de l'analyse de régression





◆ Les images thématiques

Value	R	G	B	Global Globcover legend (level 1)
11	170	240	240	Post-flooding or irrigated croplands (or aquatic)
14	255	255	100	Rainfed croplands
20	220	240	100	Mosaic cropland (50-70%) / vegetation (20-50%)
30	205	205	102	Mosaic vegetation (50-70%) / cropland (20-50%)
40	0	100	0	Closed to open (>15%) broadleaved evergreen or semi-deciduous forest (> 5m)
50	0	160	0	Closed (>40%) broadleaved deciduous forest (>5m)
60	170	200	0	Open (15-40%) broadleaved deciduous forest/woodland (>5m)
70	0	60	0	Closed (>40%) needleleaved evergreen forest (>5m)
90	40	100	0	Open (15-40%) needleleaved deciduous or evergreen forest (>5m)
100	120	130	0	Closed to open (>15%) mixed broadleaved and needleleaved forest (>5m)
110	140	160	0	Mosaic forest or shrubland (50-70%) / grassland (20-50%)
120	190	150	0	Mosaic grassland (50-70%) / forest or shrubland (20-50%)
130	150	100	0	Closed to open (>15%) (broadleaved or needleleaved, evergreen or deciduous) shrubland (<5m)
140	255	180	50	Closed to open (>15%) herbaceous vegetation (grassland, savannas or lichens/mosses)
150	255	235	175	Sparse (<15%) vegetation
160	0	120	90	Closed to open (>15%) broadleaved forest regularly flooded (semi-permanently or temporarily) - Fresh or brackish water
170	0	150	120	Closed (>40%) broadleaved forest or shrubland permanently flooded - Saline or brackish water
180	0	220	130	Closed to open (>15%) grassland or woody vegetation on regularly flooded or waterlogged soil - Fresh, brackish or saline water
190	195	20	0	Artificial surfaces and associated areas (Urban areas >50%)
200	255	245	215	Bare areas
210	0	70	200	Water bodies
220	255	255	255	Permanent snow and ice
230	0	0	0	No data (burnt areas, clouds,...)

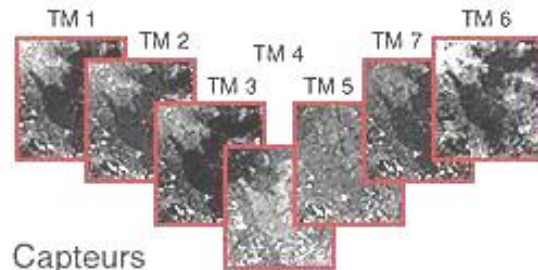


Classification **GlobCover** à partir de données Envisat / MERIS acquises de décembre 2004 à juin 2006
<http://ionia1.esrin.esa.int/index.asp>



Images multispectrales et visualisation Rouge/Vert/Bleu Compositions colorées

<http://telsat.belspo.be/beo/fr/guide/index.htm>



Nombre de composition colorées

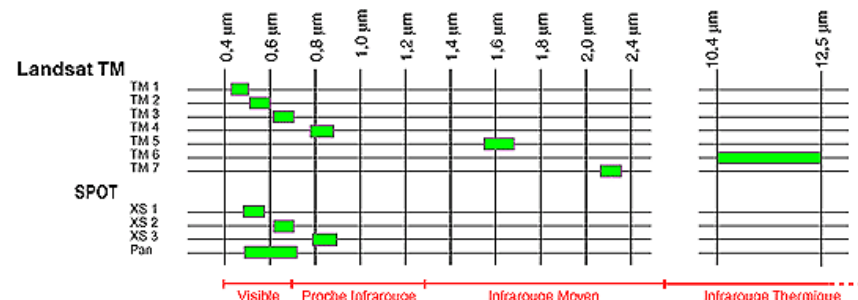
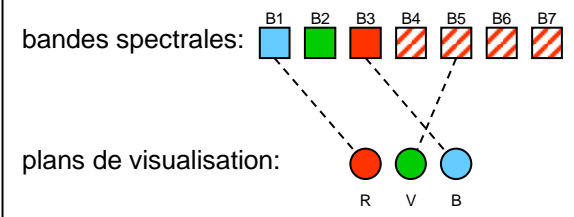
N bandes

↓

Sans respecter l'ordre des fréquences (arrangements):
 $CC(N) = A_N^3 = Nx(N-1)x(N-2)$

En respectant l'ordre des fréquences (combinatoires):
 $CC(N) = Nx(N-1)x(N-2)/6$

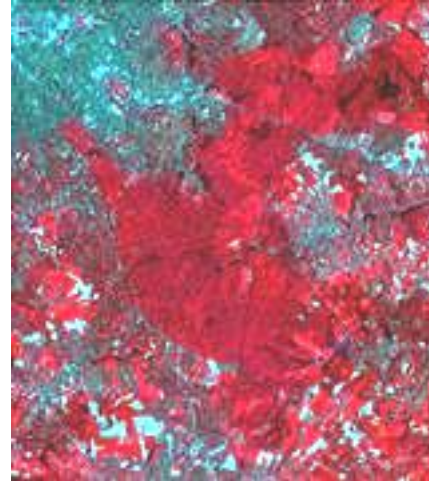
	sans ordre	avec ordre
CC(3) →	6	1
CC(4) →	24	4
CC(5) →	60	10
CC(6) →	120	20
...		
CC(15) →	2730	455



TM 321 (« Vraies couleurs »)



TM 432 (« Proche Infrarouge »)



TM 354



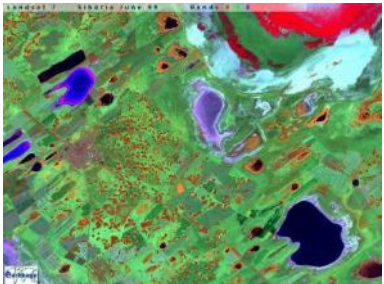
Visible et infrarouge (Landsat)

Sibérie

Landsat-7 ETM+
acquis en juin 1999



Composition
« couleurs naturelles »
TM3 (R) TM2 (V) TM1 (B)



Composition
rouge + infrarouge
TM4 (R) TM5 (V) TM3 (B)





Visible et infrarouge (Meteosat)

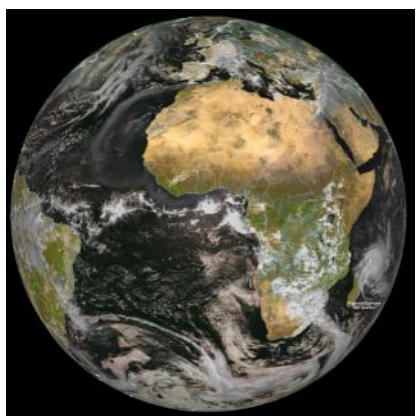


Couleurs naturelles – rouge (R) vert (V) bleu (B)

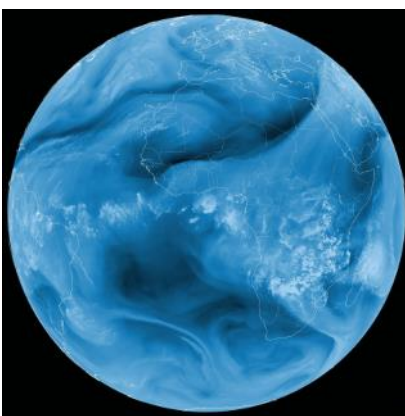
http://earthobservatory.nasa.gov/Newsroom/NewImages/images.php3?img_id=17591



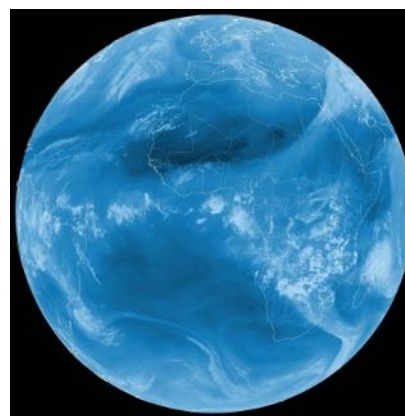
Composition infrarouge – rouge (R) NIR (V) MIR (B)



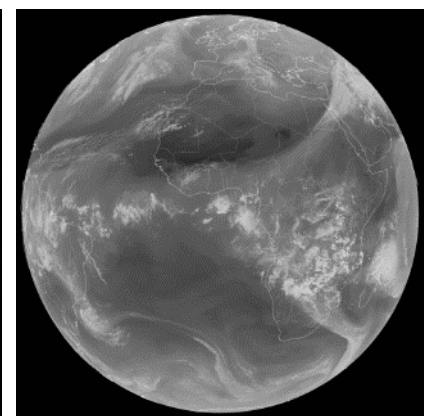
VIS0.6 (B) VIS0.8 (V) NIR1.6 (R)



bande 5 WV6.2 (niveaux de bleus)



bande 6 WV7.3 (niveaux de bleus)



bande 6 WV7.3 (niveaux de gris)

Meteosat-8 acquis le 06/03/2004 12:00 UTC

http://www.eumetsat.int/Home/Main/Image_Gallery/PR_Images/Fulldisk_Images/index.htm

<http://www-igm.univ-mlv.fr/~riazano/>

version 2.09

Serge RIAZANOFF

Initiation au Traitement d'Images

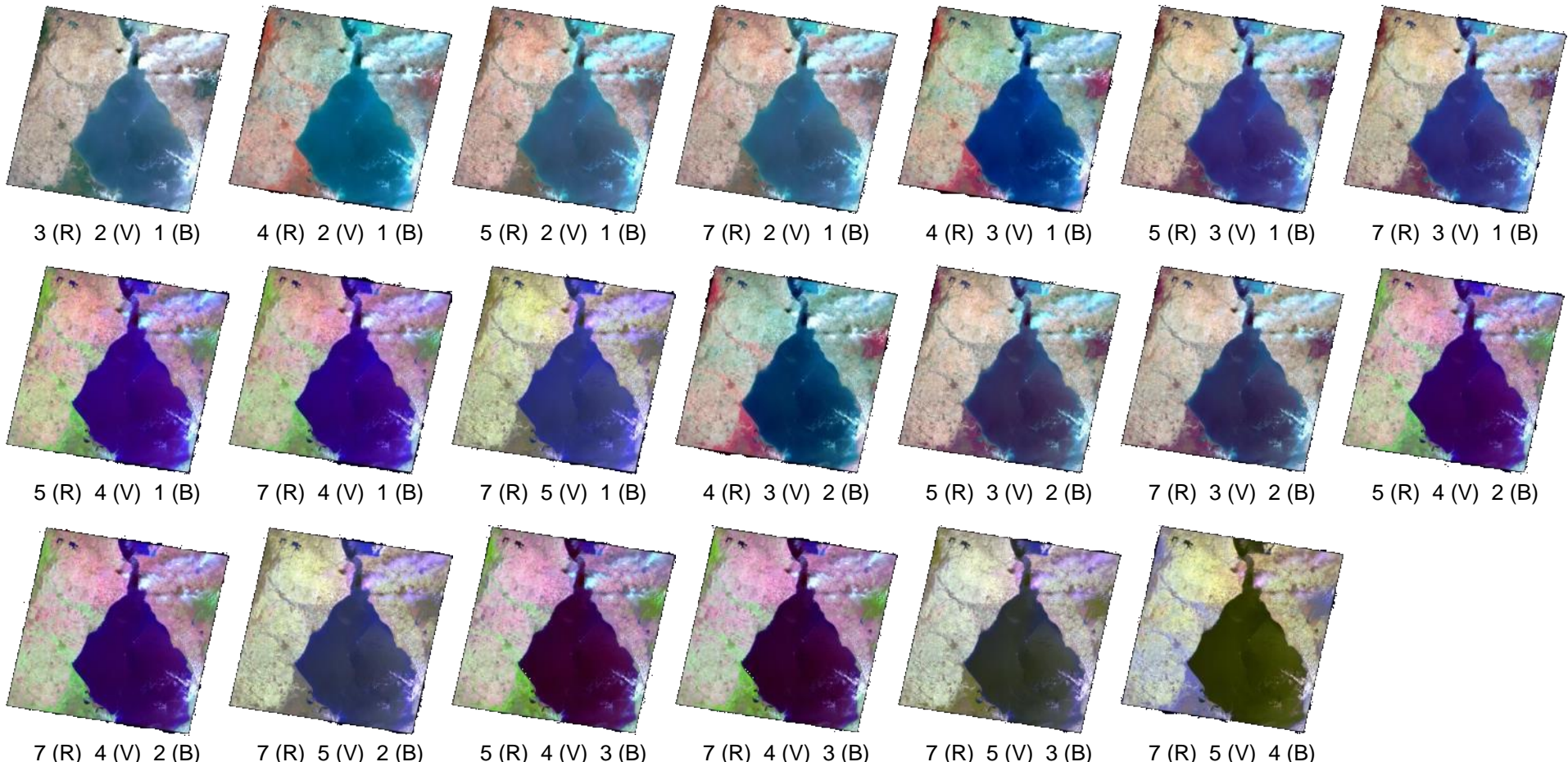
page 85



Compositions colorées

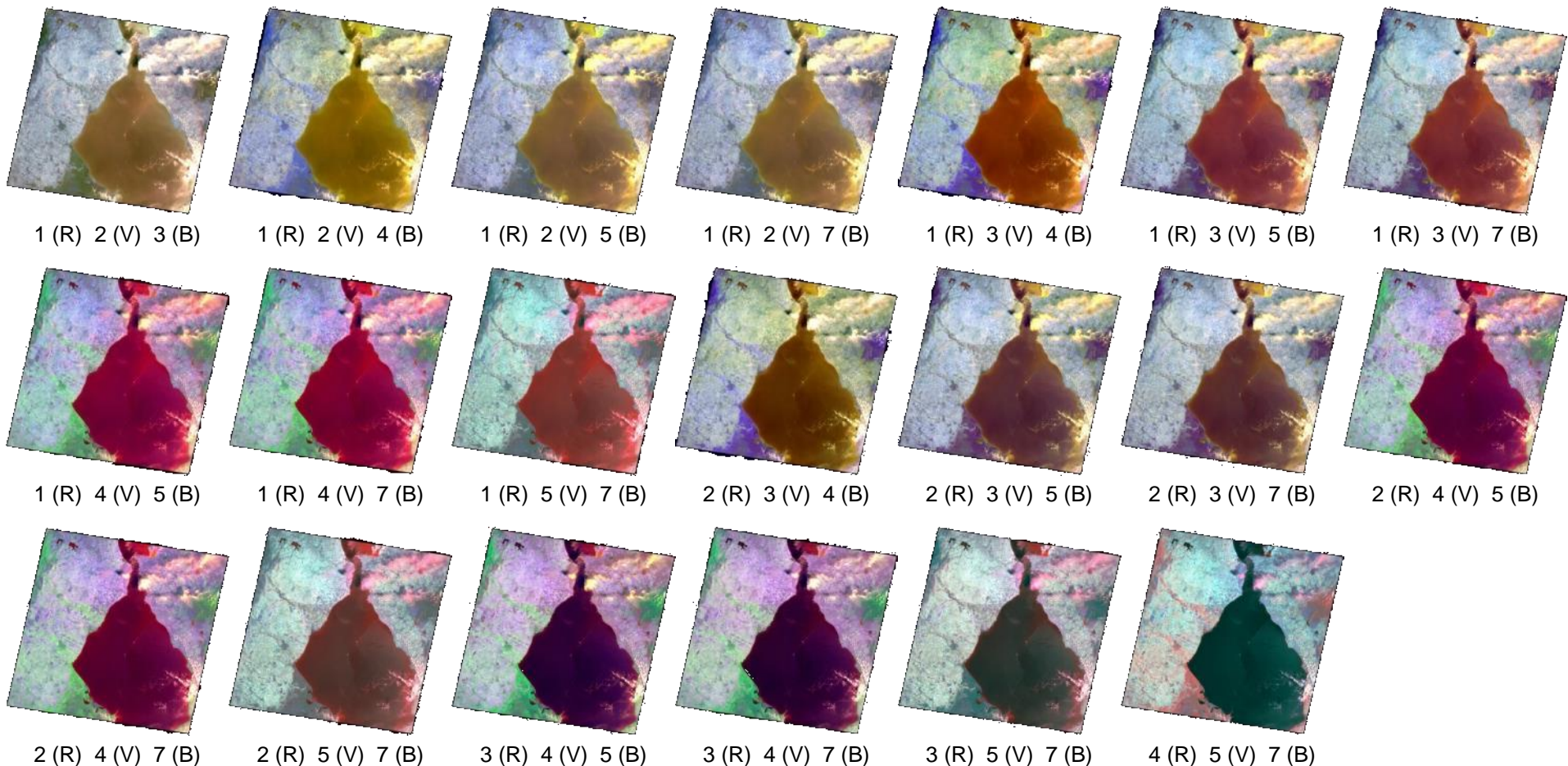
(exemples Landsat ETM+ Maracaïbo – canaux VNIR/SWIR path/row 007-053 acquis le 03/03/2001)

Affectation RVB en respectant l'ordre des fréquences



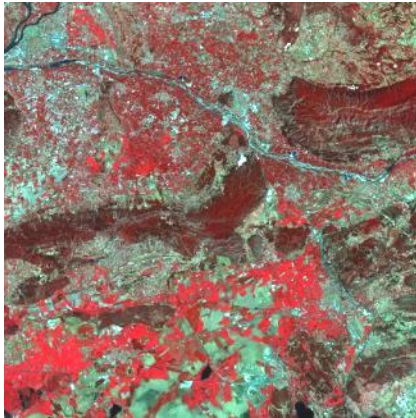
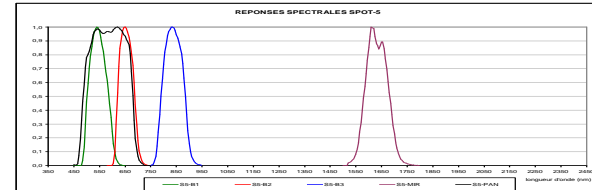


Affectation RVB dans l'ordre inverse des fréquences

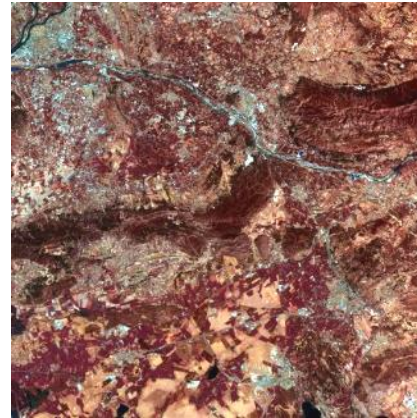




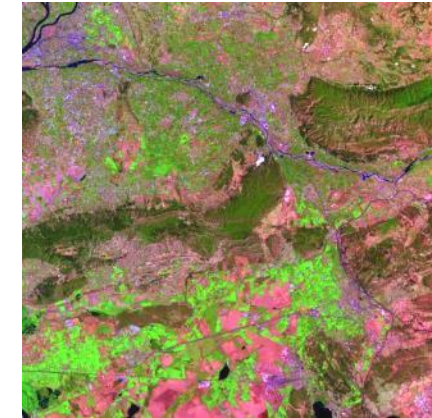
Compositions colorées (exemples SPOT5 HRVIR Avignon)



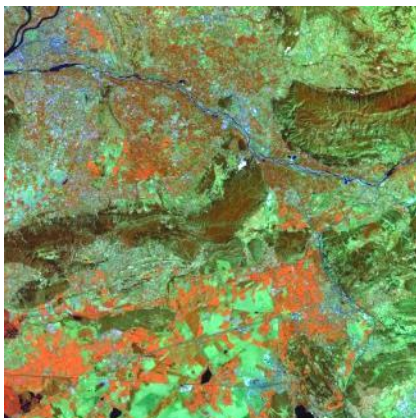
3 (R) 2 (V) 1 (B)



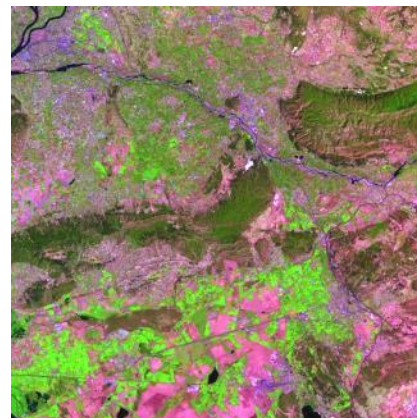
4 (R) 2 (V) 1 (B)



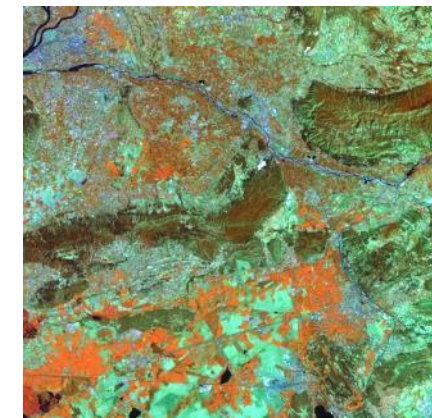
4 (R) 3 (V) 1 (B)



3 (R) 4 (V) 1 (B)



4 (R) 3 (V) 2 (B)



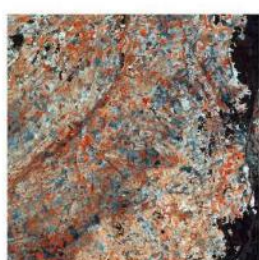
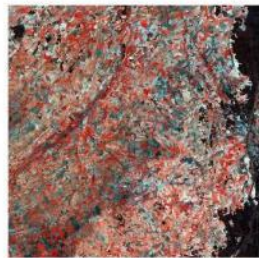
3 (R) 4 (V) 2 (B)



RapidEye

<http://www.rapideye.de/>

Zone agricole – Nord-ouest de la Pologne
22 avril 2009, RapidEye-2 (démô. 2)

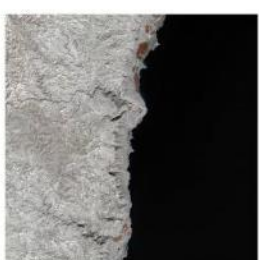
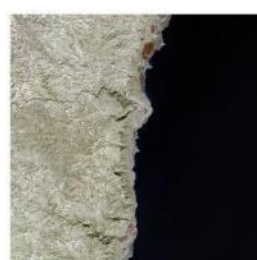
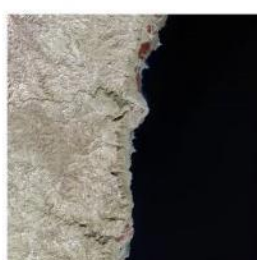
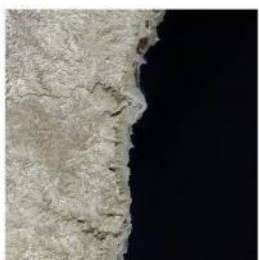
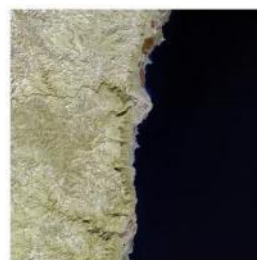
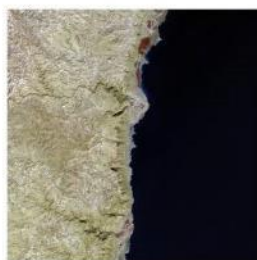
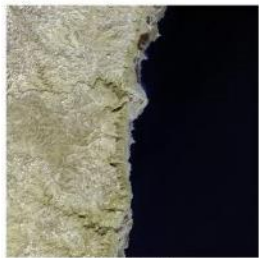


Bandes spectrales:

Blue	440-510 nm
Green	520-590 nm
Red	630-695 nm
Red edge	690-730 nm
NIR	760-850 nm



Zone côtière – Mer morte, Israël Palestine
17 mars 2009, RapidEye-3 (démô. 7)

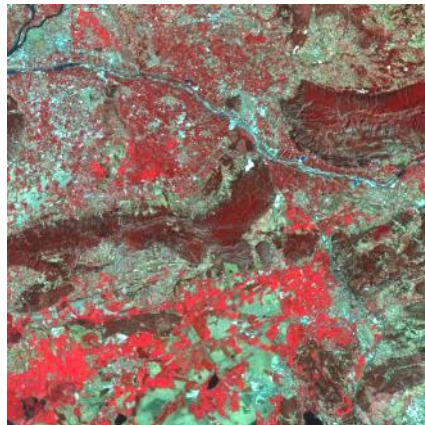




❖ Compositions colorées et combinaisons de canaux

Préférences des photo-interprètes

Landsat TM	R	V	B	
	3	2	1	Couleurs naturelles
	4	5	3	Agriculture (AGRIT après 1997)
	4	3	2	Agriculture (AGRIT jusqu'en 1997)
	7	4	2	Géologie (ou 4-2-1 ou 4-5-2)
	(5+7)/2	(3+4)/2	(1+2)/2	Information « maximale »
SPOT	2	1	C(1,2,3)	Couleurs « naturelles »
	avec	C(1,2,3)	=	$1.4 \times XS1 + 0.6 \times XS2 - 0.7 \times XS3$



3 (R) 2 (V) 1 (B)



2 (R) 1 (V) C(1,2,3) (B)

Landsat-7 ETM+ / Landsat-8 OLI/TIRS

<http://blogs.esri.com/esri/arcgis/2013/07/24/band-combinations-for-landsat-8/>

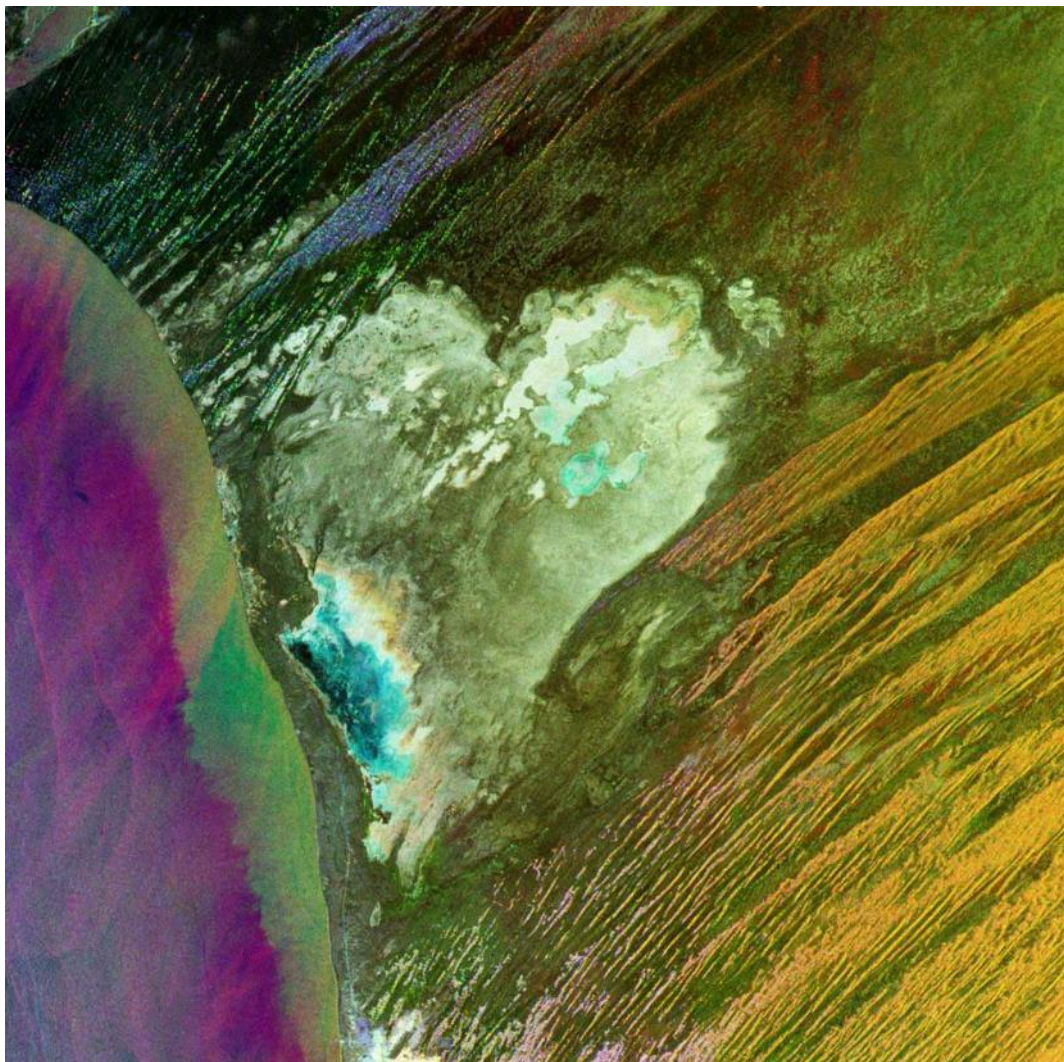
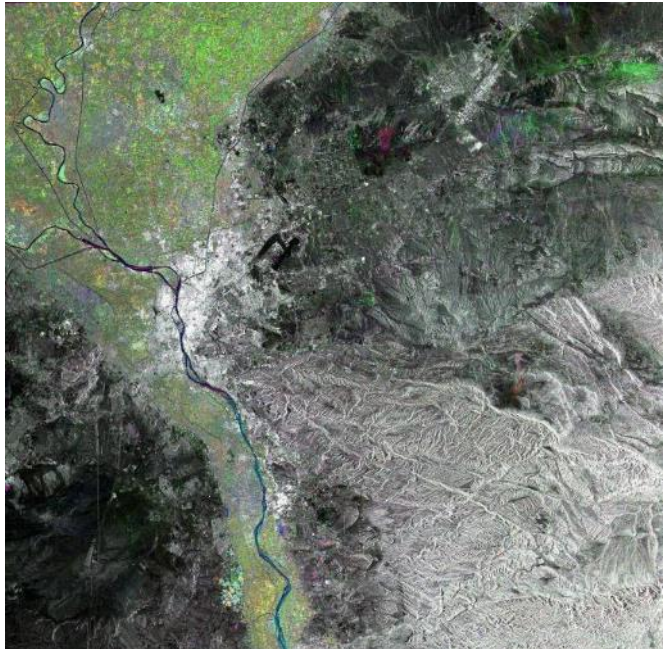
L7	L8	Use
321	432	Natural colour
753	764	False colour (urban)
432	543	Colour infrared (vegetation)
541	652	Agriculture
754	765	Atmospheric penetration
451	562	Healthy vegetation
453	564	Land / water
742	753	“Natural” with atmospheric removal
743	754	Shortwave infrared
543	654	Vegetation analysis

◆ Compositions colorées de données monospectrales à 3 dates

Image Envisat / ASAR de Mauritanie au nord de Nouakchott

Rouge	23/11/2002
Vert	23/03/2003
Bleu	24/05/2003

http://www.esa.int/esaEO/SEMST_F1PGQD_index_0.html



◆ Compositions colorées d'images de polarisation Quad-Pol

RADARSAT-2

Rouge	polarisation HH
Vert	polarisation VV
Bleu	polarisation HV

Côte est du Groenland acquise le 18 décembre 2007 (4 jours après le lancement) en Quad-Pol.

<http://www.radarsat2.info/about/gallery/>

Greenland

This RADARSAT-2 Standard Quad-Pol image shows the northern end of the Sermilik fjord on the east coast of Greenland. The image was acquired December 18, 2007 – four days after launch and is a composite of the three radar data channels (HH, VV, HV) displayed in a red-green-blue colour scheme. The scene is ~ 25km x 50km, with 25m nominal resolution.

The Fenrisgletscher glacier – a large, slow moving valley glacier that feeds into the Sermilik fjord - is visible in the upper right corner of the image. Glaciers in this area produce large volumes of icebergs that flow out to sea.

In the fjord, variations in colour represent different types of sea ice and leads (open water). The use of polarimetric data greatly improves ice edge detection and the identification of ice types as well as increasing ice topography and structural information. The information provided can be used for ship navigation, and land / sea ice studies (such as the position of glacier termini to support environmental monitoring).

This image was acquired early in the RADARSAT-2 commissioning phase.

RADARSAT-2 Data and Products © MacDonald, Dettwiler and Associates Ltd. (2007) - All Rights Reserved.





◆ Compositions colorées d'images de polarisation Dual-Pol

RADARSAT-2

Rouge	-
Vert	polarisation VH
Bleu	polarisation VV

Côte est du Groenland acquise le 18 décembre 2007 (4 jours après le lancement) en Quad-Pol.

<http://www.radarsat2.info/about/gallery/>

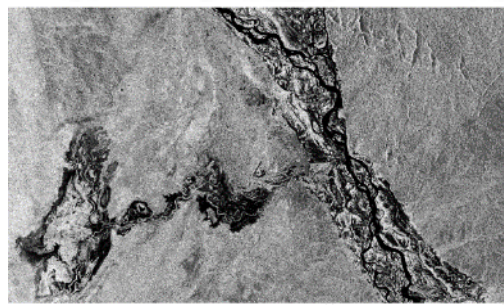
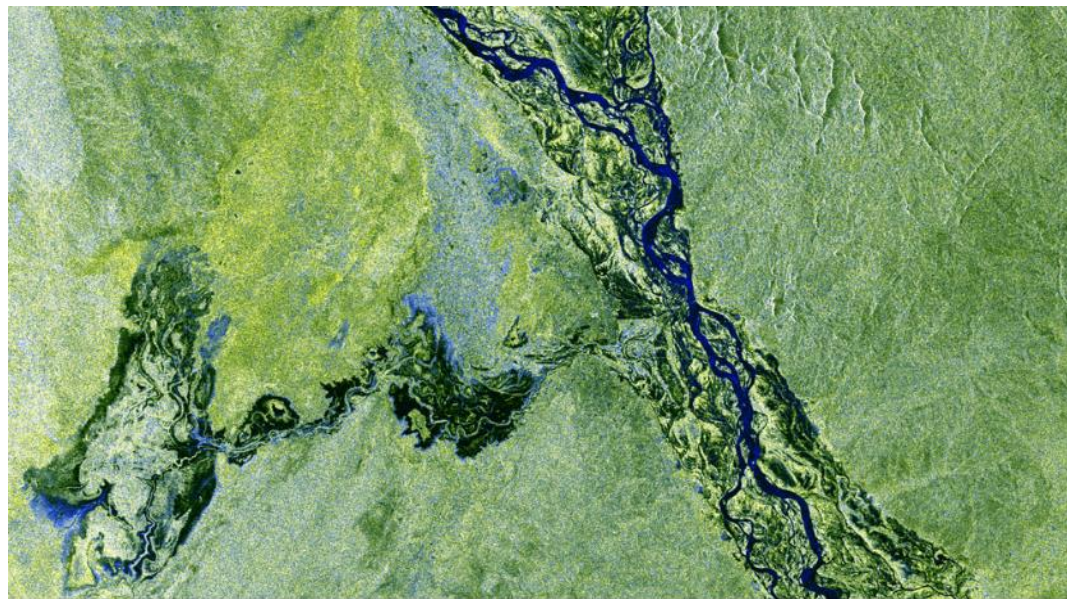
Zambezi River, Mozambique

This 76 x 42km subscene, of a RADARSAT-2 Wide dual polarized (VV and VH) image was acquired February 9, 2008. The image shows flooding along the Zambezi River and catchment area due to higher-than-normal rainfall. The main river channel, as well as flood extents, are evident. Colour variation along the river(s) and flooded areas illustrate the different scattering mechanisms associated with various surface features such as: stagnant vs. flowing water, flooded vs. non-flooded vegetation, vegetation density and type etc...

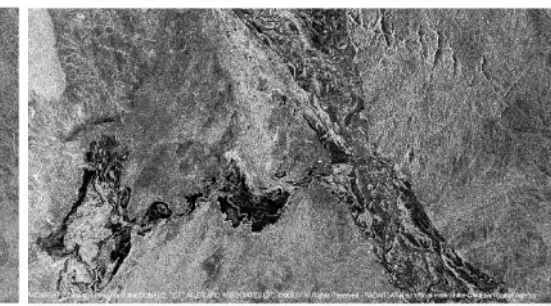
For example, the normal river course of the Zambezi River runs in the north-south direction. Due to the type of surface scattering, the normal river channel gives a stronger VV response and appears as blue in the colour composite image. In contrast, the open water and open flooded areas produce a weak response in both polarizations, and therefore appear black. To the west of the Zambezi River, a smaller river channel is flooded. Just north of this are areas of blue and green - which is likely low biomass, flooded vegetation. The blue-green colour is characteristic of radar scattering from the water (VV polarization) and vegetation (VH polarization).

The cross pol channel (VH) proves especially useful for detecting open water in a beam mode and position (Wide 1) that traditionally, due to its steep incidence angle, was often a poor choice for flood detection. With the advanced multi-polarizations available on RADARSAT-2, the range of incidence angles that can be readily used for flood detection has expanded.

RADARSAT-2 Data and Products © MacDonald, Dettwiler and Associates Ltd. (2008) - All Rights Reserved.



VH polarization



VV polarization

◆ Compositions colorées avec 2 bandes

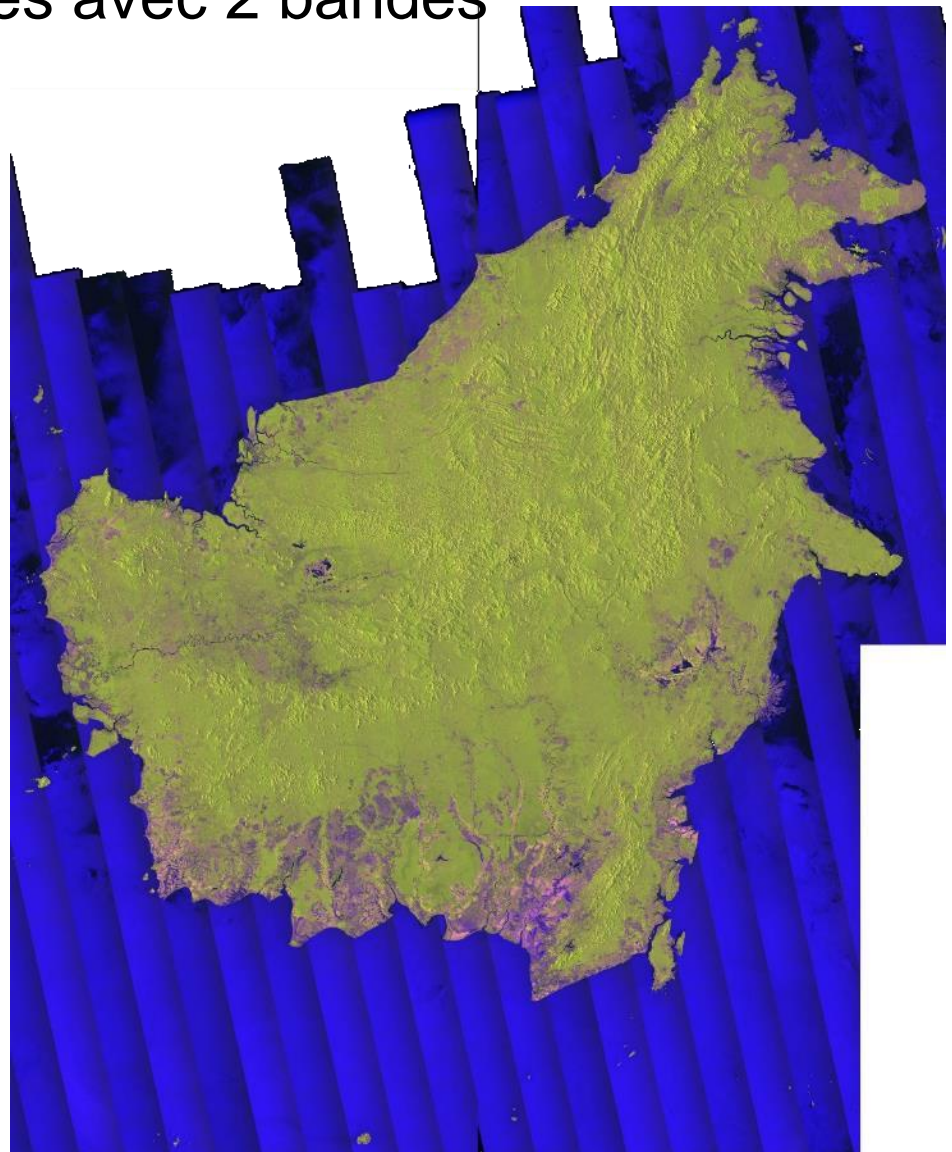
ALOS PALSAR

Rouge polarisation HH
Vert polarisation HV
Bleu HH – HV

Projet « K & C Mosaic », mosaïque 50m
Ile de Bornéo vue en 2007

http://www.eorc.jaxa.jp/ALOS/en/kc_mosaic/kc_mosaic.htm

<ftp://ftp.eorc.jaxa.jp/pub/ALOS/ftp/KC50/>



Serge RIAZANOFF

Initiation au Traitement d'Images

◆ Compositions colorées de statistiques locales

terraSAR-X

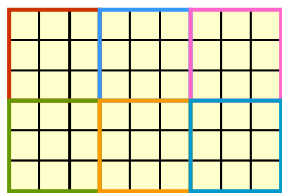
Red	variance locale
Green	luminosité locale
Blue	variance – luminosité

*Vallée de Inn et Lac Chiemsee (Bavière)
observés le 24.12.2008 à la résolution
StripMap de 3 m et sous échantillonnée
à 10 m.*

http://www.dlr.de/en/desktopdefault.aspx/tabid-1/86_read-21543/_/



<http://www-igm.univ-mlv.fr/~riazano/>
version 2.09



$$\bar{m} = \frac{1}{M \times N} \times \sum_{i=0}^{M-1} \sum_{j=0}^{N-1} R(i, j)$$
$$\sigma = \sqrt{V} = \sqrt{\frac{1}{M \times N} \times \sum_{i=0}^{M-1} \sum_{j=0}^{N-1} (R(i, j))^2 - (\bar{m})^2}$$



Serge RIAZANOFF
Initiation au Traitement d'Images



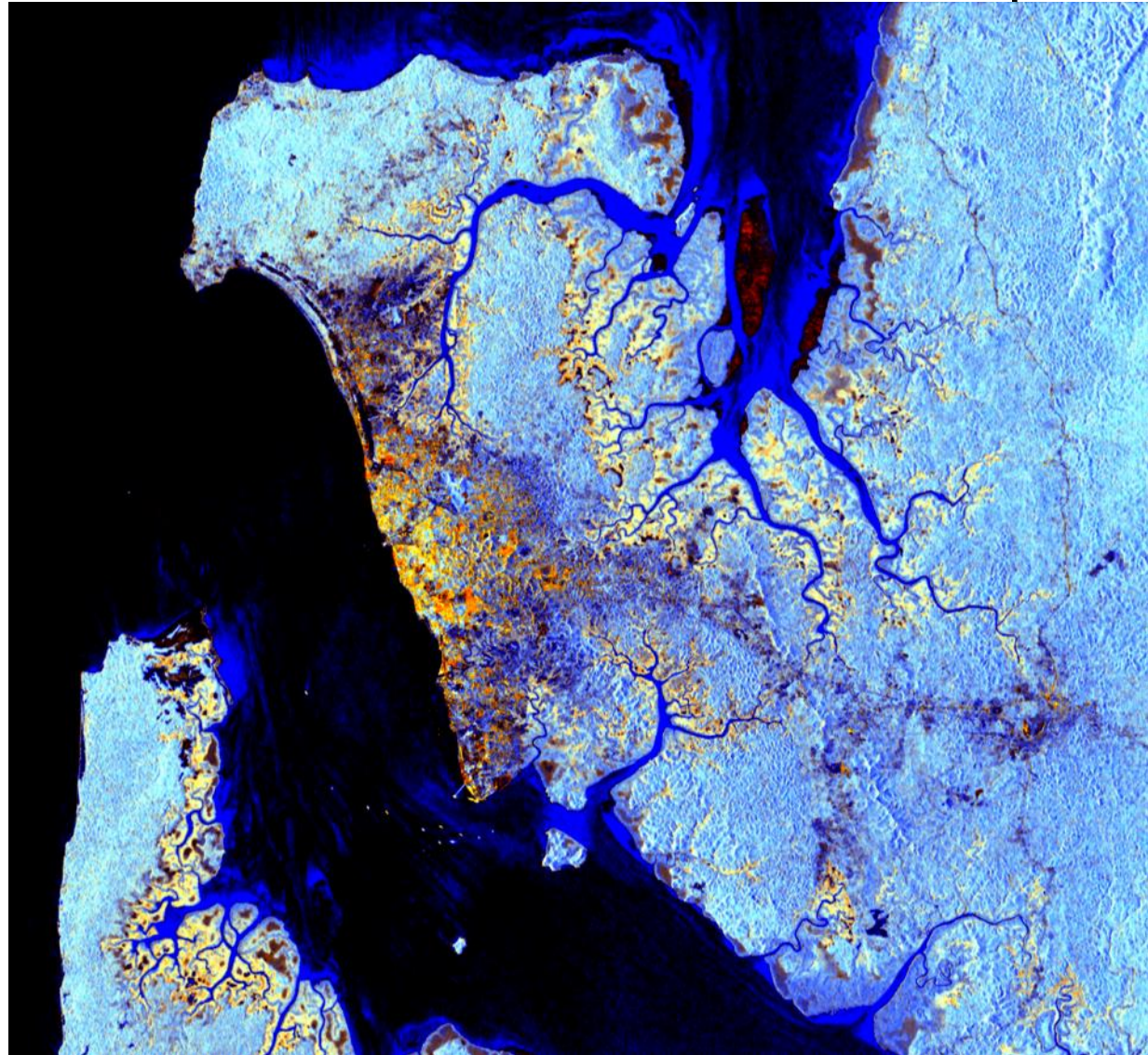
◆ Compositions colorées avec 2 bandes et des statistiques



ALOS PALSAR

Red polarisation HH
Green polarisation HV
Blue Entropie

*Région de Libreville (Gabon)
acquise le 10 août 2007
Courtoisie Jean-Paul RUDANT (UMLV)*



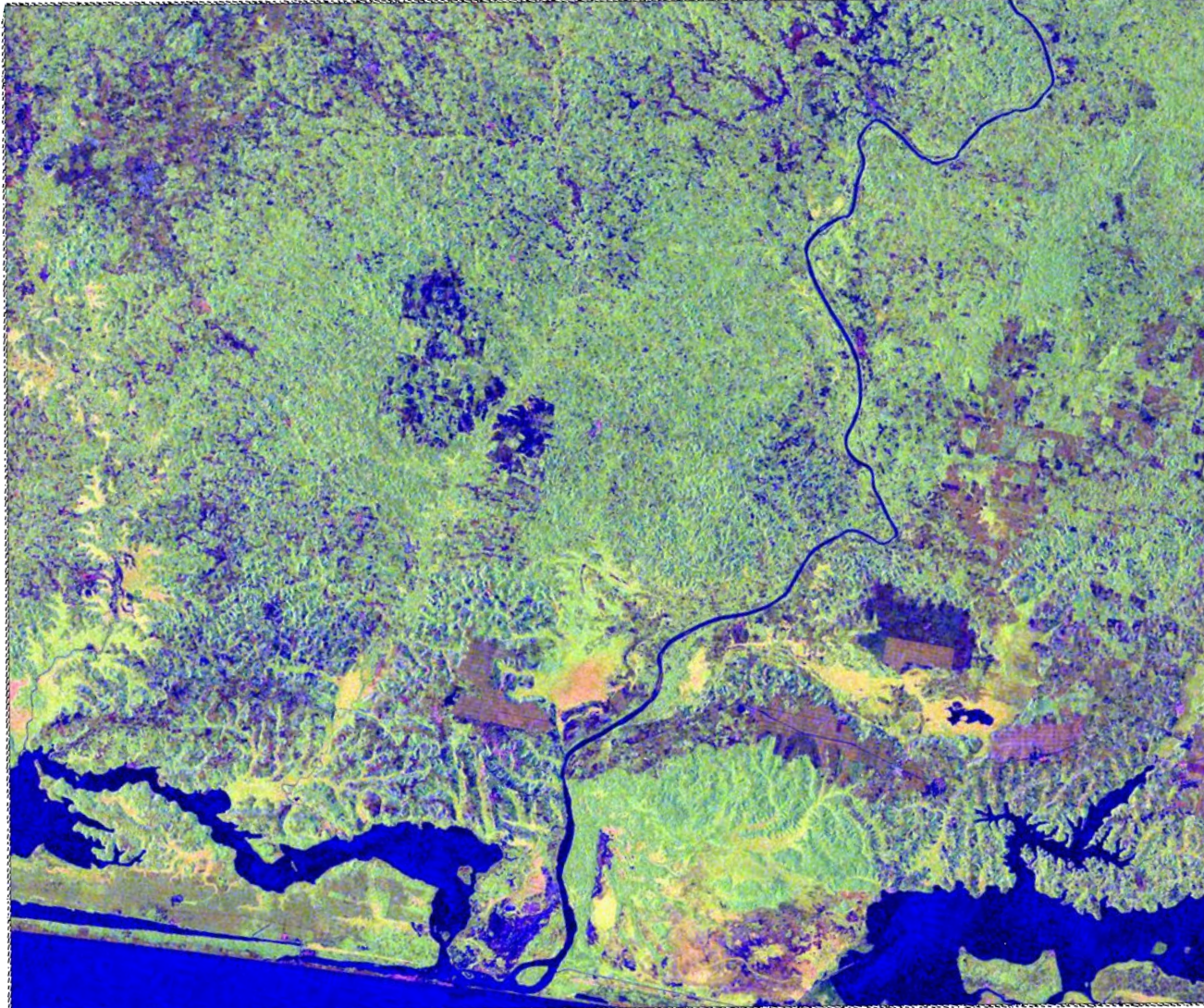
◆ Compositions colorées avec 2 bandes et des statistiques



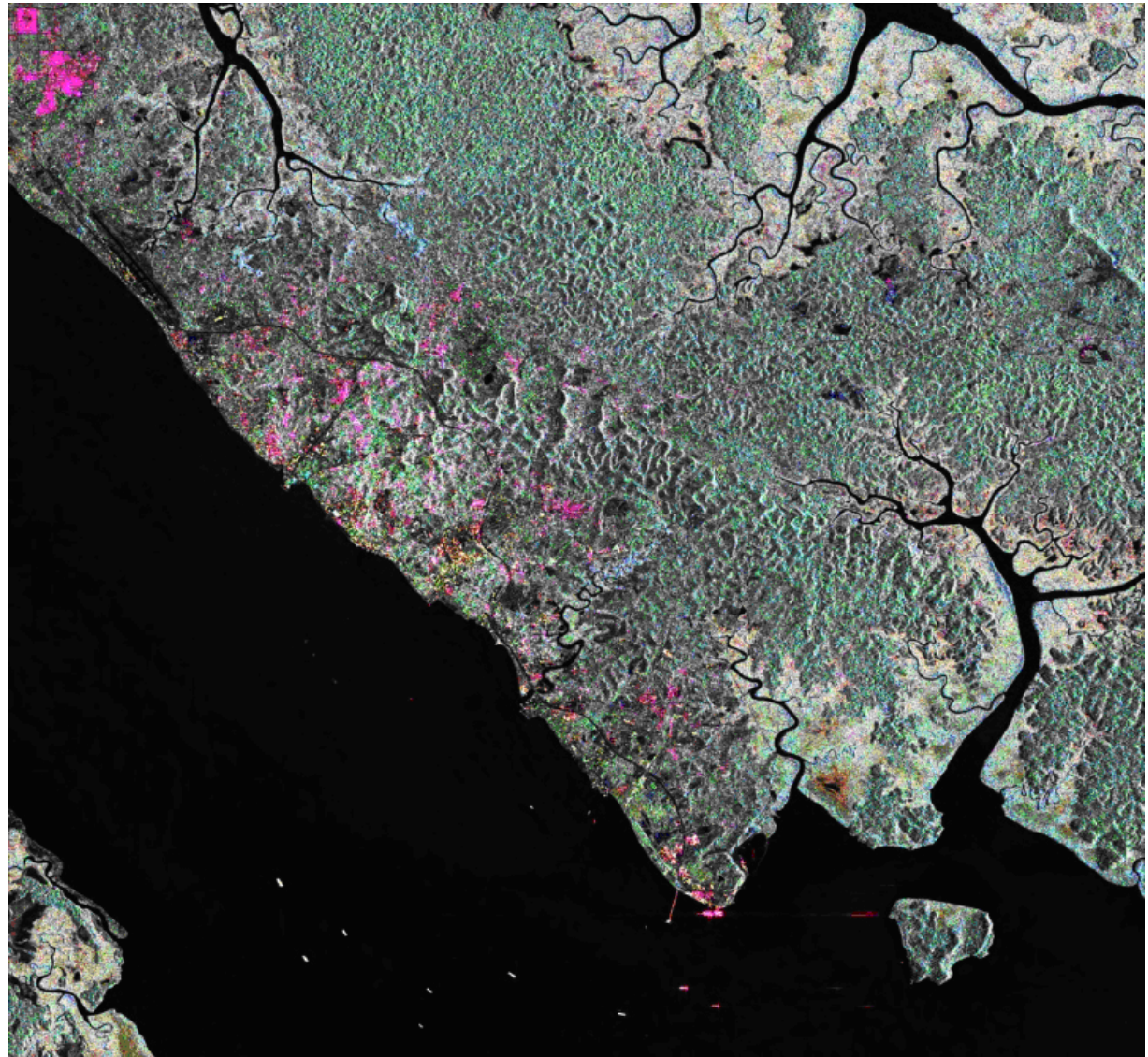
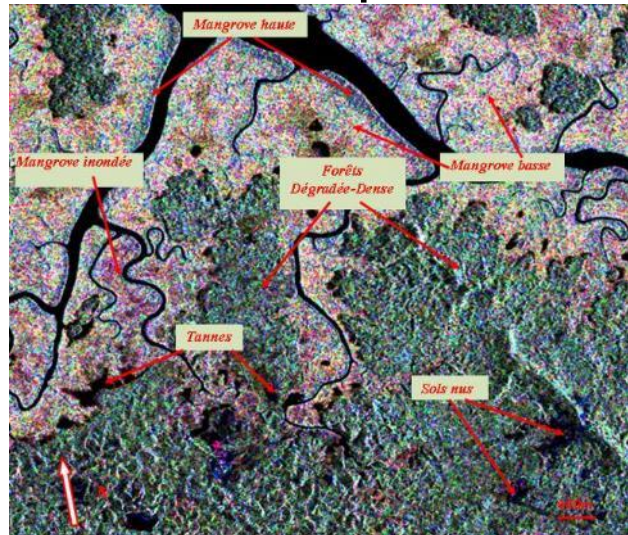
ALOS PALSAR

Red	polarisation HH
Green	polarisation HV
Blue	ρ (HH / HV)

*Grand Lahou (Côte d'Ivoire)
acquise le 6 juillet 2007
Courtoisie David NIAMIEN (UMLV)*



◆ Compositions colorées avec 3 bandes HH, VV, HV



Radarsat-2 Quad Pol (HH,HV,VH,VV)

Red	$ HH - VV ^2$
Green	$4 \times HV^2$
Blue	$ HH + VV ^2$

Région nord de Libreville (Gabon)

acquise le 10 février 2009

Courtoisie Claude Séverin MAÏLAT
MOUTSINGA (UMLV)



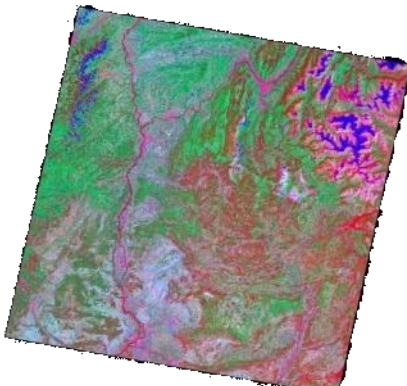
◆ Compositions colorées et composantes principales

bandes originales stretchées



3 (R) 2 (V) 1 (B)

composantes principales



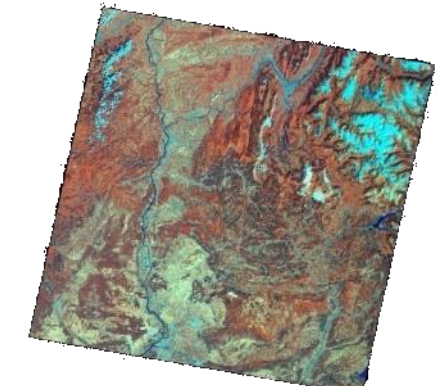
CP3 (R) CP2 (V) CP1 (B)

originale + 1^{ère} comp. principale

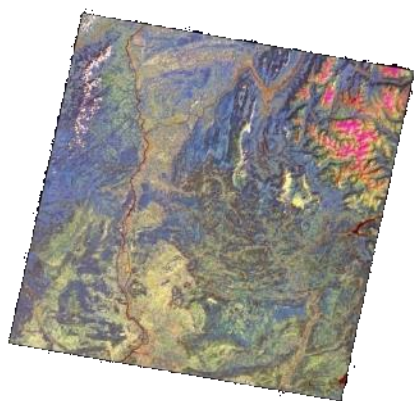


3 (R) CP1 (V) 1 (B)

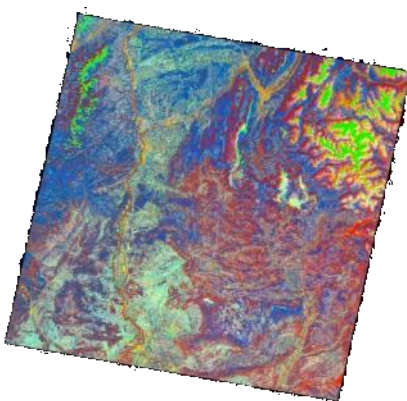
originale + 2 comp. principales



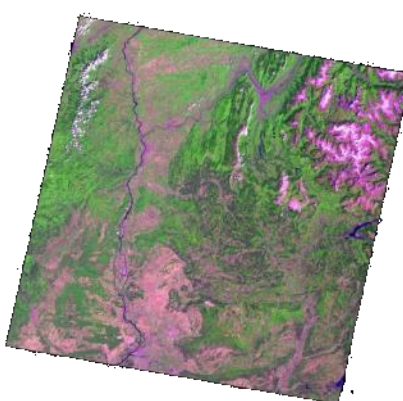
CP1 (R) CP2 (V) 1 (B)



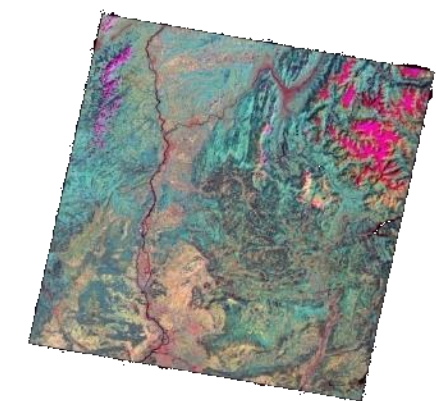
4 (R) 5 (V) 7 (B)



CP3 (R) CP1 (V) CP2 (B)



CP1 (R) 4 (V) 1 (B)



CP1 (R) CP2 (V) 4 (B)

$$\begin{aligned} \text{CP1} = & 0.450 \times B1 + 0.469 \times B2 + 0.478 \times B3 + 0.188 \times B4 + 0.375 \times B5 + 0.416 \times B7 \\ \text{CP2} = & -0.392 \times B1 - 0.324 \times B2 - 0.269 \times B3 + 0.416 \times B4 + 0.601 \times B5 + 0.368 \times B7 \\ \text{CP3} = & -0.135 \times B1 - 0.102 \times B2 + 0.035 \times B3 - 0.865 \times B4 + 0.215 \times B5 + 0.419 \times B7 \\ \text{CP4} = & -0.694 \times B1 + 0.074 \times B2 + 0.652 \times B3 + 0.110 \times B4 - 0.256 \times B5 + 0.098 \times B7 \\ \text{CP5} = & 0.121 \times B1 - 0.071 \times B2 - 0.243 \times B3 + 0.170 \times B4 - 0.622 \times B5 + 0.711 \times B7 \\ \text{CP6} = & 0.360 \times B1 - 0.809 \times B2 + 0.462 \times B3 + 0.047 \times B4 - 0.019 \times B5 - 0.013 \times B7 \end{aligned}$$

puis stretching imposé par les statistiques de sortie $m_0=128$ $\sigma_0=60$



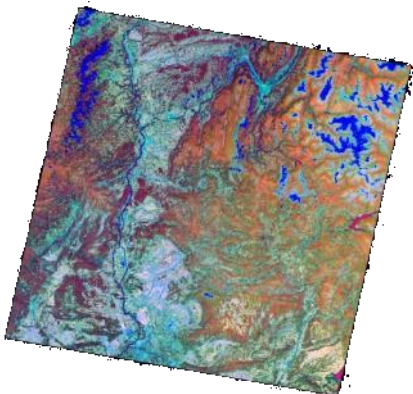
◆ Compositions colorées et composantes ICS (IHS)

bandes originales stretchées



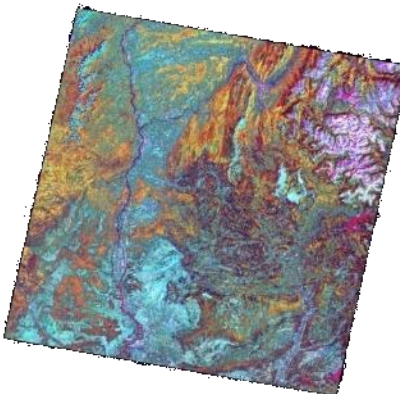
3 (R) 2 (V) 1 (B)

composantes ICS + stretch $\sigma_0=50$



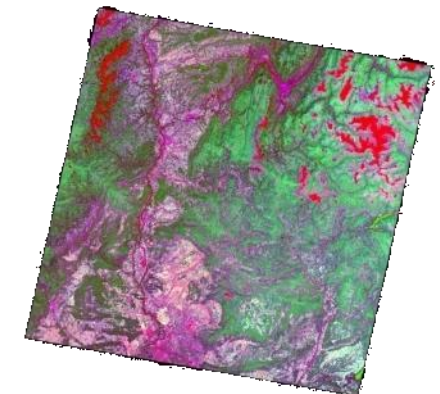
S₁₂₃ (R) C₁₂₃ (V) I₁₂₃ (B)

mélange ICS₁₂₃ et ICS₄₅₇

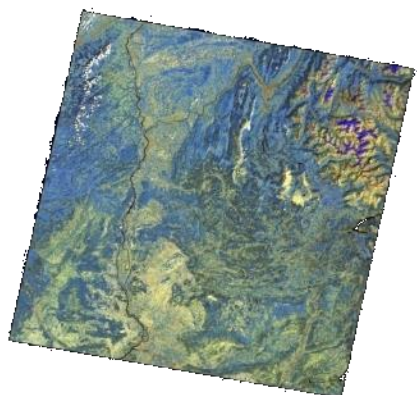


S₄₅₇ (R) I₄₅₇ (V) I₁₂₃ (B)

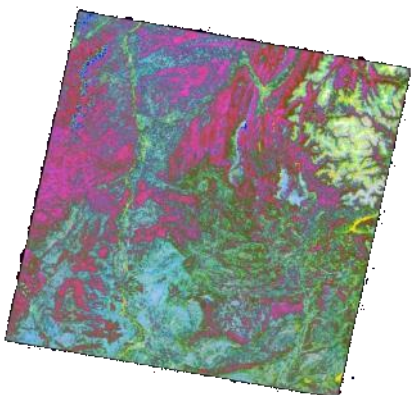
originale + composantes ICS



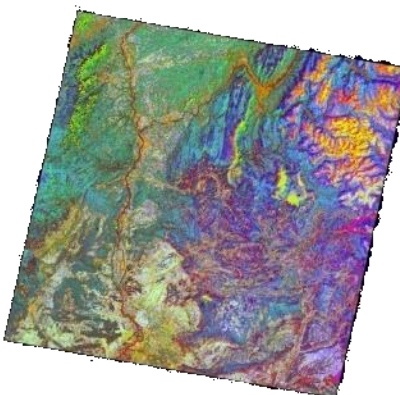
3 (R) C₁₂₃ (V) S₁₂₃ (B)



7 (R) 5 (V) 4 (B)



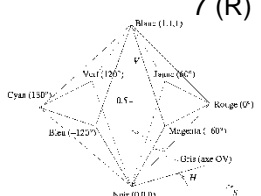
S₄₅₇ (R) C₄₅₇ (V) I₄₅₇ (B)



C₄₅₇ (R) I₄₅₇ (V) S₁₂₃ (B)

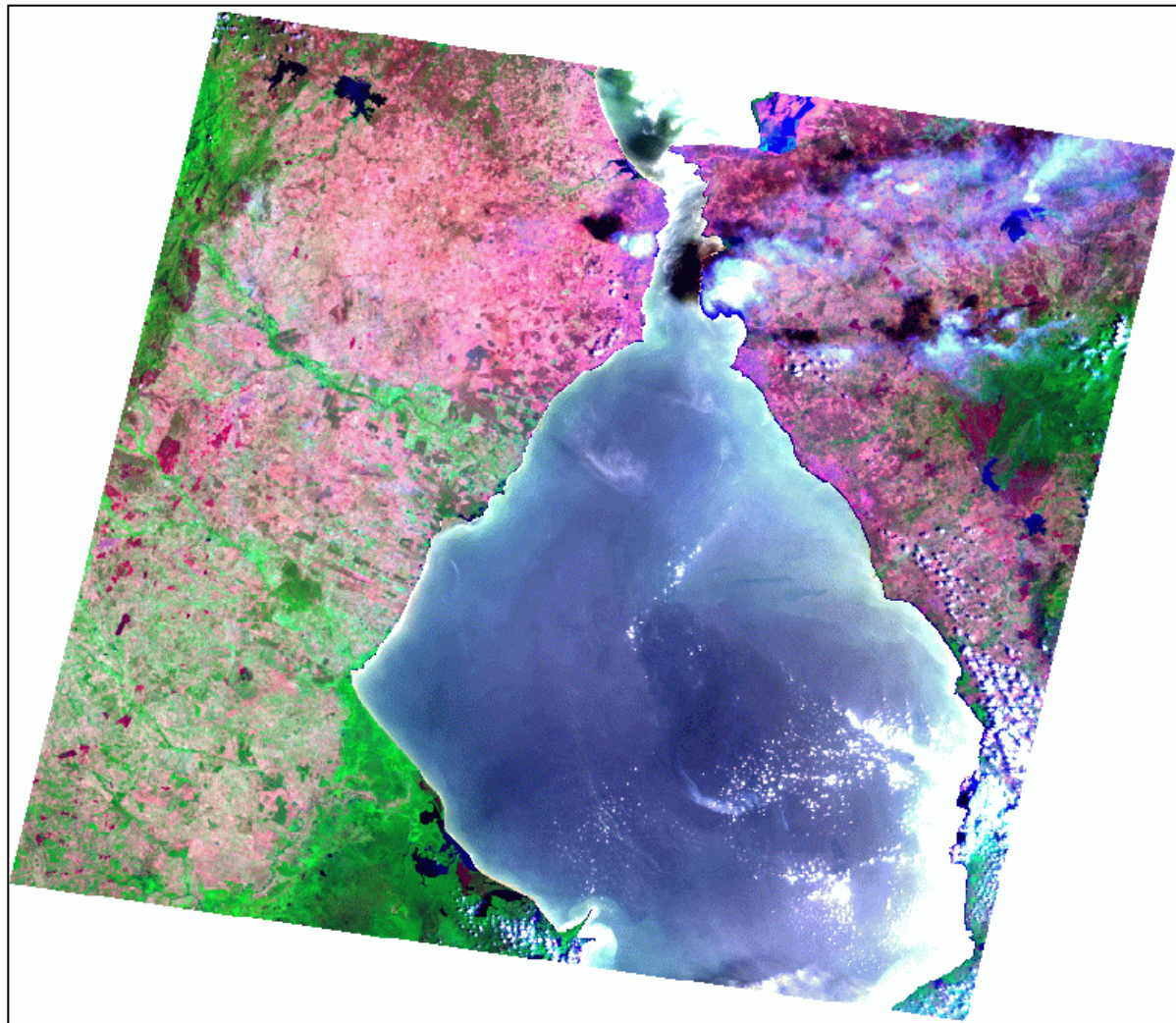


7 (R) I₄₅₇ (V) 5 (B)



◆ Compositions colorées par zone

terre: 7 4 2
mer : 3 2 1



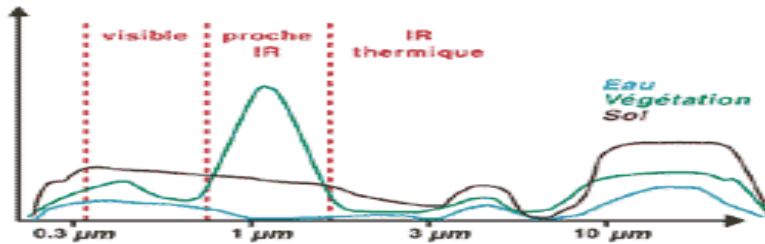


➊ Ratios et indices normalisés

- Principe – Exploiter la diversité des signatures spectrales



❖ Principe – Exploiter la diversité des signatures spectrales



Exemple: Landsat TM

$$NDVI_{TM} = \frac{TM\,4 - TM\,3}{TM\,4 + TM\,3}$$

$$NDVI = \frac{IR - R}{IR + R}$$

<http://telsat.belspo.be/beo/fr/guide/index.htm>



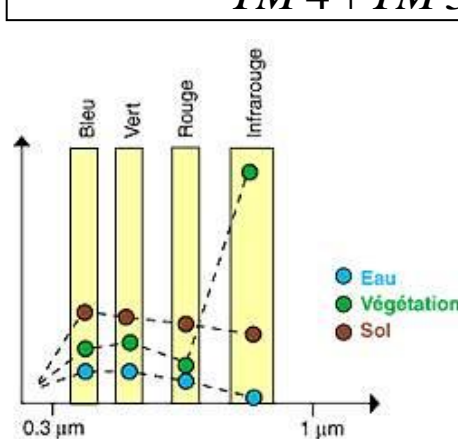
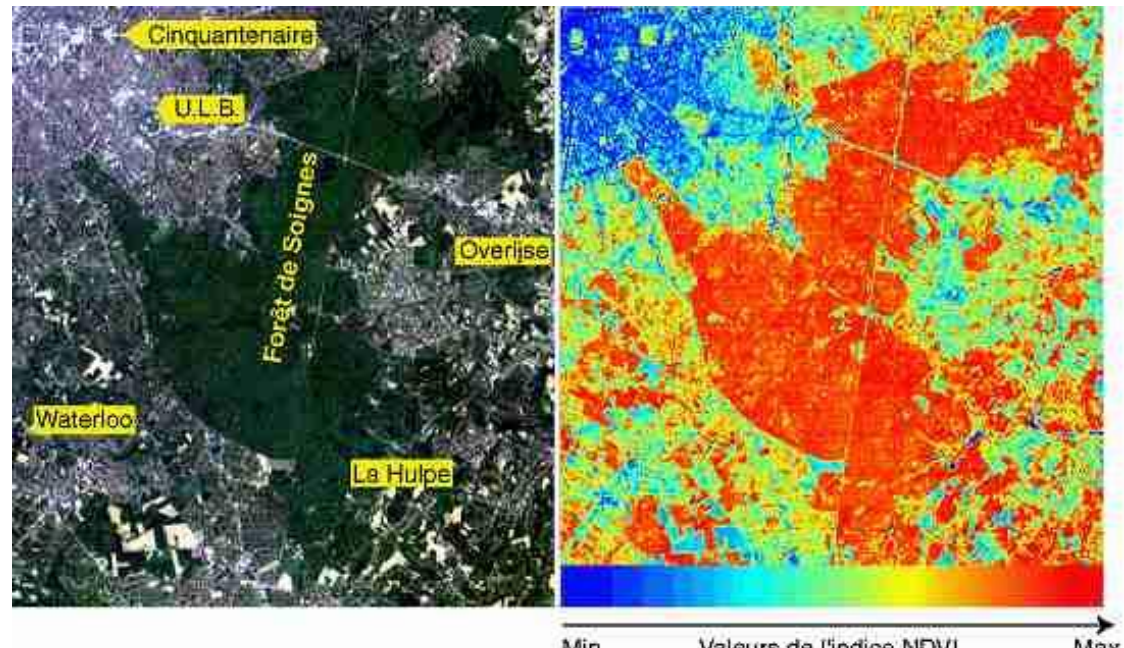
◆ A FAIRE

➊ Indice de végétation

NDVI : Normalised Difference Vegetation Index

$$NDVI = \frac{IR - R}{IR + R}$$

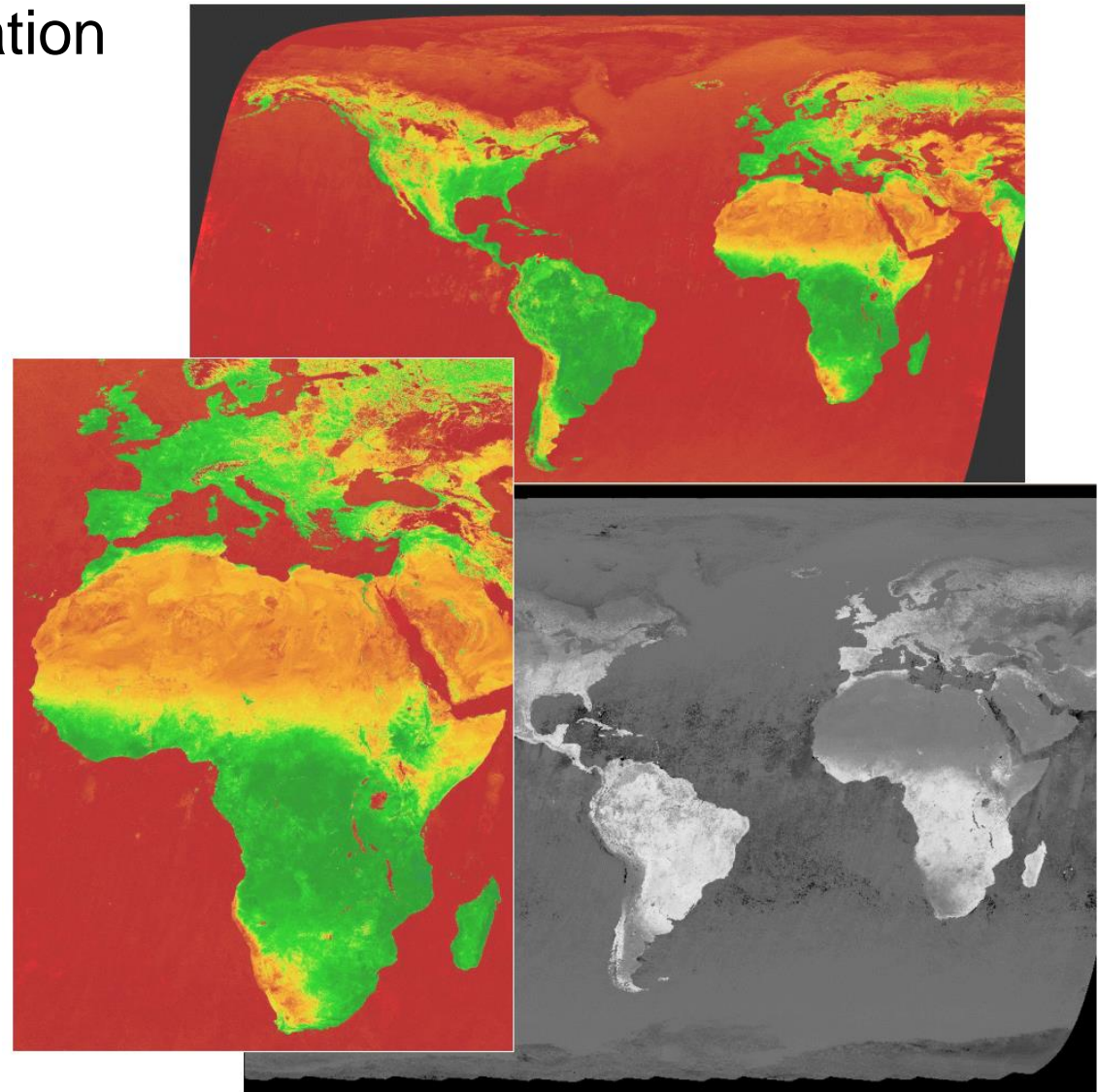
<http://telsat.belspo.be/beo/fr/guide/index.htm>



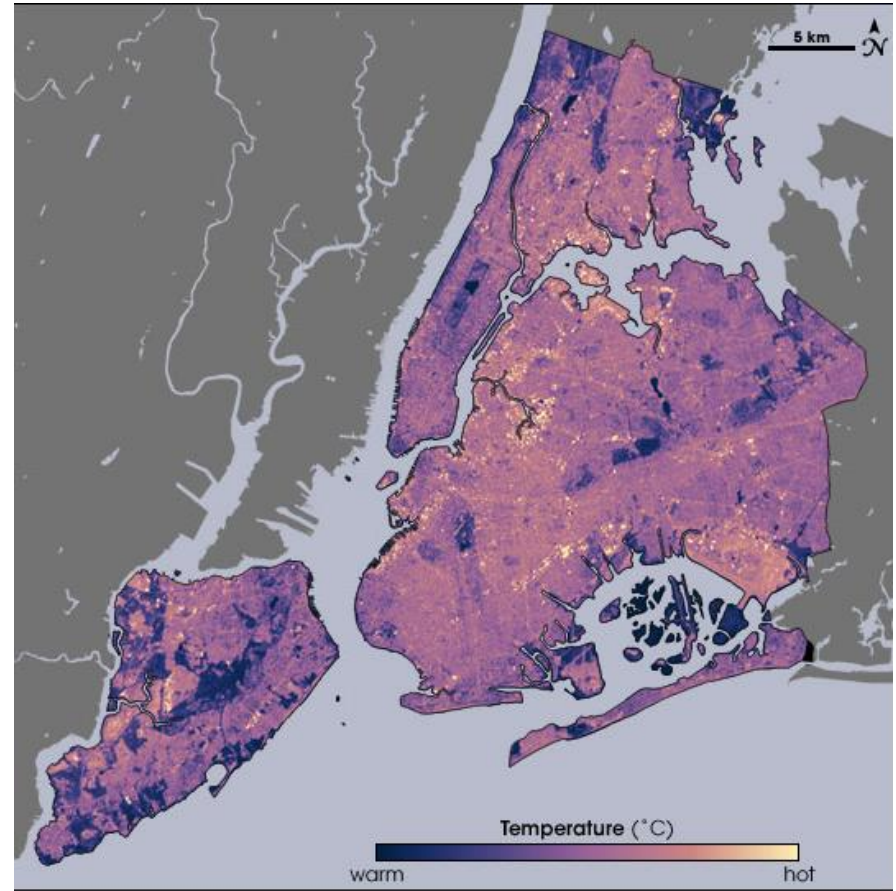
Voir aussi http://en.wikipedia.org/wiki/Normalized_Difference_Vegetation_Index

- Indice de végétation
Envisat / MERIS

$$NDVI_{MERIS} = \frac{B13 - B7}{B13 + B7}$$



◆ Indice de végétation et température - Landsat ETM+



New-York – Eté 2002

http://earthobservatory.nasa.gov/Newsroom/NewImages/images.php3?img_id=17354



➊ Indice d'humidité

NDMI : Normalised Difference Moisture Index

$$NDMI = \frac{NIR - MIR}{NIR + MIR}$$

Exemple: Landsat TM

$$NDMI_{TM} = \frac{TM\ 4 - TM\ 5}{TM\ 4 + TM\ 5}$$



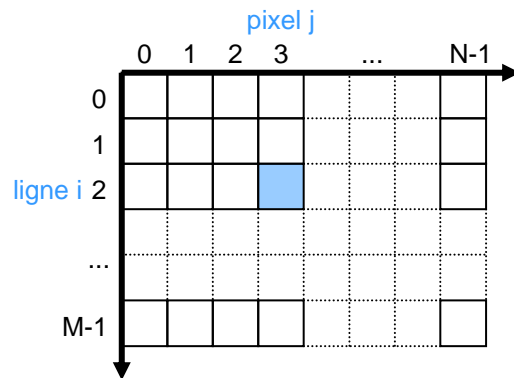
● Distributions et statistiques

- notion de distribution radiométrique
- background et image
- moyenne / variance / écart-type
- histogrammes / skewness / kurtosis
- distributions et populations - classification
- indice de végétation – indice d'humidité
- histogramme cumulé

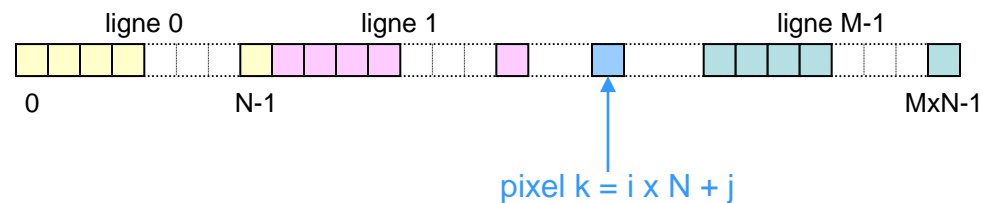


Notion de « distribution radiométrique »

Représentation à 2 dimensions



Représentation à 1 dimension



« Fonction image » ou « distribution radiométrique »

$$R(i,j), i=0..(M-1), j=0..(N-1)$$

$$\forall i=0..(M-1), \forall j=0..(N-1),$$

$$R(i,j) \in [0,2^d-1]$$

avec d: nombre de bits par pixels

$d = 8$ bits
dans le cours
 $\Rightarrow [0,255]$

$$R(k), k=0..(M \times N - 1)$$

représentation adoptée
dans le cours

D'un point de vue statistique, $R(i,j)$ est un échantillon d'une variable aléatoire réalisée sur l'intervalle $[0,2^d-1]$



❖ Background et image

- pas de background
- pixel image $R(i,j) \in [0,255]$

- background de valeur 0 (par exemple)
- pixel image $R(i,j) \in [1,255]$

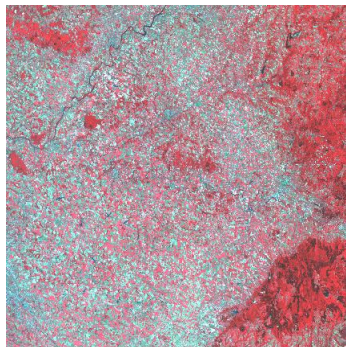
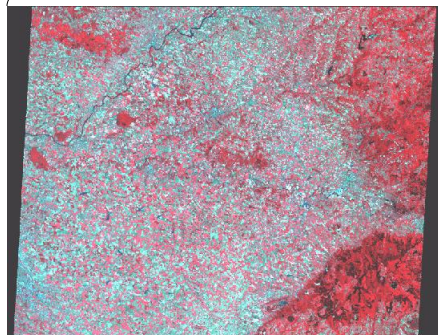
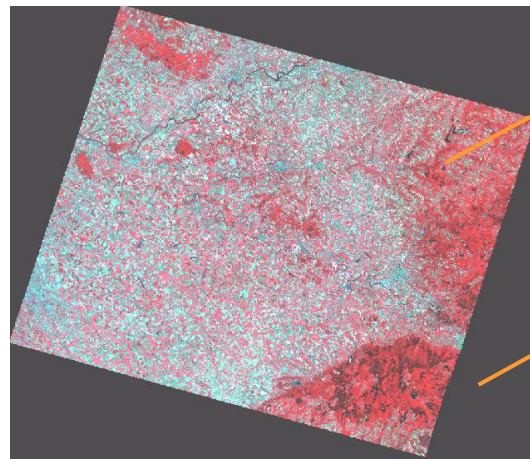


image acquise par le satellite SPOT



correction des effets :
- panoramique,
- de sphéricité et
- de rotation de la Terre



mise en projection cartographique

pixels image

pixels de background (ou padding)

Ne pas comptabiliser les pixels de background dans les statistiques !!!

Information relative à une image:

-format, -taille, -nombre bits par pixel, **présence background, -valeur background**



➊ Moyenne

$$\bar{m} = \frac{1}{M \times N} \times \sum_{i=0}^{M-1} \sum_{j=0}^{N-1} R(i, j)$$

mesure la luminosité



girl.r



girl.g



girl.b



$$m = 180,22$$
$$\sigma = 49,05$$

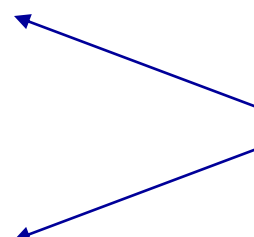
$$m = 99,05$$
$$\sigma = 52,88$$

$$m = 105,41$$
$$\sigma = 34,06$$

➋ Variance

$$V = \frac{1}{M \times N} \times \sum_{i=0}^{M-1} \sum_{j=0}^{N-1} [R(i, j) - \bar{m}]^2$$

$$V = \frac{1}{M \times N} \times \sum_{i=0}^{M-1} \sum_{j=0}^{N-1} (R(i, j))^2 - (\bar{m})^2$$



mesure la dispersion des valeurs (contraste)

➌ Écart-type

$$\sigma = \sqrt{V} = \sqrt{\frac{1}{M \times N} \times \sum_{i=0}^{M-1} \sum_{j=0}^{N-1} (R(i, j))^2 - (\bar{m})^2}$$

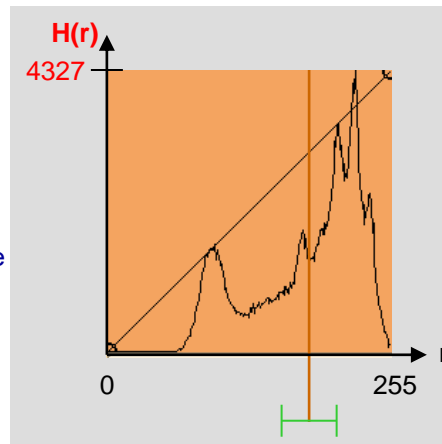
Histogramme

$\forall r = 0 .. 2^d-1, H(r) = \text{Card} (\{ R(i,j)=r, i=0..(M-1), j=0..(N-1) \})$ avec d: nombre de bits par pixels

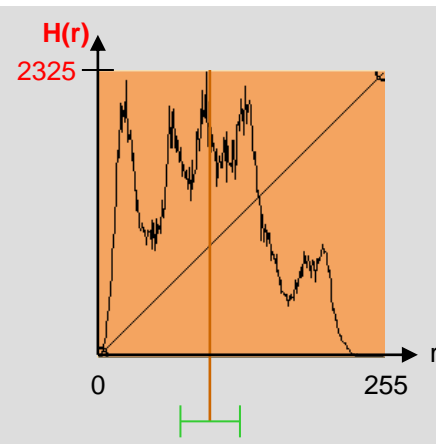
$H(r)$
Occurrences de la radiométrie r dans l'image entière



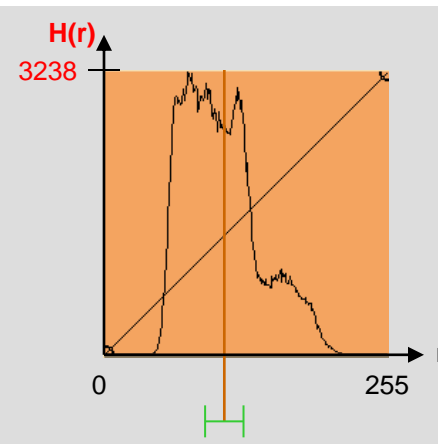
affichage calibré sur le maximum de l'histogramme ($\max(H(k))$)



$$m = 180,22 \\ \sigma = 49,05$$



$$m = 99,05 \\ \sigma = 52,88$$



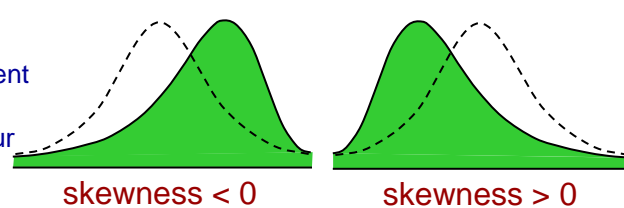
$$m = 105,41 \\ \sigma = 34,06$$



• Skewness et Kurtosis

$$\text{skewness} = \frac{1}{M \times N} \times \sum_{i=0}^{M-1} \sum_{j=0}^{N-1} \left[\frac{R(i, j) - \bar{m}}{\sigma} \right]^3$$

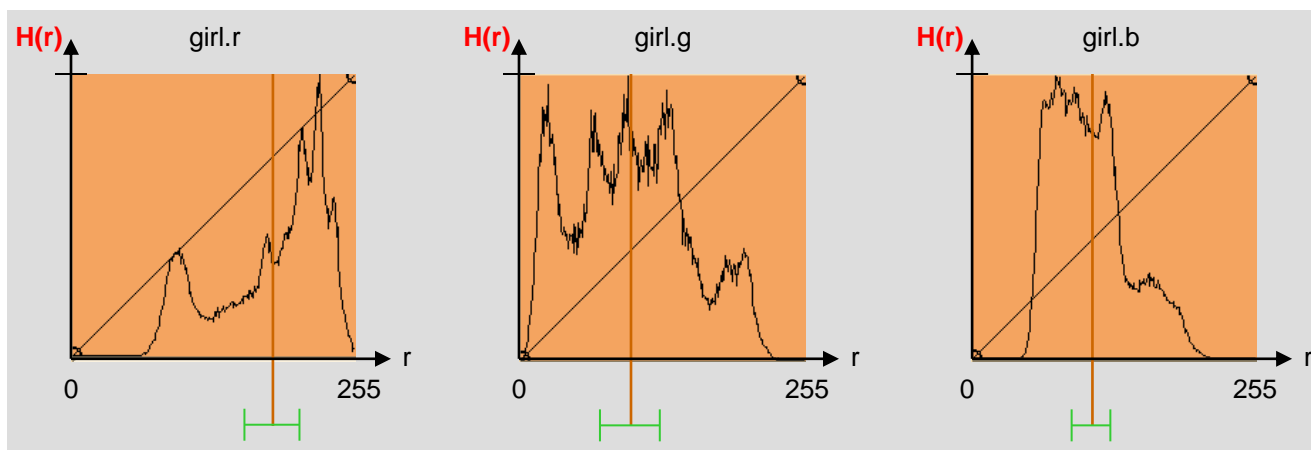
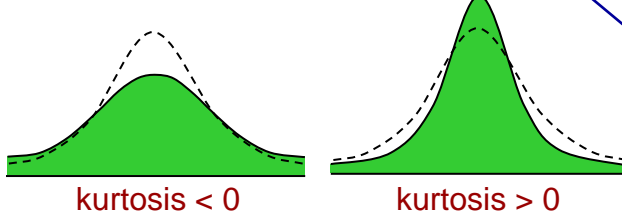
Mesure le balancement
(la symétrie) de
l'histogramme autour
de sa moyenne



$$\text{kurtosis} = \frac{1}{M \times N} \times \sum_{i=0}^{M-1} \sum_{j=0}^{N-1} \left[\frac{R(i, j) - \bar{m}}{\sigma} \right]^4 - 3$$

Mesure l'aplatissement
de l'histogramme par
rapport à la
«distribution normale»
de même moyenne et
écart-type

$$\frac{1}{\sigma \sqrt{2\pi}} \times e^{-\frac{(R(i, j) - \bar{m})^2}{2\sigma^2}}$$



$$m = 180,22 \\ \sigma = 49,05$$

$$\text{skewness} = -0.701 \\ \text{kurtosis} = -0.783$$

$$m = 99,05 \\ \sigma = 52,88$$

$$\text{skewness} = +0.223 \\ \text{kurtosis} = -0.755$$

$$m = 105,41 \\ \sigma = 34,06$$

$$\text{skewness} = +0.680 \\ \text{kurtosis} = -0.169$$



Exemple 2 – Roissy (SPOT XS)

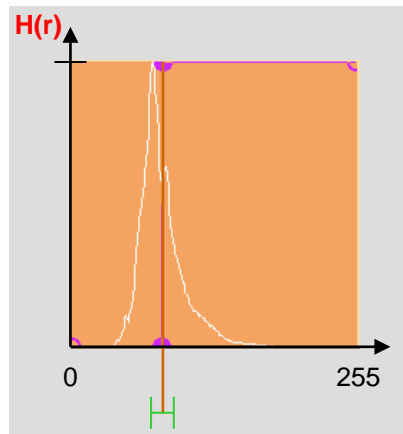
roissy.1



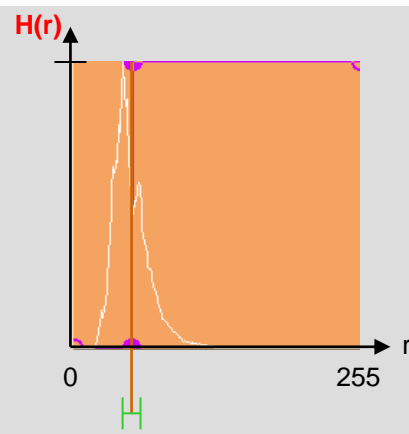
roissy.2



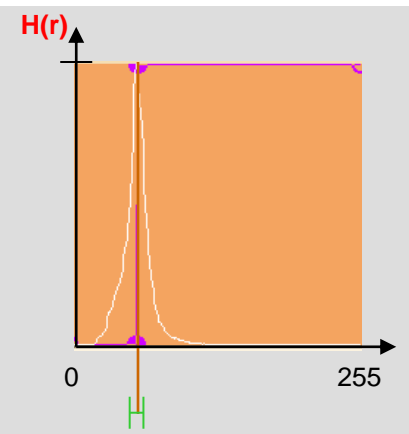
roissy.3



$m = 81.243$
 $\sigma = 19.546$
skewness = +1.255
kurtosis = +2.423



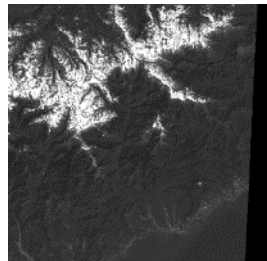
$m = 50.899$
 $\sigma = 15.791$
skewness = +1.077
kurtosis = +1.755



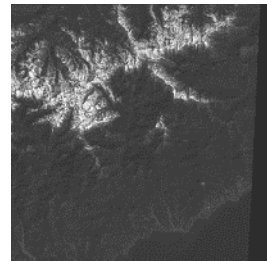
$m = 59.202$
 $\sigma = 11.888$
skewness = +0.413
kurtosis = +2.249

Exemple 3 – San-Remo (Landsat TM)

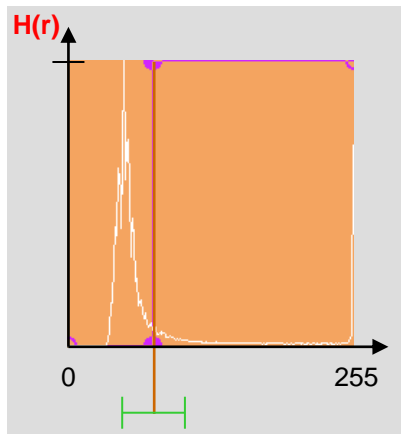
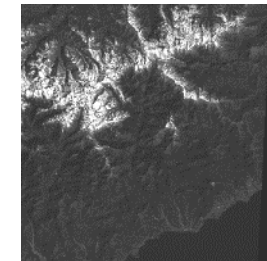
san-remo.1



san-remo.2

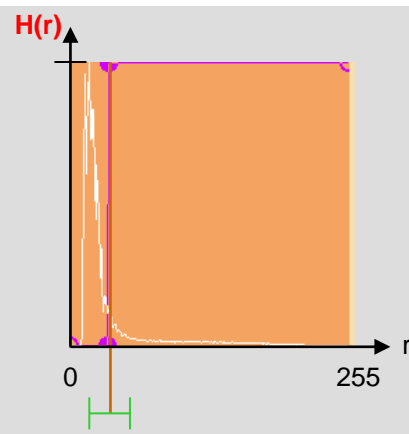


san-remo.3



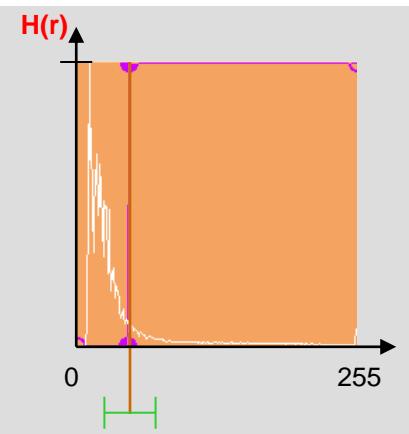
$m = 75.445$
 $\sigma = 55.984$

skewness = +2.359
kurtosis = +4.339



$m = 34.901$
 $\sigma = 36.624$

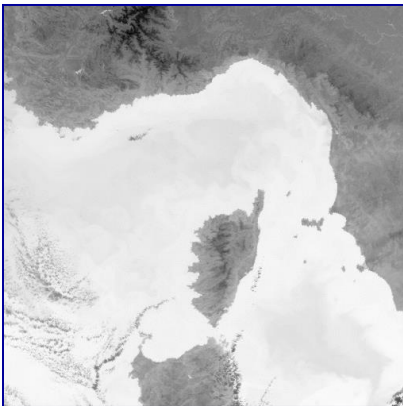
skewness = +2.891
kurtosis = +8.276



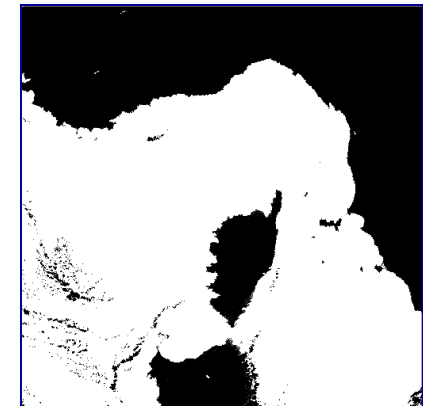
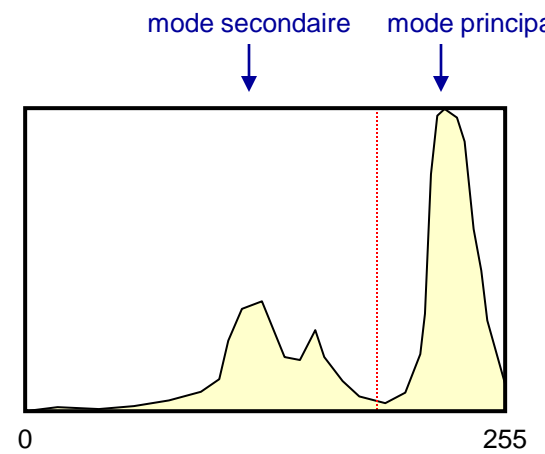
$m = 39.810$
 $\sigma = 45.782$

skewness = +2.735
kurtosis = +7.344

● Distributions et populations



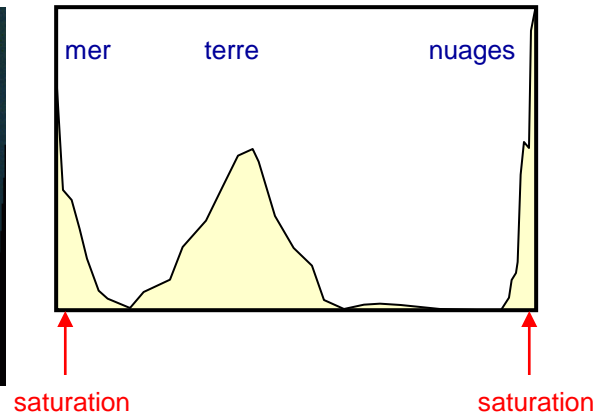
ERS - ATSR



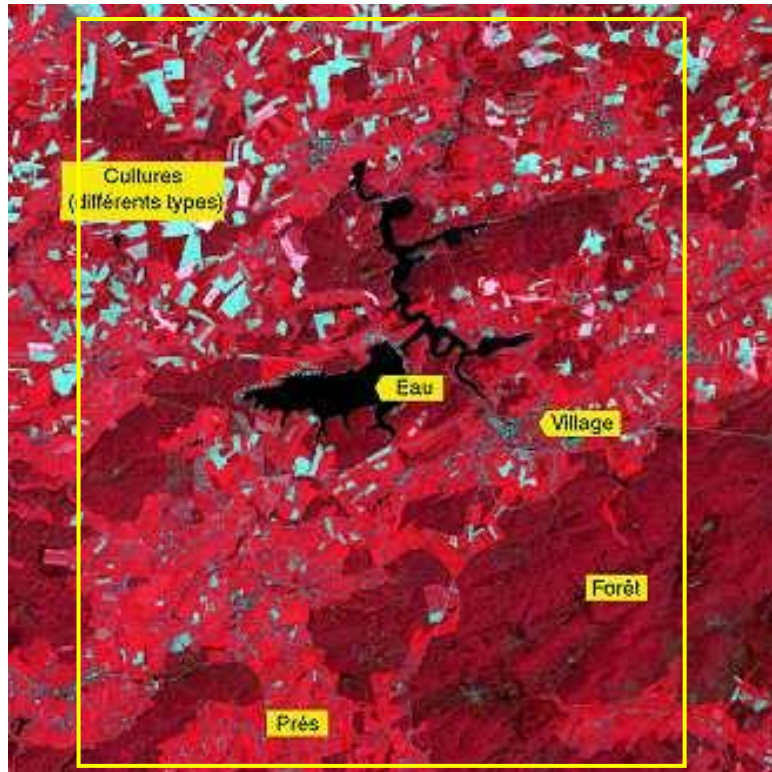
séparation en 2 classes à partir
d'un canal



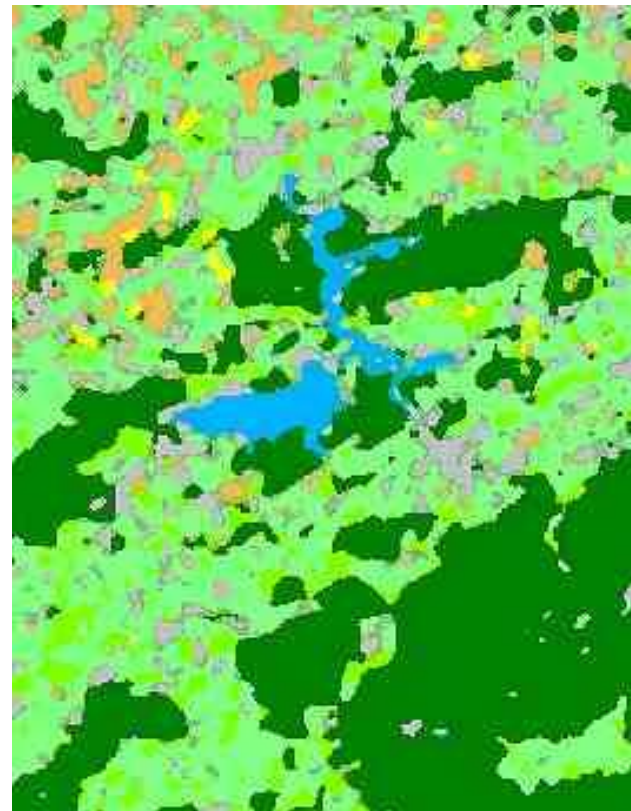
Landsat TM



❖ Classification



Landsat TM (sud de Bruxelles)
<http://telsat.belspo.be/beo/fr/guide/index.htm>



résultat d'une classification à partir de plusieurs canaux

Histogramme cumulé

$\forall r = 0 \dots 2^d - 1, H_c(r) = \text{Card} (\{R(i,j) \leq r, i=0..(M-1), j=0..(N-1)\})$ avec d: nombre de bits par pixels

Définition

$$H_C(r) = \sum_{i=0}^r H(i)$$

$$H_C(r) = H_C(r-1) + H(r)$$

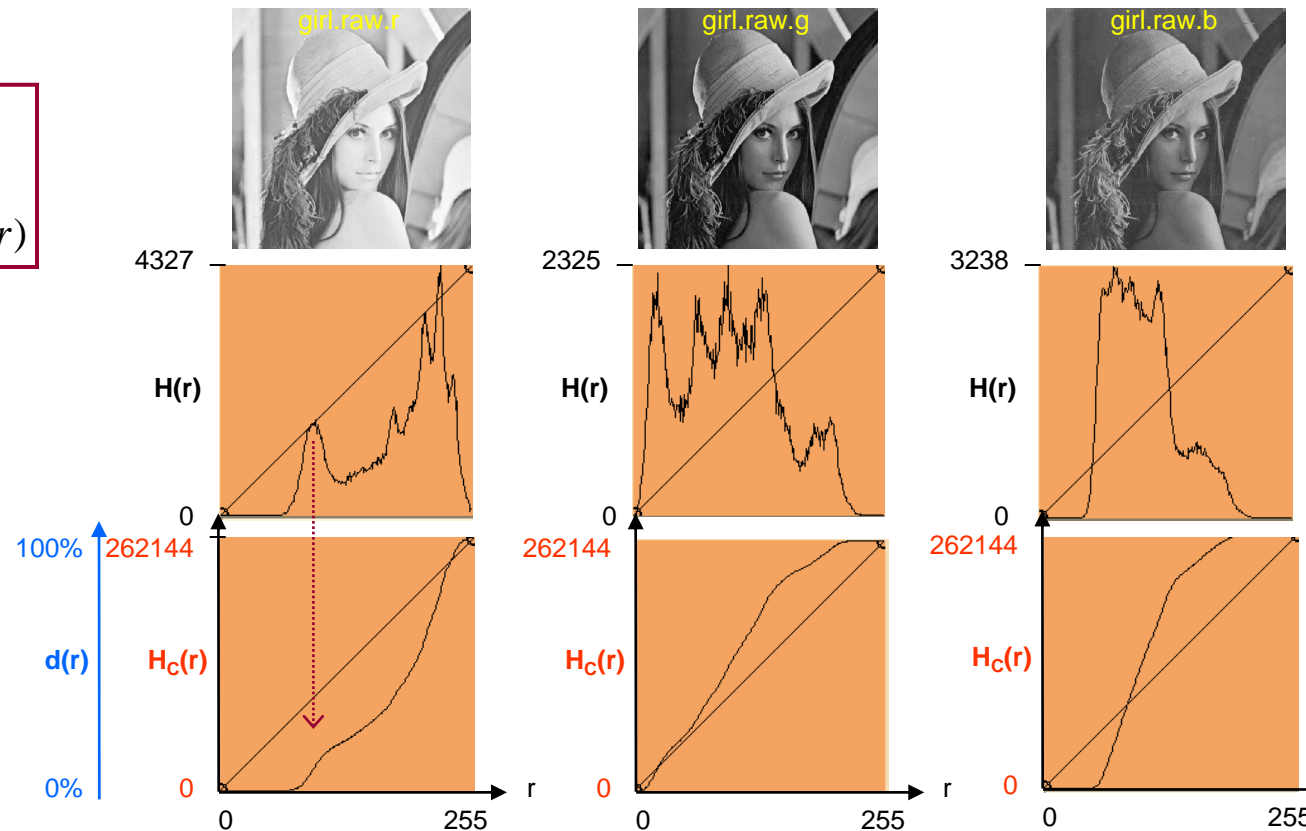
Propriété

$$H_C(255) = NP$$

Fonction de distribution image

$$d(r) = \frac{H_C(r)}{NP}$$

$$d(r) \in [0,1]$$





● Traitement radiométrique global par transformation d'histogramme

- seuillage
- stretching linéaire
- contrôler la luminosité / le contraste
- stretching automatique
- fonction identique
- fonction inverse
- fonction passe-bande
- stretching linéaire défini par morceaux
- fonction gamma
- adaptation à un modèle analytique
- adaptation à une image
- fonctions différentes selon les canaux

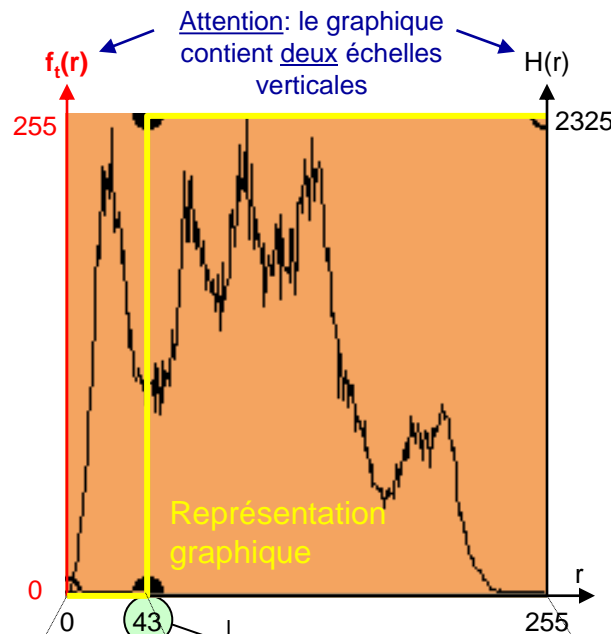
◆ Seuillage



Représentation mathématique

$$f_t(r) = \begin{cases} 0 & \text{si } r \leq t \\ 255 & \text{si } r > t \end{cases}$$

LUT de la fonction f_t



histogramme de l'image de sortie

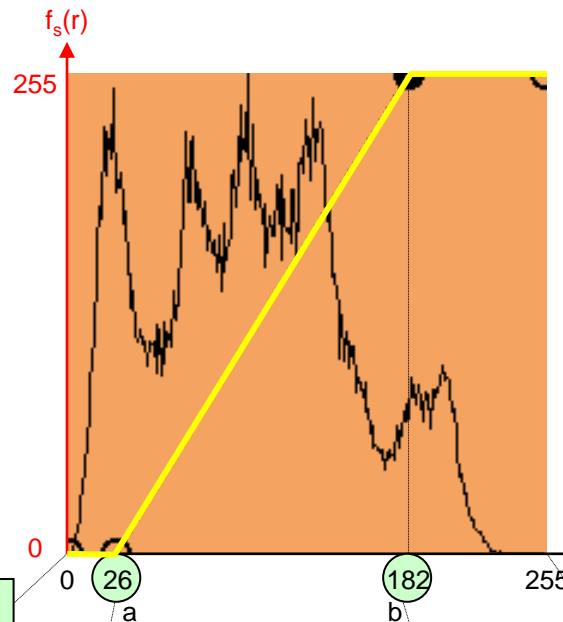
Représentation informatique

0	0	...	0	0	255	...	255	...	254	255
0	1	...	42	43	44	...	r	...	254	255

Représentation discrète (points par points) :

$$\{(r_i, f_t(r_i)), i=1..4\} = \{(0,0); (43,0); (44,255); (255,255)\}$$

◆ Stretching linéaire (étirement linéaire de la dynamique)



$$f_s(r) = \begin{cases} 0 & si \quad r < a \\ Arrondi\left(255 \times \frac{(r-a)}{(b-a)}\right) & si \quad a \leq r \leq b \\ 255 & si \quad r > b \end{cases}$$

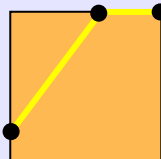
LUT de la fonction f_s

0	0	...	25	26	27	28	...	180	181	182	183	...	254	255
---	---	-----	----	----	----	----	-----	-----	-----	-----	-----	-----	-----	-----

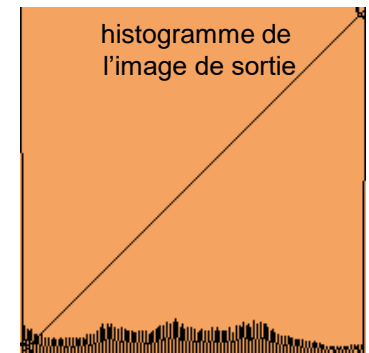
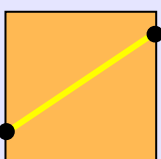
4 points

{ (0,0) ; (a,0) ; (b,255) ; (255,255) }

ou 3 points

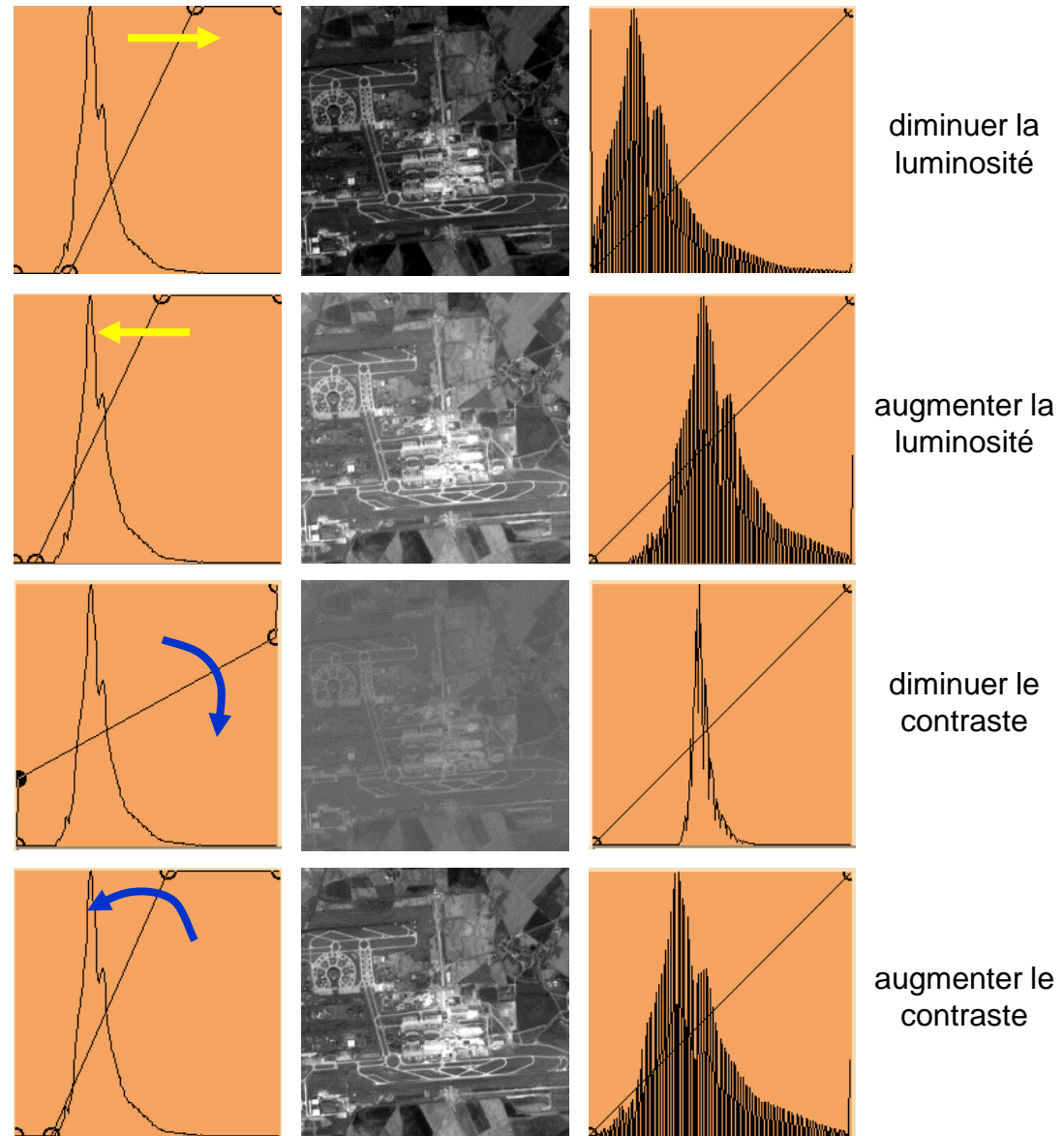


ou 2 points





◆ Contrôler la luminosité

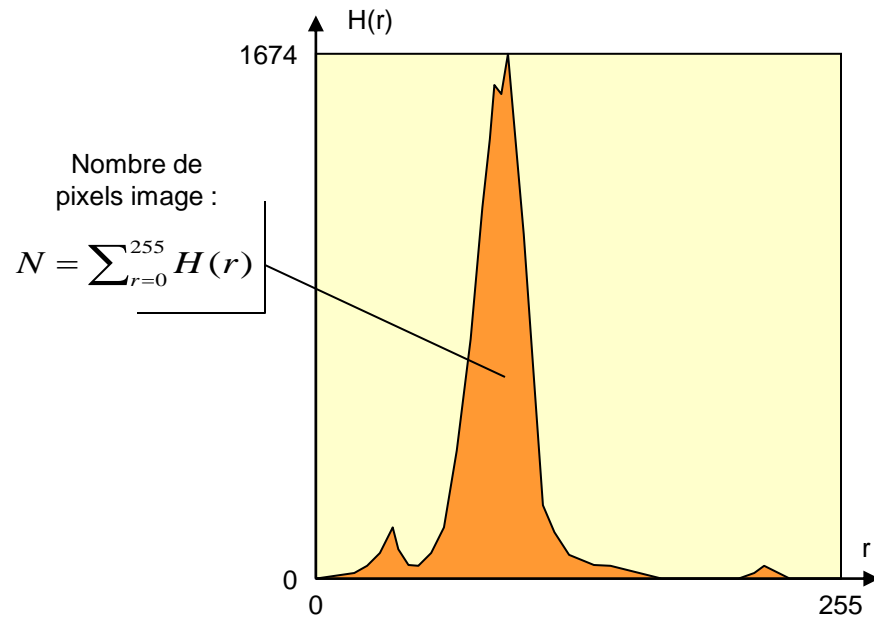


◆ Contrôler le contraste

◆ Stretching linéaire automatique

Déterminer automatiquement les bornes a et b du stretching linéaire

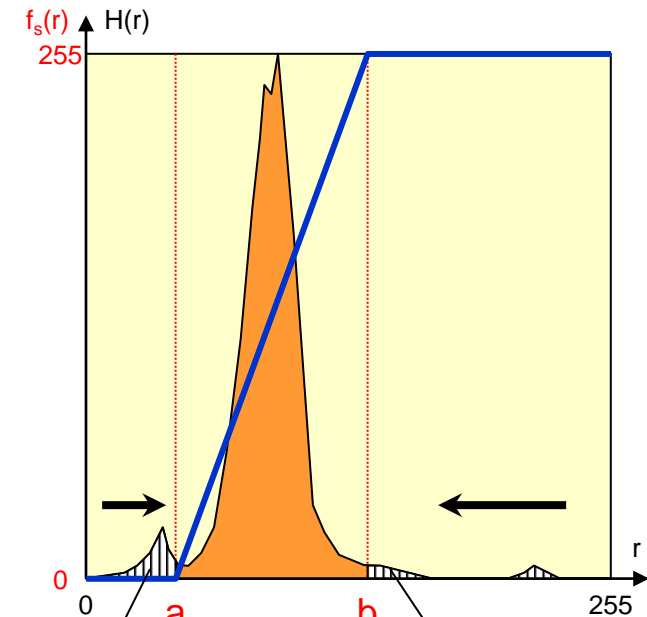
■ Principe



α_s : Pourcentage de saturation

$N_s = N \times \alpha_s$: Nombre de pixels image saturés

$N_s = N_g + N_d$



Pixels saturés
à gauche

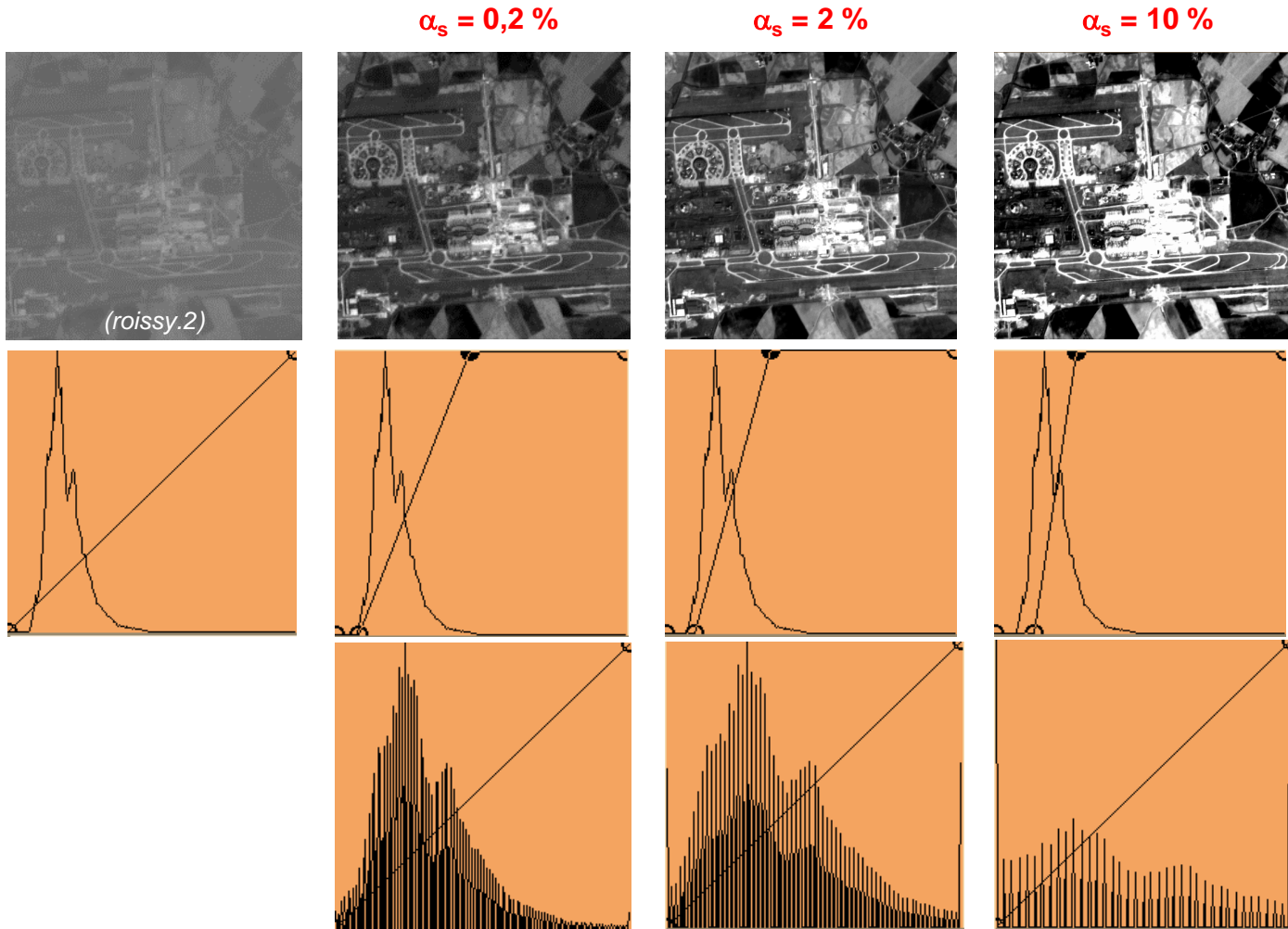
$$N_g = \sum_{r=0}^a H(r)$$

2 méthodes:

- saturer $N_s/2$ pixels à gauche puis $N_s/2$ pixels à droite
- saturer du côté où l'histogramme est minimal

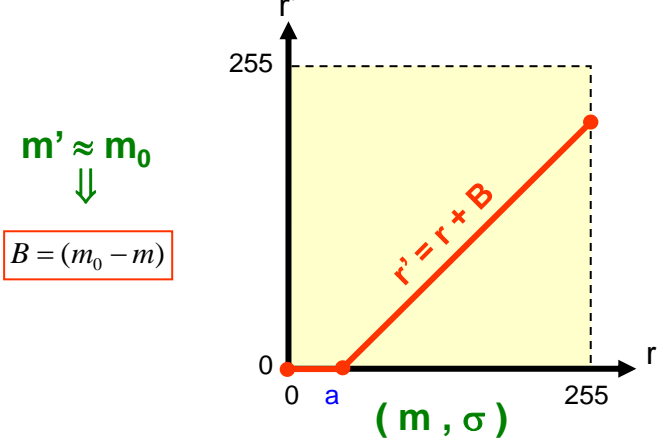


■ Stretching linéaire automatique - Résultats

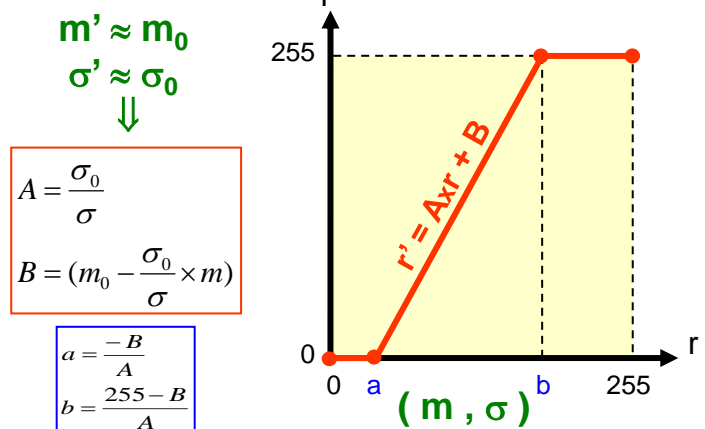


◆ Stretching imposé par des statistiques de sortie

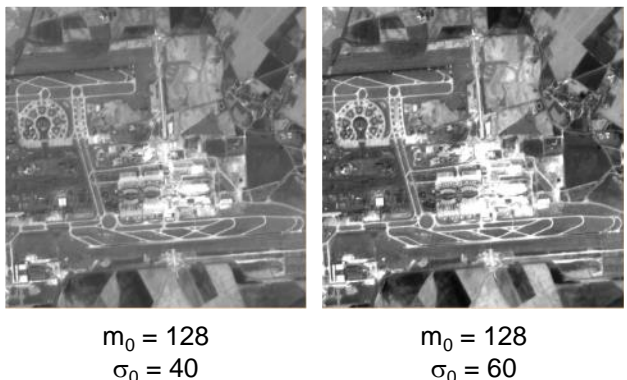
■ Moyenne m_0 imposée



■ Moyenne m_0 et écart-type σ_0 imposés

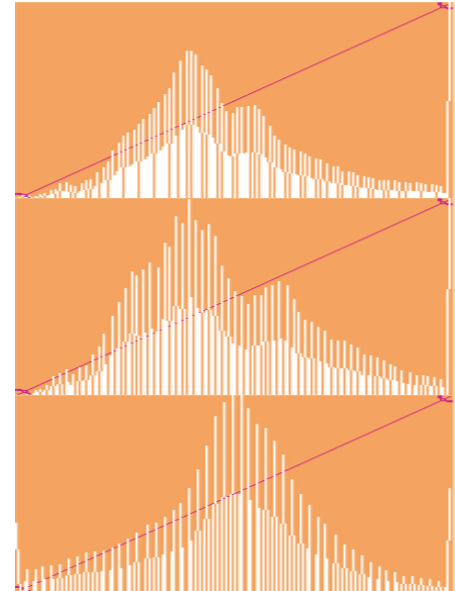
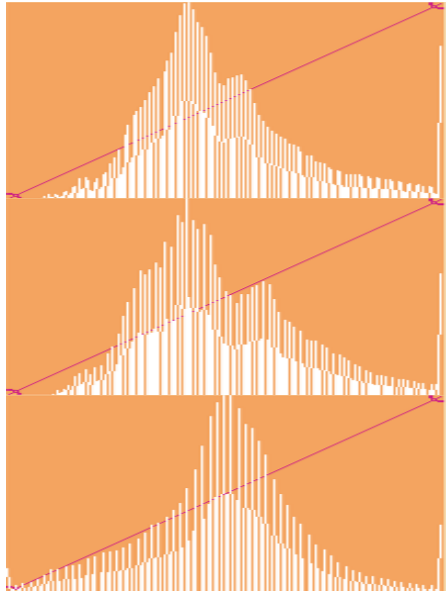
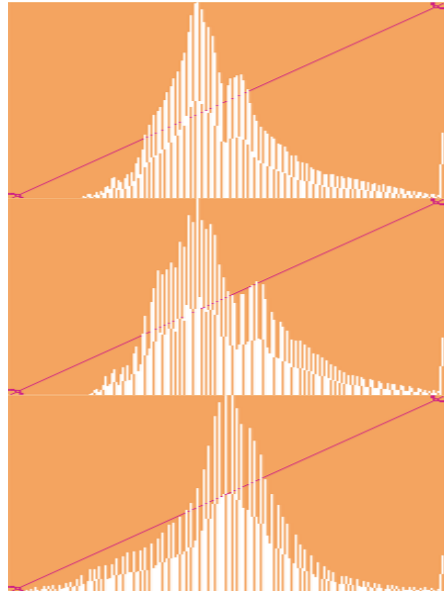


⇒ Lien « Stretching local imposé par des statistiques de sortie »



■ Moyenne m_0 et écart-type σ_0 imposés – Exemples de compositions colorées (1)

roissy.{1,2,3} – image brute

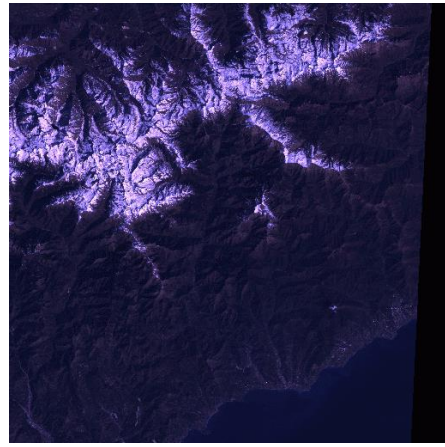
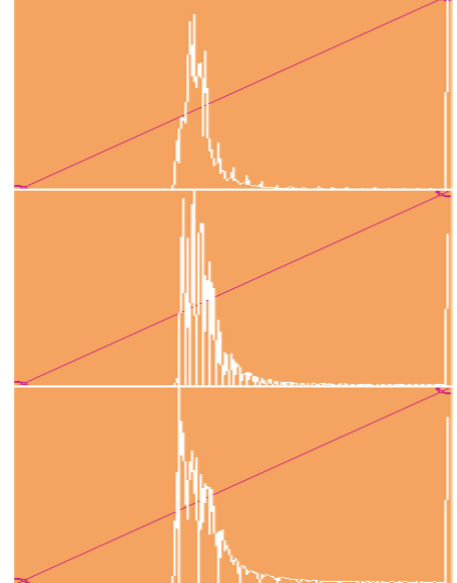
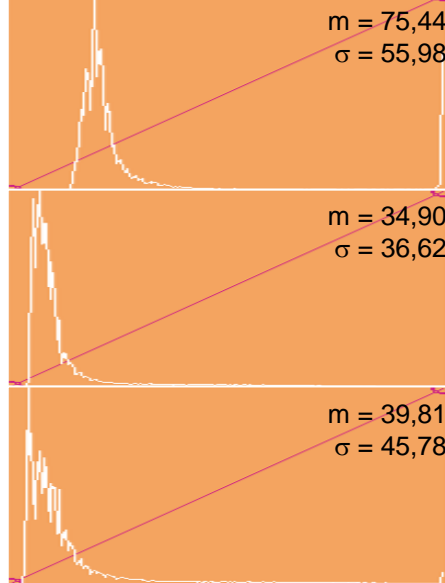
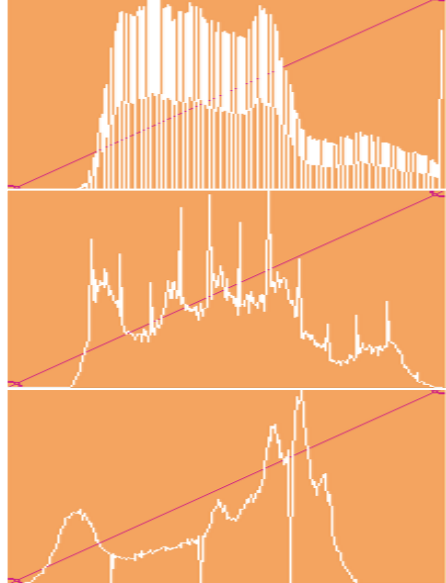
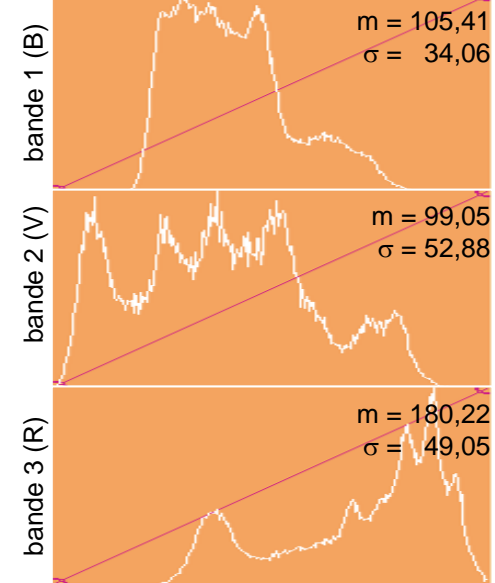
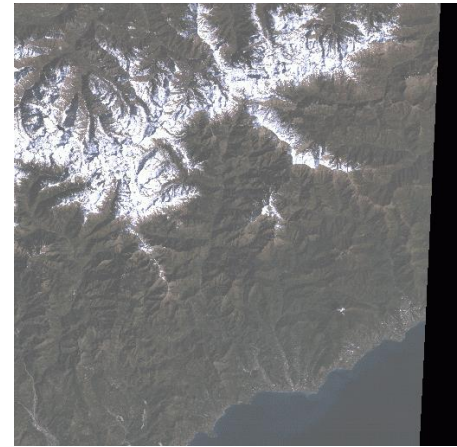
 $m_0 = 128 - \sigma_0 = 40$  $m_0 = 128 - \sigma_0 = 50$  $m_0 = 128 - \sigma_0 = 60$ bande 1 (B)
bande 2 (V)
bande 3 (R) $m = 81.243$
 $\sigma = 19.546$ $m = 50.899$
 $\sigma = 15.791$ $m = 59.202$
 $\sigma = 11.888$ 

■ Moyenne m_0 et écart-type σ_0 imposés – Exemples de compositions colorées (2)

girl.{1,2,3} – image brute

 $m_0 = 128 - \sigma_0 = 50$ 

san-remo.{1,2,3} – image brute

 $m_0 = 128 - \sigma_0 = 50$ 



Stretching linéaire par zones

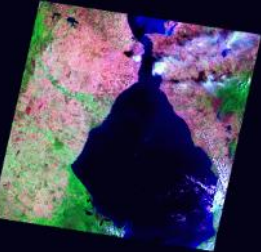
stretching terre + mer



limite terre / mer



stretching terre



stretching mer



masque terre / mer



masque de terre



masque de mer



bande 2 (B)

bande 4 (V)

bande 7 (R)

$$a = 51 \\ b = 126$$

$t = 81$

$$a = 60 \\ b = 114$$

$$a = 56 \\ b = 78$$

$$a = 6 \\ b = 111$$

$t = 32$

$$a = 46 \\ b = 107$$

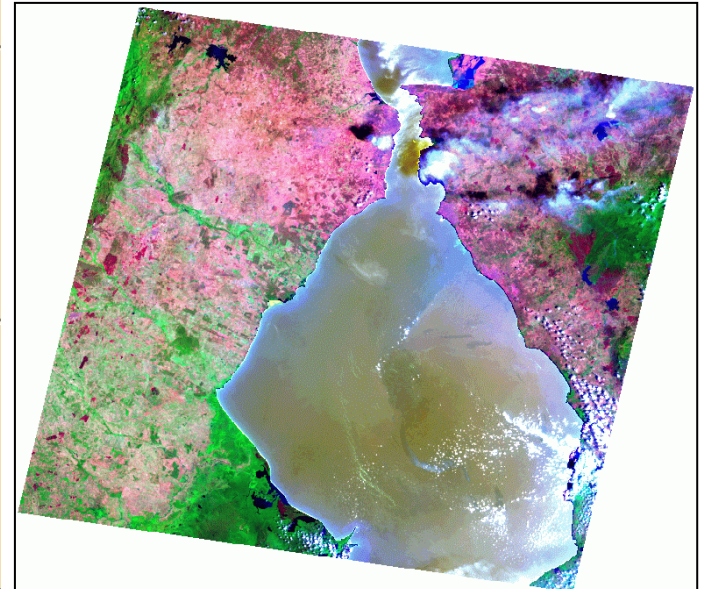
$$a = 8 \\ b = 26$$

$$a = 1 \\ b = 144$$

$t = 22$

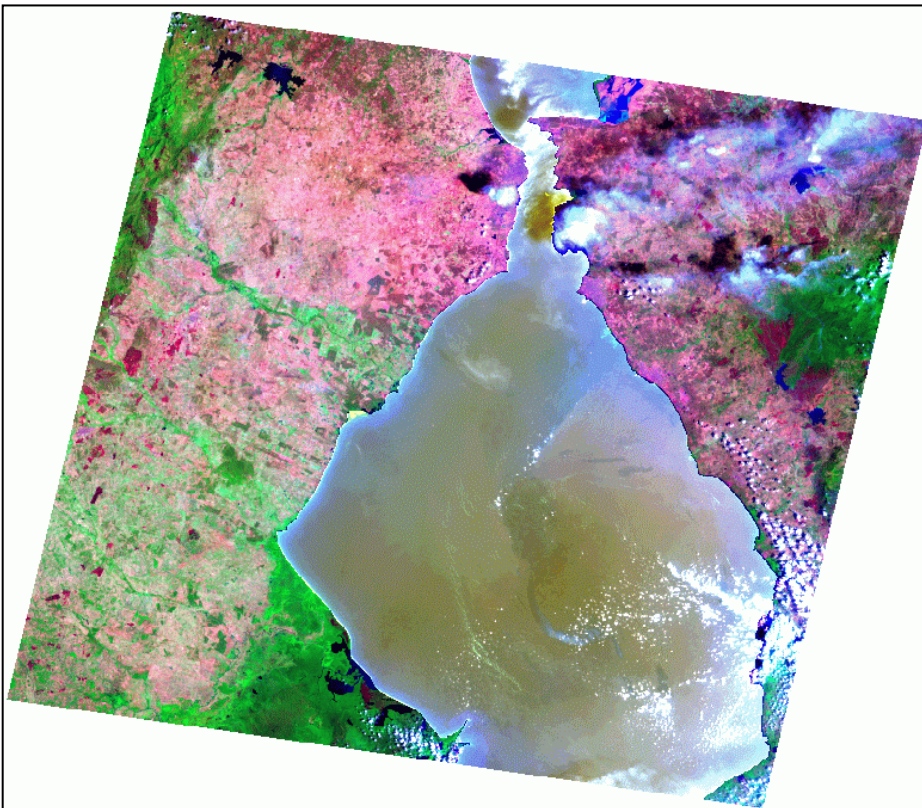
$$a = 32 \\ b = 115$$

$$a = 1 \\ b = 25$$



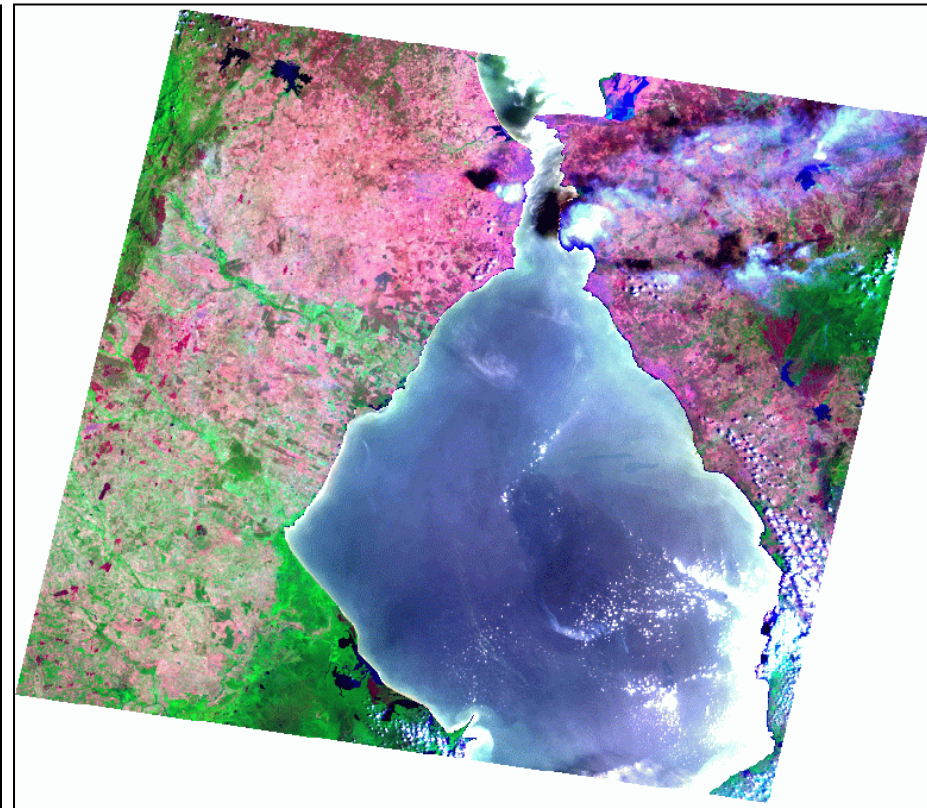
composition de stretchings de terre et de mer

- Composition de zones utilisant différentes bandes spectrales
Landsat ETM+ - Maracaibo



Même bandes spectrales:

terre: 7 4 2
mer : 7 4 2



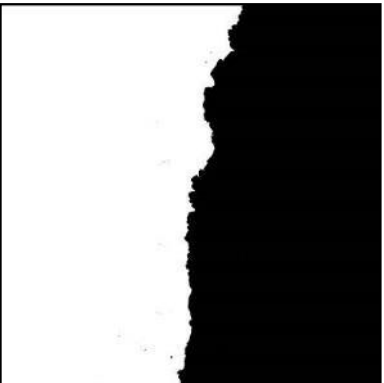
Bandes spectrales différentes:

terre: 7 4 2
mer : 3 2 1

- Composition de zones utilisant avec les mêmes bandes spectrales
RapidEye – Mer morte



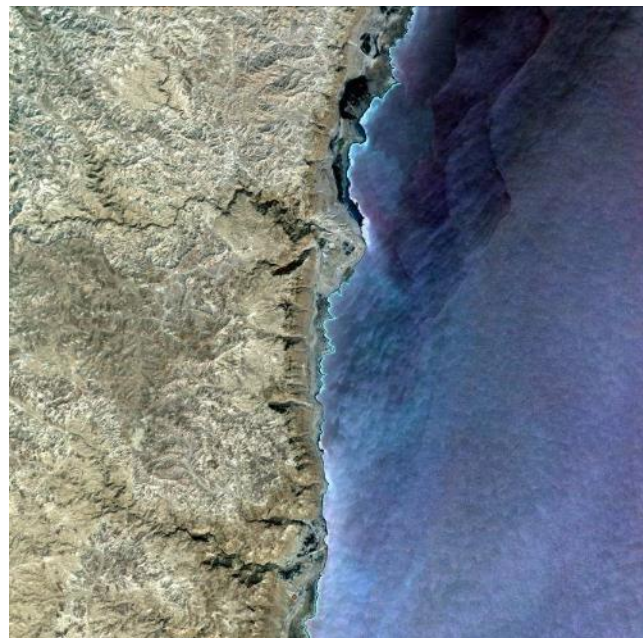
A. stretching de la terre (321)



B. seuillage de la bande 3



C. image A masquée par B



E. composition des images C et D



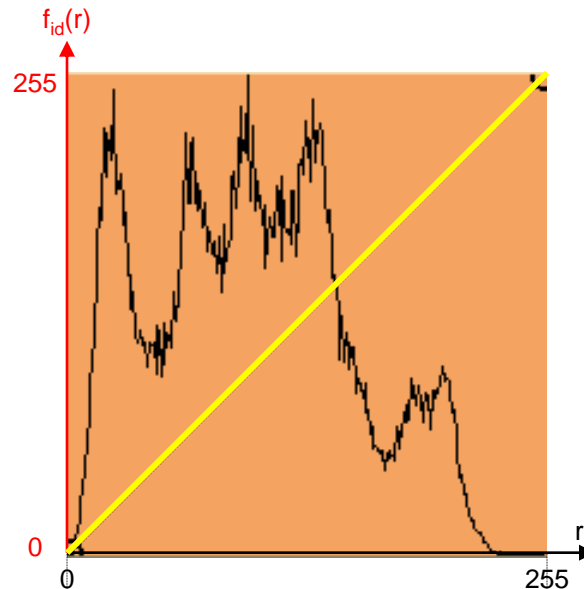
D. stretching de la mer (321)



◆ Fonction identique



$$f_{id}(r) = r$$



LUT de la fonction f_{id}

0	1	2	...	253	254	255
0	1	2	...	253	254	255

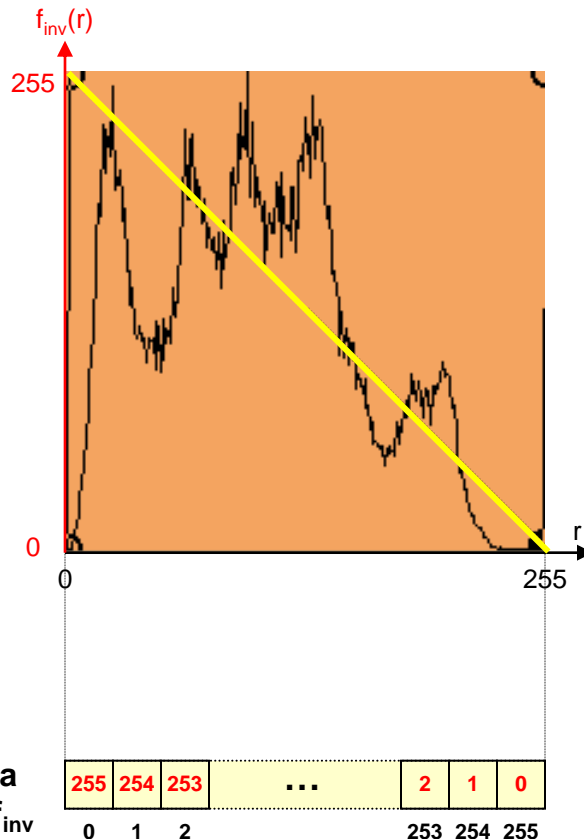


Représentation discrète (points par points) :
 $\{ (r_i, f_t(r_i)), i=1..2 \} = \{ (0,0) ; (255,255) \}$

◆ Fonction inverse



$$f_{inv}(r) = 255 - r$$



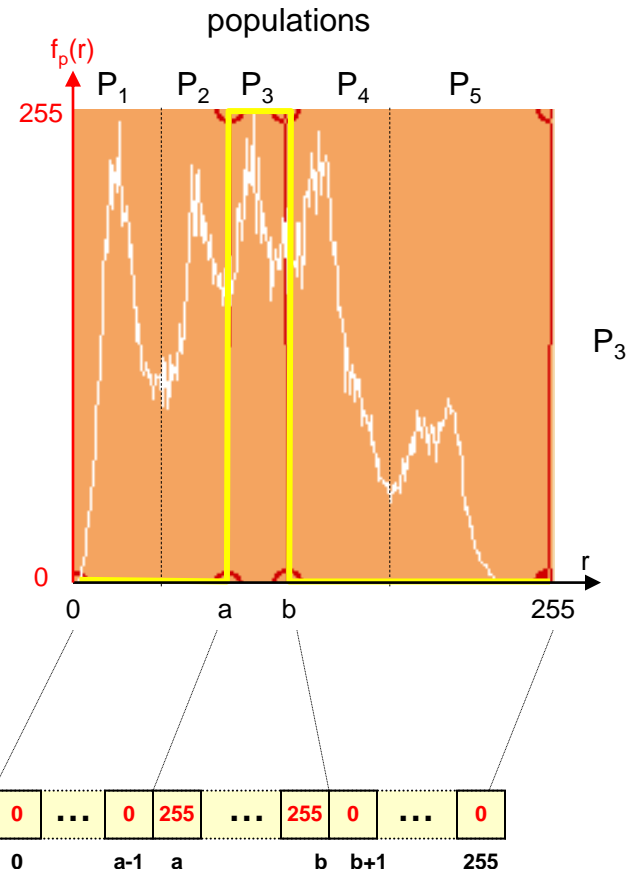
Représentation discrète (points par points) :
 $\{ (r_i, f_t(r_i)), i=1..2 \} = \{ (0,255); (255,0) \}$

◆ Seuillage passe-bande



$$f_p(r) = \begin{cases} 0 & \text{si } r < a \\ 255 & \text{si } a \leq r \leq b \\ 0 & \text{si } r > b \end{cases}$$

LUT de la fonction f_p

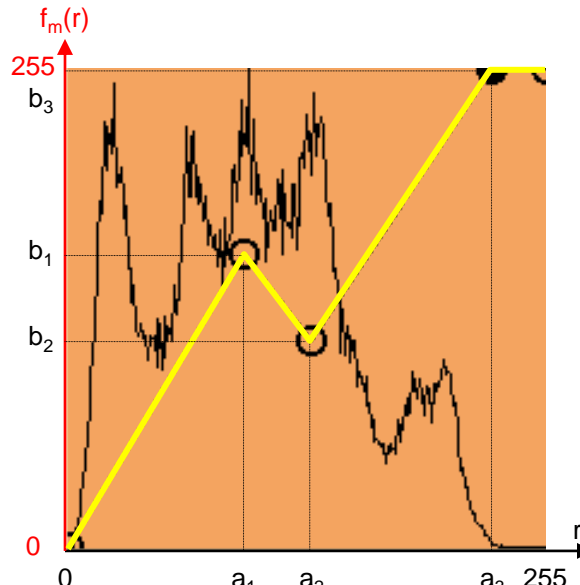


Représentation discrète (points par points) :

$$\{(r_i, f_p(r_i)), i=1..6\} = \{(0,0); (a-1,0); (a,255); (b,255); (b+1,0); (255,0)\}$$

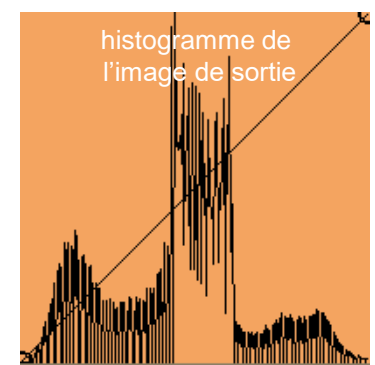
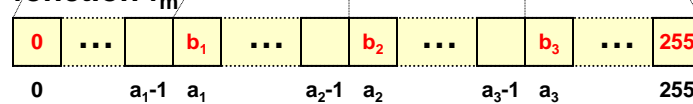


◆ Fonction définie par morceaux



$$f_m(r) = \begin{cases} A \left((b_1 - 0) \times \frac{(r - 0)}{(a_1 - 0)} \right) & \text{si } 0 \leq r < a_1 \\ A \left((b_2 - b_1) \times \frac{(r - a_1)}{(a_2 - a_1)} \right) & \text{si } a_1 \leq r < a_2 \\ A \left((b_3 - b_2) \times \frac{(r - a_2)}{(a_3 - a_2)} \right) & \text{si } a_2 \leq r < a_3 \\ 255 & \text{si } a_3 \leq r < 255 \end{cases}$$

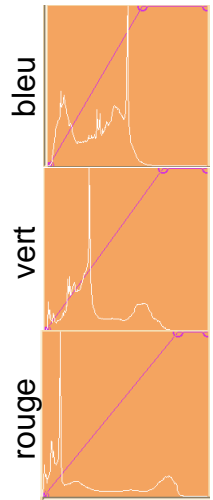
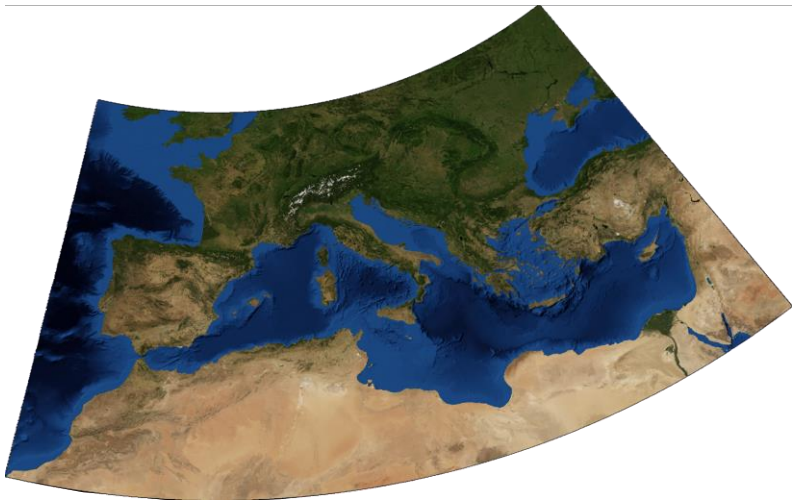
LUT de la fonction f_m



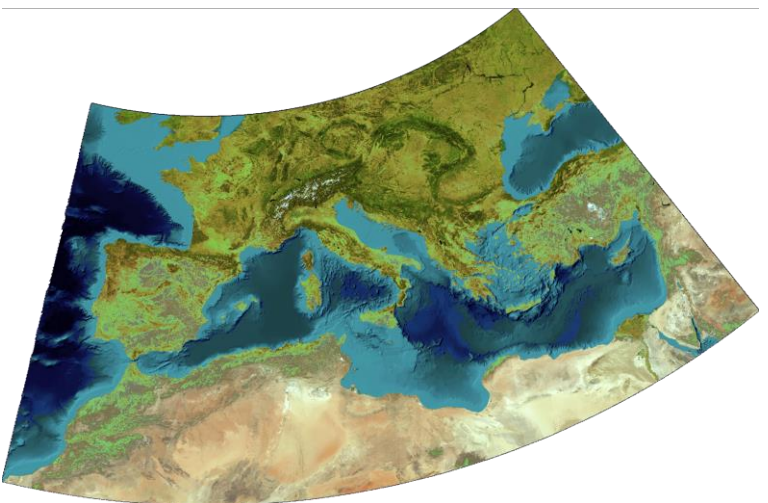
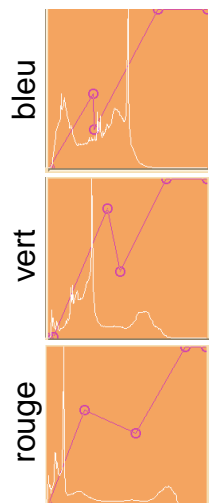
Représentation discrète (points par points) :
 n segments $\Rightarrow (n+1)$ points:
 $\{ (a_1, b_1); (a_2, b_2); (a_{n+1}, b_{n+1}) \}$



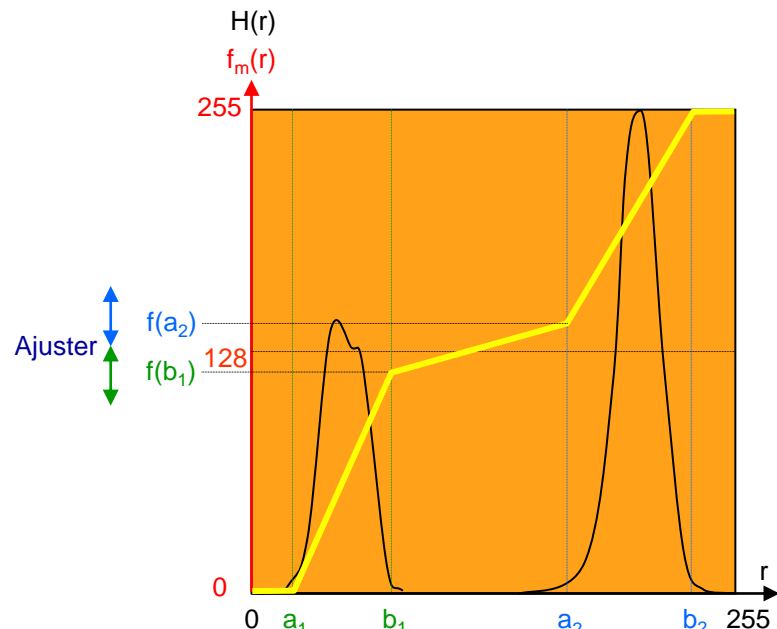
📍 Fonction définie par morceaux – Exemple MODIS



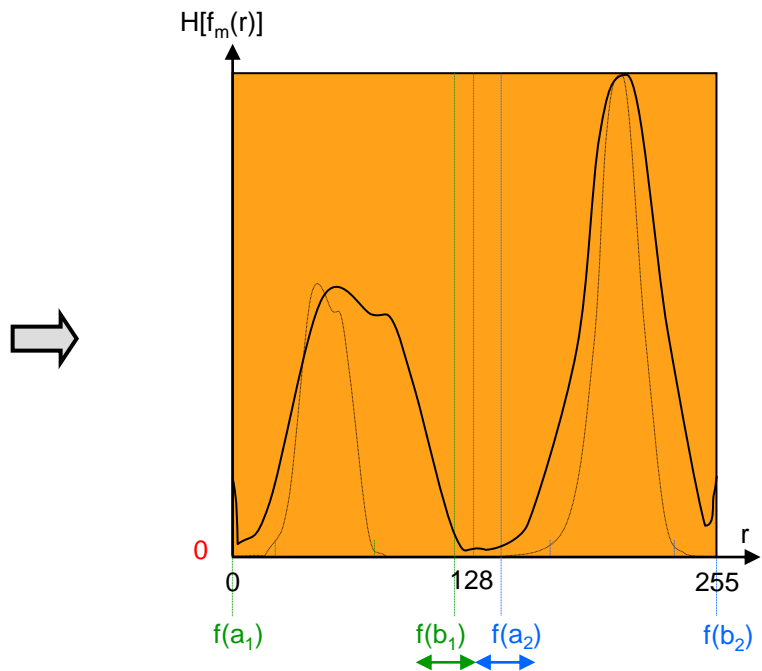
Synthèse MODIS + topo + bathy – Juillet 2004
projection stéréographique



◆ Stretching linéaire par morceaux Cas des histogrammes bi-modaux



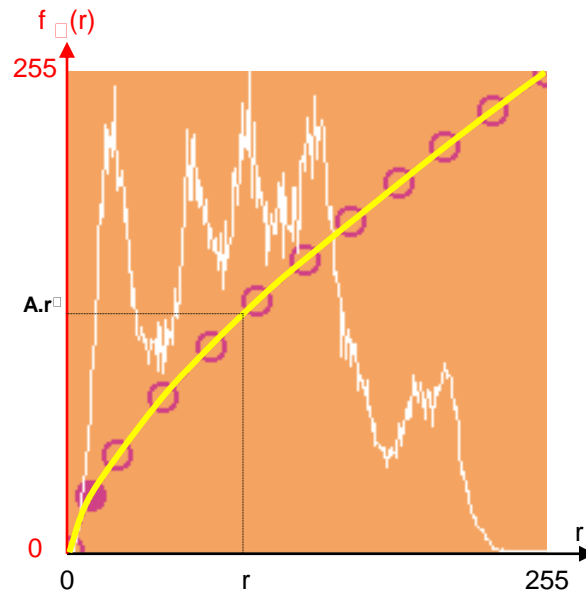
Histogramme de l'image source



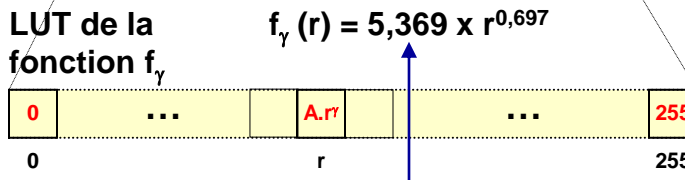
Histogramme de l'image destination



Fonction gamma

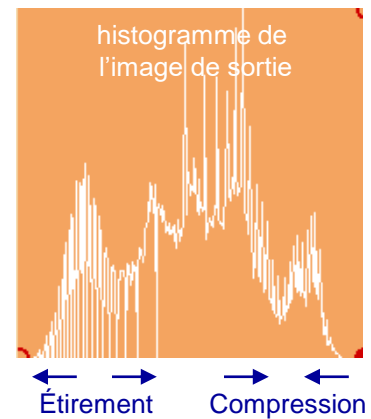


$$f_\gamma(r) = A \times r^\gamma$$



Déterminé automatiquement pour que la moyenne de l'image de sortie soit à 127,5

Représentation discrète (points par points)
≠ fonction continue



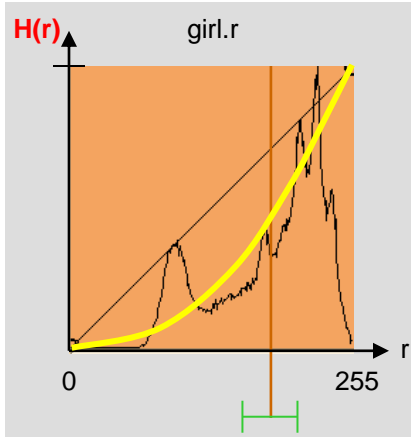


Fonction gamma Exemple 1 (Léna)



Skewness < 0 $\Rightarrow \gamma > 1$

$$f_\gamma(r) = 0,00081 \times r^{2,891}$$

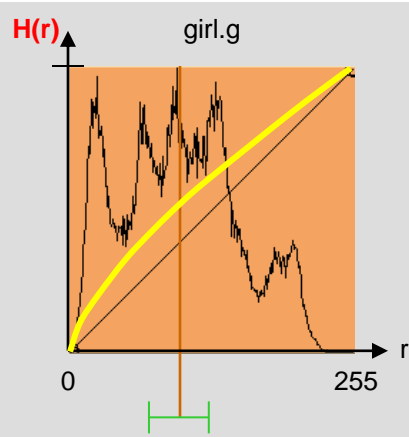


$$\begin{aligned} m &= 180,22 \\ \sigma &= 49,05 \end{aligned}$$

$$\begin{aligned} \text{skewness} &= -0.701 \\ \text{kurtosis} &= -0.783 \end{aligned}$$

Skewness > 0 $\Rightarrow \gamma < 1$

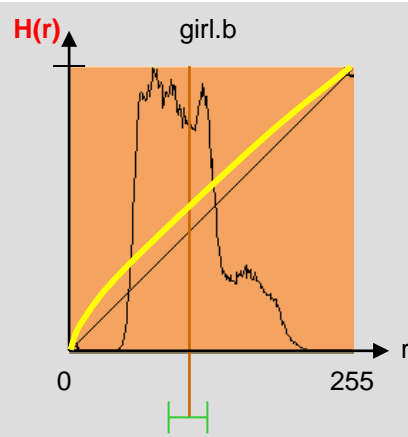
$$f_\gamma(r) = 5,369 \times r^{0,697}$$



$$\begin{aligned} m &= 99,05 \\ \sigma &= 52,88 \end{aligned}$$

$$\begin{aligned} \text{skewness} &= +0.223 \\ \text{kurtosis} &= -0.755 \end{aligned}$$

$$f_\gamma(r) = 3,484 \times r^{0,775}$$



$$\begin{aligned} m &= 105,41 \\ \sigma &= 34,06 \end{aligned}$$

$$\begin{aligned} \text{skewness} &= +0.680 \\ \text{kurtosis} &= -0.169 \end{aligned}$$

Algorithme de recherche automatique.

$$f(r) = A \times r^\gamma$$

Trouver A et γ , tel que:

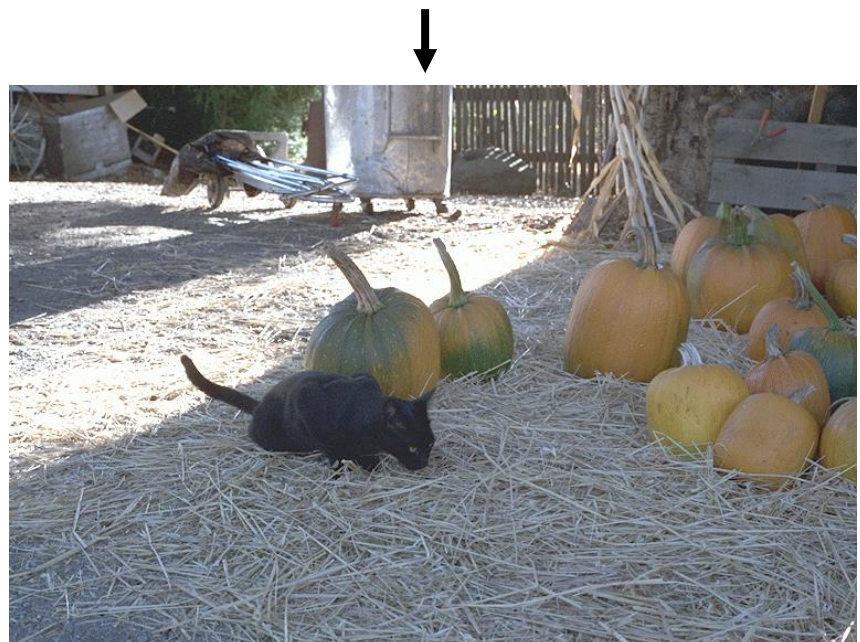
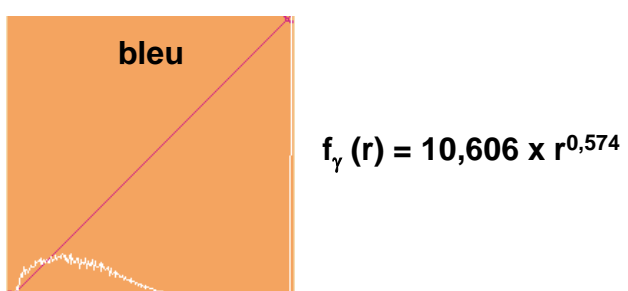
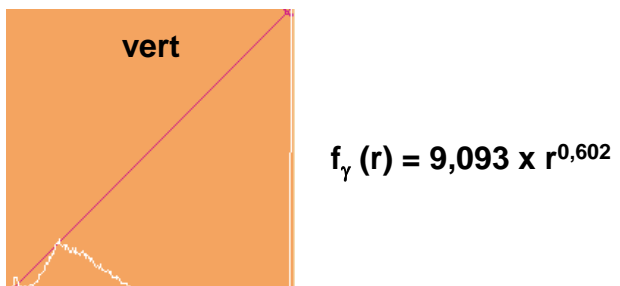
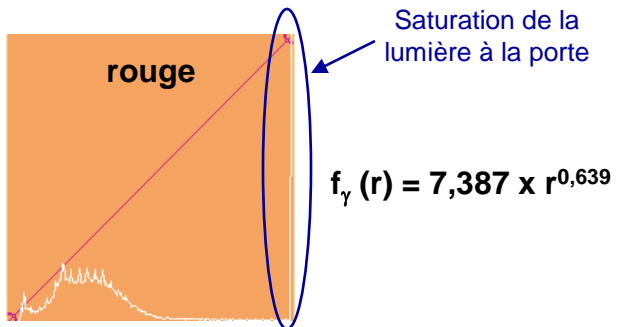
$$f(255) = 255$$

et

$$\text{moyenne}[f(r)] = 128$$



Fonction gamma Exemple 2 (cat)



◆ Fonction gamma Exemple 3 (Aqua MODIS du 18/02/2010)



$\gamma = 0,3$



$\gamma = 0,5$



$\gamma = 0,7$



$\gamma = 0,9$



$\gamma = 1,1$



$\gamma = 1,3$



$\gamma = 1,5$



$\gamma = 1,7$



$\gamma = 1,9$



$\gamma = 2,1$

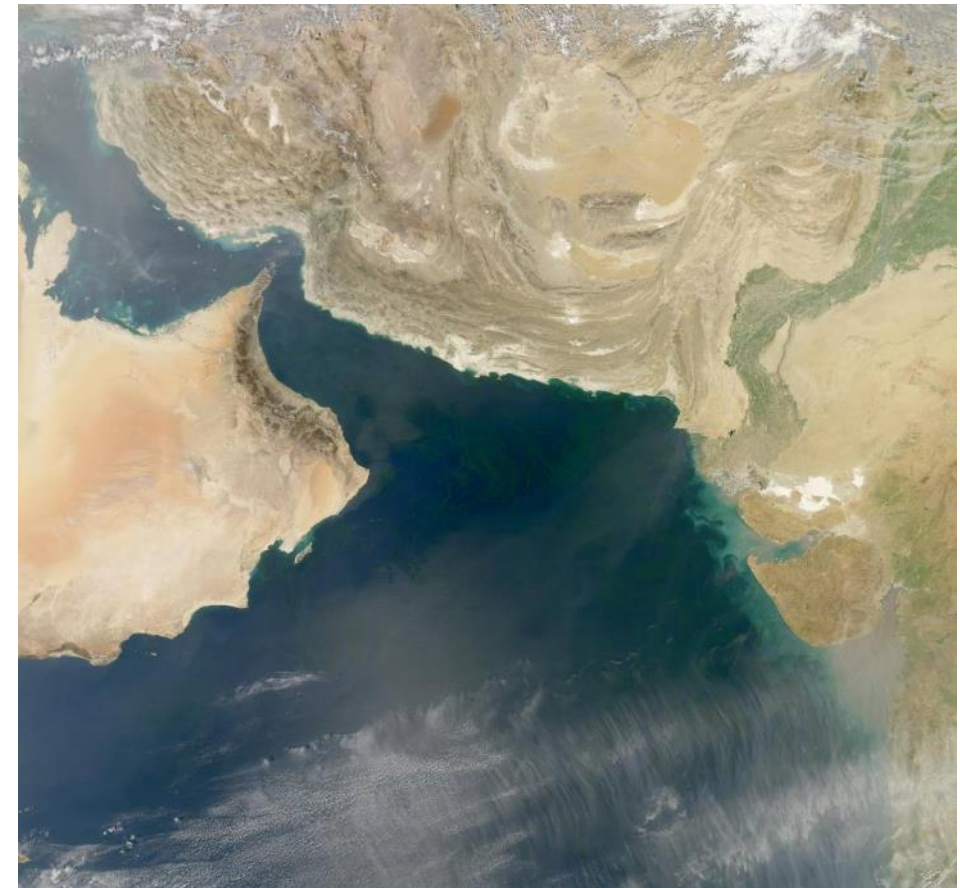
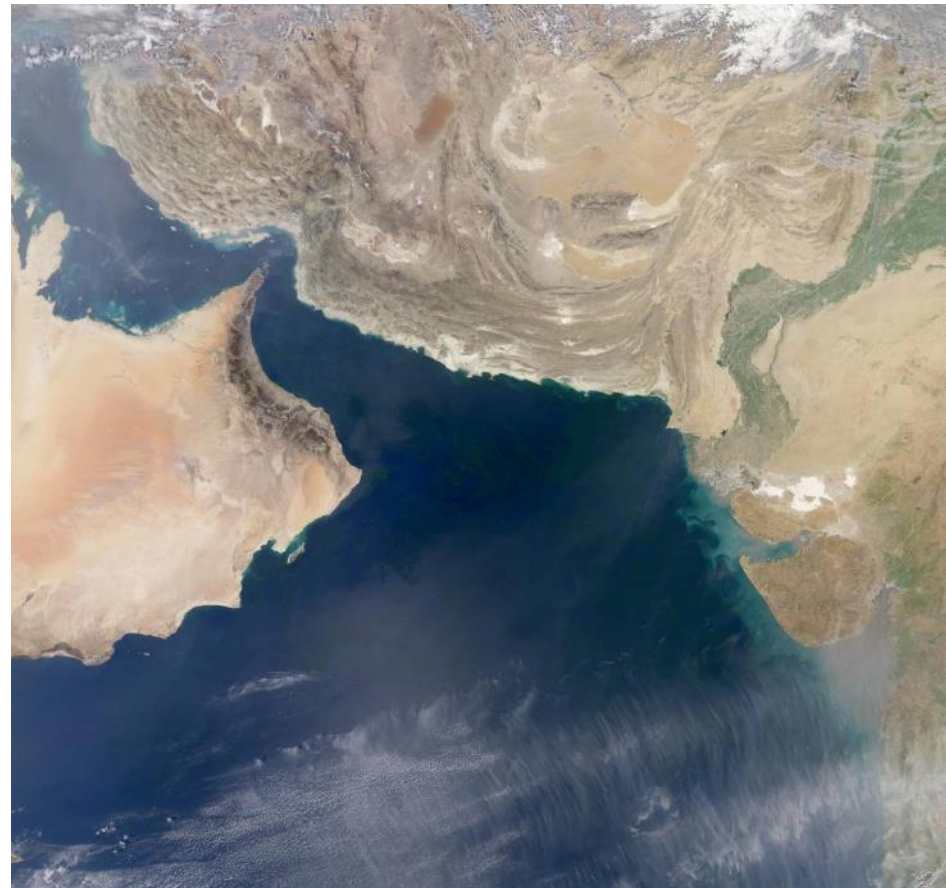


Image source

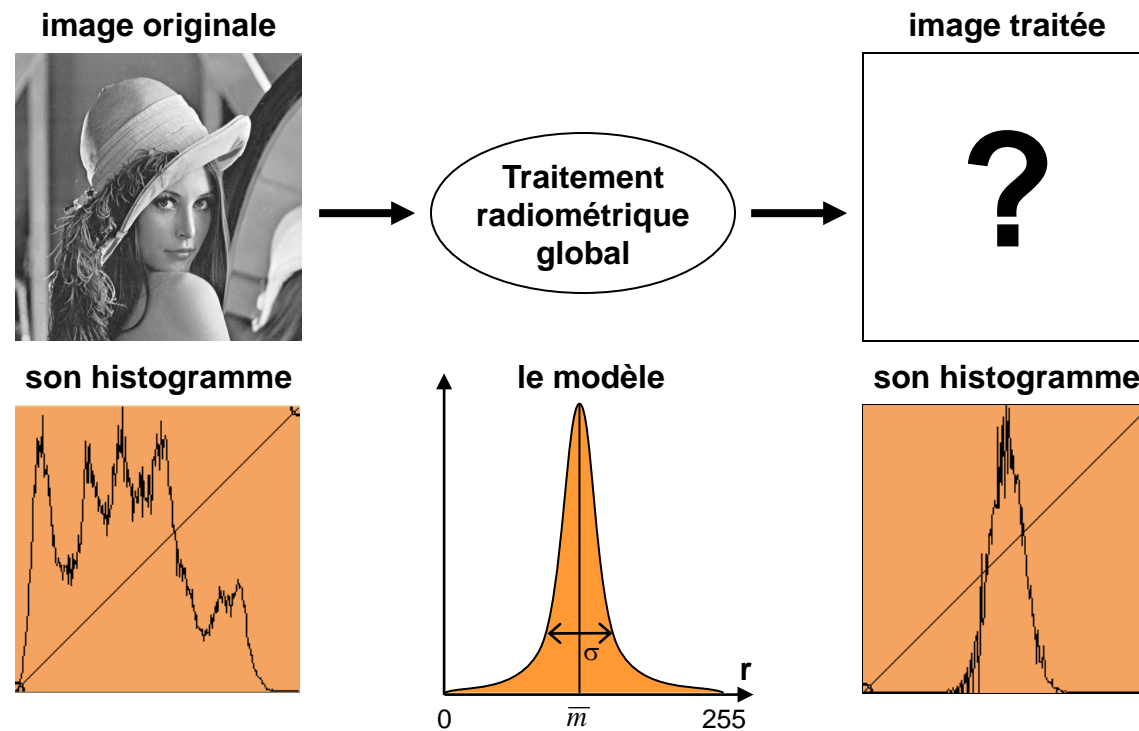


Stretching gamma automatique

$$\gamma_R = 1,16 \quad \gamma_V = 1,14 \quad \gamma_B = 0,96$$

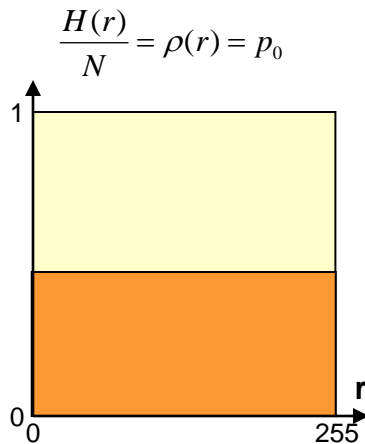
◆ Traitement radiométrique global par adaptation de l'histogramme à un modèle

▣ Principe

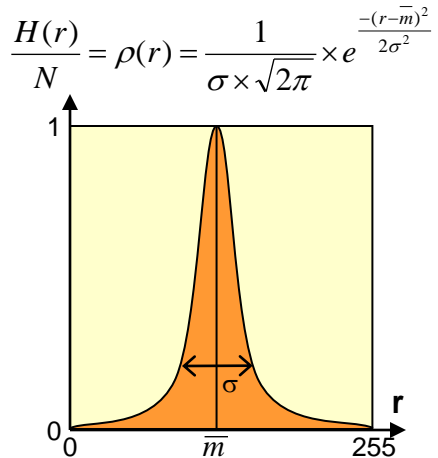




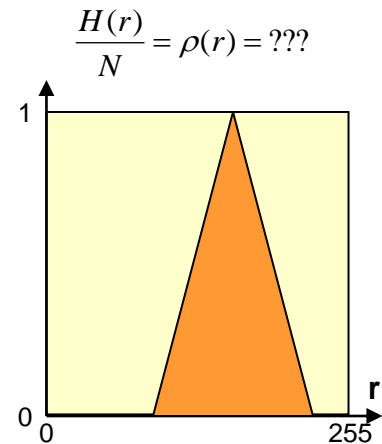
■ Modèles analytiques



Modèle de distribution Uniforme

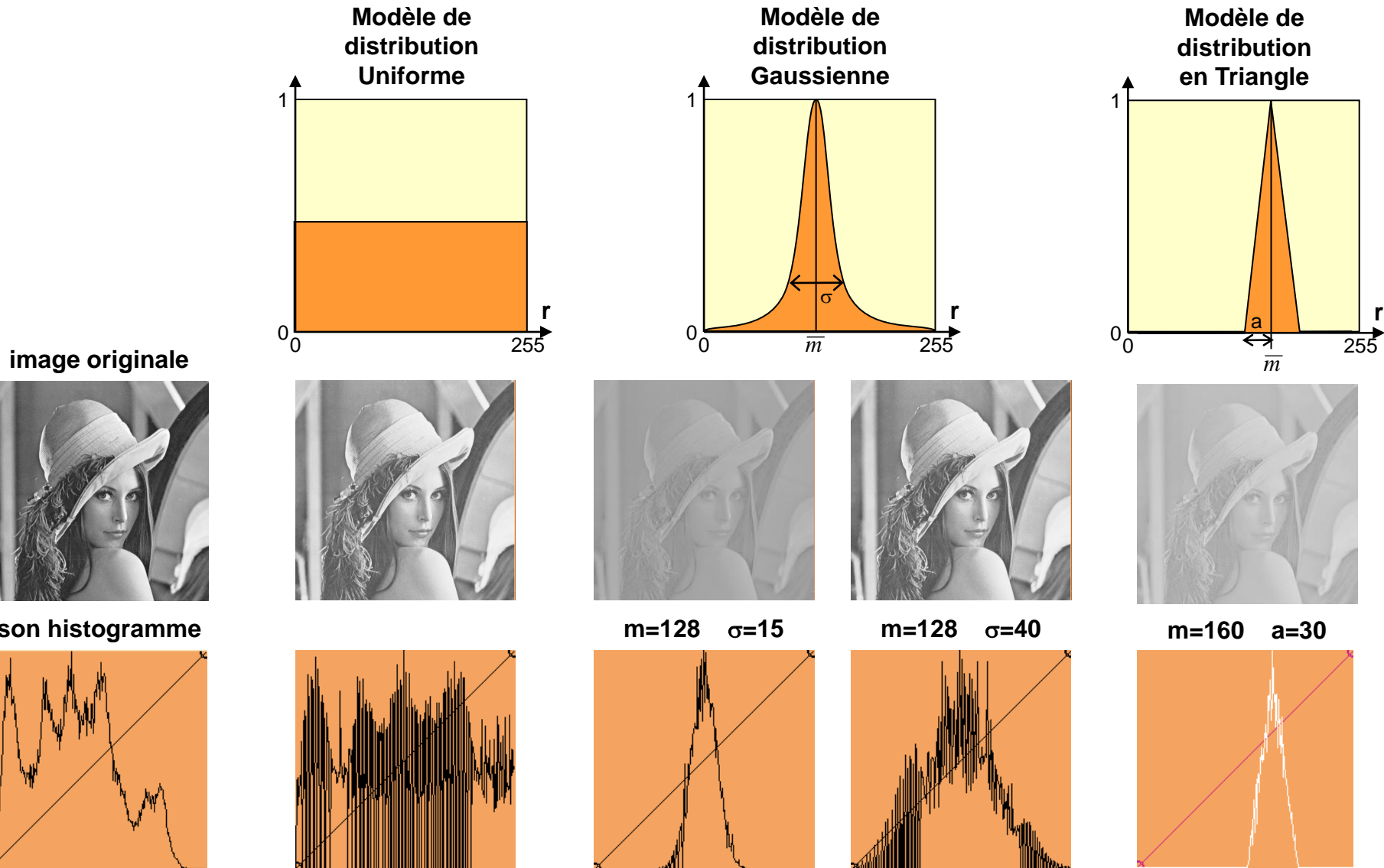


Modèle de distribution Gaussienne

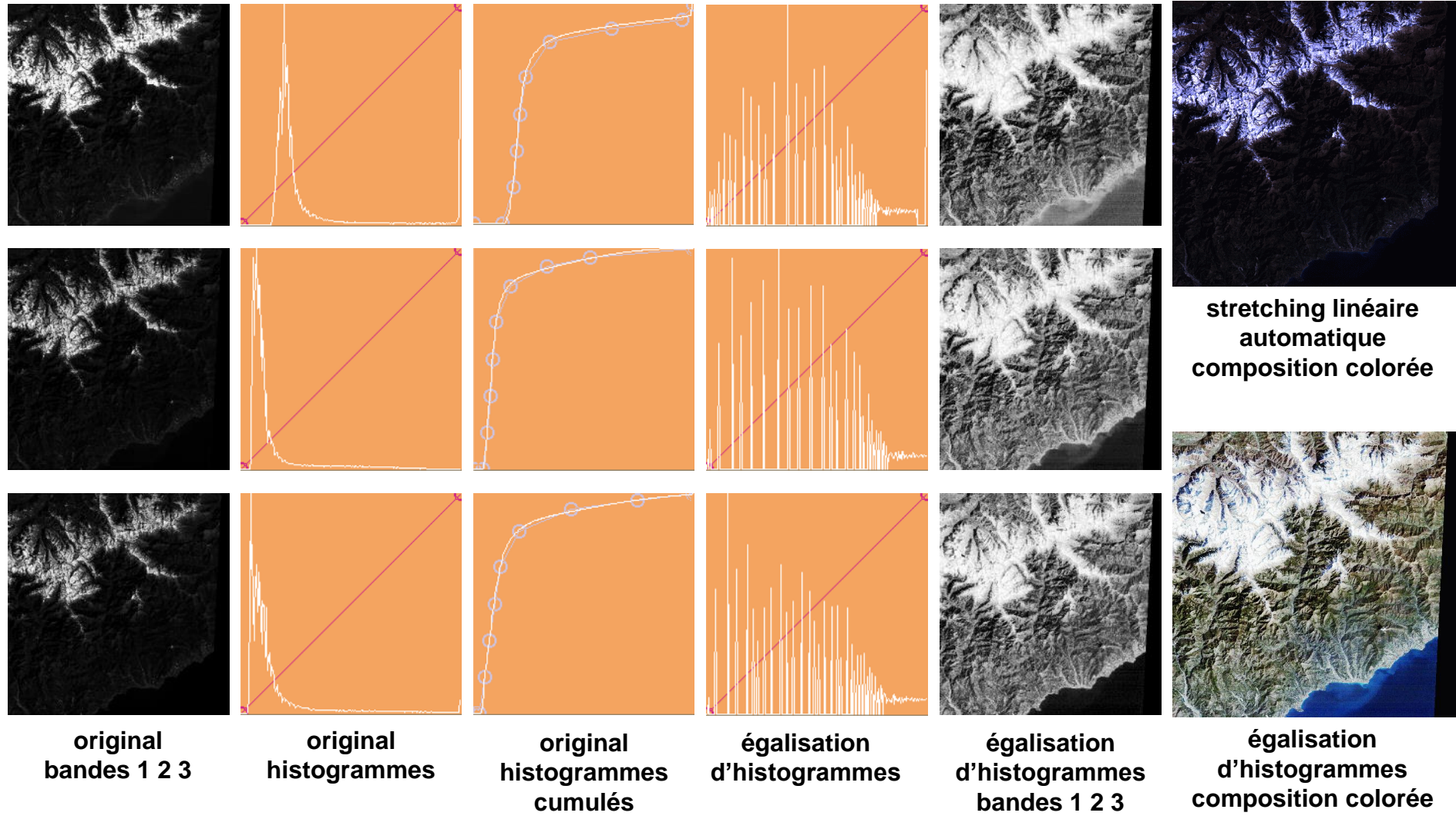


Votre modèle

- pour décrire le monde
- pour améliorer le rendu

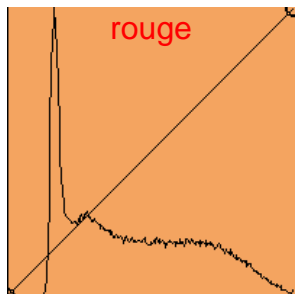


■ Egalisation uniforme et distributions multi-modales

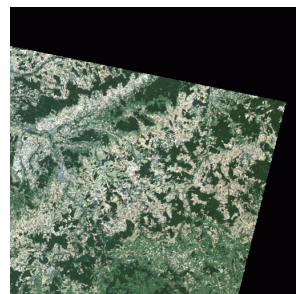


modèle image

image de référence



Landsat 7 198-27 01/08/2000



Landsat 7 197-27 11/09/2000

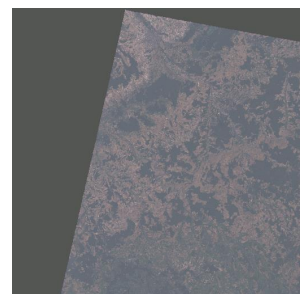
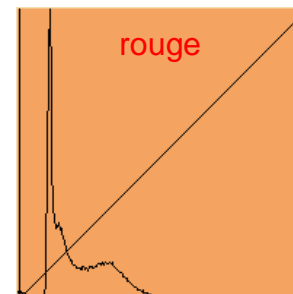
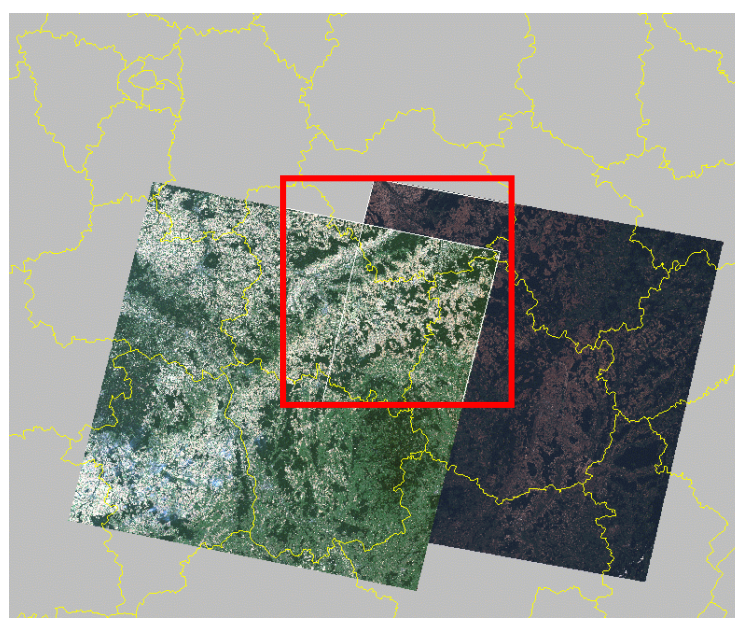
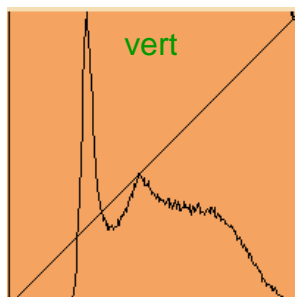


image de travail

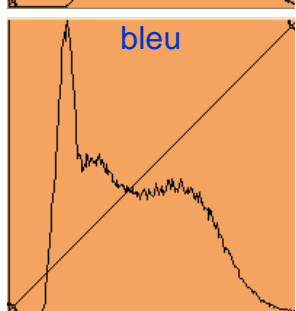


vert



vert

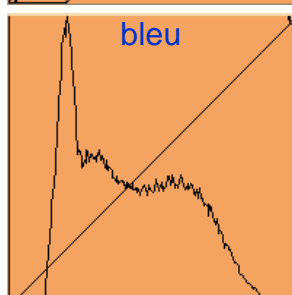
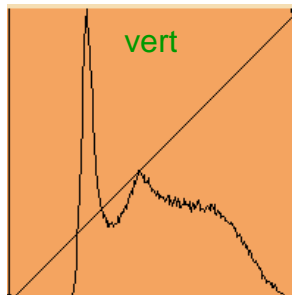
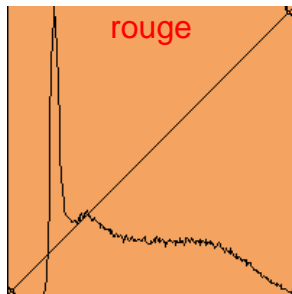
bleu



bleu



image de référence



histogrammes de
l'image modèle

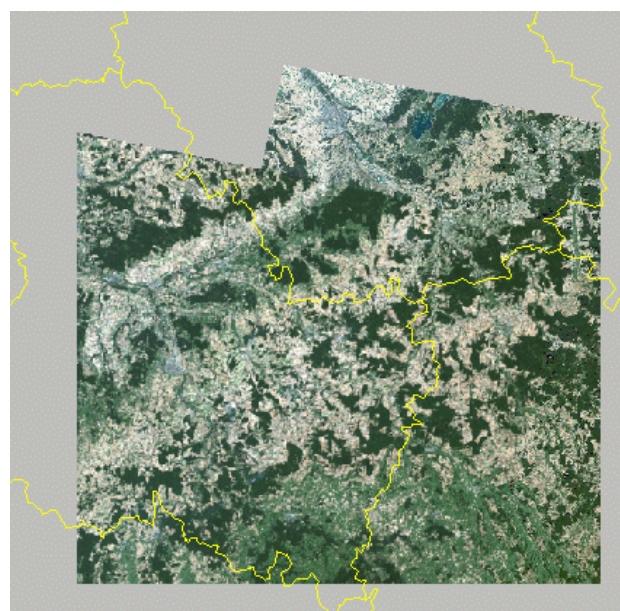
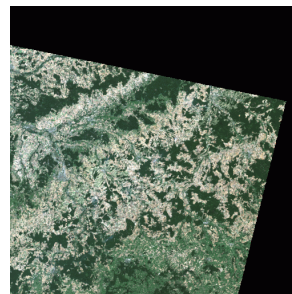
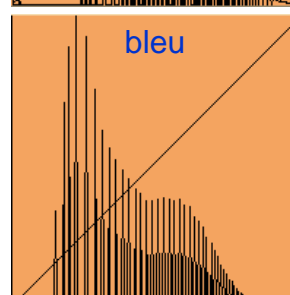
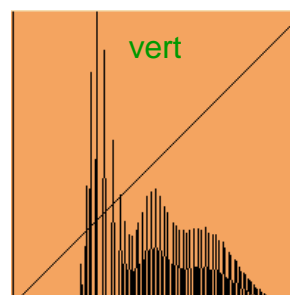
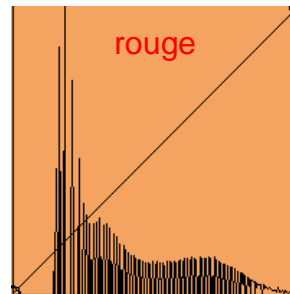
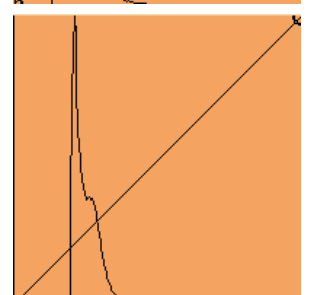
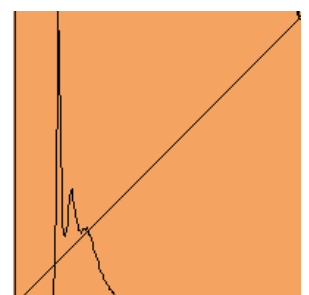
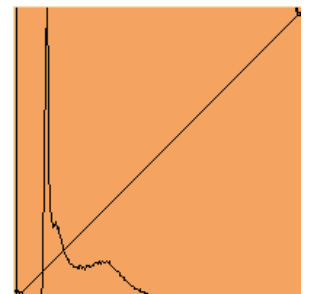


image de travail



histogrammes de
l'image adaptée au modèle



histogrammes de
l'image originale



Algorithm

Soient

- $H(r)$, $r=0..15$, l'histogramme de l'image originale,
- $H_C(r)$, $r=0..15$, l'histogramme cumulé de l'image originale,
- N le nombre de pixels de l'image originale,
- $H'(r')$, $r'=0..15$, l'histogramme de l'image modèle,
- $H'_C(r')$, $r'=0..15$, l'histogramme cumulé de l'image modèle,
- N' le nombre de pixels de l'image modèle (N' peut être différent de N)

$r' \leftarrow 0$

. Pour $(r \leftarrow 0; r \leq 15; r++)$ Faire

. Tant que $(r' < 15)$ et $(H'_C(r')/N' < H_C(r)/N)$ Faire

. $r' \leftarrow r' + 1$

FinFaire

. $LUT[r] \leftarrow r'$

FinFaire

$$p(r) = H_C(r)/N$$

$$H_C(r)$$

100%

80%

60%

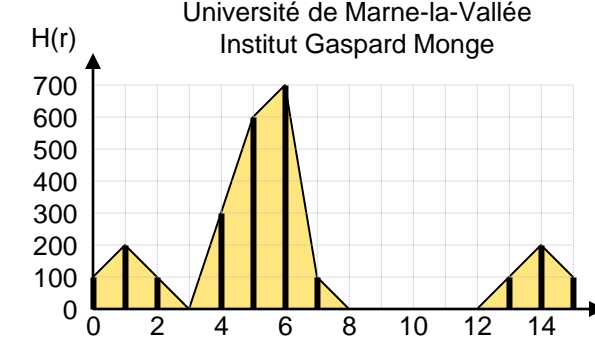
50%

40%

20%

0%

LUT [2 3 4 4 5 6 8 9 9 9 9 9 9 10 12]



$$p'(r') = H'_C(r') / N'$$

$$H'_C(r')$$

$$100\%$$

80%

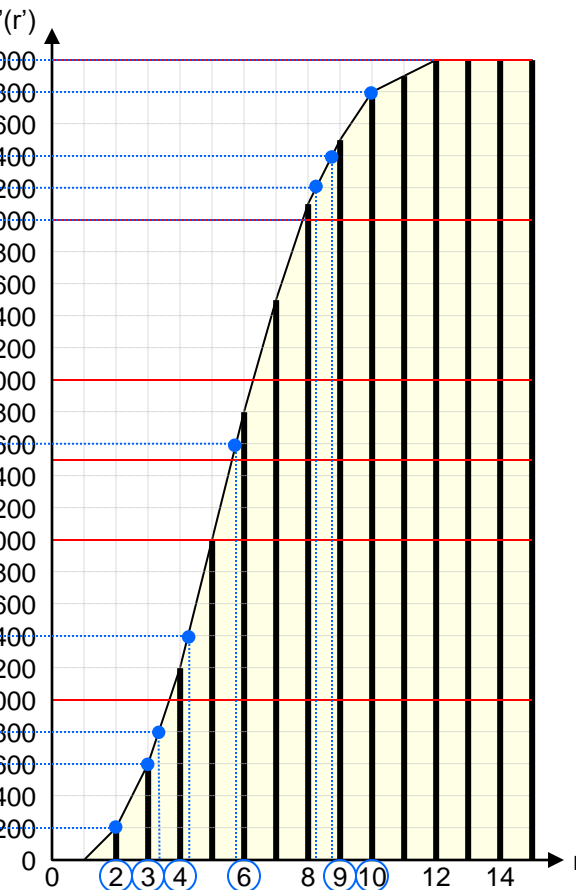
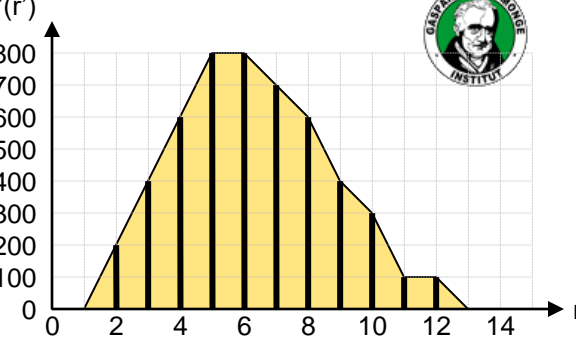
60%

50%

40%

20%

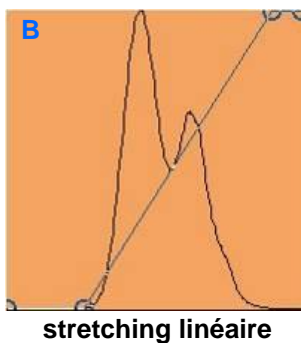
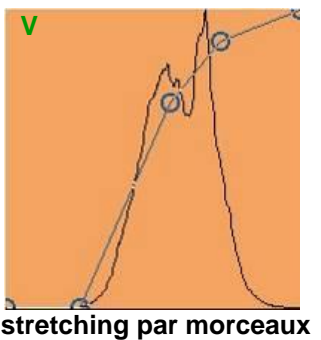
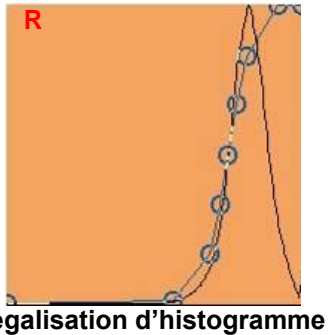
0%



◆ Fonctions différentes selon les canaux

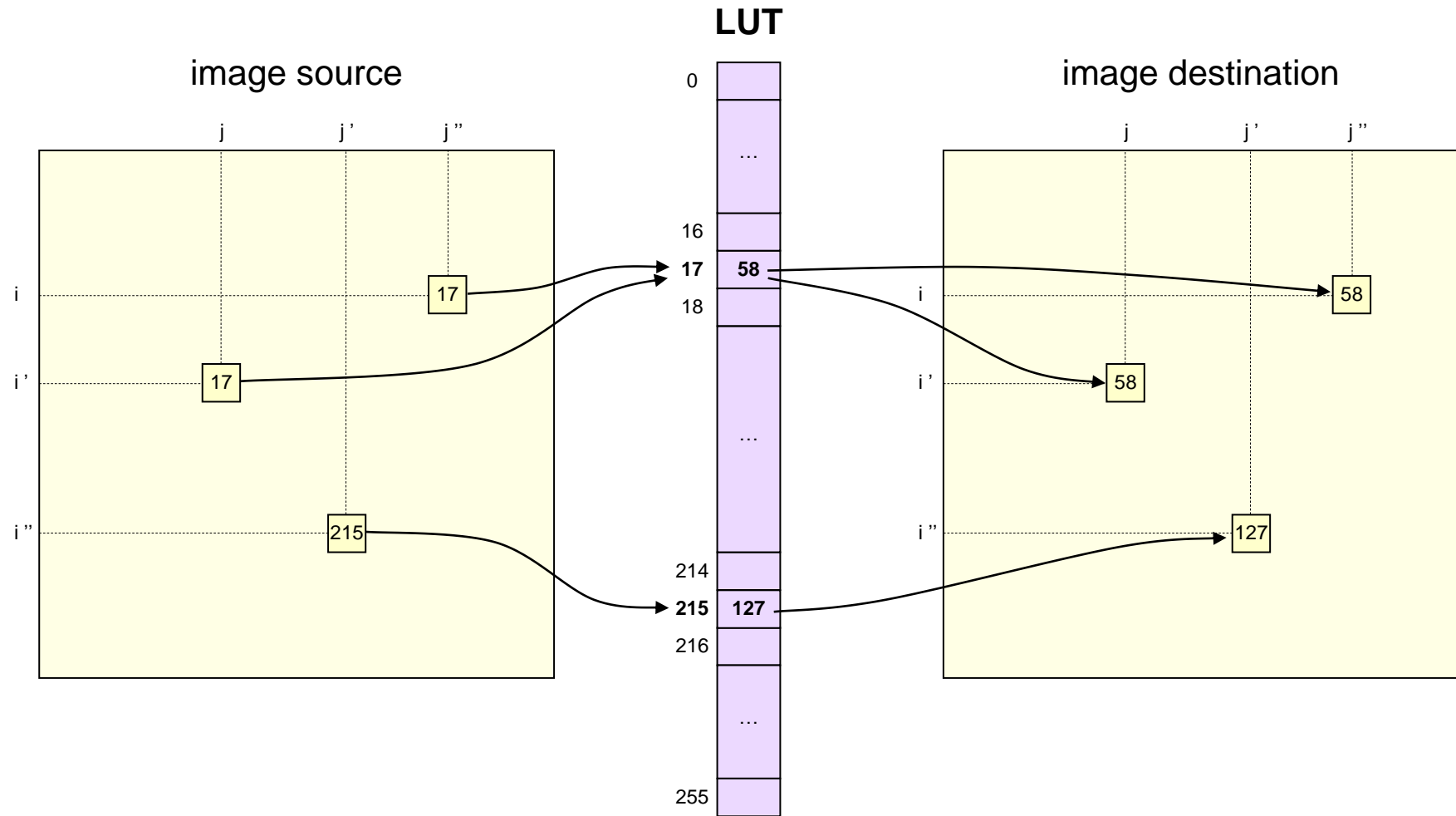


Landsat ETM+ du 26/08/2001 – Arabie saoudite





● Traitement Radiométrique Global (TRG)





● Traitement radiométrique par filtrage

- Filtrages convolutifs
 - introduction et formule de convolution
 - traitement des bords
 - filtres passe-bas / passe-haut / rehaussement des contours
- Mesures des variations - Analyse de Fourier
 - image des écart-types
 - Formule de Fourier - cas monodimensionnel / bidimensionnel – composantes réelle et imaginaire – Spectre de puissance
- Filtrages adaptatifs
 - bruits additif / multiplicatif selon modèle – bruit des images SAR
 - filtres de LEE / KUAN
 - stretching linéaire imposé selon des statistiques locales
- Filtrages heuristiques
 - filtre médian – influence de la largeur de la fenêtre statistique





Traitement radiométrique par filtrages

Classes de filtrages

- Filtrages convolutifs
 - Ex.: lisser le défaut
- Filtrages adaptatifs
 - tenir compte des statistiques locales
- Filtrages morphologiques
 - dilater / éroder les formes
- Filtrages heuristiques
 - traitement spécifique
 - traitement non linéaire (ex.: filtre médian)

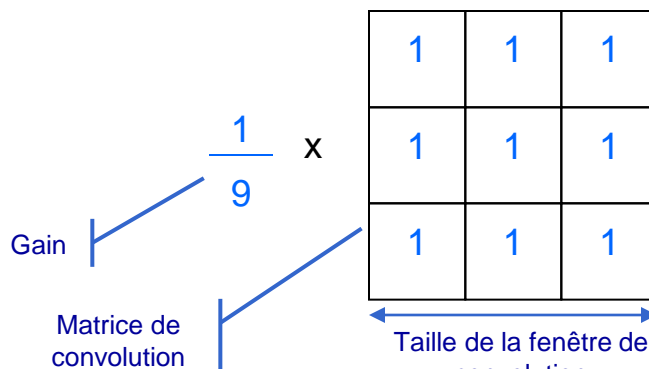
5	8	10	15	18
9	11	17	22	26
14	16	77	28	33
19	22	26	32	37
25	28	31	36	43

5	8	10	15	18
9	11	17	22	26
14	16	23	28	33
19	22	26	32	37
25	28	31	36	43



Filtrages convolutifs

• Filtrage « Moyenne 3x3 »



Offset 0

$$\begin{array}{r}
 11+ 17+ 22+ \\
 16+ 77+ 28+ \\
 22+ 26+ 32 \\
 \hline
 9
 \end{array}$$

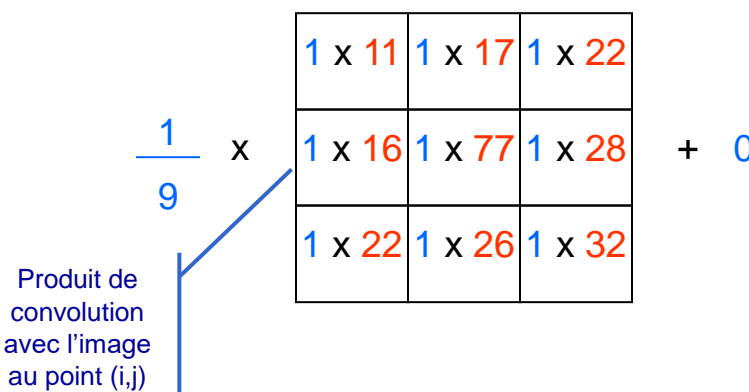
$$= \frac{251}{9} = 27,888...$$

image en entrée

5	8	10	15	18	
9	11	17	22	26	
14	16	77	28	33	
19	22	26	32	37	
25	28	31	36	43	

i j

image en sortie

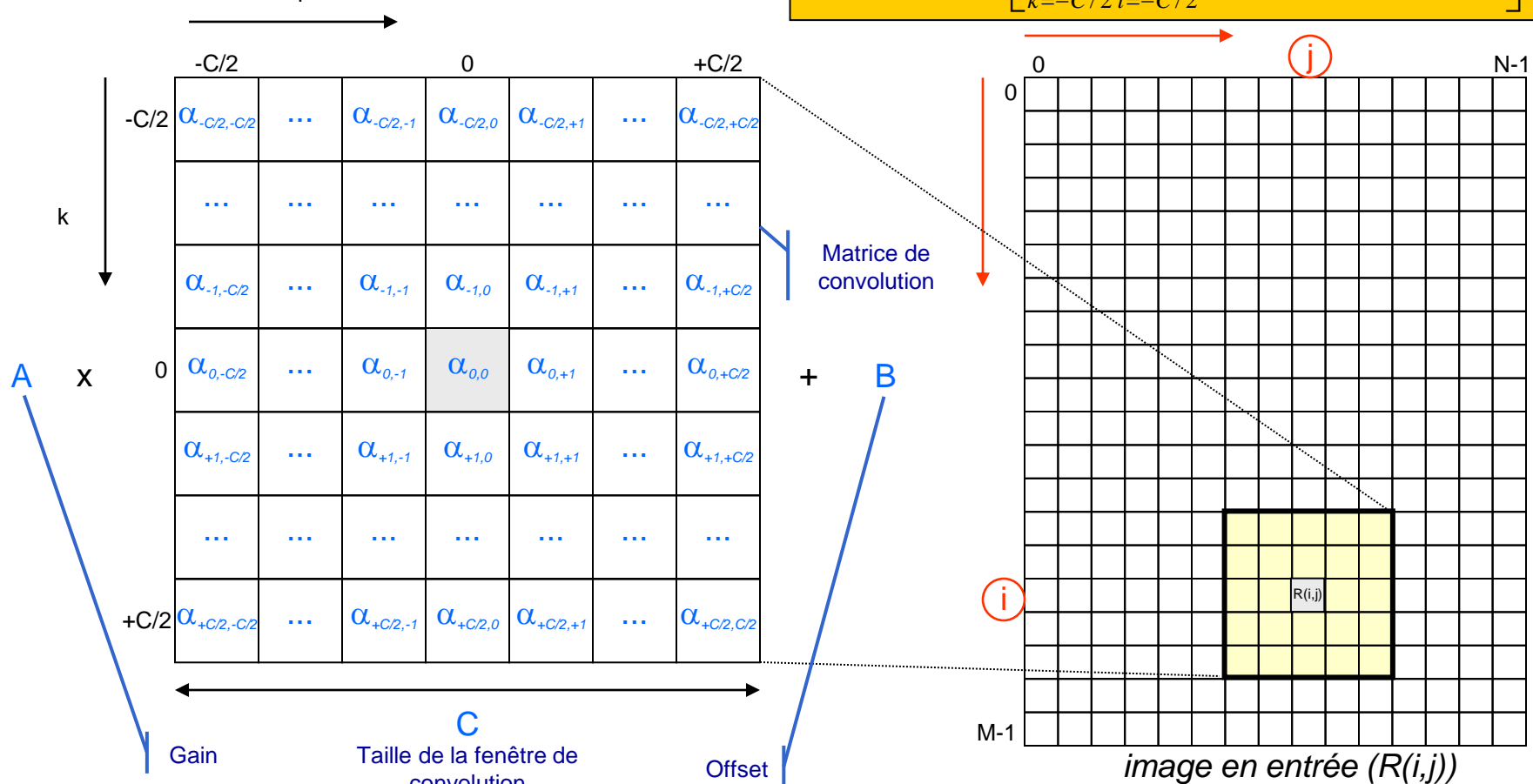


	18,55..	22,66..	27,33..		
	19	23	27		
i	23,44	27,88..	33,11..		
	23	28	33		
	28,66..	32,88..	38,11..		
	29	33	38		

i j



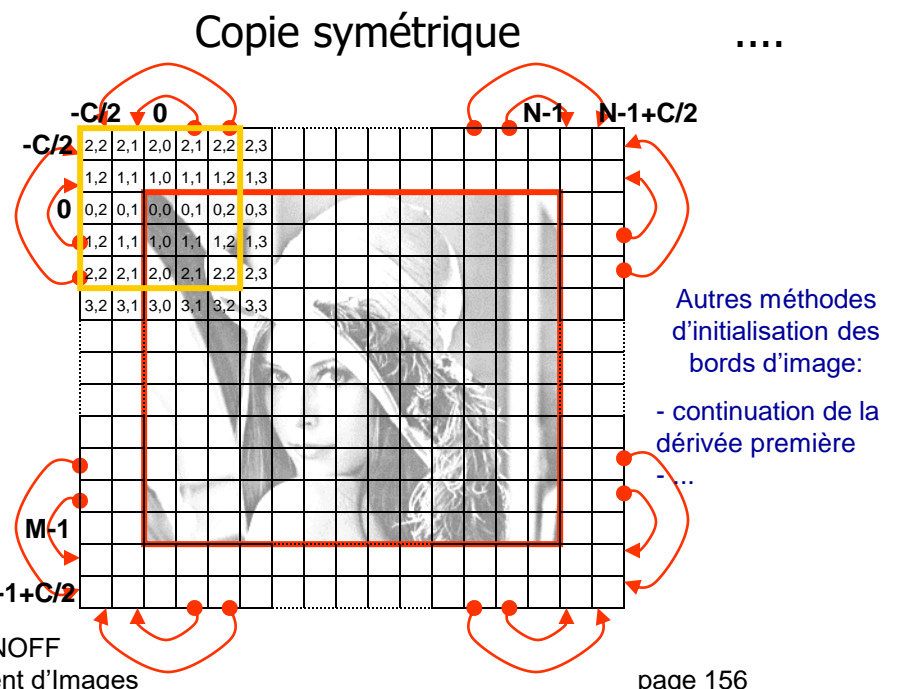
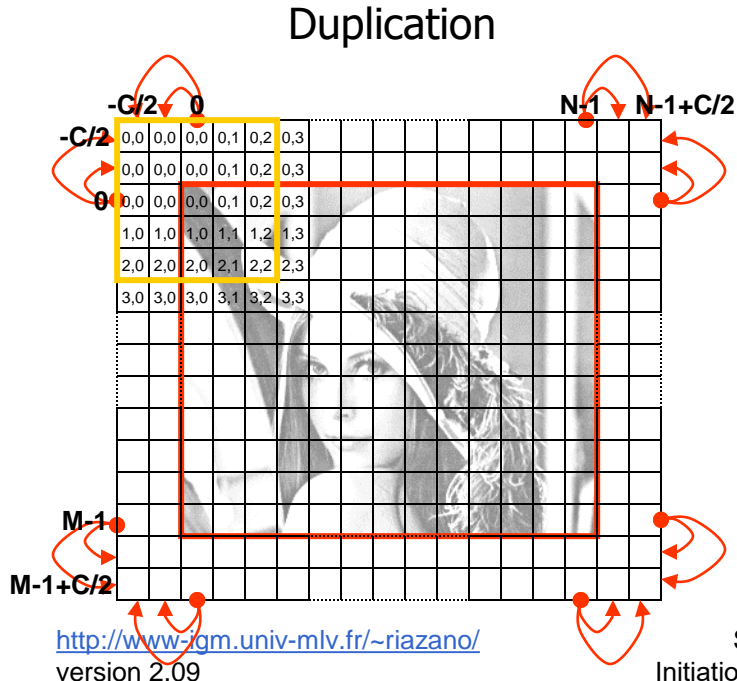
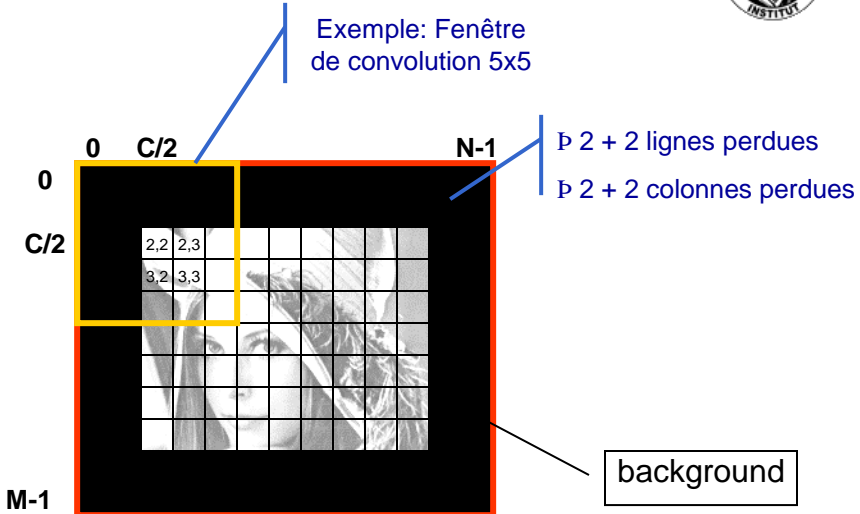
Formule de convolution





● Traitement des bords

- Ne pas traiter les bords
 - Pixels en background
 - Restriction de l'image
- Etendre l'image de $+/- C/2$ lignes / colonnes





◆ Filtres passe-bas

■ « Moyenne 3x3 »

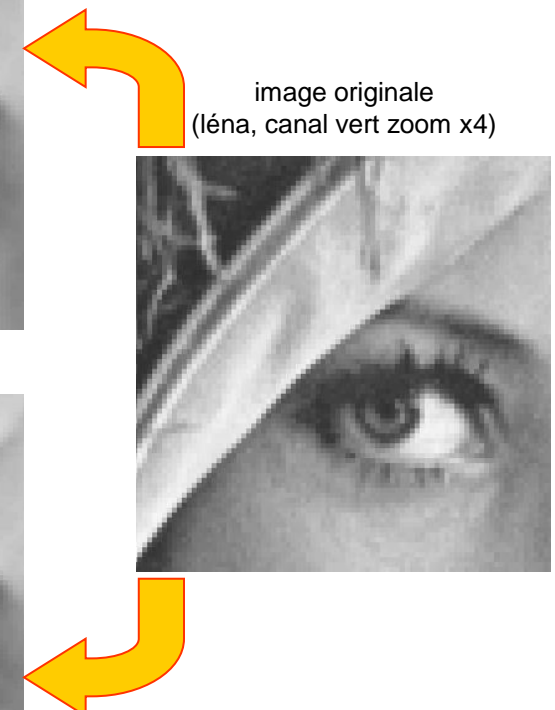
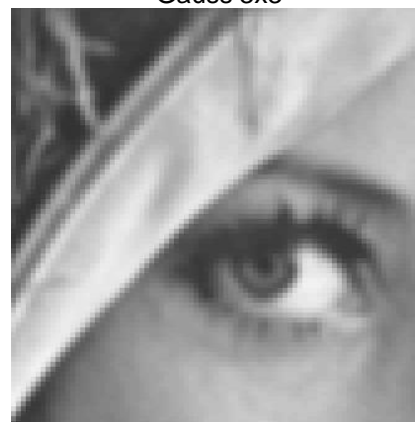
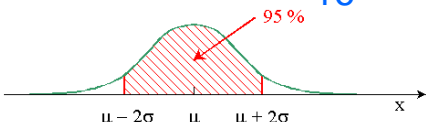
$$\frac{1}{9} \times \begin{array}{|c|c|c|} \hline 1 & 1 & 1 \\ \hline 1 & 1 & 1 \\ \hline 1 & 1 & 1 \\ \hline \end{array} + 0$$



image originale
(lena, canal vert zoom x4)

■ « Gauss 3x3 »

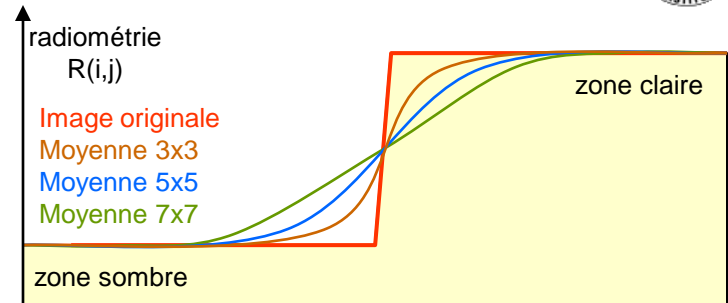
$$\frac{1}{16} \times \begin{array}{|c|c|c|} \hline 1 & 2 & 1 \\ \hline 2 & 4 & 2 \\ \hline 1 & 2 & 1 \\ \hline \end{array} + 0$$



<http://www.astro.ulg.ac.be/cours/magain/stat/stat51.html>



- Profil radiométrique
- Influence de la largeur du filtre



« Moyenne 3x3 »

$$\frac{1}{9} \times \begin{array}{|c|c|c|}\hline 1 & 1 & 1 \\ \hline 1 & 1 & 1 \\ \hline 1 & 1 & 1 \\ \hline \end{array} + 0$$

image originale

« Moyenne 5x5 »

$$\frac{1}{25} \times \begin{array}{|c|c|c|c|c|}\hline 1 & 1 & 1 & 1 & 1 \\ \hline 1 & 1 & 1 & 1 & 1 \\ \hline 1 & 1 & 1 & 1 & 1 \\ \hline 1 & 1 & 1 & 1 & 1 \\ \hline 1 & 1 & 1 & 1 & 1 \\ \hline \end{array} + 0$$

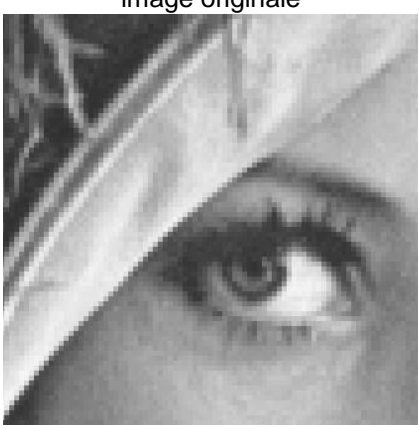
Moyenne 5x5

Moyenne 3x3

« Moyenne 7x7 »

$$\frac{1}{49} \times \begin{array}{|c|c|c|c|c|c|c|c|}\hline 1 & 1 & 1 & 1 & 1 & 1 & 1 & 1 \\ \hline 1 & 1 & 1 & 1 & 1 & 1 & 1 & 1 \\ \hline 1 & 1 & 1 & 1 & 1 & 1 & 1 & 1 \\ \hline 1 & 1 & 1 & 1 & 1 & 1 & 1 & 1 \\ \hline 1 & 1 & 1 & 1 & 1 & 1 & 1 & 1 \\ \hline 1 & 1 & 1 & 1 & 1 & 1 & 1 & 1 \\ \hline 1 & 1 & 1 & 1 & 1 & 1 & 1 & 1 \\ \hline \end{array} + 0$$

Moyenne 7x7





■ Influence des itérations du filtrage (exemple « Moyenne 3x3 »)

1 itération

$$\frac{1}{9} \times \begin{bmatrix} 1 & 1 & 1 \\ 1 & 1 & 1 \\ 1 & 1 & 1 \end{bmatrix}$$

Matrice de convolution
équivalente sur 1 passage

2 itérations

$$\frac{1}{9} \times \begin{bmatrix} 1 & 1 & 1 \\ 1 & 1 & 1 \\ 1 & 1 & 1 \end{bmatrix} \square \frac{1}{9} \times \begin{bmatrix} 1 & 1 & 1 \\ 1 & 1 & 1 \\ 1 & 1 & 1 \end{bmatrix}$$

3 itérations

$$\frac{1}{9} \times \begin{bmatrix} 1 & 1 & 1 \\ 1 & 1 & 1 \\ 1 & 1 & 1 \end{bmatrix} \square \frac{1}{9} \times \begin{bmatrix} 1 & 1 & 1 \\ 1 & 1 & 1 \\ 1 & 1 & 1 \end{bmatrix} \square \frac{1}{9} \times \begin{bmatrix} 1 & 1 & 1 \\ 1 & 1 & 1 \\ 1 & 1 & 1 \end{bmatrix}$$

image originale

Moyenne 3x3 – 1 itération

Moyenne 3x3 – 2 itérations

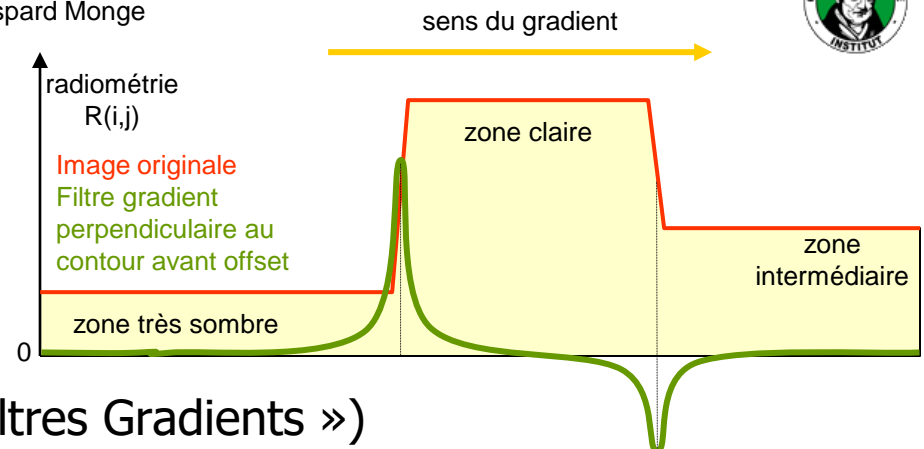
Moyenne 3x3 – 3 itérations





Filtres passe-haut

Filtres directionnels (« Filtres de Prewitt » ou « Filtres Gradients »)



Facteur multiplicatif ($\alpha=10$)

$\frac{\alpha}{2 \times 3} \times$

distance d entre les pixels soustraits

nombre de différences pondérées

« Gradient 3x3 N-S »

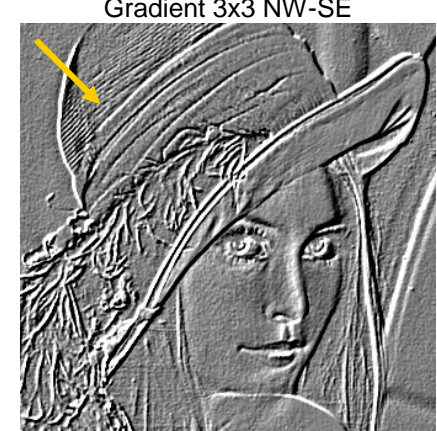
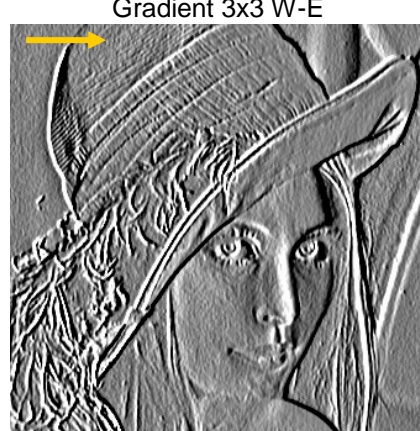
$$\begin{matrix} -1 & -1 & -1 \\ 0 & 0 & 0 \\ 1 & 1 & 1 \end{matrix} + 128$$

« Gradient 3x3 W-E »

$$\frac{\alpha}{2 \times 3} \times \begin{matrix} -1 & 0 & 1 \\ -1 & 0 & 1 \\ -1 & 0 & 1 \end{matrix} + 128$$

« Gradient 3x3 NW-SE »

$$\frac{\alpha}{4\sqrt{2} \times 3} \times \begin{matrix} -1 & -1 & 0 \\ -1 & 0 & 1 \\ 0 & 1 & 1 \end{matrix} + 128$$





■ Filtre « Gradient 3x3 N-S » - Influence du gain •

$$\frac{\alpha}{2 \times 3} \times \begin{array}{|c|c|c|} \hline -1 & -1 & -1 \\ \hline 0 & 0 & 0 \\ \hline 1 & 1 & 1 \\ \hline \end{array} + 128$$

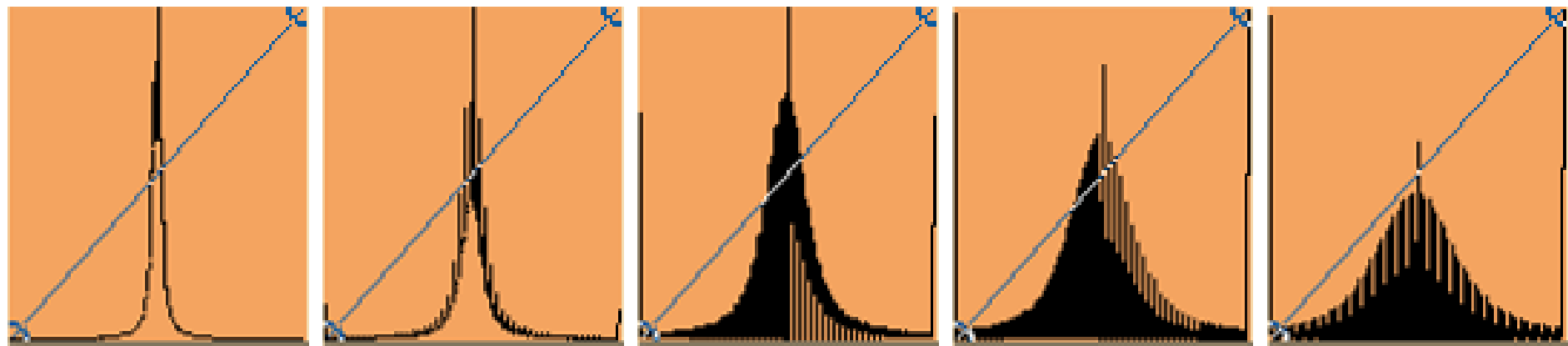
$\alpha = 2$

$\alpha = 5$

$\alpha = 10$

$\alpha = 15$

$\alpha = 20$





■ Filtre « Gradient » - Animations

image originale



gradients: N-S → NW-SE → W-E



■ Comparaison des filtres de « Sobel » et « Gradient »

« Sobel 3x3 N-S »

$$\frac{\alpha}{2 \times 4} \times \begin{array}{|c|c|c|} \hline -1 & -2 & -1 \\ \hline 0 & 0 & 0 \\ \hline 1 & 2 & 1 \\ \hline \end{array} + 128$$

Sobel 3x3 N-S



image originale



« Sobel 3x3 W-E »

$$\frac{\alpha}{2 \times 4} \times \begin{array}{|c|c|c|} \hline -1 & 0 & 1 \\ \hline -2 & 0 & 2 \\ \hline -1 & 0 & 1 \\ \hline \end{array} + 128$$

Sobel 3x3 W-E



Gradient 3x3 W-E



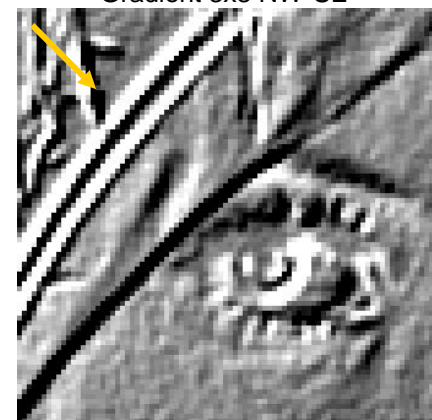
« Sobel 3x3 NW-SE »

$$\frac{\alpha}{\frac{4\sqrt{2}}{3} \times 4} \times \begin{array}{|c|c|c|} \hline -2 & -1 & 0 \\ \hline -1 & 0 & 1 \\ \hline 0 & 1 & 2 \\ \hline \end{array} + 128$$

Sobel 3x3 NW-SE



Gradient 3x3 NW-SE



■ Application aux Modèles Numériques de Terrain

$$5 \times \begin{bmatrix} -1 & -1 & 0 \\ -1 & 0 & 1 \\ 0 & 1 & 1 \end{bmatrix} + 128$$

« Gradient 3x3 NW-SE »

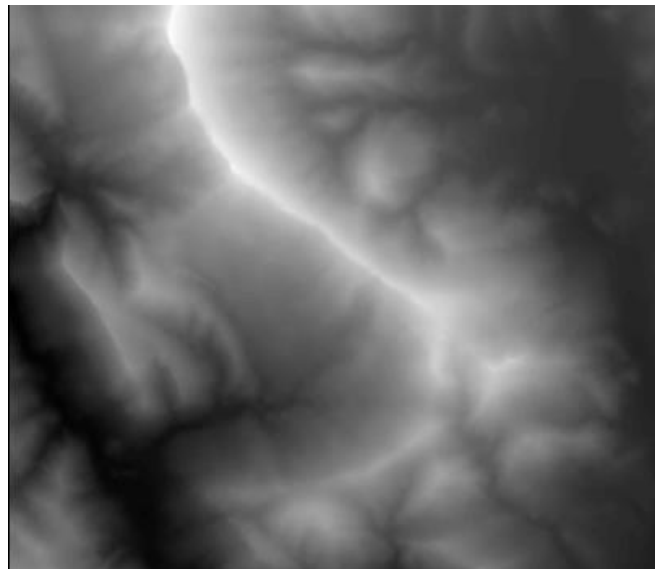
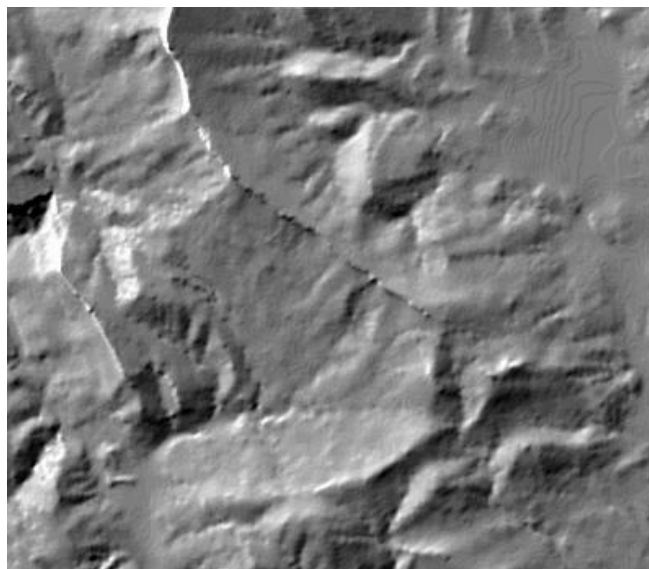


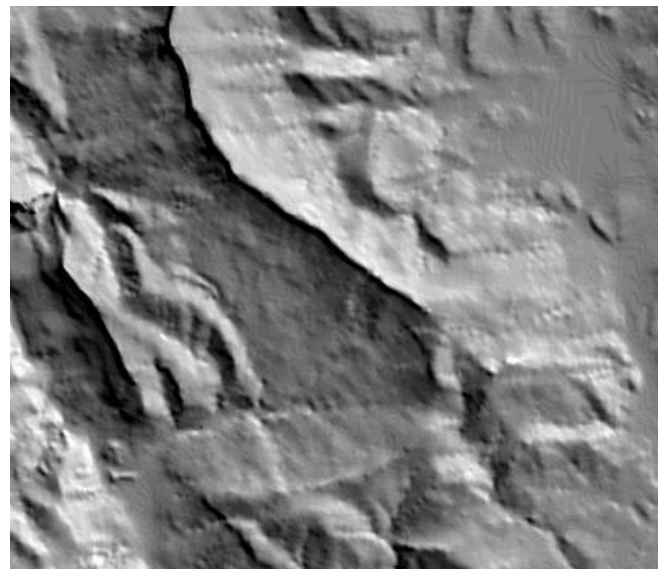
image originale

Montagne de Coupe – SE de Digne
résolution planimétrique 20 m
profondeur des données sur 8 bits



$$5 \times \begin{bmatrix} 0 & -1 & -1 \\ 1 & 0 & -1 \\ 1 & 1 & 0 \end{bmatrix} + 128$$

« Gradient 3x3 NE-SW »





Application aux Modèles Numériques de Terrain -

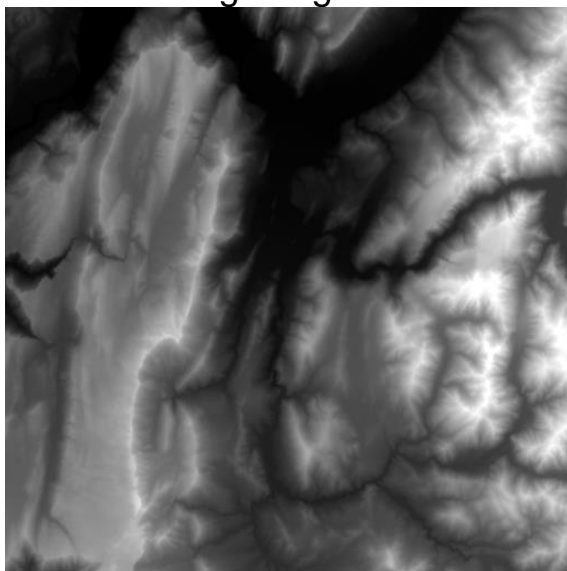
Composition de sources de lumière

$$2 \times \begin{bmatrix} -2 & -1 & 0 \\ -1 & 0 & 1 \\ 0 & 1 & 2 \end{bmatrix}$$

+ 32768



image originale

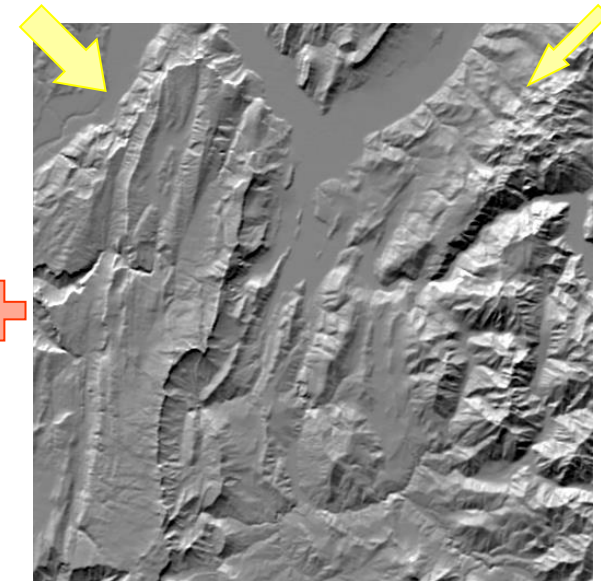
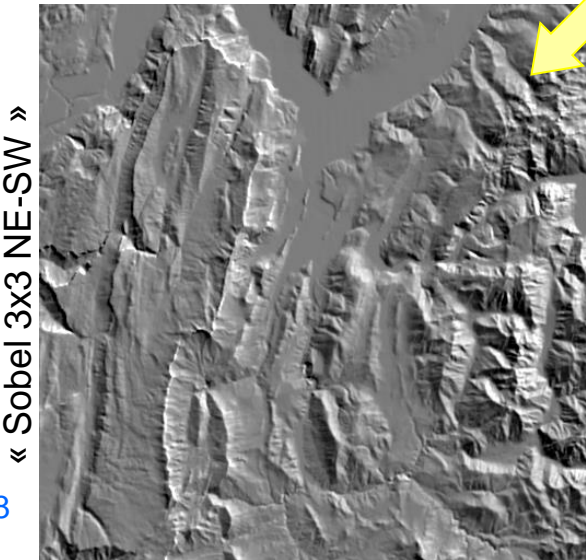
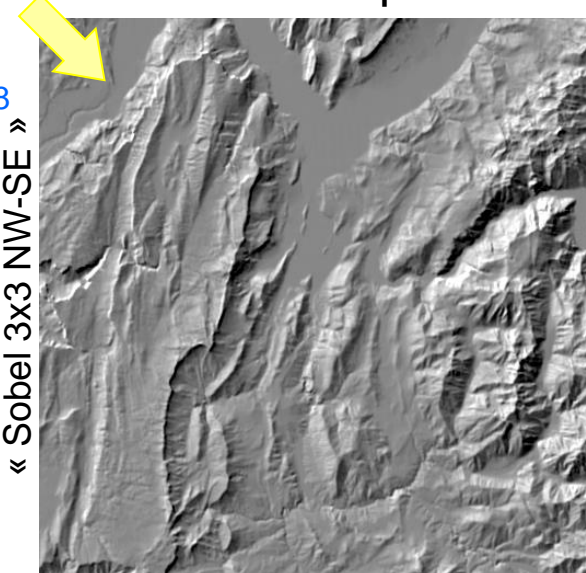


France – Isère - Grenoble
résolution planimétrique 90 m
profondeur des données sur 16 bits
stretching automatique sur 8 bits



$$1 \times \begin{bmatrix} 0 & -1 & -2 \\ 1 & 0 & -1 \\ 2 & 1 & 0 \end{bmatrix}$$

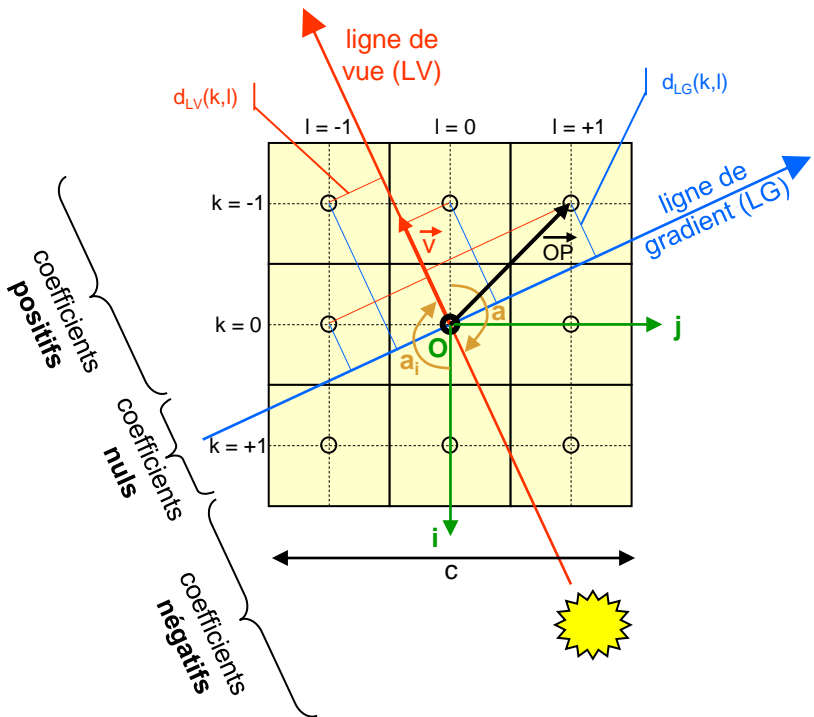
+ 32768



$$1 \times \begin{bmatrix} -4 & -3 & -2 \\ -1 & 0 & 1 \\ 2 & 3 & 4 \end{bmatrix} + 32768$$



Filtre « Compass »



Intentions:

1. Trouver un filtre majorant le poids des points proches de la ligne de vue
→ facteur $(c/2+1-|d_{LV}|)$.
2. Rehausser les faibles variations à proximité de la ligne de gradient
→ $(c/2)/d_{LG}$. Ce rehaussement est cependant limité à proximité de la ligne de gradient sur un corridor (par exemple de largeur 2×0.5).

a : azimut de l'illumination dans le repère Nord géographique

a_i : azimut de l'illumination dans le repère image (O,i,j) . $a_i = -a$

$$d_{LG} = \vec{v} \cdot \vec{OP} = \cos(a).k - \sin(a).l$$

$$d_{LV} = \vec{v}^T \cdot \vec{OP} = -\sin(a).k - \cos(a).l$$

$$M_{Compass} = \frac{\alpha}{\sum_k \sum_l |\alpha(k,l)|} \times \begin{cases} \alpha(k,l) = 0 & \text{si } |d_{LG}| < 0,5 \\ \alpha(k,l) = \frac{c/2}{d_{LG}} \times (c/2 + 1 - |d_{LV}|) & \text{si } |d_{LG}| \geq 0,5 \end{cases}^{+128}$$

Exemple: $a = 155^\circ$ $c = 5$

$$\begin{array}{ccccccc} +5.402 & +6.569 & +3.906 & +1.735 & +0.331 & & \\ +2.820 & +3.344 & +2.336 & & 0 & 0 & \\ +1.004 & & 0 & 0 & 0 & -1.004 & \\ & 0 & 0 & -2.336 & -3.344 & -2.820 & \\ & & & -0.331 & -1.735 & -3.906 & -6.569 & -5.402 \end{array}$$

■ Filtre « Compass » - Influence de la largeur de la fenêtre de convolution



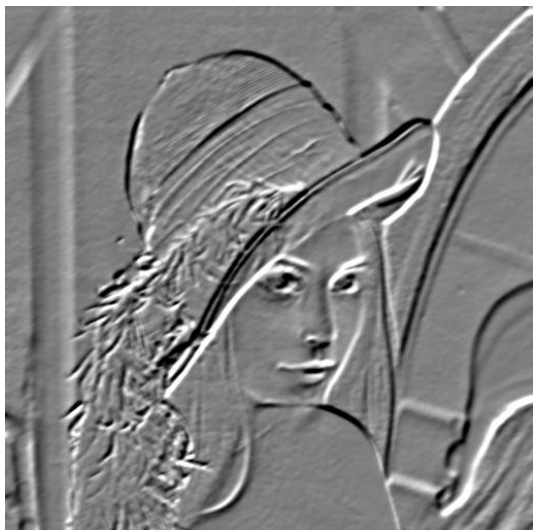
azimut = 155° - c = 3



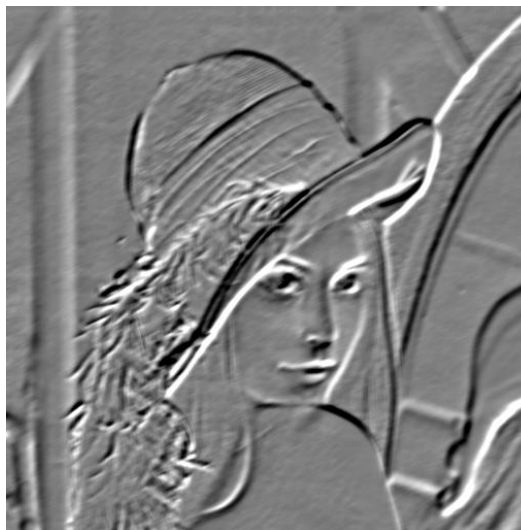
azimut = 155° - c = 5



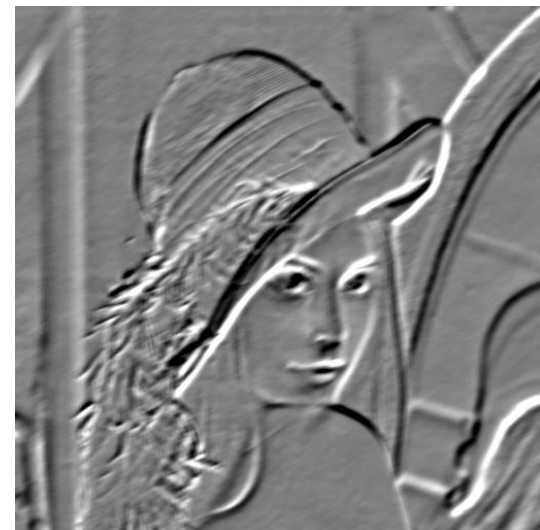
azimut = 155° - c = 7



azimut = 155° - c = 9



azimut = 155° - c = 11



azimut = 155° - c = 13



■ Filtre « Compass » - Exemples



0 0 0 . 0 0

Animation – girl – Compass 5x5 – 32 vues $\Delta\alpha=11,25^\circ$
SR-ITI-COURS\anim_girl_compass_5x5_11.25deg.gif

Filtres gradients non-directionnels

« Gradient 3x3 4-connexe » « Gradient 3x3 8-connexe »

$$\frac{\alpha}{1 \times 4} \times \begin{bmatrix} 0 & -1 & 0 \\ -1 & 4 & -1 \\ 0 & -1 & 0 \end{bmatrix} + 128$$

image originale



image originale (zoom x4)



Gradient 3x3 4-connex



Gradient 3x3 4-connex

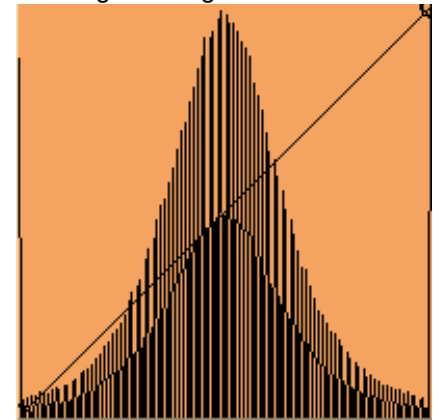
$$\frac{\alpha}{\frac{(4+4\sqrt{2}) \times 8}{8}} \times \begin{bmatrix} -1 & -1 & -1 \\ -1 & 8 & -1 \\ -1 & -1 & -1 \end{bmatrix} + 128$$

Gradient 3x3 8-connex

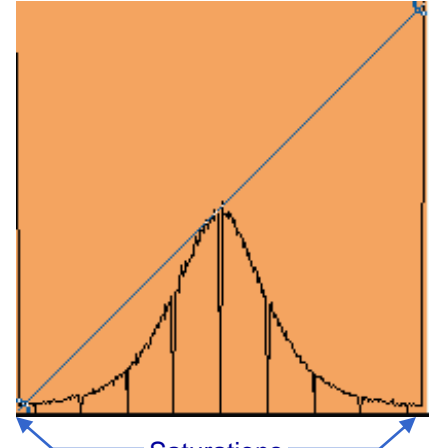


Gradient 3x3 8-connex

Histogramme gradient 4-connex



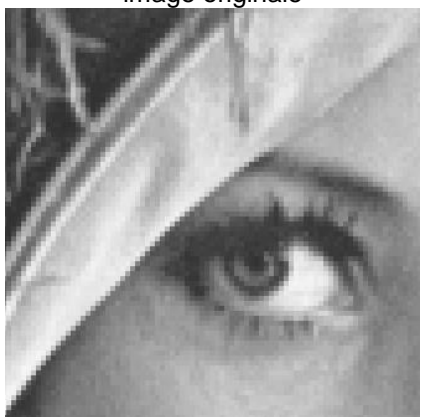
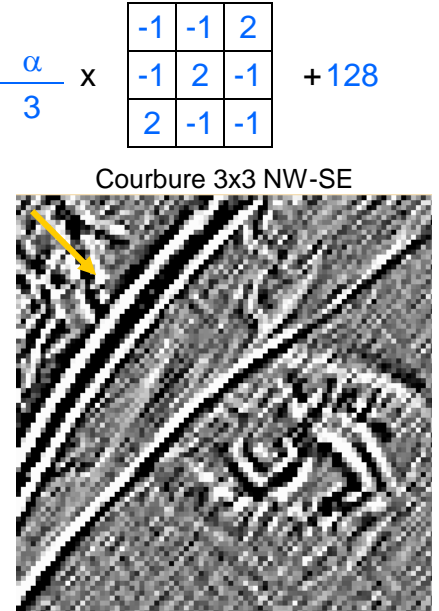
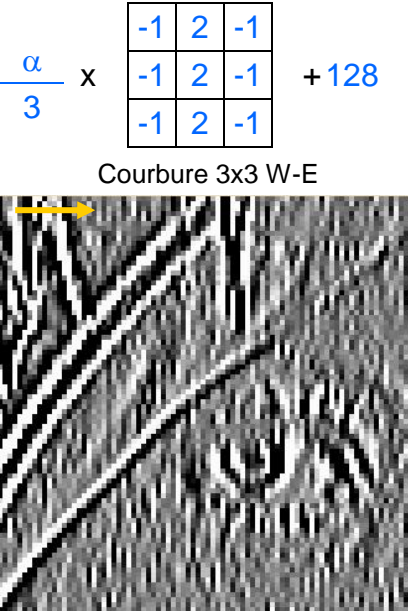
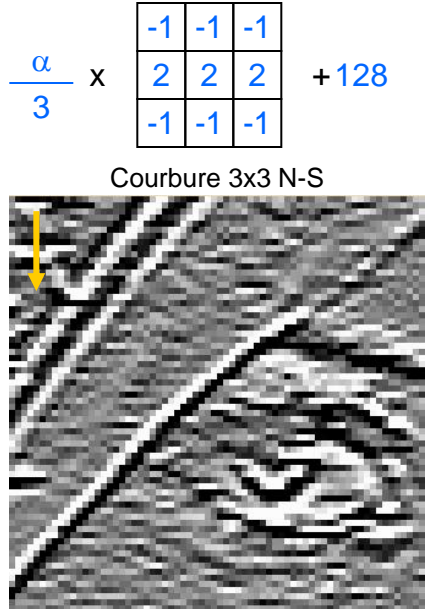
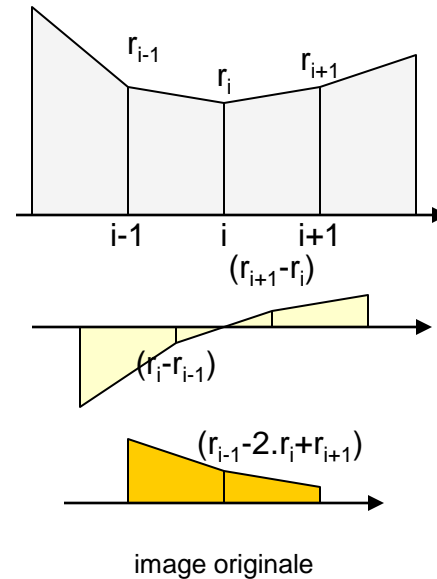
Histogramme gradient 8-connex





■ Comparaison des filtres de détection des dérivées premières et secondes

« Courbure 3x3 N-S » « Courbure 3x3 W-E » « Courbure 3x3 NW-SE »





■ Filtres de dérivées secondes non-directionnels

« Laplacien 3x3 »

$$\frac{\alpha}{4} \times \begin{array}{|c|c|c|} \hline 1 & -2 & 1 \\ \hline -2 & 4 & -2 \\ \hline 1 & -2 & 1 \\ \hline \end{array} + 128$$

image originale



Laplacien 3x3

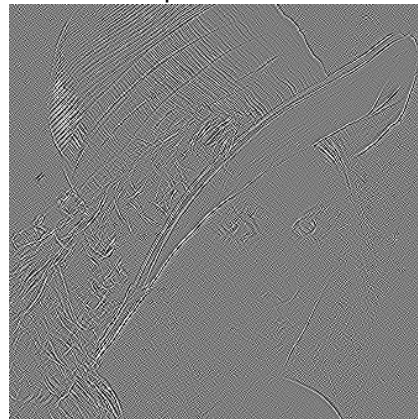
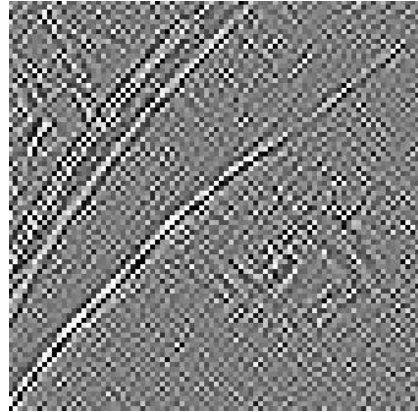


image originale (zoom x4)



Laplacien 3x3



« Laplacien 5x5 »

$$\frac{\alpha}{4} \times$$

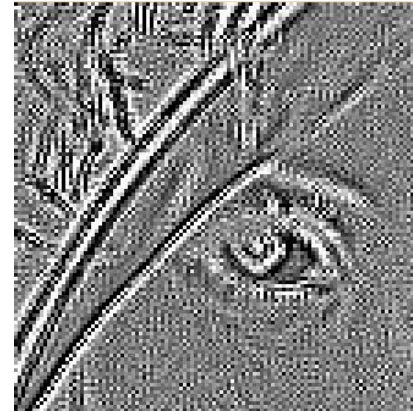
$$\begin{array}{|c|c|c|c|c|} \hline 0 & 0 & 1 & 0 & 0 \\ \hline 0 & 0 & -2 & 0 & 0 \\ \hline 1 & -2 & 4 & -2 & 1 \\ \hline 0 & 0 & -2 & 0 & 0 \\ \hline 0 & 0 & 1 & 0 & 0 \\ \hline \end{array}$$

+ 128

Laplacien 5x5



Laplacien 5x5





Filtres de rehaussement des contours

« Pratt 3x3 » (« Ajouter à l'image initiale sa différence à la moyenne locale »)

$$\frac{1}{9} \times \begin{bmatrix} -1 & -1 & -1 \\ -1 & 17 & -1 \\ -1 & -1 & -1 \end{bmatrix} + 0 \quad \text{Gain du rehaussement} \quad R'(i, j) = R(i, j) + \beta \times [R(i, j) - \bar{m}_{c,c}] \rightarrow \begin{bmatrix} 0 & 0 & 0 \\ 0 & 1 & 0 \\ 0 & 0 & 0 \end{bmatrix} + \begin{bmatrix} 0 & 0 & 0 \\ 0 & 1 & 0 \\ 0 & 0 & 0 \end{bmatrix} - \frac{1}{9} \times \begin{bmatrix} 1 & 1 & 1 \\ 1 & 1 & 1 \\ 1 & 1 & 1 \end{bmatrix}$$

image originale



Pratt 3x3



Pratt 7x7 pondéré à 0.5



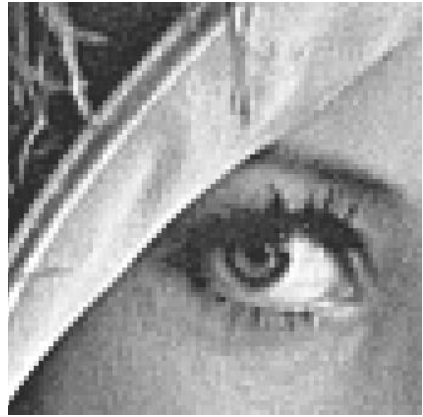
Pratt 7x7 pondéré à 1.5



image originale (zoom x4)



Pratt 3x3



Pratt 7x7 pondéré à 0.5

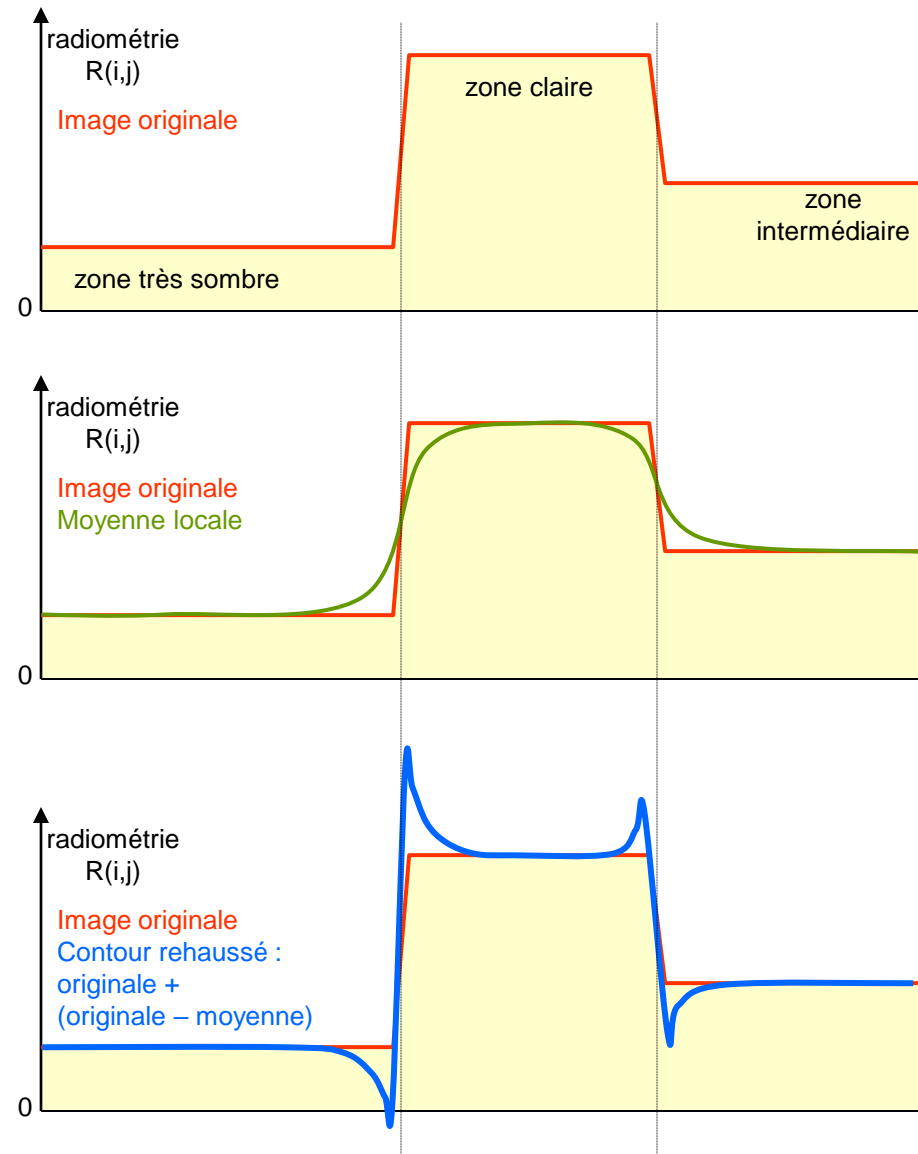


Pratt 7x7 pondéré à 1.5





📍 Étude du profil de rehaussement d'un contour



● Mesurer les variations – Image des écart-types locaux

Image originale



Zones à fort gradient
(hautes fréquences)

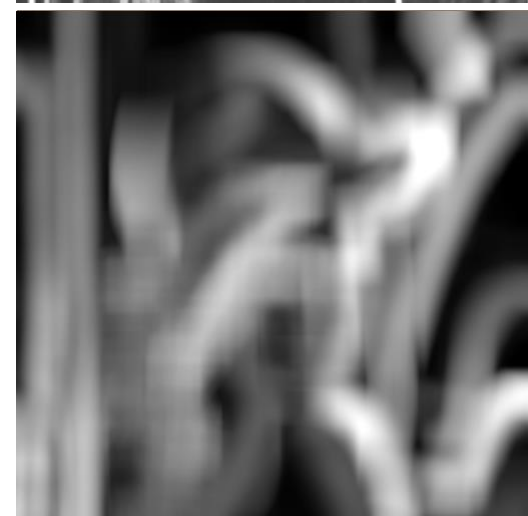
Zones à faible gradient
(basses fréquences)

Zones homogènes
(fréquences nulles)

Fenêtre d'analyse 3x3



Fenêtre d'analyse 7x7



Fenêtre d'analyse 55x55



◆ Mesurer les variations - Espace des fréquences – Analyse de Fourier

▣ Théorie – Cas monodimensionnel

Théorie de Fourier: « Tout signal peut être considéré comme étant la somme de sinusoïdes élémentaires ».

Transformée directe

$$F(u) = \int_{-\infty}^{+\infty} f(x) \times e^{-j \cdot 2\pi \cdot u \cdot x} dx$$

$$F(u) = R(u) + j \cdot I(u)$$

Formule d'Euler

$$e^{-j \cdot 2\pi \cdot u \cdot x} = \cos(2\pi \cdot u \cdot x) - j \times \sin(2\pi \cdot u \cdot x)$$

$$P(u) = |F(u)|^2$$

Spectre de puissance

Transformée inverse

$$f(x) = \int_{-\infty}^{+\infty} F(u) \times e^{+j \cdot 2\pi \cdot u \cdot x} du$$

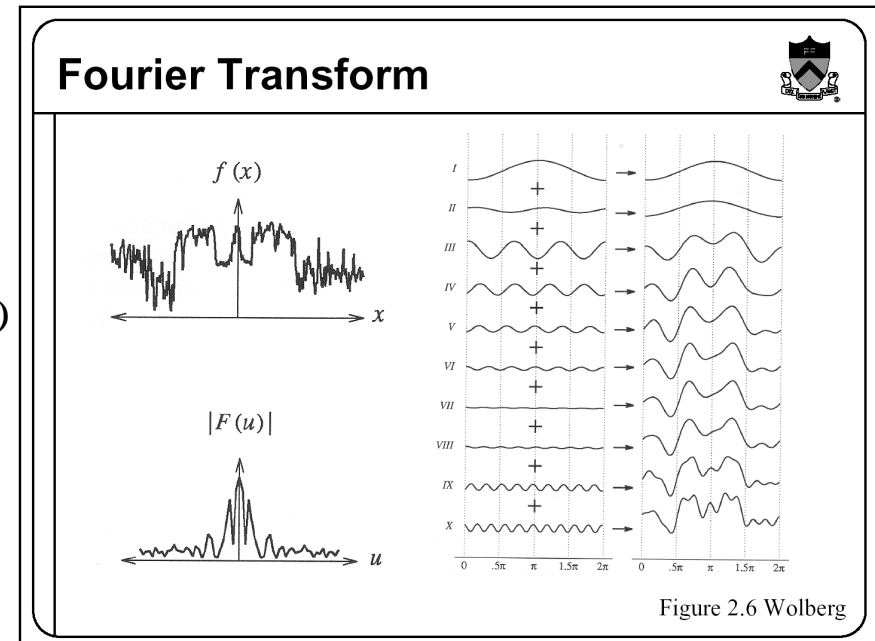


Figure 2.6 Wolberg

<http://www.cs.princeton.edu/courses/archive/fall00/cs426/lectures/sampling/sampling.pdf>



■ Cas bidimensionnel

Transformée directe

Cas 2D continu

$$F(u,v) = \int_{-\infty}^{+\infty} \int_{-\infty}^{+\infty} f(x,y) \times e^{-j \cdot 2\pi \cdot u \cdot x} \times e^{-j \cdot 2\pi \cdot v \cdot y} dx dy$$

Cas 2D discret

$$F(u,v) = \frac{1}{M \times N} \sum_{x=0}^{M-1} \sum_{y=0}^{N-1} f(x,y) \times e^{-j \cdot 2\pi \left(\frac{u \cdot x}{M} + \frac{v \cdot y}{N} \right)}$$

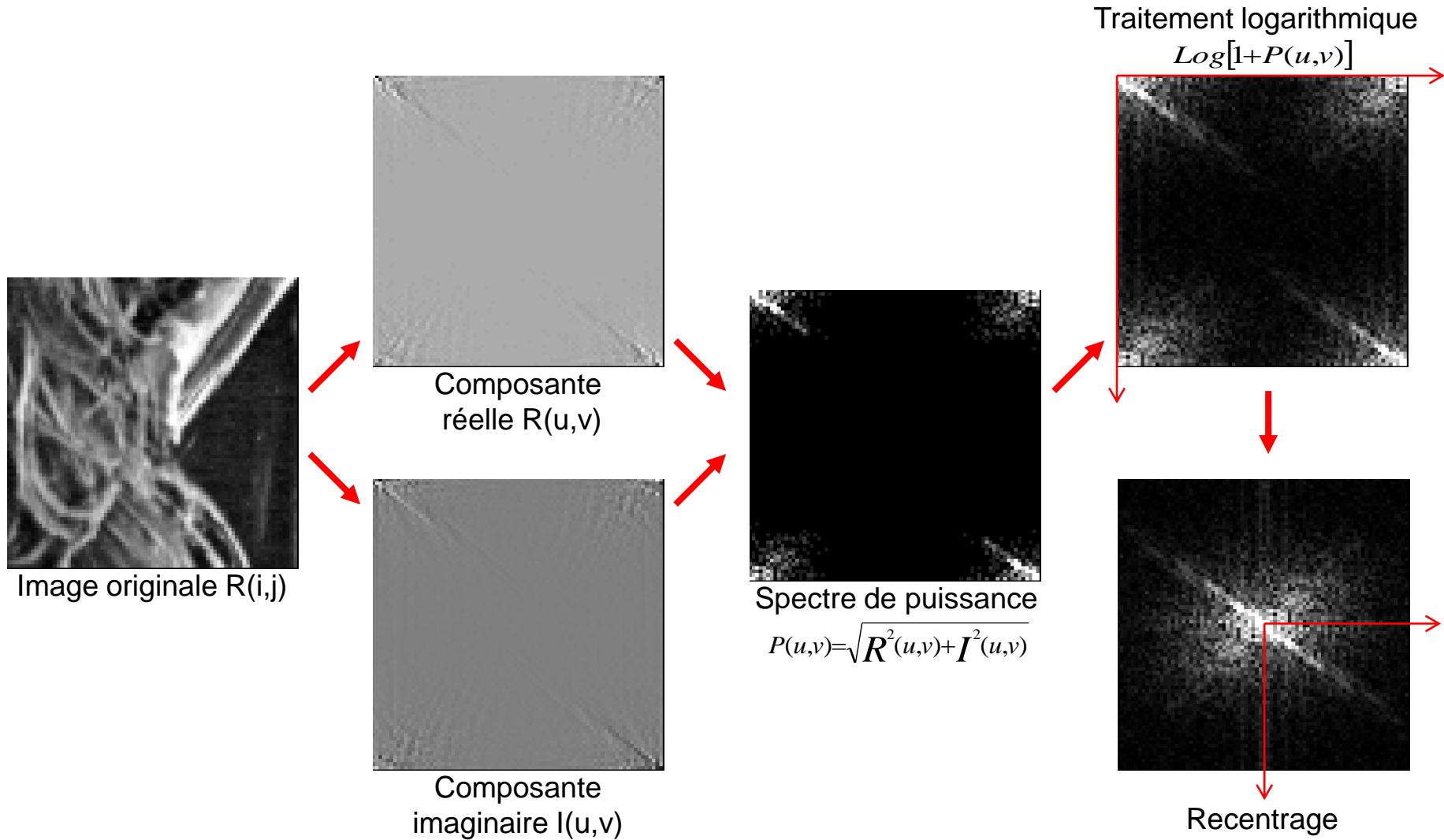
Transformée inverse

$$f(x,y) = \sum_{u=0}^{M-1} \sum_{v=0}^{N-1} F(u,v) \times e^{+j \cdot 2\pi \left(\frac{u \cdot x}{M} + \frac{v \cdot y}{N} \right)}$$

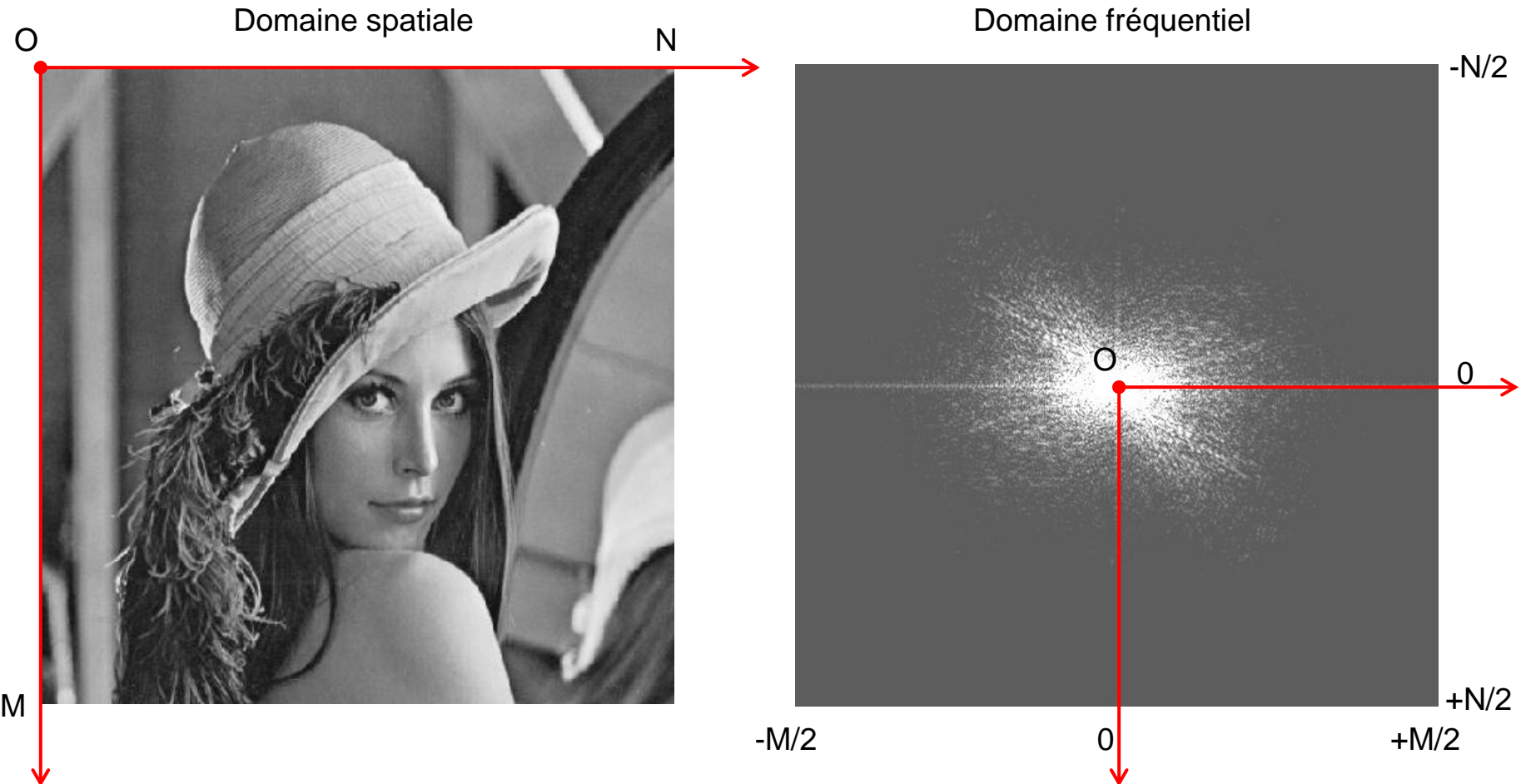
```
http://astronomy.swin.edu.au/~pbourke/analysis/dft/
/****************************************************************************
 * Direct fourier transform
 */
int DFT(
    int dir, /* transform sens -direct (+1) -inverse (-1) */
    int m, /* sample number */
    double *x1, /* input/output array - real component */
    double *y1 /* input/output array - imaginary component */
)
{
    long i,k;
    double arg;
    double cosarg,sinarg;
    double *x2=NULL,*y2=NULL;
    /*-----*/
    /* Allocate local buffers */
    /*-----*/
    x2 = malloc(m*sizeof(double));
    y2 = malloc(m*sizeof(double));
    if (x2 == NULL || y2 == NULL)
        return(FALSE);
    /*-----*/
    /* Loop on samples */
    /*-----*/
    for (i=0;i<m;i++) {
        x2[i] = 0;
        y2[i] = 0;
        arg = -dir * 2.0 * 3.141592654 * (double)i / (double)m;
        for (k=0;k<m;k++) {
            cosarg = cos(k * arg);
            sinarg = sin(k * arg);
            x2[i] += (x1[k] * cosarg - y1[k] * sinarg);
            y2[i] += (x1[k] * sinarg + y1[k] * cosarg);
        }
    }
    /*-----*/
    /* Copy the data back */
    /*-----*/
    if (dir == 1) {
        for (i=0;i<m;i++) {
            x1[i] = x2[i] / (double)m;
            y1[i] = y2[i] / (double)m;
        }
    } else {
        for (i=0;i<m;i++) {
            x1[i] = x2[i];
            y1[i] = y2[i];
        }
    }
    /*-----*/
    /* Release memory and return */
    /*-----*/
    free(x2);
    free(y2);
    return(TRUE);
}
```



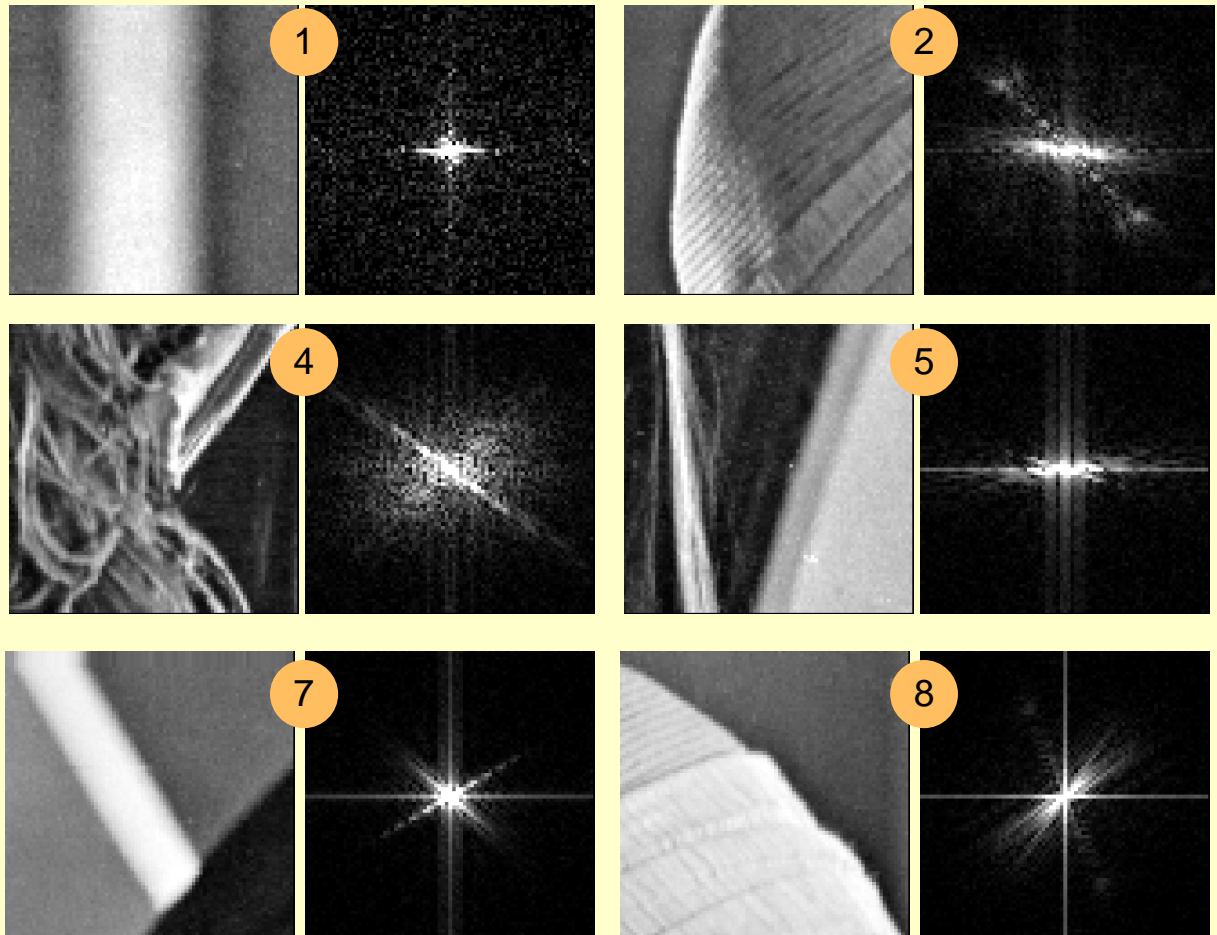
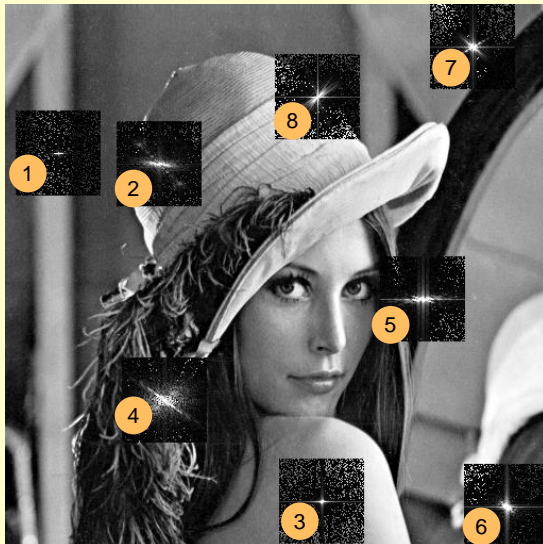
■ Composantes réelle et imaginaire – Spectre de puissance



■ Spectre d'énergie des fréquences d'une image – Mesure globale

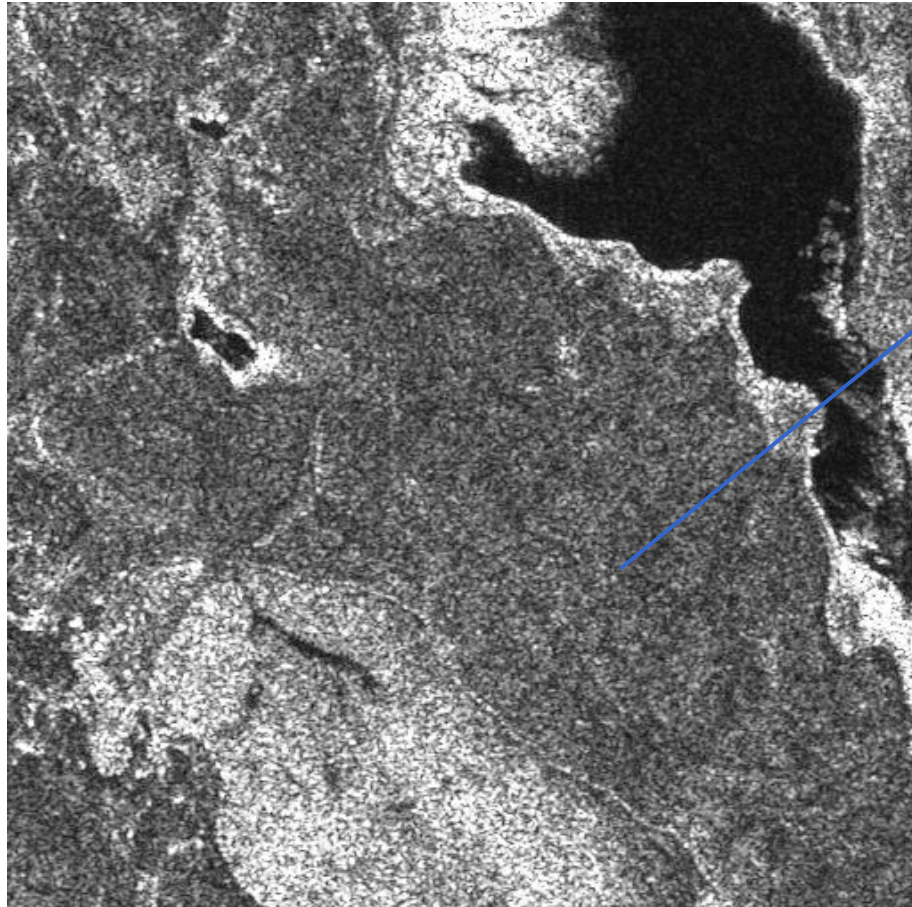


■ Mesures locales



Images bruitées

◆ RADAR à ouverture synthétique



speckle ou
chatoiement

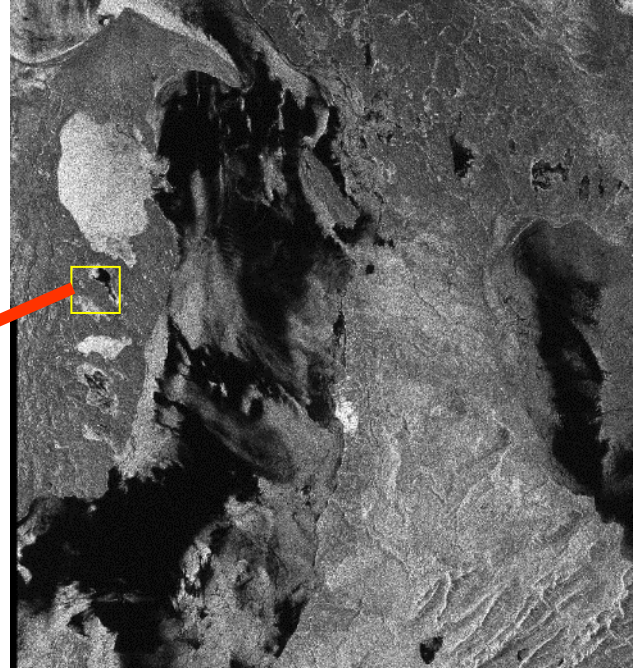
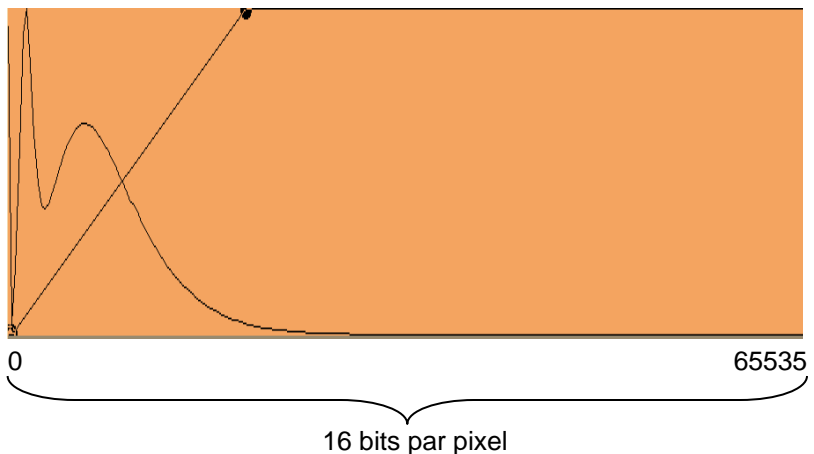


image originale – ERS1 SAR 29/11/1992 - Patagonie



16 bits par pixel



● Bruit additif selon un modèle

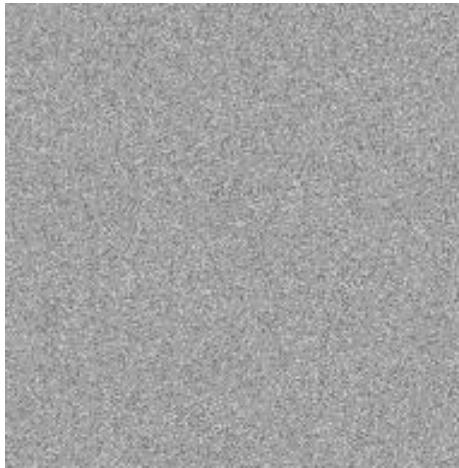
bruit uniforme

densité 100% - amplitude 100



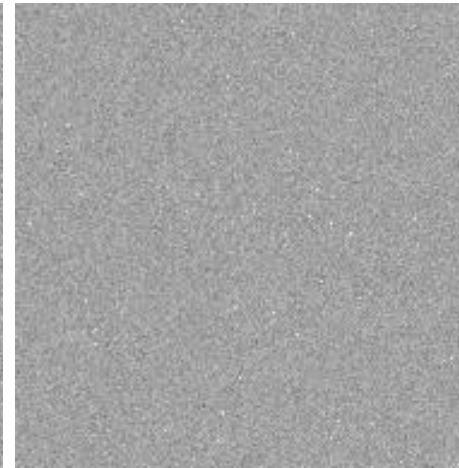
bruit uniforme

densité 50% - amplitude 100



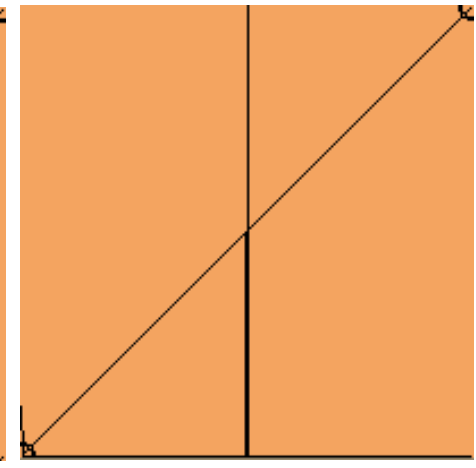
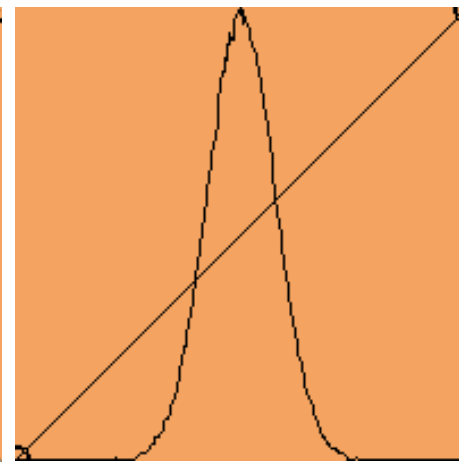
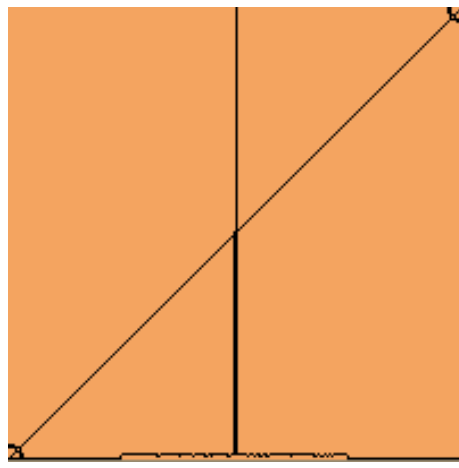
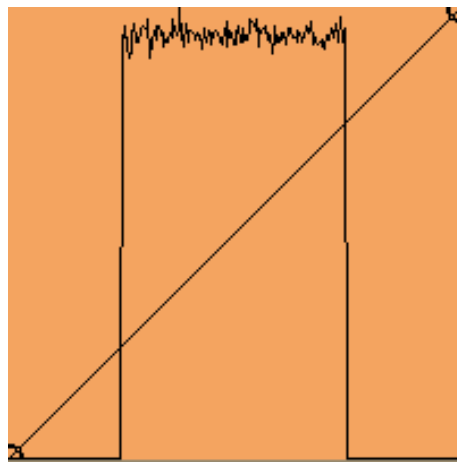
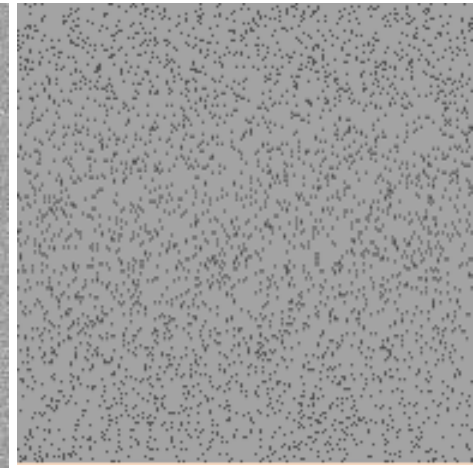
bruit gaussien

densité 100% - $\sigma=0,2$ - amplitude 150



bruit impulsionnel

densité 10%



Filtrages adaptatifs

● Filtre de LEE

■ Modèle de « bruit multiplicatif »

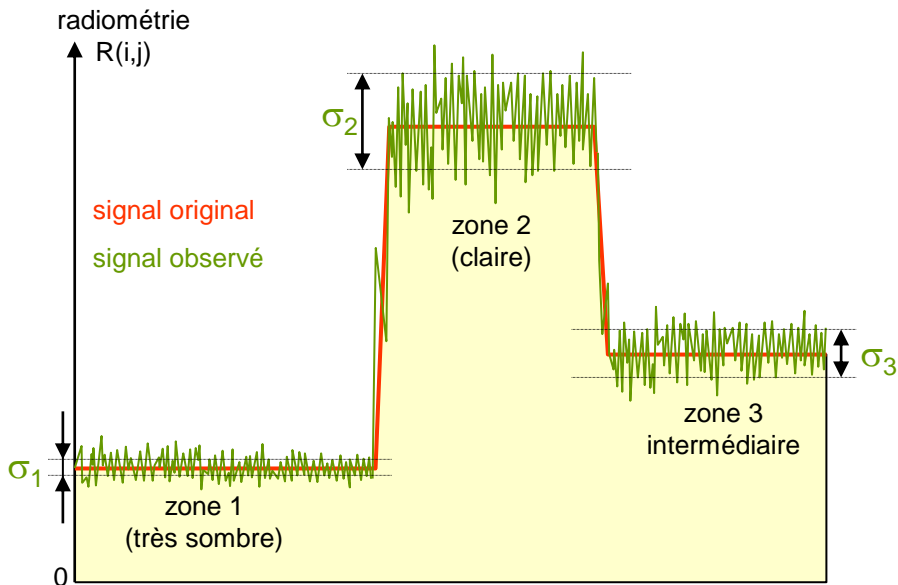
$$r(i, j) = r_0(i, j) \times n(i, j)$$

avec:

$r_0(i, j)$ image originale avant corruption par le bruit

$r(i, j)$ image observée corrompue par le bruit

$n(i, j)$ bruit multiplicatif



■ Filtre de restauration de l'image originale

$$r'(i, j) = \bar{m}(i, j) + \frac{\sigma^2(i, j)}{\sigma^2(i, j) + \sigma_n^2 \times \bar{m}(i, j)} \times [r(i, j) - \bar{m}(i, j)]$$

avec:

$r(i, j)$ image observée corrompue par le bruit

$r'(i, j)$ image restaurée

$m(i, j)$ moyenne mesurée dans la fenêtre autour de (i, j)

$\sigma(i, j)$ écart-type mesuré dans la fenêtre autour de (i, j)

σ_n écart-type centré réduit du bruit

Fenêtre 7x7

$\sigma_n = 0 \rightarrow$ image originale
 $\sigma_n = \infty \rightarrow$ moyennes locales

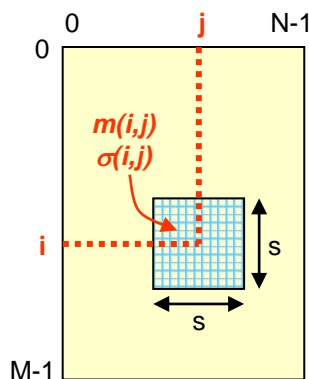
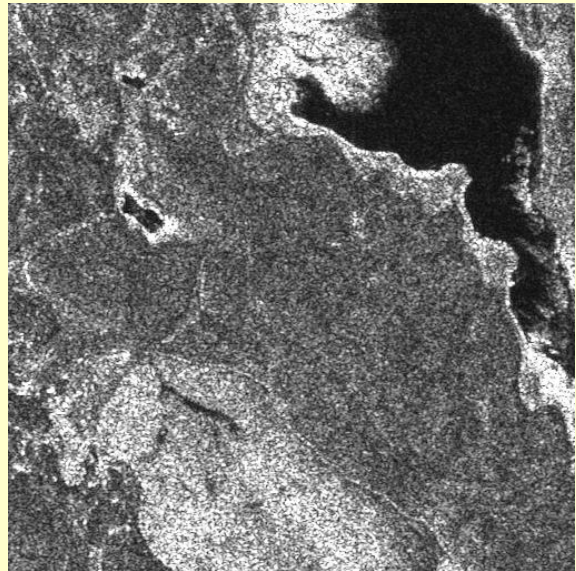
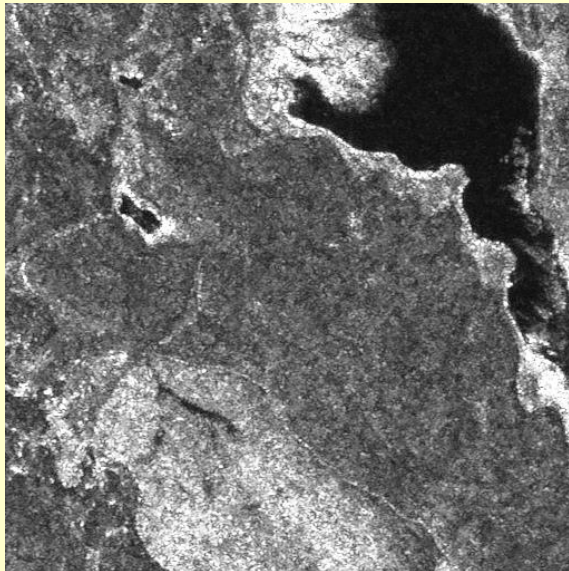




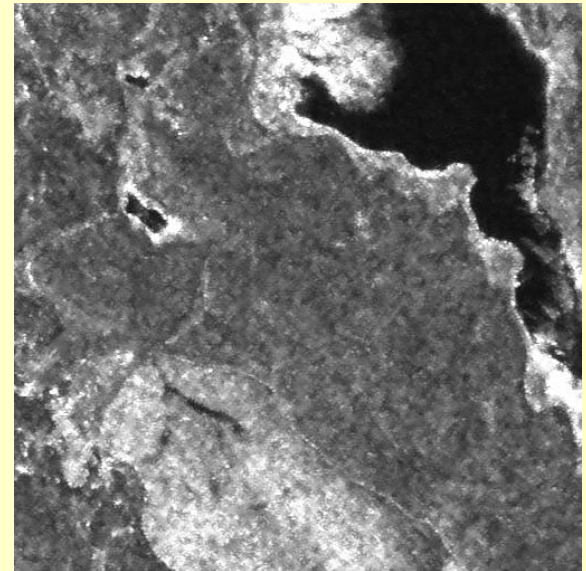
image originale – ERS1 29/11/1992



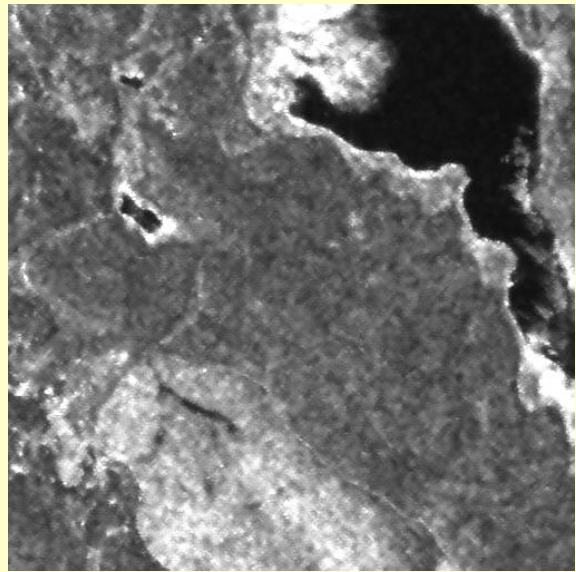
LEE - $\sigma_n=0,2$



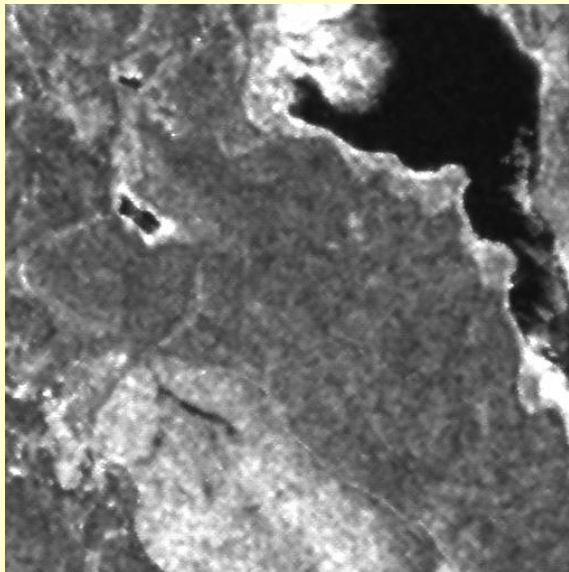
LEE - $\sigma_n=0,4$



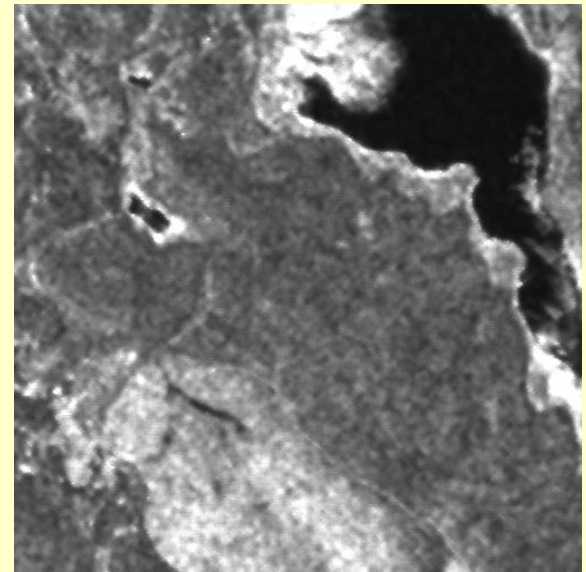
LEE - $\sigma_n=0,6$



LEE - $\sigma_n=0,8$

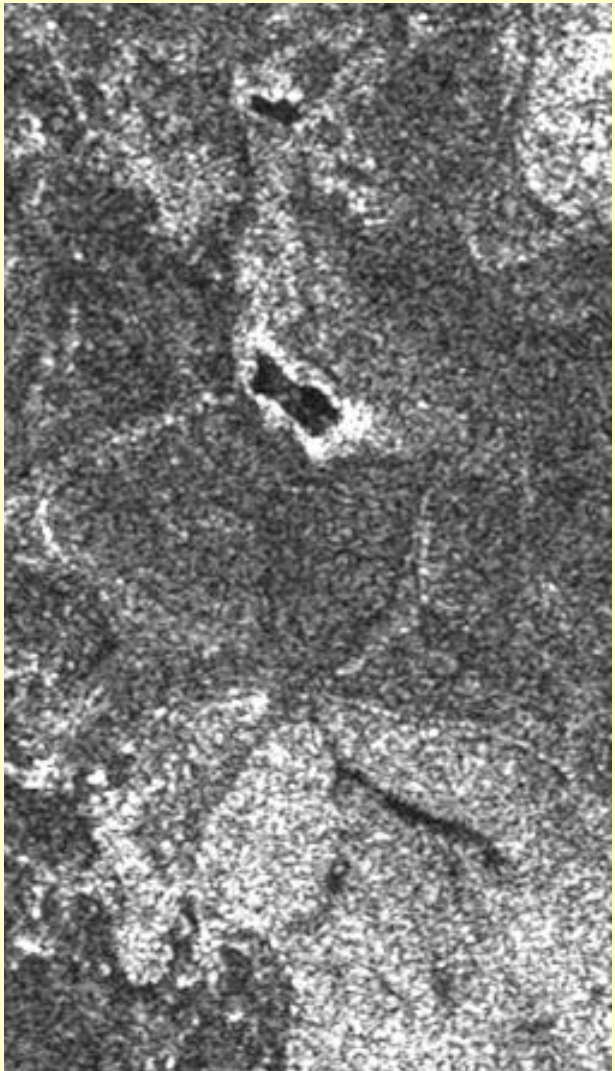


LEE - $\sigma_n=1,0$

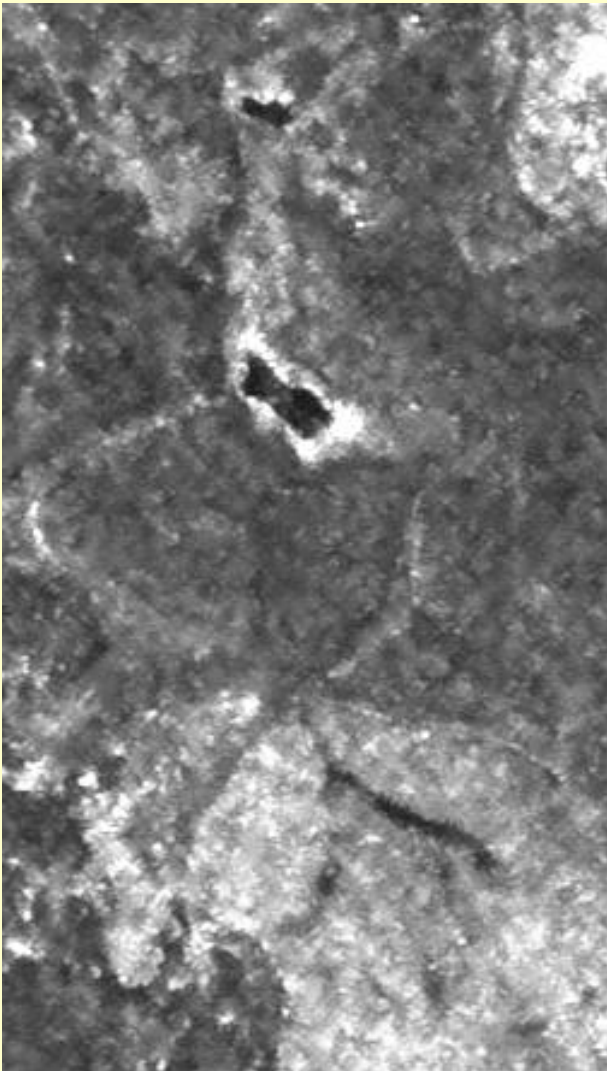


■ Filtre de LEE – Comparaison avec l'original et la moyenne 7x7

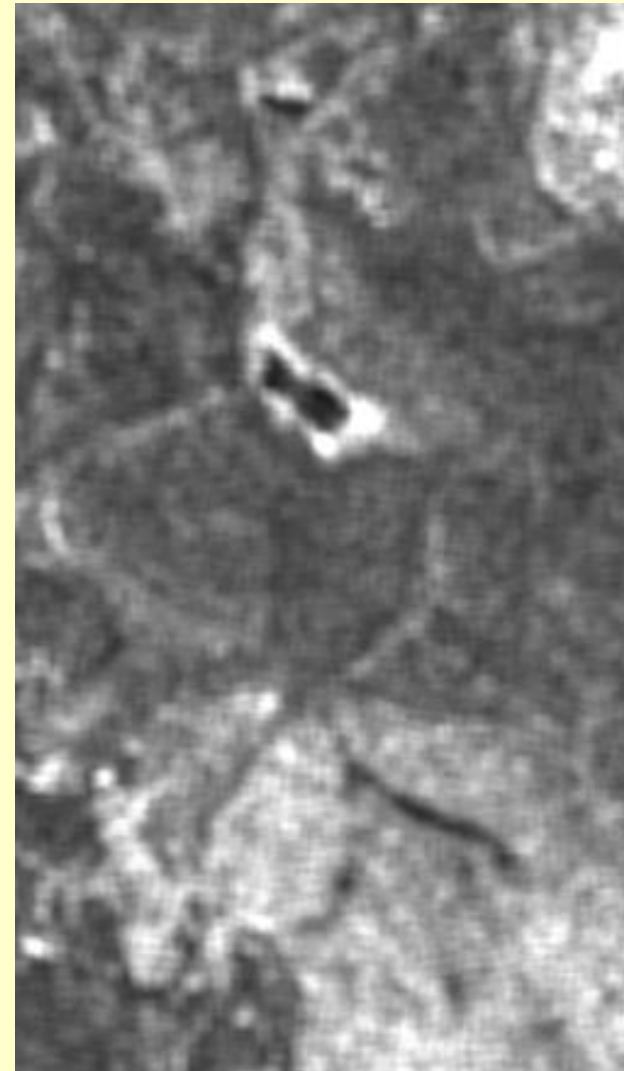
image originale



Filtre de LEE - $\sigma_n=0,4$



Filtre moyenne 7x7





❖ Filtre de KUAN

■ Modèle de « bruit additif »

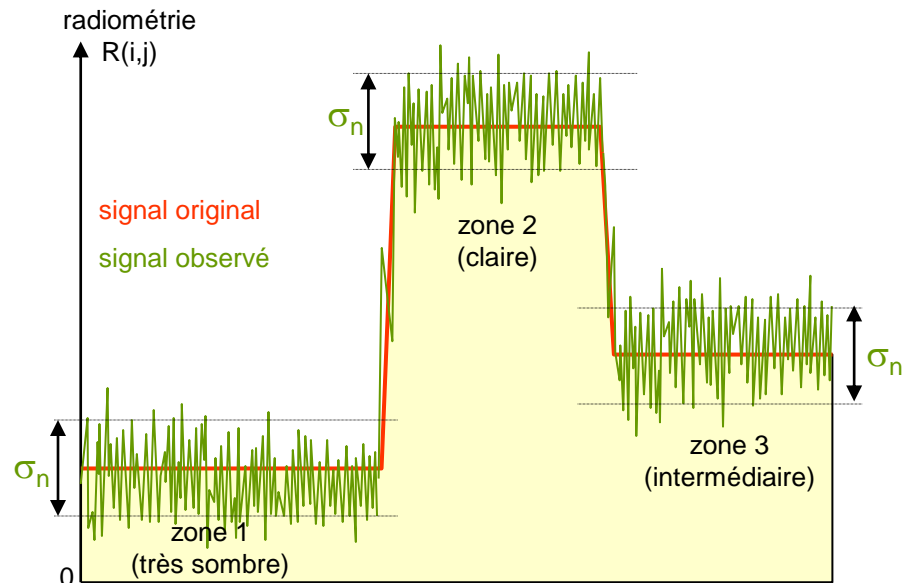
$$r(i, j) = r_0(i, j) + n(i, j)$$

avec:

$r_0(i, j)$ image originale avant corruption par le bruit

$r(i, j)$ image observée corrompue par le bruit

$n(i, j)$ bruit additif



■ Filtre de restauration de l'image originale

$$r'(i, j) = \bar{m}(i, j) + \frac{\sigma^2(i, j) - \sigma_n^2}{\sigma^2(i, j)} \times [r(i, j) - \bar{m}(i, j)]$$

avec:

$r(i, j)$ image observée corrompue par le bruit

$r'(i, j)$ image restaurée

$\bar{m}(i, j)$ moyenne mesurée dans la fenêtre autour de (i, j)

$\sigma(i, j)$ écart-type mesuré dans la fenêtre autour de (i, j)

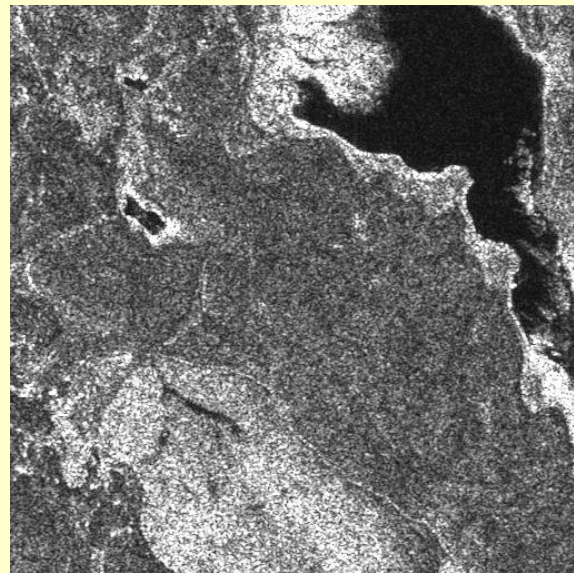
σ_n écart-type du bruit

Fenêtre 7x7

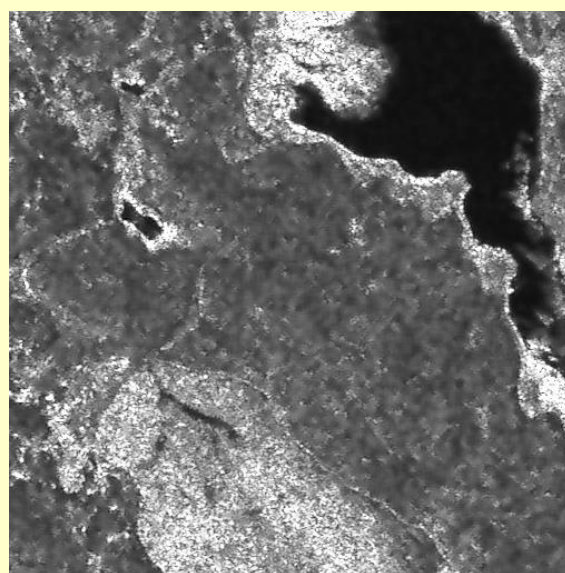
$\sigma_n = 0 \rightarrow$ image originale
 $\sigma_n > \sigma(i, j) \rightarrow$ numérateur forcé à 0
 \rightarrow moyennes locales



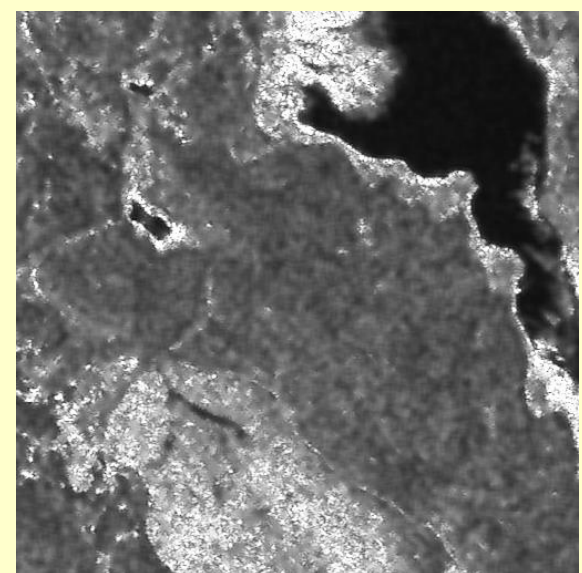
image originale – ERS1 29/11/1992



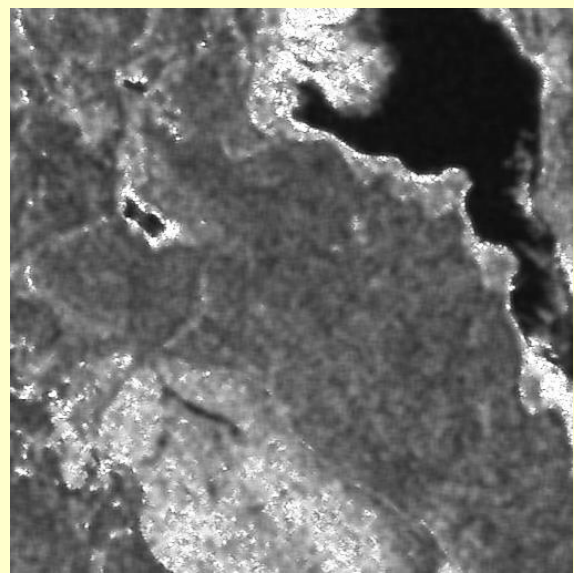
KUAN - $\sigma_n=50$



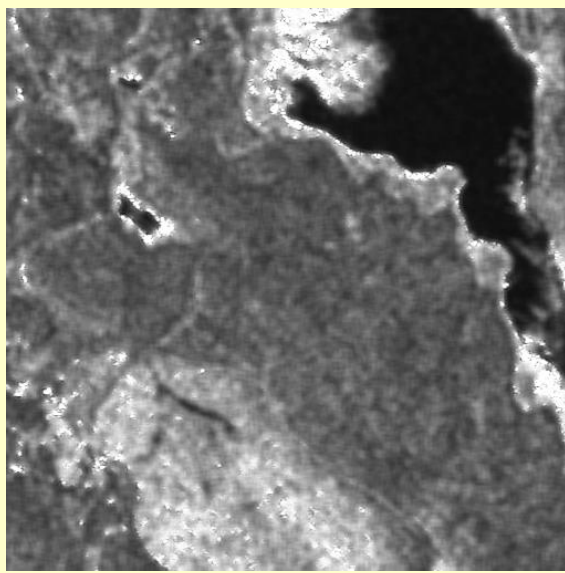
KUAN - $\sigma_n=70$



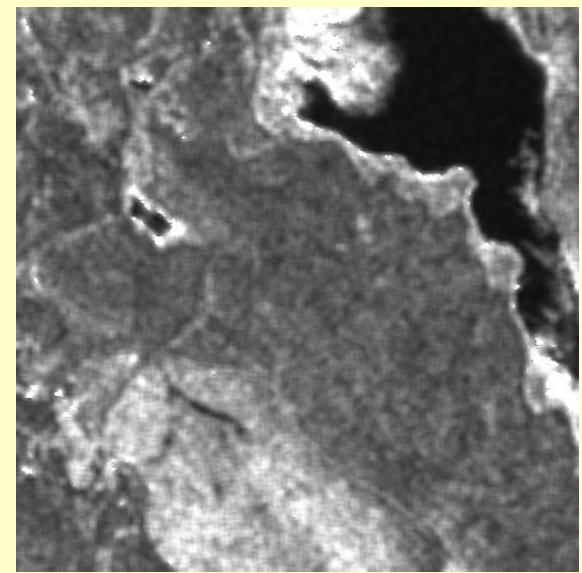
KUAN - $\sigma_n=90$



KUAN - $\sigma_n=110$



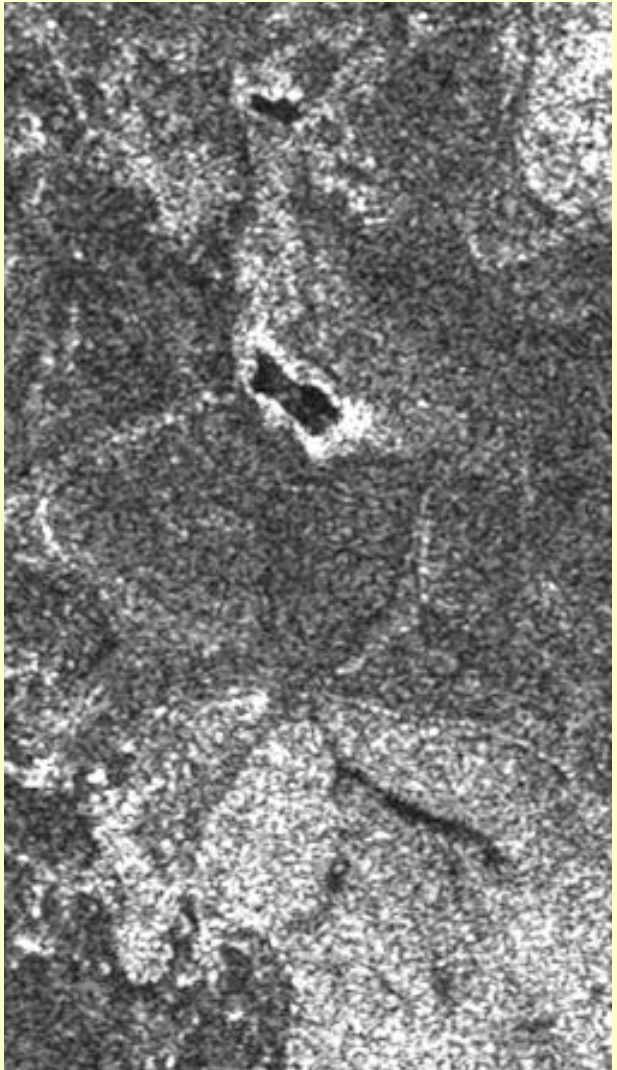
KUAN - $\sigma_n=150$



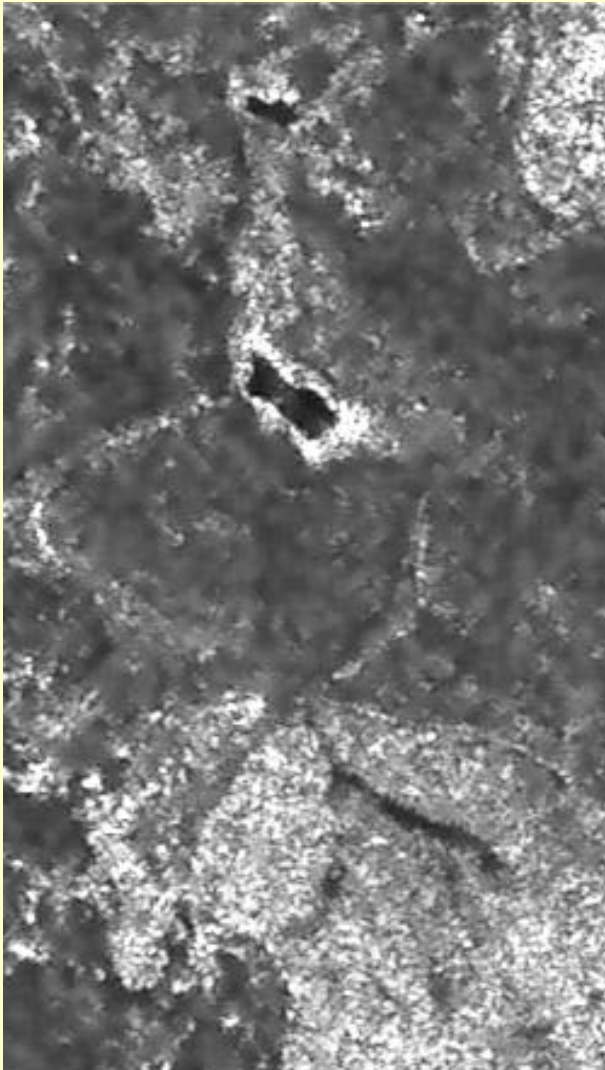


▣ Filtre de KUAN – Comparaison avec le filtre de LEE

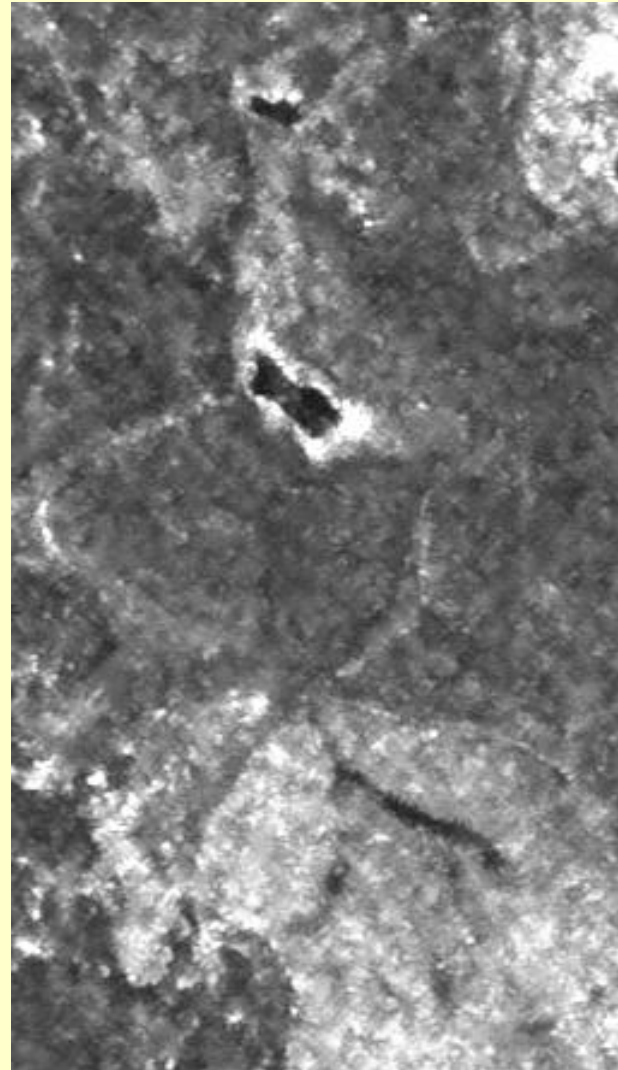
image originale



Filtre de KUAN - $\sigma_n=50$



Filtre de LEE - $\sigma_n=0,4$



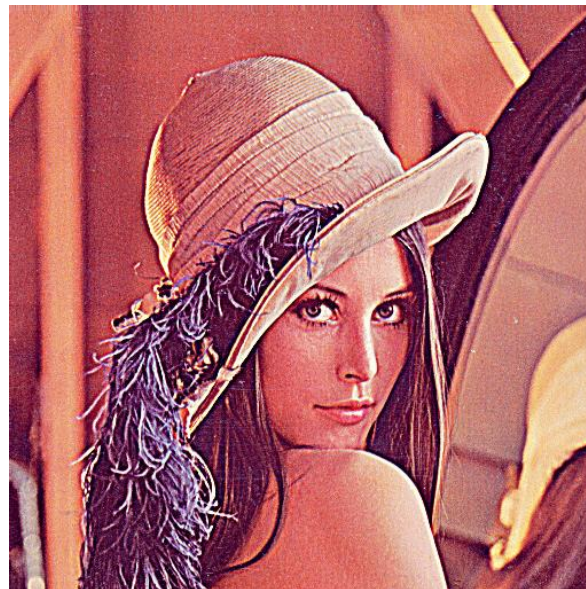
Application au post-traitement de rehaussement des contours

Image originale



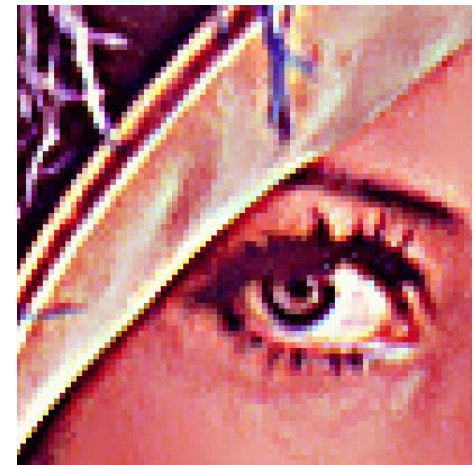
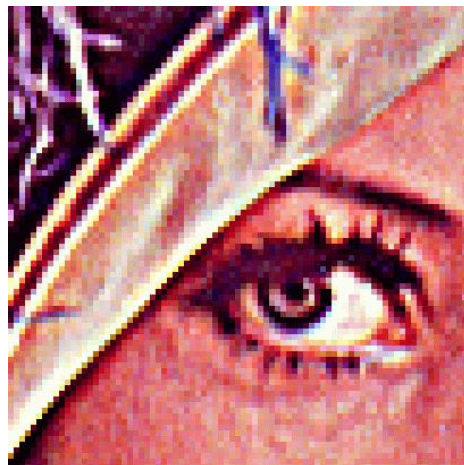
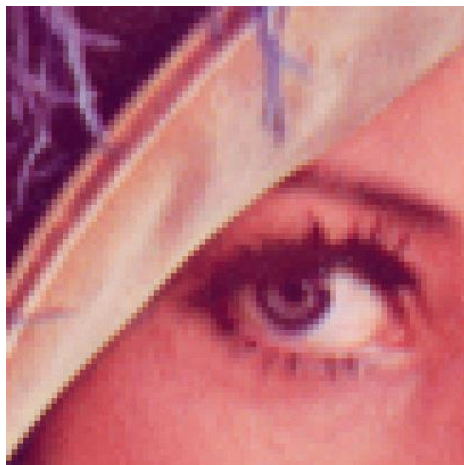
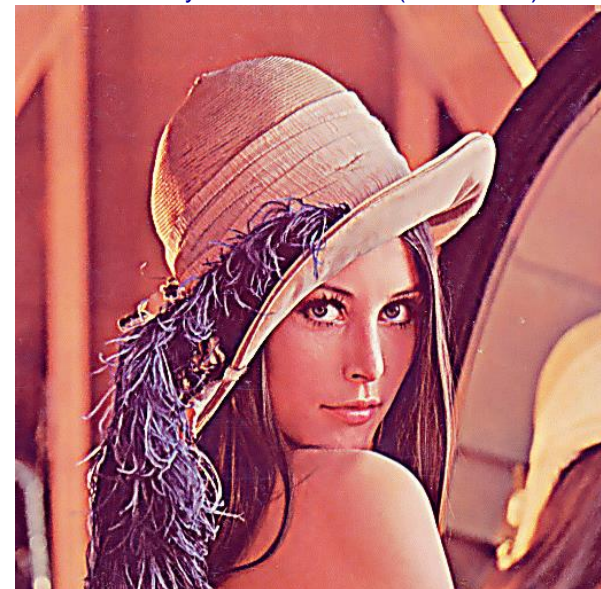
Image rehaussée ($\beta = 3$)

$$R'(i, j) = R(i, j) + \beta \times [R(i, j) - \overline{m_{C,C}}]$$



Filtre de KUAN ($\sigma_{bruit} = 15$)

Idée de Sylvain DUMAZET (mars 2005)





◆ Stretching linéaire imposé selon les statistiques locales

$$r'(i, j) = \frac{\sigma_0}{\sigma(i, j)} \times r(i, j) + \left[\bar{m}_0 - \frac{\sigma_0}{\sigma(i, j)} \times \bar{m}(i, j) \right]$$

avec:

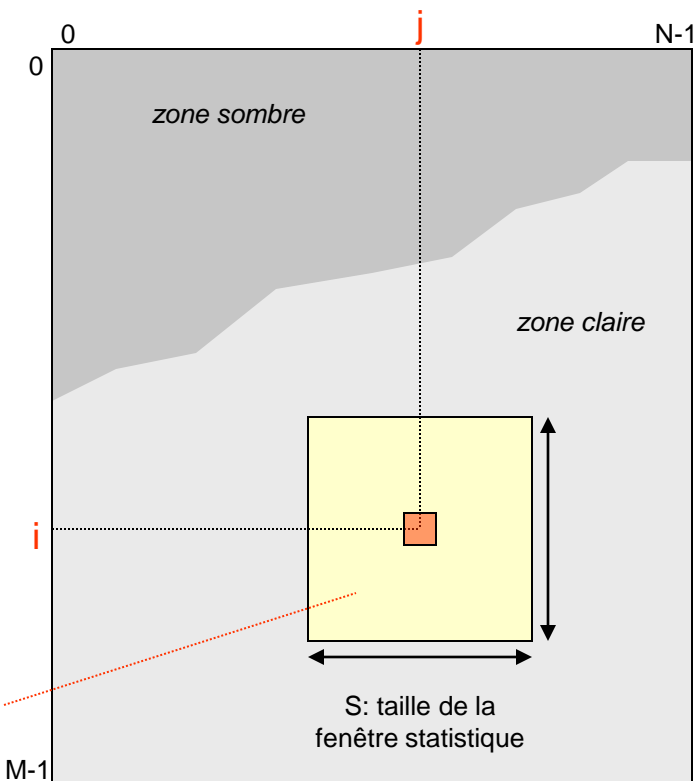
\bar{m}_0 moyenne imposée en sortie

σ_0 écart-type imposé en sortie

$\bar{m}(i,j)$ moyenne mesurée dans la fenêtre autour de (i,j)

$\sigma(i,j)$ écart-type mesuré dans la fenêtre autour de (i,j)

[Lien « Stretching global imposé par des statistiques de sortie »](#)





new-york – $m_0=128$ - $\sigma_0=40$ – $S=101$

Application Language Display Deformation model Options Help

Reference image Work image

Add new point Zoom
Modify point 2
Remove point

Ok Predict
Cancel Best fit



new-york – $m_0=128$ - $\sigma_0=40$ – $S=31$

Application Language Display Deformation model Options Help

Reference image Work image

Add new point Zoom
Modify point
Remove point

Ok Predict
Cancel Best fit



new-york – $m_0=128$ - $\sigma_0=40$ – $S=11$

Application Language Display Deformation model Options Help

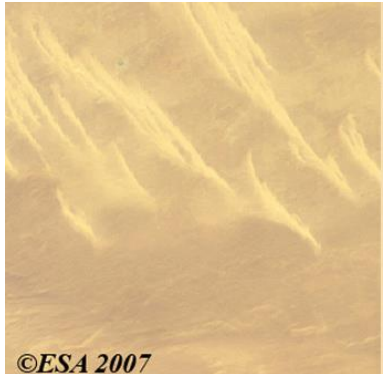
Reference image Work image

Add new point Zoom
Modify point Remove point

Ok Predict
Cancel Best fit

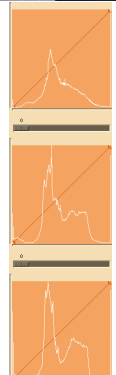
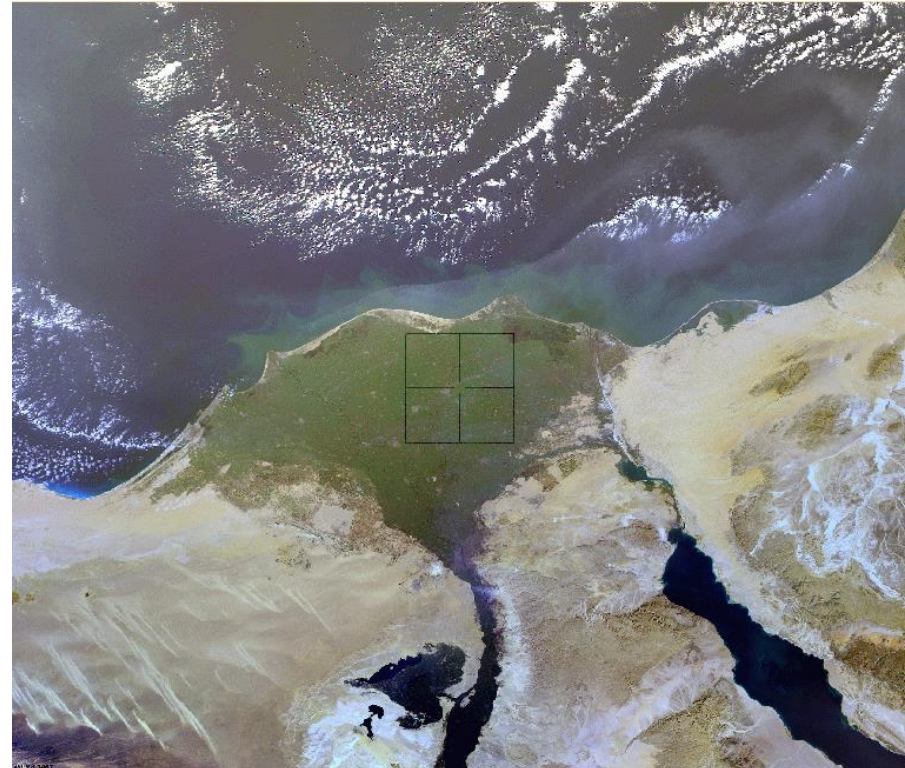
Nil – $m_0=128$ - $\sigma_0=60$ – Stretching imposé global (sur toute l'image)

image originale (2417 x 2807)



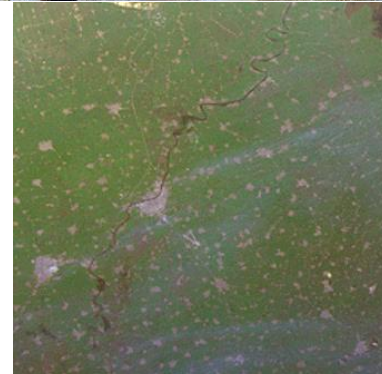
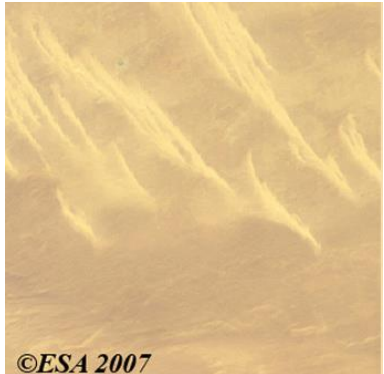
Nil – $m_0=128$ - $\sigma_0=60$ - $S=1501$

image originale (2417 x 2807)



Nil – $m_0=128$ - $\sigma_0=60$ - $S=1001$

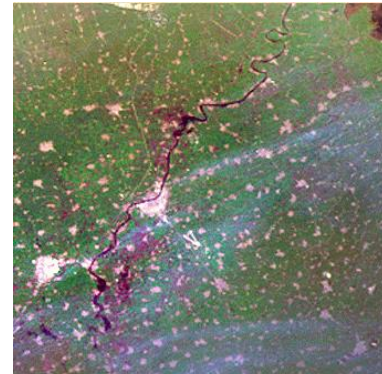
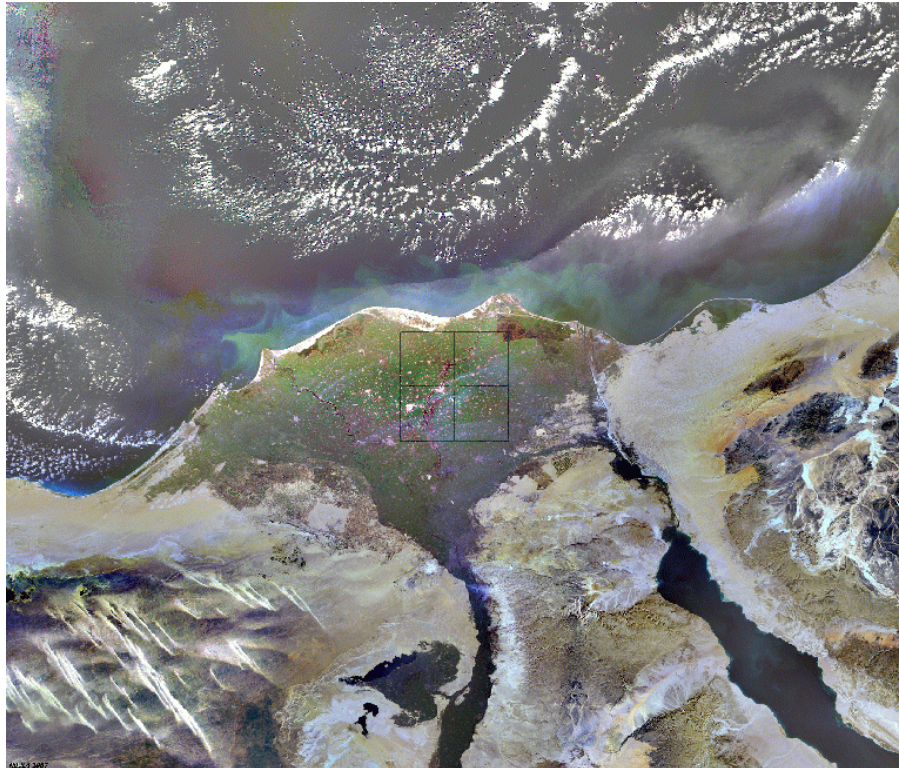
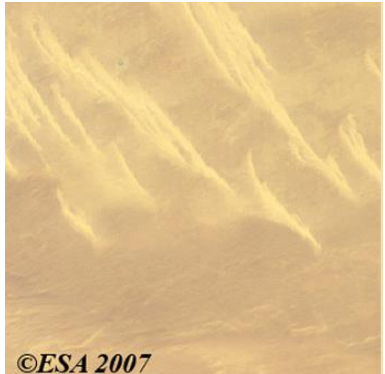
image originale (2417 x 2807)





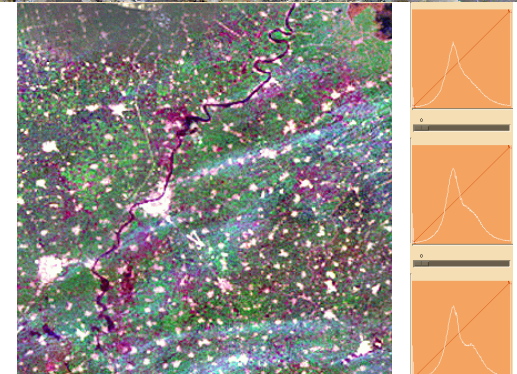
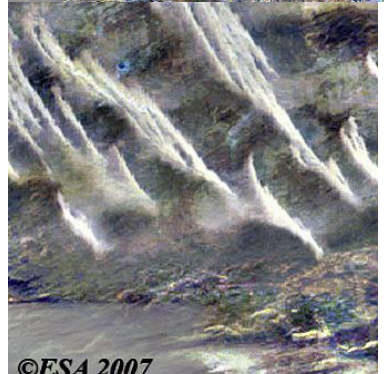
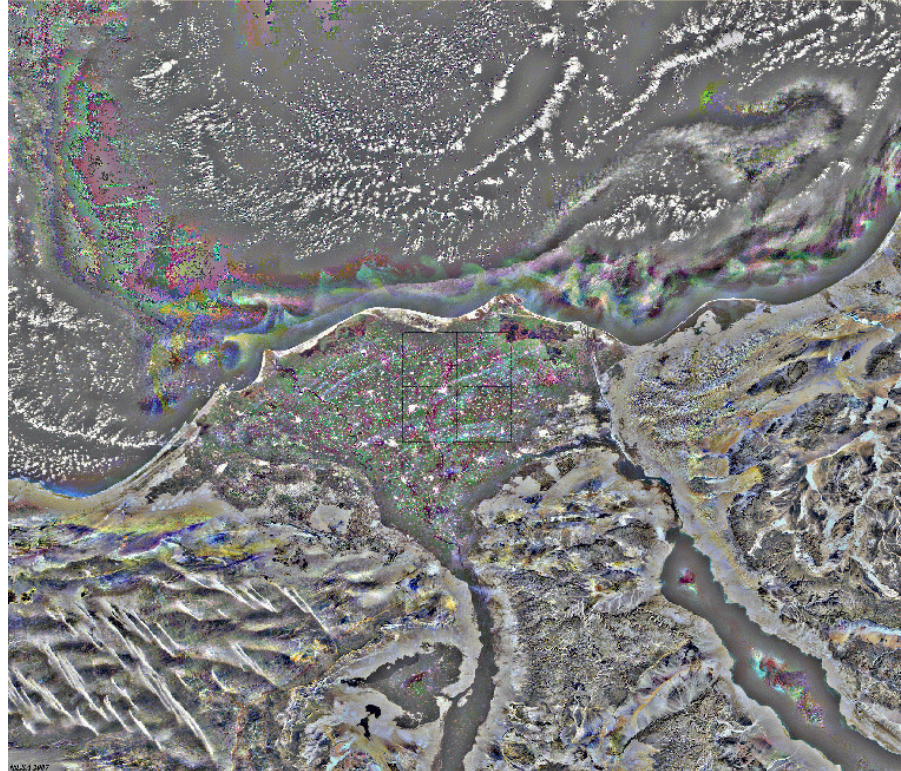
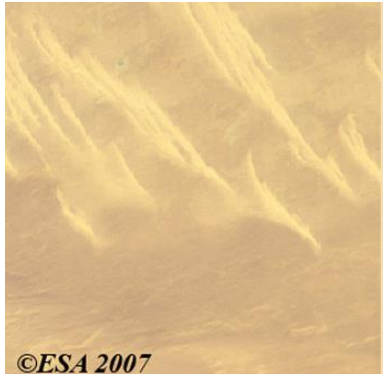
Nil – $m_0=128$ - $\sigma_0=60$ – $S=501$

image originale (2417 x 2807)



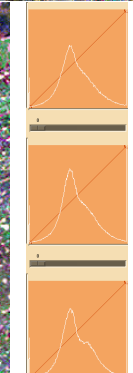
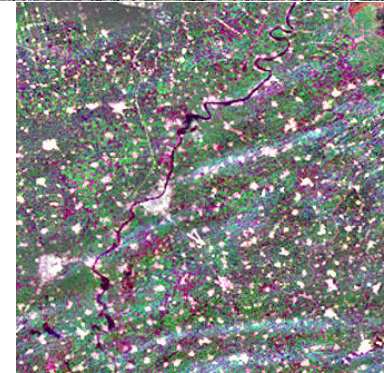
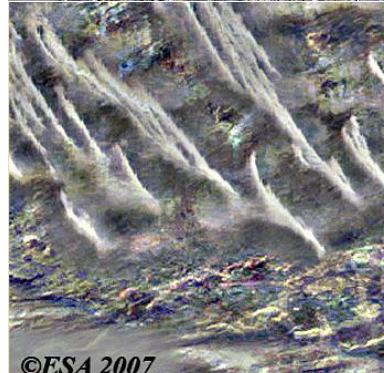
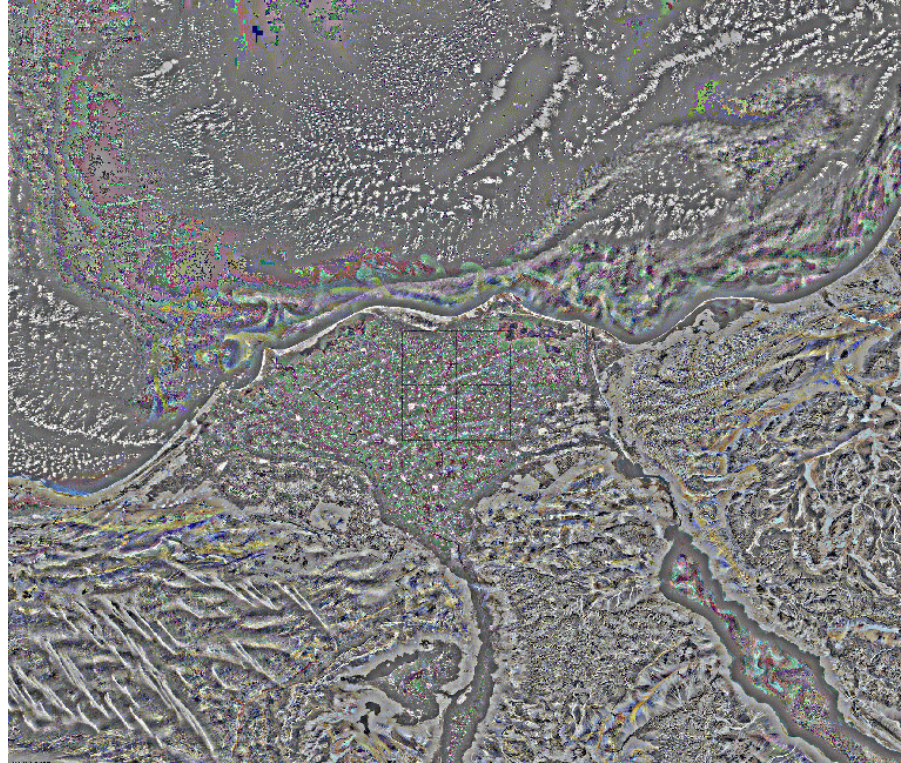
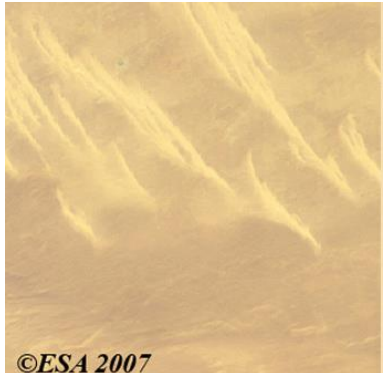
Nil – $m_0=128$ - $\sigma_0=60$ - $S=101$

image originale (2417 x 2807)



Nil – $m_0=128$ - $\sigma_0=60$ – $S=51$

image originale (2417 x 2807)



■ Stretching local appliqué aux images Radar

Scène Envisat ASAR WSM acquise le 20/05/2008 au large du Mozambique

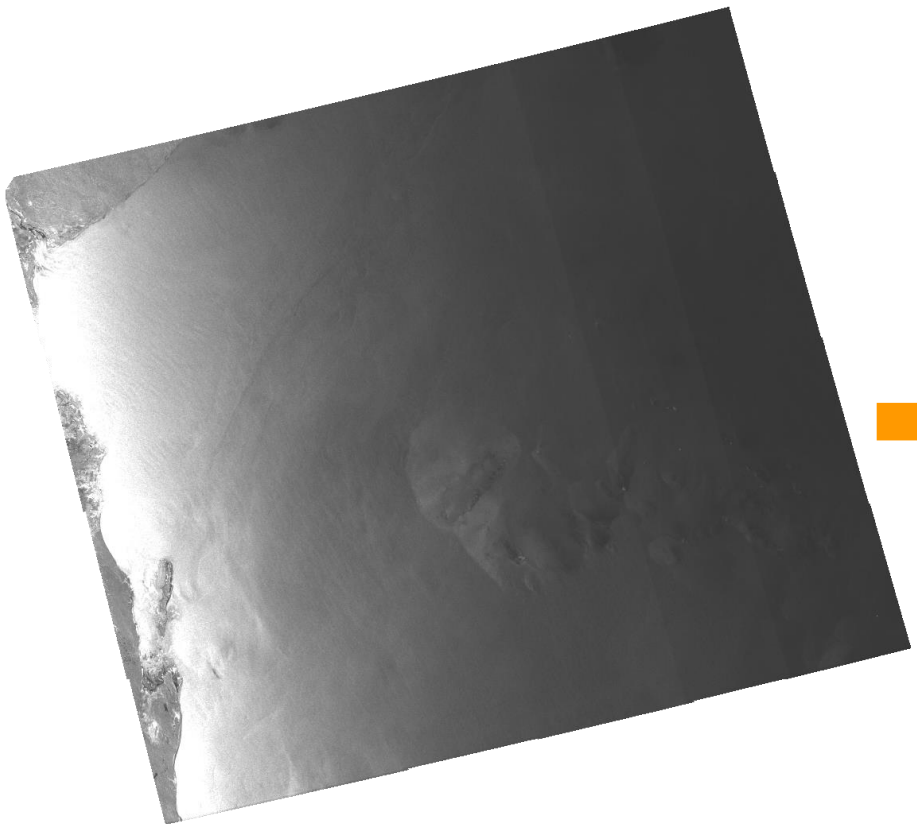
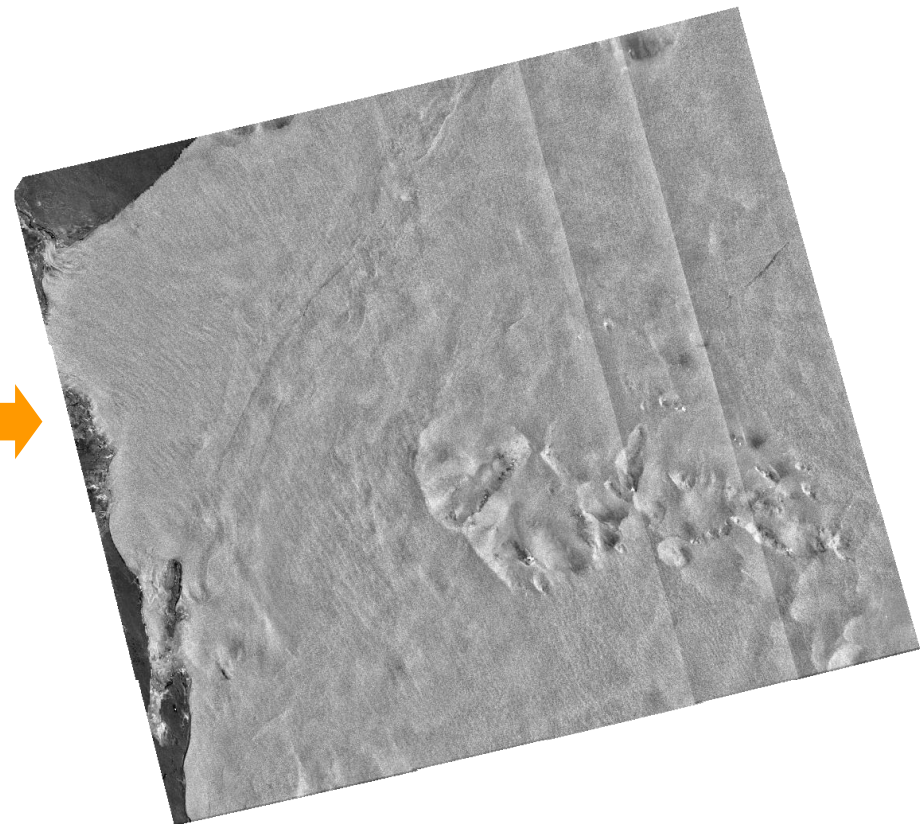


image originale



résultat du stretching local
($m_0=160$ - $\sigma_0=50$ – $S=301$)



Filtrages heuristiques

◆ Filtre médian

- Valeur médiane dans une fenêtre 3x3

0	1	2	3	4	5	6	7	8
11	16	17	21	22	26	28	32	77

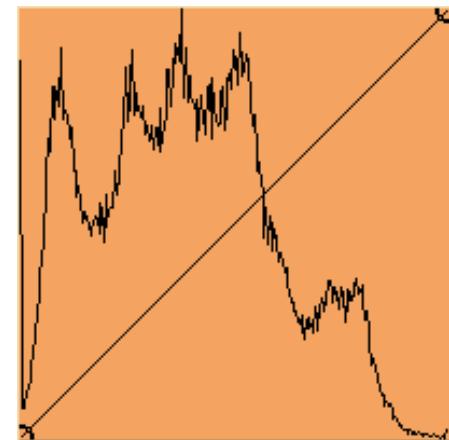
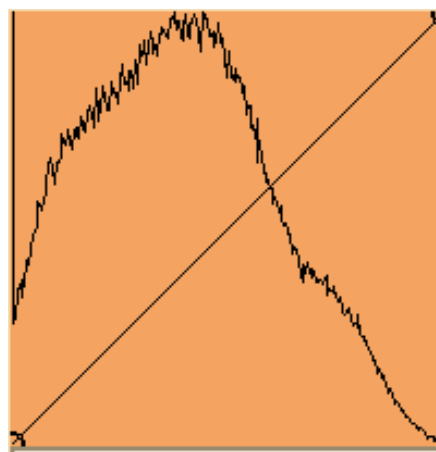
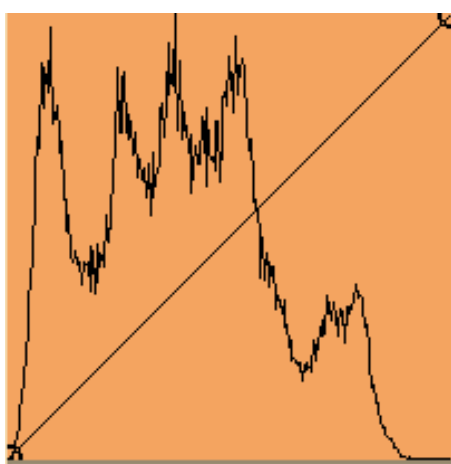
- Valeur médiane dans une fenêtre 5x5

0	1	2	3	4	5	6	7	8	9	10	11	12	13	14	15	16	17	18	19	20	21	22	23	24
5	8	9	10	11	14	15	16	17	18	19	21	22	25	26	27	28	28	31	32	33	36	37	43	77

5	8	10	15	18
9	11	17	21	27
14	16	77	28	33
19	22	26	32	37
25	28	31	36	43

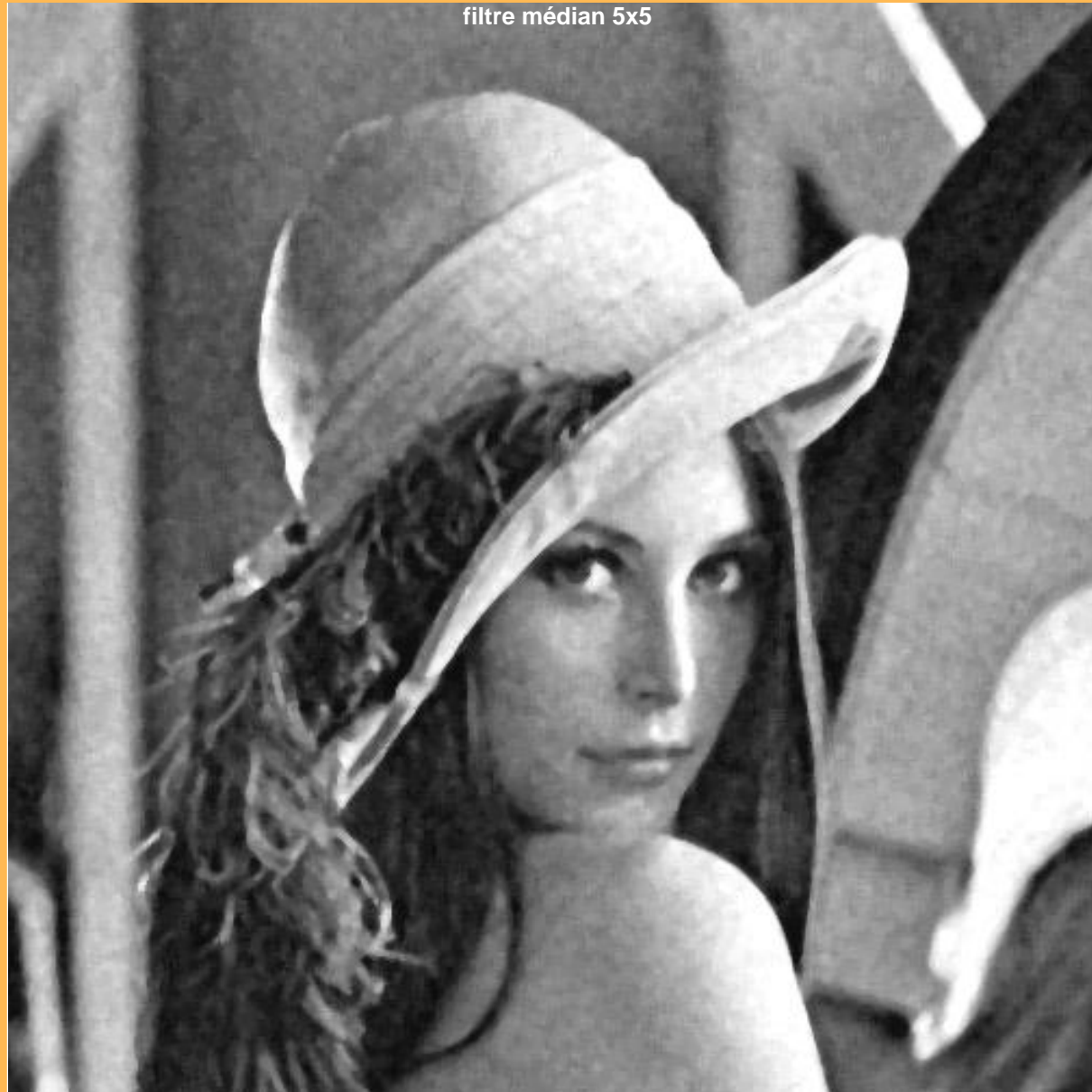
	11	16	21	
	17	22	28	
	25	28	33	

■ Bruit Gaussien additif





filtre médian 5x5



bruit gaussien $\sigma=0,4$ amplitude=150 densité=10

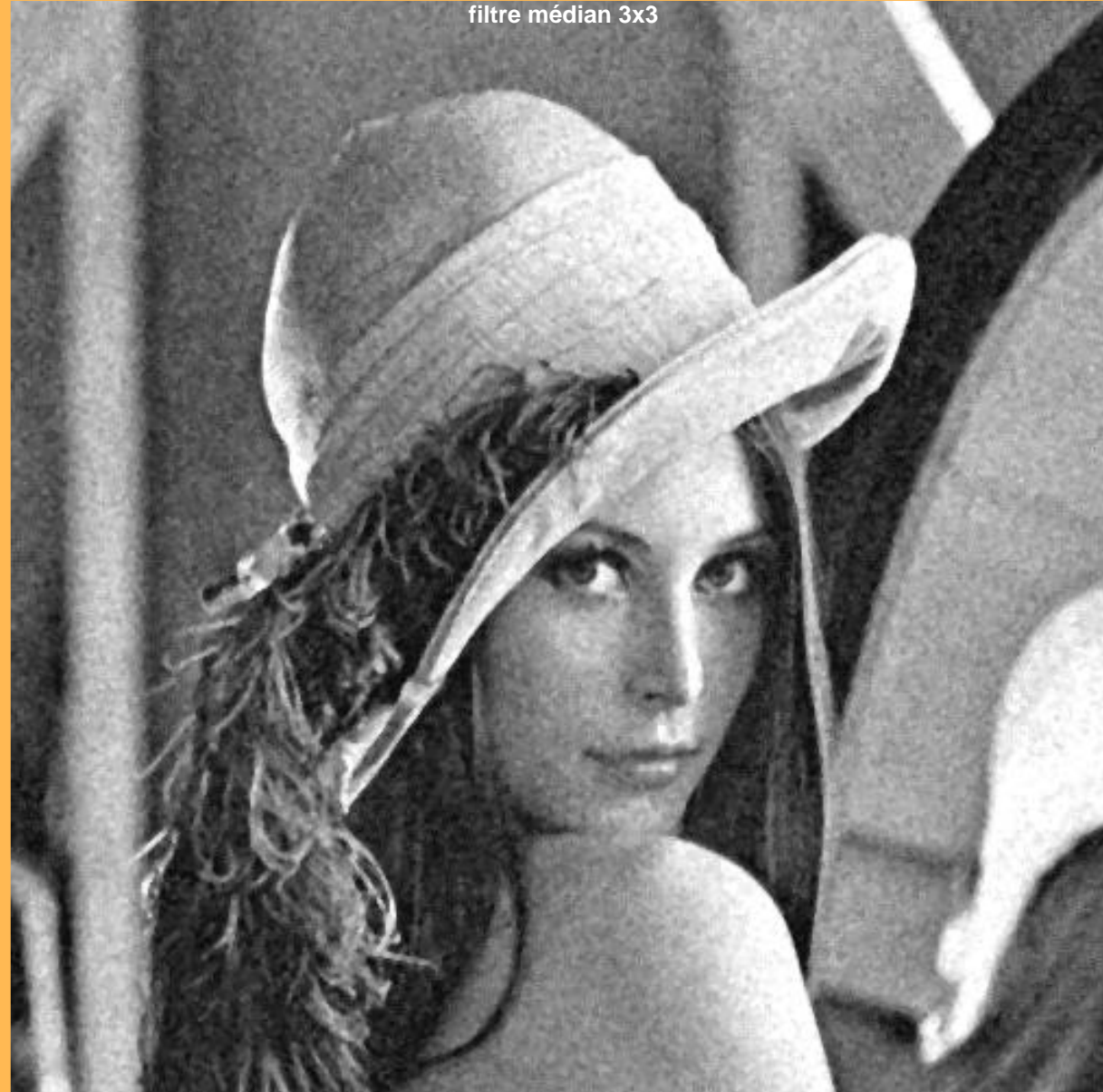


filtre médian 5x5





filtre médian 3x3



bruit gaussien $\sigma=0,4$ amplitude=150 densité=10



filtre médian 3x3



filtre médian 5x5



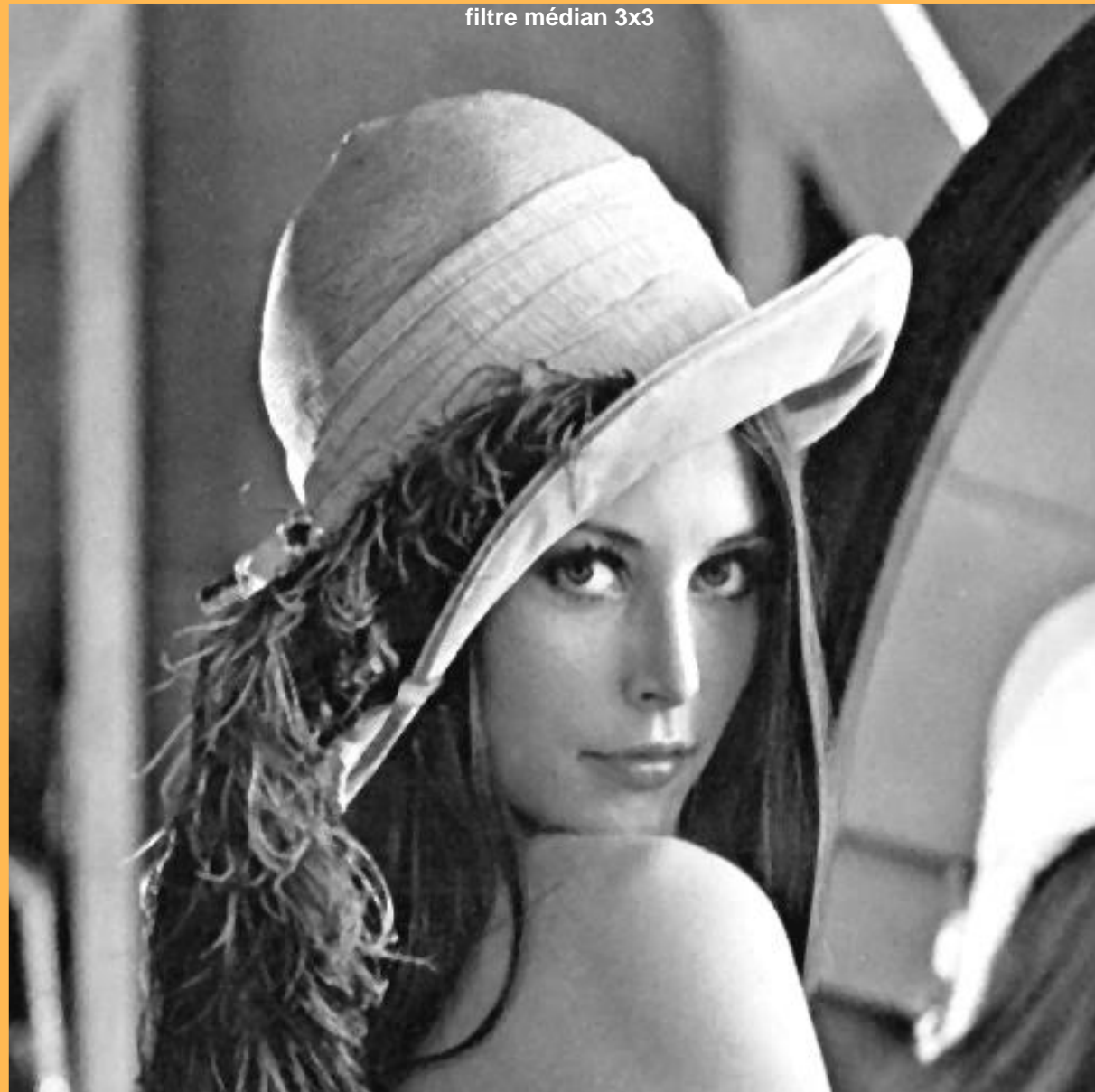
bruit gaussien $\sigma=0,4$ amplitude=150 densité=30



filtre médian 5x5



filtre médian 3x3



bruit gaussien $\sigma=0,4$ amplitude=150 densité=30



filtre médian 3x3





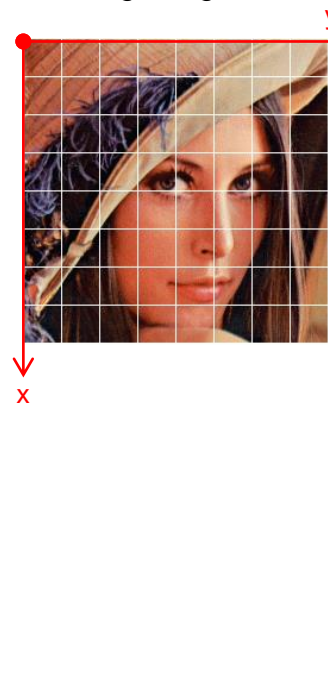
● Traitement géométrique

- transformations mathématiques simples
- modèles de déformation direct / inverse
- méthodes d'interpolation (PPV / bi-linéaire / bi-cubique / moyenne / majoritaire)
- transformations polynomiales: influence du degré – estimation par moindres carrés – résolution de systèmes d'équations linéaires
- transformations locales: l'orthorectification

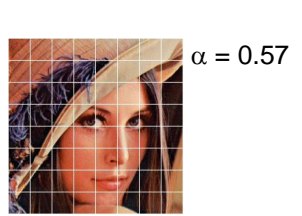
Traitement géométrique

Quelques transformations mathématiques simples

image originale



homothétie isotrope



$$\alpha = 0.57$$

homothétie anisotrope



$$\begin{cases} \alpha = 1 \\ \beta = 0.75 \end{cases}$$

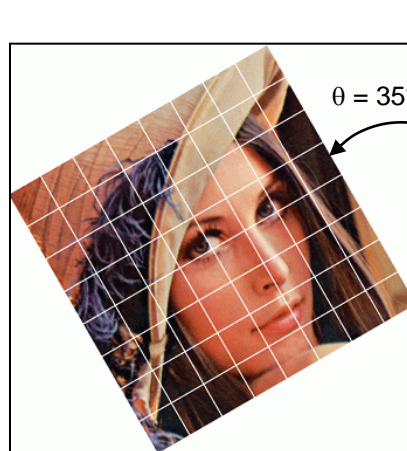
$$\alpha = 1.43$$

$$Y$$



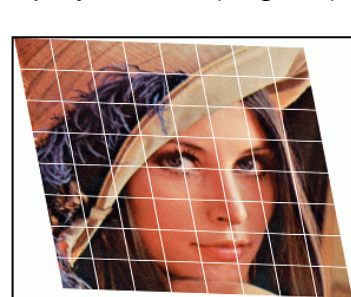
$$\alpha = 0.75 \quad \beta = 1$$

rotation



$$\theta = 35^\circ$$

polynomiale (degré 1)



$$\begin{cases} X = 4.18 + 0.83 \cdot x + 0.03 \cdot y \\ Y = -2.88 + 0.16 \cdot x + 0.96 \cdot y \end{cases}$$

La rotation est une fonction polynomiale de degré 1 particulière

MDD
Modèle de Déformation Directe

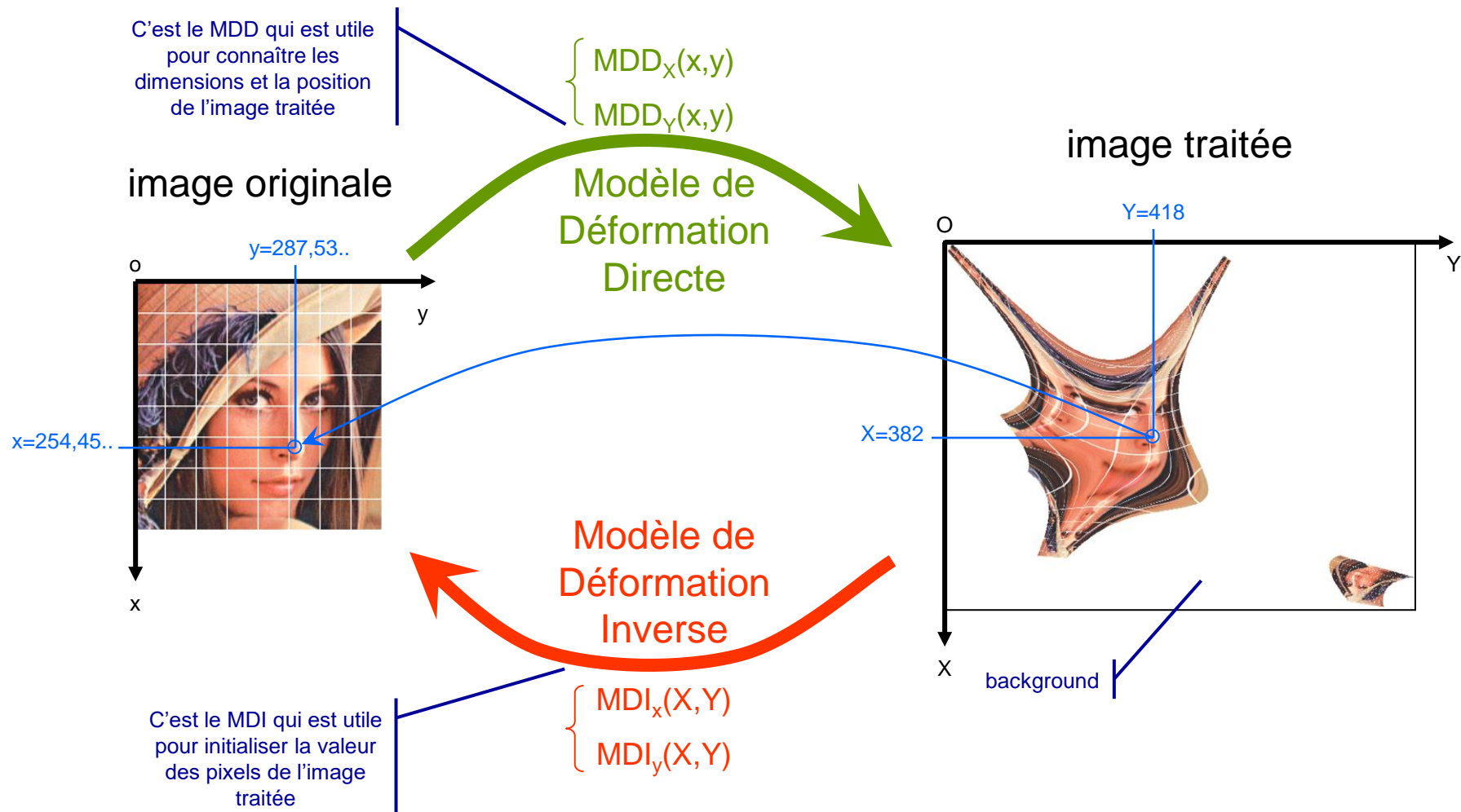
$$\begin{cases} X = MDD_X(x,y) = \alpha \times x \\ Y = MDD_Y(x,y) = \alpha \times y \end{cases}$$

$$\begin{cases} X = \alpha \times x \\ Y = \beta \times y \end{cases}$$

$$\begin{cases} X = X_0 + \cos(\theta) \times x - \sin(\theta) \times y \\ Y = Y_0 + \sin(\theta) \times x + \cos(\theta) \times y \end{cases}$$

$$\begin{cases} X = a_0 + a_1 \times x + a_2 \times y \\ Y = b_0 + b_1 \times x + b_2 \times y \end{cases}$$

Modèles de déformation directe (MDD) et inverse (MDI)





Quelques transformations mathématiques simples

Le modèle de déformation inverse

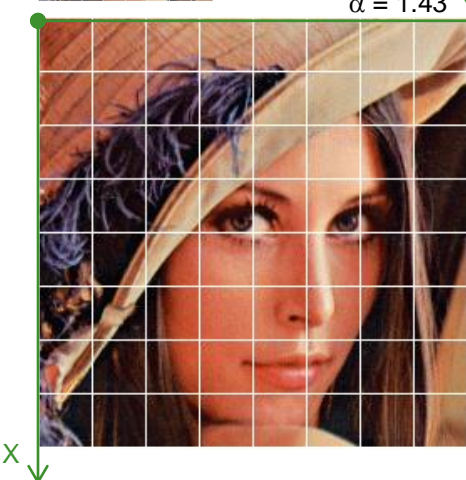
image originale



homothétie isotrope

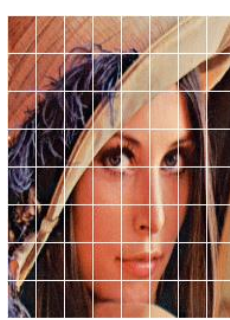


$$\alpha = 0.57$$



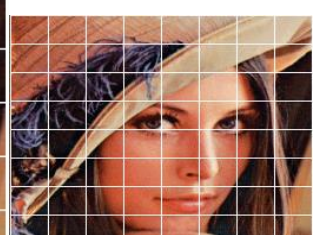
$$\alpha = 1.43$$

homothétie anisotrope



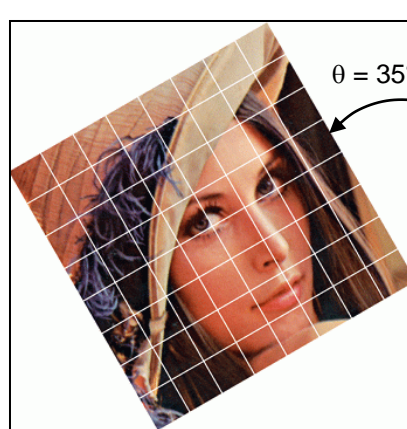
$$a = 1$$

$$\beta = 0.75$$



$$a = 0.75 \quad \beta = 1$$

rotation



$$\theta = 35^\circ$$

polynomiale (degré 1)



$$\begin{cases} X = 4.18 + 0.83 \cdot x + 0.03 \cdot y \\ Y = -2.88 + 0.16 \cdot x + 0.96 \cdot y \end{cases}$$

$$\begin{cases} x = -5.18 + 1.21 \cdot X - 0.04 \cdot Y \\ y = 3.87 - 0.20 \cdot X + 1.05 \cdot Y \end{cases}$$

$$\text{MDI} ? = \text{MDD}^{-1}$$

Attention: Toutes les transformations ne sont pas toujours inverses.

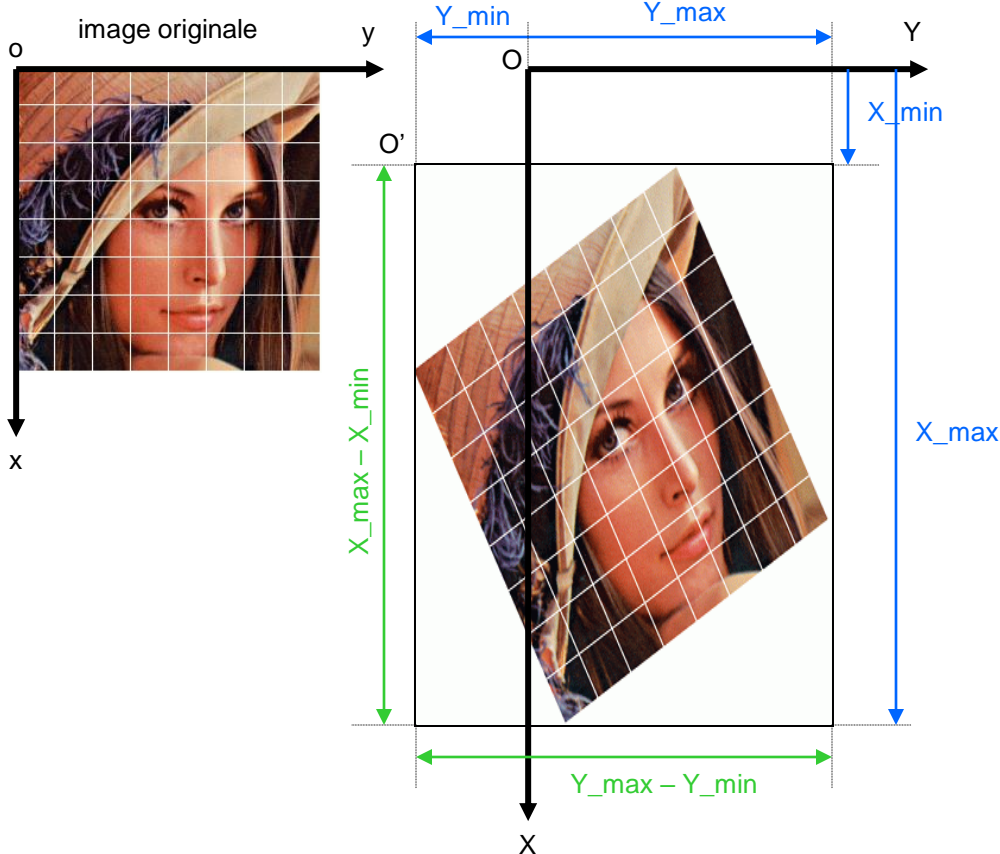
Par exemple, les polynômes de degré supérieur à 1 le sont rarement.

MDD Modèle de Déformation Directe	$\begin{cases} X = \text{MDD}_X(x,y) = \alpha \times x \\ Y = \text{MDD}_Y(x,y) = \alpha \times y \end{cases}$	$\begin{cases} X = \alpha \times x \\ Y = \beta \times y \end{cases}$	$\begin{cases} X = X_0 + \cos(\theta) \times x - \sin(\theta) \times y \\ Y = Y_0 + \sin(\theta) \times x + \cos(\theta) \times y \end{cases}$	$\begin{cases} X = a_0 + a_1 \times x + a_2 \times y \\ Y = b_0 + b_1 \times x + b_2 \times y \end{cases}$
MDI Modèle de Déformation Inverse	$\begin{cases} x = \text{MDI}_x(X,Y) = 1/\alpha \times X \\ y = \text{MDI}_y(X,Y) = 1/\alpha \times Y \end{cases}$	$\begin{cases} x = 1/\alpha \times X \\ y = 1/\beta \times Y \end{cases}$	$\begin{cases} x = \cos(\theta) \times (X-X_0) + \sin(\theta) \times (Y-Y_0) \\ y = -\sin(\theta) \times (X-X_0) + \cos(\theta) \times (Y-Y_0) \end{cases}$	$\begin{cases} x = \frac{(X-a_0).b_2 - (Y-b_0).a_2}{a_1.b_2 - a_2.b_1} \\ y = \frac{-(X-a_0).b_1 + (Y-b_0).a_1}{a_1.b_2 - a_2.b_1} \end{cases}$

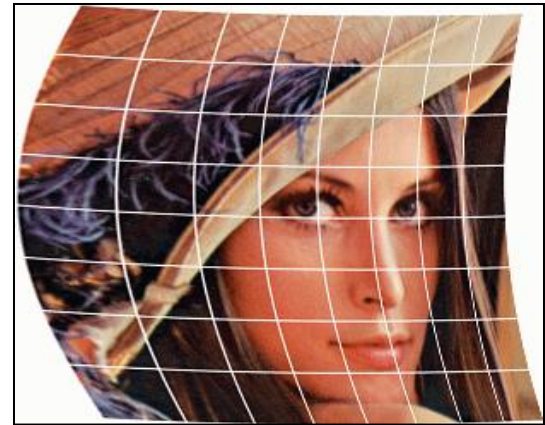
● Calculer la taille et la position de l'image traitée

à partir des valeurs X_{\min} , X_{\max} , Y_{\min} , Y_{\max} des transformées directes

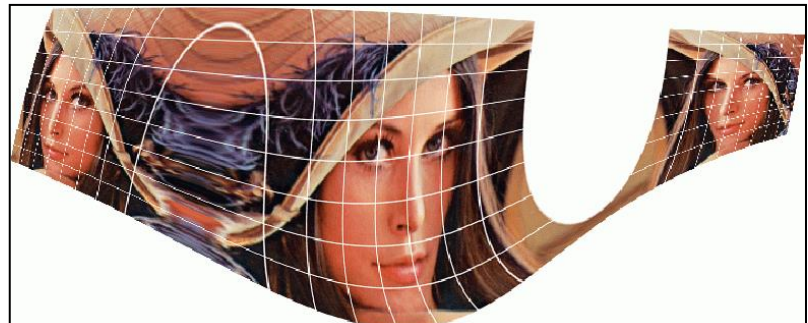
des 4 coins



des points du périmètre



de tous les points de l'image



Quelques transformations – « Best of MDI étudiants (1) »

« Sinus »

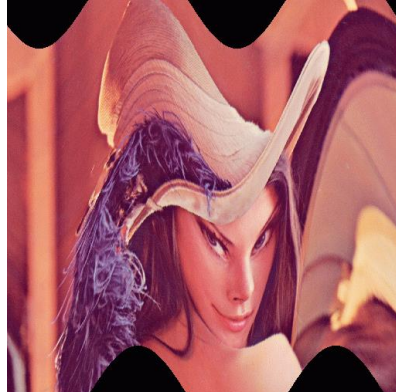
Serge RIAZANOFF - 2006



$$\begin{cases} x = X + 64 \times \sin\left(2\pi \times \frac{Y}{256}\right) \\ y = Y \end{cases}$$

« La Mesquine »

Maryline TRAN VAN BUU - 2008



$$\begin{cases} x = X + 64 \times \sin\left(2\pi \times \frac{Y+150}{256}\right) \\ y = Y \end{cases}$$

« Vagues à l'âme » (A=5 T=20)

Grégoire MAZABRAUD - 2006



$$\begin{cases} x = X + A \times \sin\left(2\pi \times \frac{Y}{T}\right) \\ y = Y + A \times \sin\left(2\pi \times \frac{X}{T}\right) \end{cases}$$

« Spirale à l'œil »

Larry GEROMEGNACE - 2007



$$\begin{cases} x_2 = X - 256 \\ y_2 = Y - 256 \end{cases} \quad \begin{cases} x_i = \cos(\theta).x_2 + \sin(\theta).y_2 \\ y_i = -\sin(\theta).x_2 + \cos(\theta).y_2 \end{cases} \quad \begin{cases} x = x_i + 256 \\ y = y_i + 256 \end{cases}$$

$$\theta = \frac{50}{\sqrt{x_2^2 + y_2^2}}$$

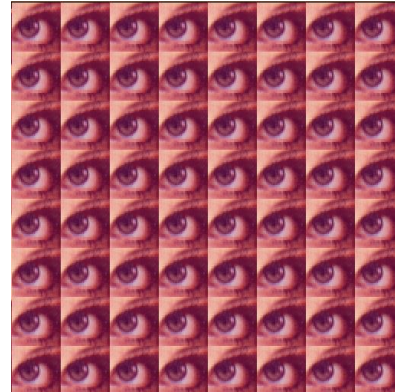
« Vitre de salle de bains »
Guillaume ROUSSEL - 2006



« Persiennes » (A=3 T=20)
Yannis JULIENNE - 2006



« Modulo des yeux »
Julien LEROY - 2008



$$\begin{cases} x = [X + (X \% 30)] \% 512 \\ y = [Y + (Y \% 30)] \% 512 \end{cases}$$

$$\begin{cases} x = X \\ y = Y + A \times \tan\left(2\pi \times \frac{x}{T}\right) \end{cases}$$

$$\begin{cases} x = 258 + \frac{X}{2} \% 32 \\ y = 317 + \frac{Y}{2} \% 32 \end{cases}$$

Photo de Vico déconvolée par Interpol (octobre 2007)
http://afp.google.com/article/ALEqM5hpWnb9TTBQK3z_3LnsjdJXdt1UGg



◆ Quelques transformations – « Best of MDI étudiants (2) »

« Reflets amortis »

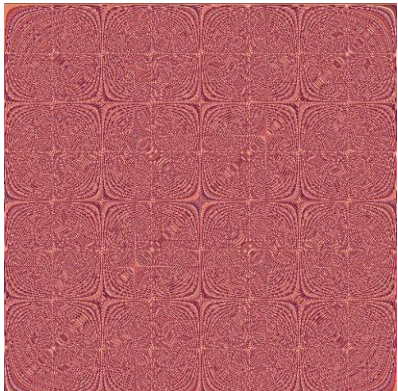
Emmanuel THOMAS - 2006



$$\begin{cases} x = \frac{|X + 100 \times \sin(\sqrt{X})| + 170}{1.5} - 50 \\ y = \frac{Y}{1.5} + 75 \end{cases}$$

« Modulo du produit » ($\square=1$)

Gérard TAN - 2007



$$\begin{cases} x = \left[X \times \frac{Y}{\alpha} \right] \% 512 \\ y = \left[Y \times \frac{X}{\alpha} \right] \% 512 \end{cases}$$

« Lèvres en coin »

Jacques POULAIN - 2007



$$\begin{cases} x = 100 \times \log[2 \times \sqrt{X}] \\ y = 100 \times \log[2 \times \sqrt{Y}] \end{cases}$$

« Presque de face »

Etienne SCHROEDER - 2007



$$\begin{cases} x = \frac{X \times \left[1 + \frac{|X - 333|}{60} \right] - X}{5.5} + 222 \\ y = \frac{Y \times \left[1 + \frac{|Y - 333|}{60} \right] - Y}{5.5} + 222 \end{cases}$$

« Léna et ses soeurs »

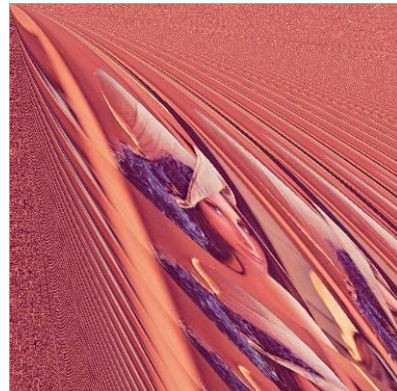
Daniel DA COSTA - 2008



$$\begin{cases} x = X \\ y = [(512 - (Y \% 115)) - 110] \end{cases}$$

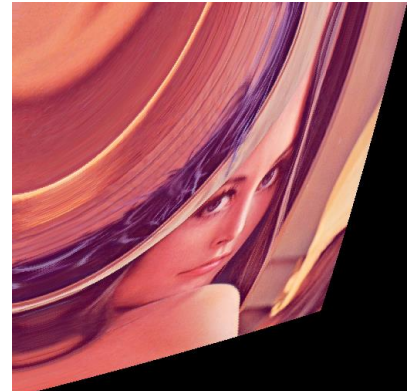
« Dunes »

Guillaume ROUSSEL - 2006



« Degré 2 »

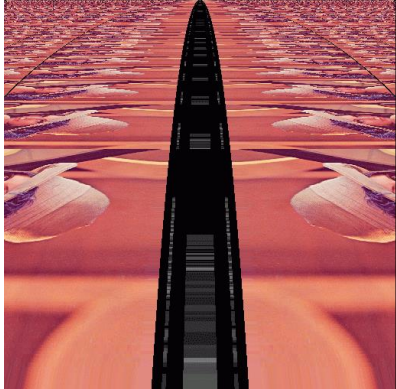
Frédéric DELABOT - 2007



$$\begin{cases} x = \frac{X^2 + Y}{512} \\ y = \frac{X}{2} + \frac{Y^2}{512} \end{cases}$$

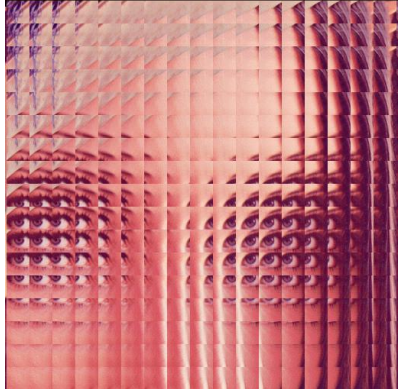
Quelques transformations – « Best of MDI étudiants (3) »

« Avenue Léna »
Vincent COUBRAY - 2006



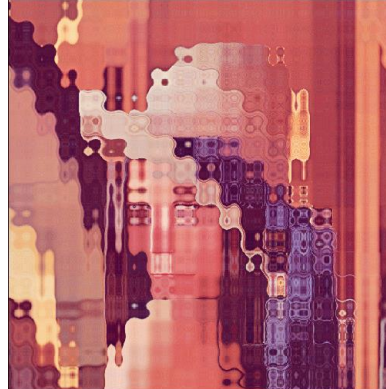
$$\begin{cases} x = \frac{(Y - 256)^2}{X} \% 512 \\ y = \frac{(X - 512)^2}{X} \% 512 \end{cases}$$

« T'as d'beaux yeux »
Xavier MALAC - 2008



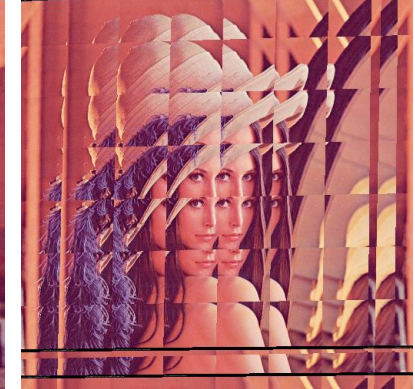
$$\begin{cases} x = \frac{X + 4 \times [251 + (X \% 30)]}{5} \\ y = \frac{Y + 4 \times [312 + (Y \% 30)]}{5} \end{cases}$$

« Effet cire »
Carl RENGOUWA - 2008



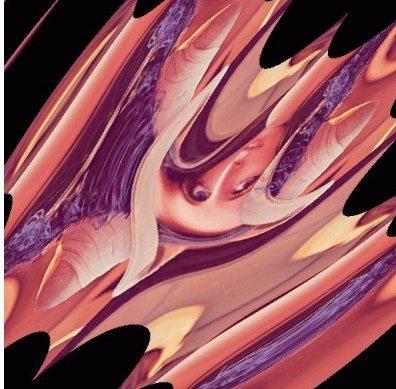
$$\begin{cases} x = X + 10 \times \sin(\pi \times \frac{X}{15}) \\ y = (512 - Y) + 10 \times \cos(\pi \times \frac{512 - Y}{15}) \end{cases}$$

« Léna module modulo »
Mohamed MOUNIROU - 2008



$$\begin{cases} x = \left[\left(\sqrt{X^2 + Y^2} + X \right) \% 70 \right] + X \% 512 \\ y = \left[\left(\sqrt{X^2 + Y^2} + Y \right) \% 70 \right] + Y \% 512 \end{cases}$$

« Fantôme »
Maxime GOURDON - 2009



$$\begin{cases} x_2 = X - 256 \\ y_2 = Y - 256 \end{cases} \quad \begin{cases} x_1 = \cos(\theta).x_2 + \sin(\theta).y_2 \\ y_1 = -\sin(\theta).x_2 + \cos(\theta).y_2 \end{cases} \quad \begin{cases} x = x_1 + 266 \\ y = y_1 + 327 \end{cases}$$

$$\theta = (X + Y) \times \frac{\pi}{180}$$

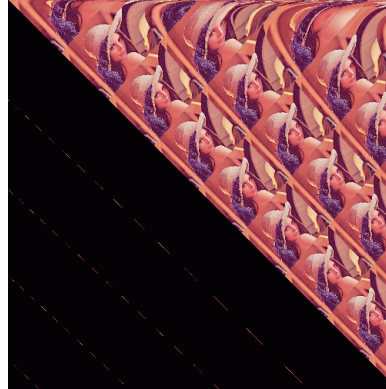
« Biche »
Nicolas CARRIER - 2009



$$\begin{cases} x = X + \frac{10240}{\sqrt{2}} \times d \times \cos\left(\frac{d}{15}\right) \\ y = Y + \frac{10240}{\sqrt{2}} \times d \times \sin\left(\frac{d}{15}\right) \end{cases}$$

$$d = |X - 256| + (Y - 256)^2$$

« Arc en ciel »
Mathieu MAZZOLINI - 2009



$$\begin{cases} x_1 = \cos(\theta).X + \sin(\theta).Y \\ y_1 = -\sin(\theta).X + \cos(\theta).Y \end{cases} \quad \begin{cases} x = E[x_1 / 2 \times \log(500 \times Y)] \% X \\ y = E[y_1 / 2 \times \log(500 \times X)] \% Y \end{cases}$$

Récuratif : $\theta \leftarrow 0$ boucle : $\theta \leftarrow E(\theta + 45) \times \frac{\pi}{180}$

« Arc en ciel »
Mathieu MAZZOLINI - 2009



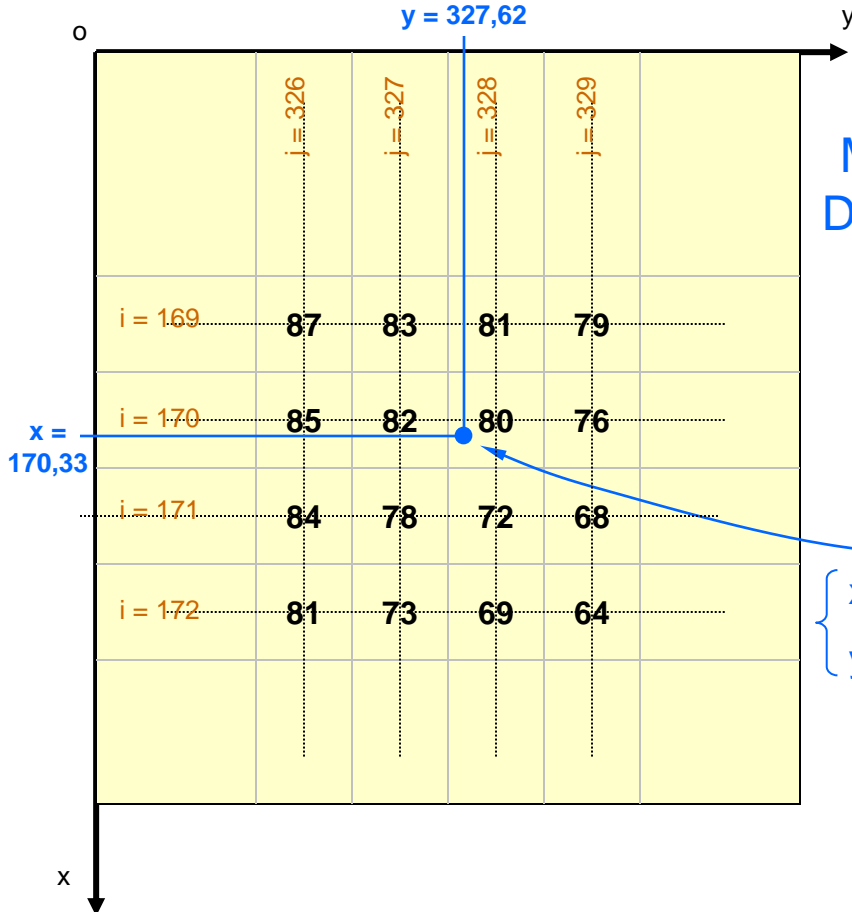
$$\begin{cases} x_2 &= X - 256 \\ y_2 &= Y - 256 \end{cases} \quad \begin{cases} x_1 &= \cos(\theta).x_2 + \sin(\theta).y_2 \\ y_1 &= -\sin(\theta).x_2 + \cos(\theta).y_2 \end{cases} \quad \begin{cases} x &= x_1 \cdot \cos\left(\frac{X}{Y+1}\right) + Y \\ y &= y_1 \cdot \sin\left(\frac{X}{Y+1}\right) + X \end{cases}$$

$$\theta = \frac{\cos(X)}{\sin(Y+1)} \times \frac{\pi}{180}$$



● Méthodes d'interpolation

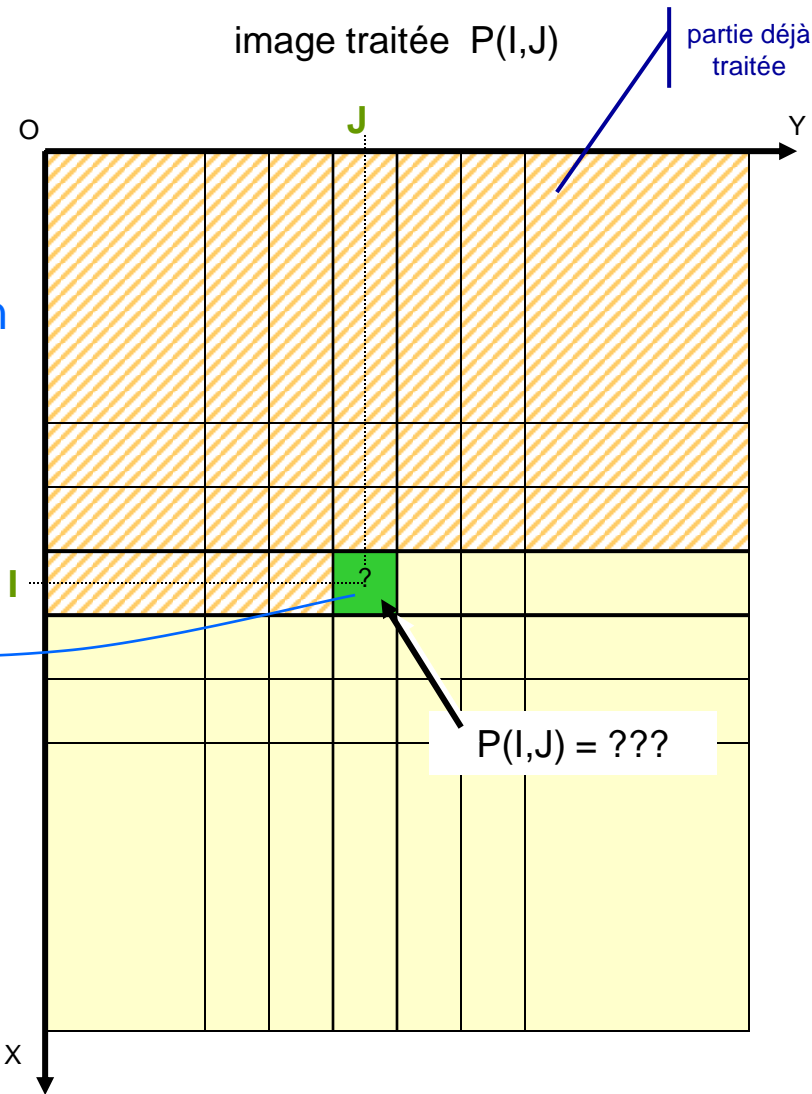
image originale $O(i,j)$



Modèle de
Déformation
Inverse

$$\begin{cases} x = MDI_x(I,J) \\ y = MDI_y(I,J) \end{cases}$$

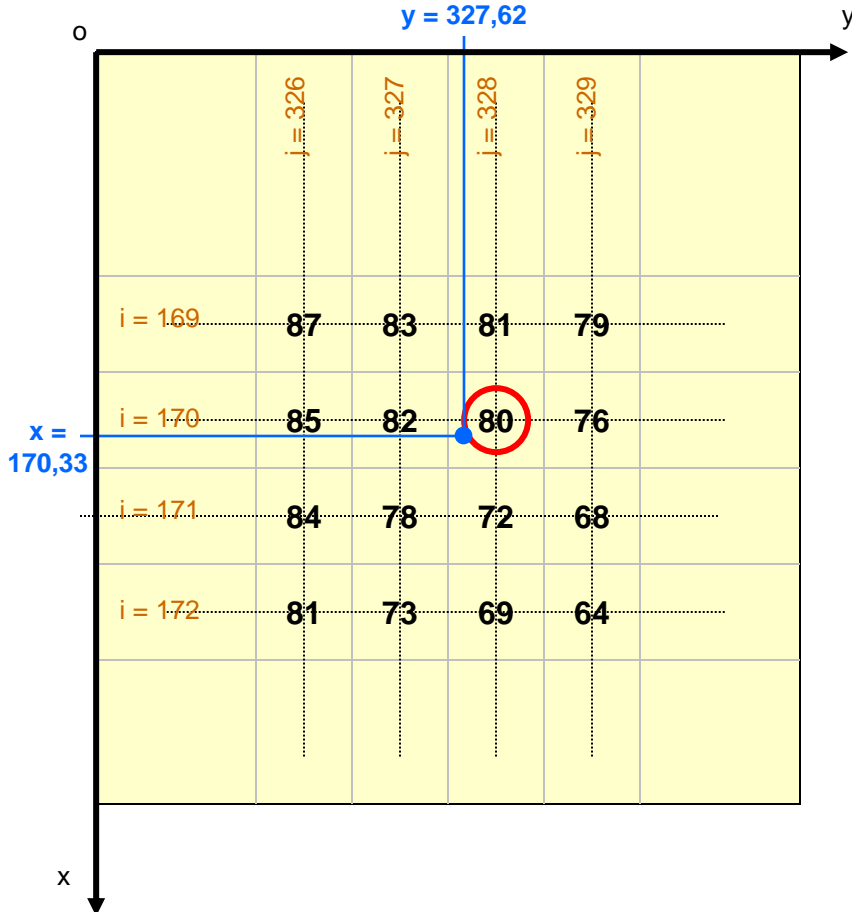
image traitée $P(I,J)$





■ Plus proche voisin (PPV) – « Nearest neighbour (NN) »

image originale $O(i,j)$

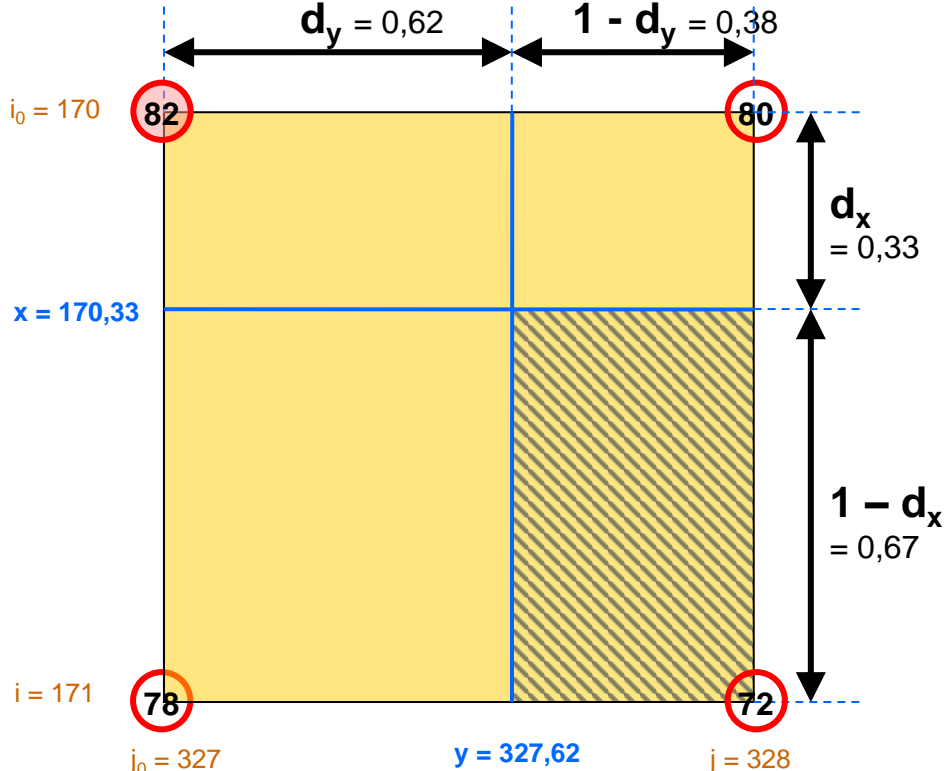
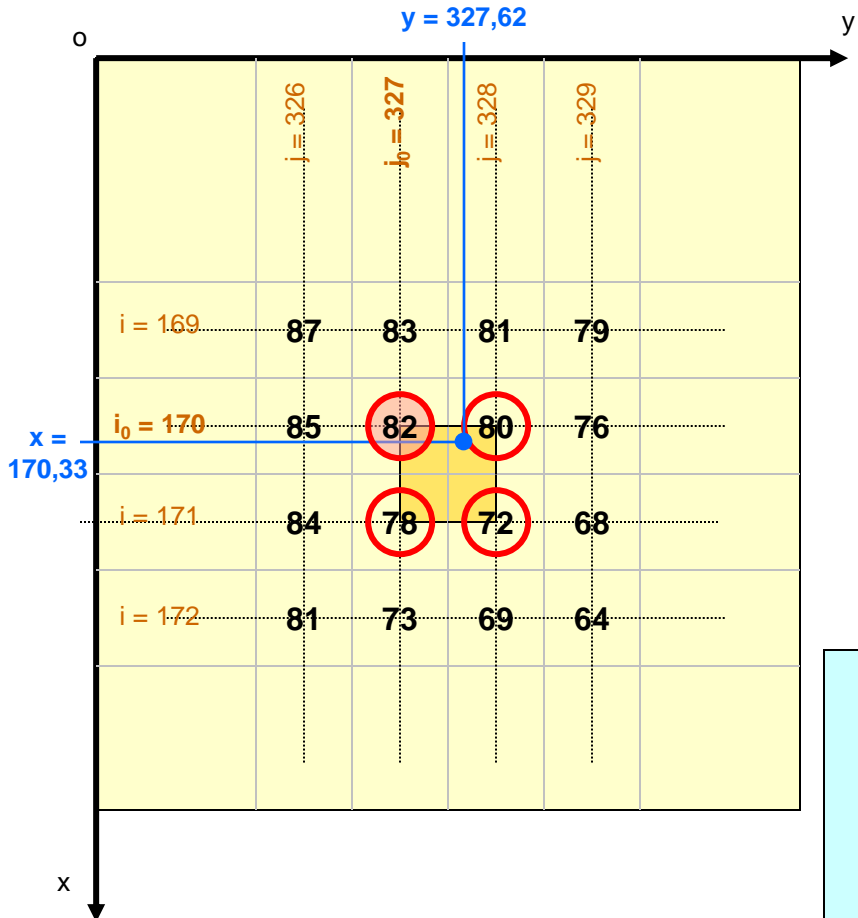


$$P(I, J) \leftarrow O[\text{Arrondi}(x), \text{Arrondi}(y)]$$



- Interpolation bilinéaire (BL)

image originale $O(i,j)$

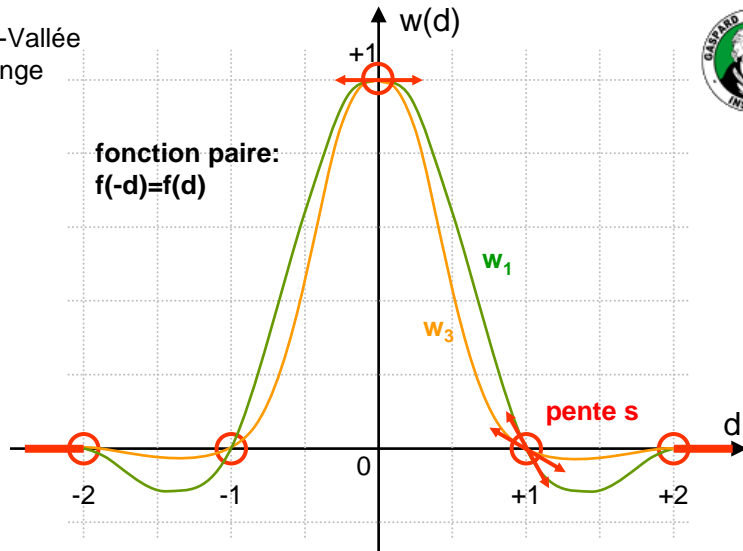
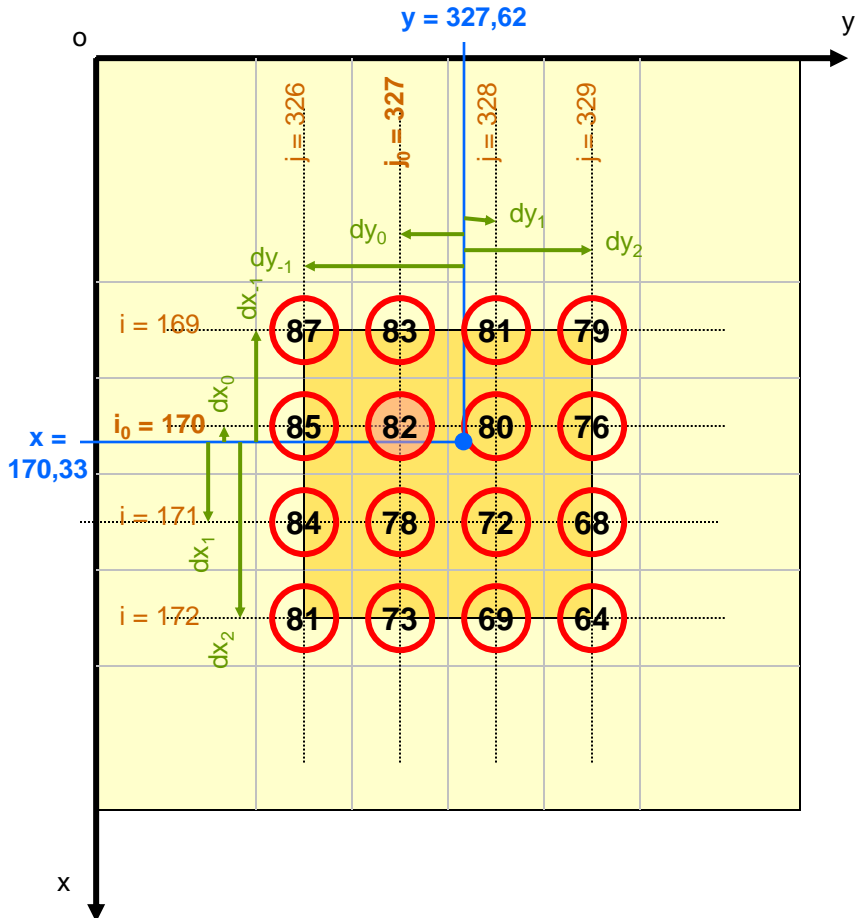


$$\begin{aligned} P(I,J) &\leftarrow O(i_0, j_0) \times (1-d_x) \times (1-d_y) \\ &+ O(i_0+1, j_0) \times d_x \times (1-d_y) \\ &+ O(i_0, j_0+1) \times (1-d_x) \times d_y \\ &+ O(i_0+1, j_0+1) \times d_x \times d_y \end{aligned}$$



■ Interpolation bi-cubique (BC)

image originale $O(i,j)$



$$w_1(d) = \begin{cases} 1 - (s+3).d^2 + (s+2).|d^3| & 0 \leq |d| \leq 1 \\ -4s + 8s.|d| - 5s.d^2 + s.|d^3| & 1 < |d| \leq 2 \\ 0 & 2 < |d| \end{cases}$$

$$w_2(d) = \begin{cases} 1 - 2.d^2 + |d^3| & 0 \leq |d| \leq 1 \\ 4 - 8.|d| + 5.d^2 - |d^3| & 1 < |d| \leq 2 \\ 0 & 2 < |d| \end{cases}$$

$$w_3(d) = \begin{cases} 1 - 1/2.[5.d^2 - 3.|d^3|] & 0 \leq |d| \leq 1 \\ 1/2.[4 - 8.|d| + 5.d^2 - |d^3|] & 1 < |d| \leq 2 \\ 0 & 2 < |d| \end{cases}$$

$$w_4(d) = \begin{cases} 1 - 11/4.d^2 + 7/4.|d^3| & 0 \leq |d| \leq 1 \\ 1 - 2.|d| + 5/4.d^2 - 1/4.|d^3| & 1 < |d| \leq 2 \\ 0 & 2 < |d| \end{cases}$$

Forme générique (splines)

[Feuille de calcul \(tableur\)](#)

pente $s = -1$

pente $s = -1/2$

pente $s = -1/4$

$$P(I, J) \leftarrow \frac{\sum_{k=-1}^{+2} w(dx_k) \times \left[\sum_{l=-1}^{+2} [w(dy_l) \times O(i_0 + k, j_0 + l)] \right]}{\sum_{k=-1}^{+2} [w(dx_k)] \times \sum_{l=-1}^{+2} [w(dy_l)]}$$



- Comparaison des méthodes d'interpolation - Résultats

Plus Proche Voisin (NN)



Bi-Linéaire (BL)



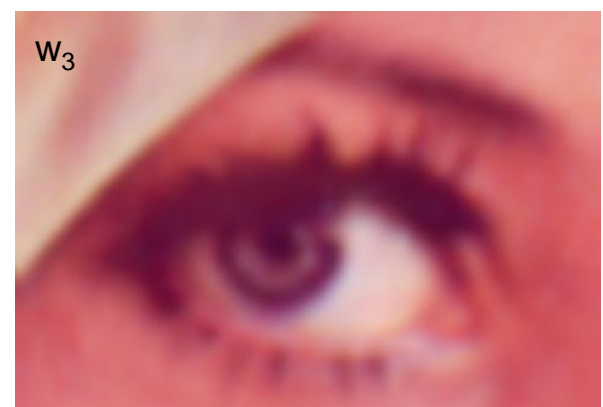
w_1



w_2



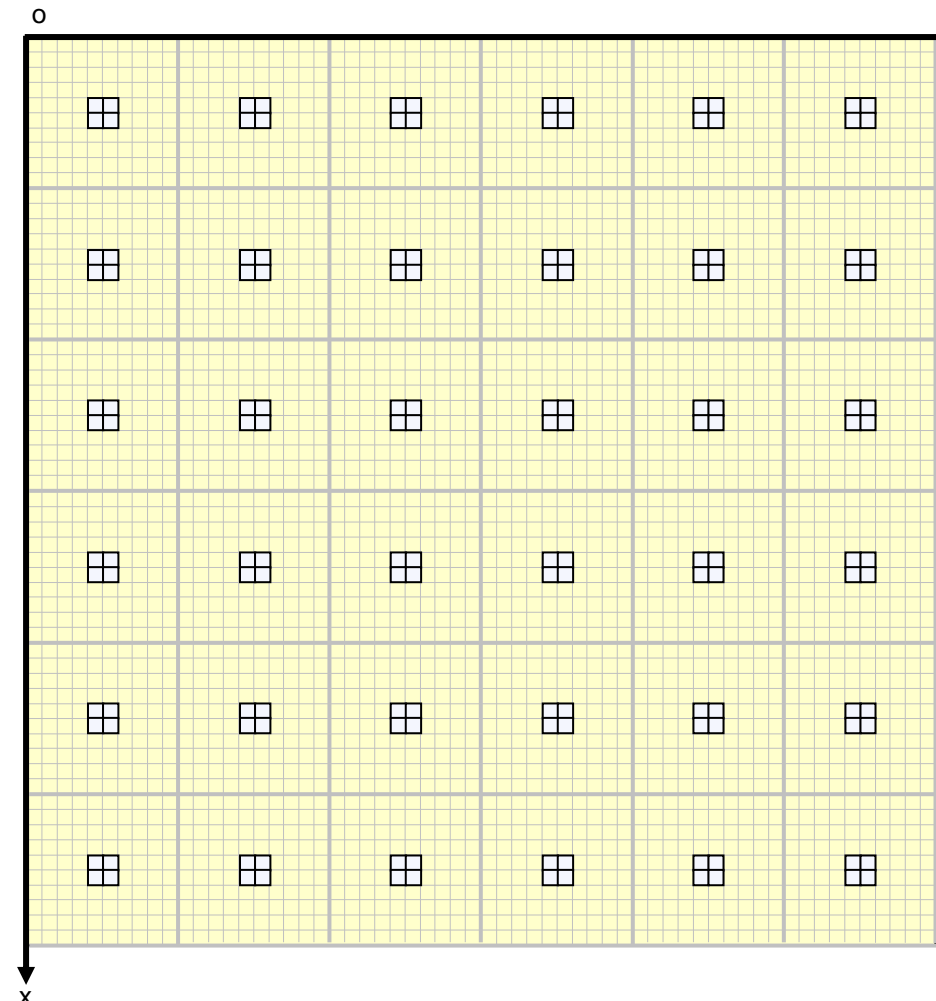
w_3



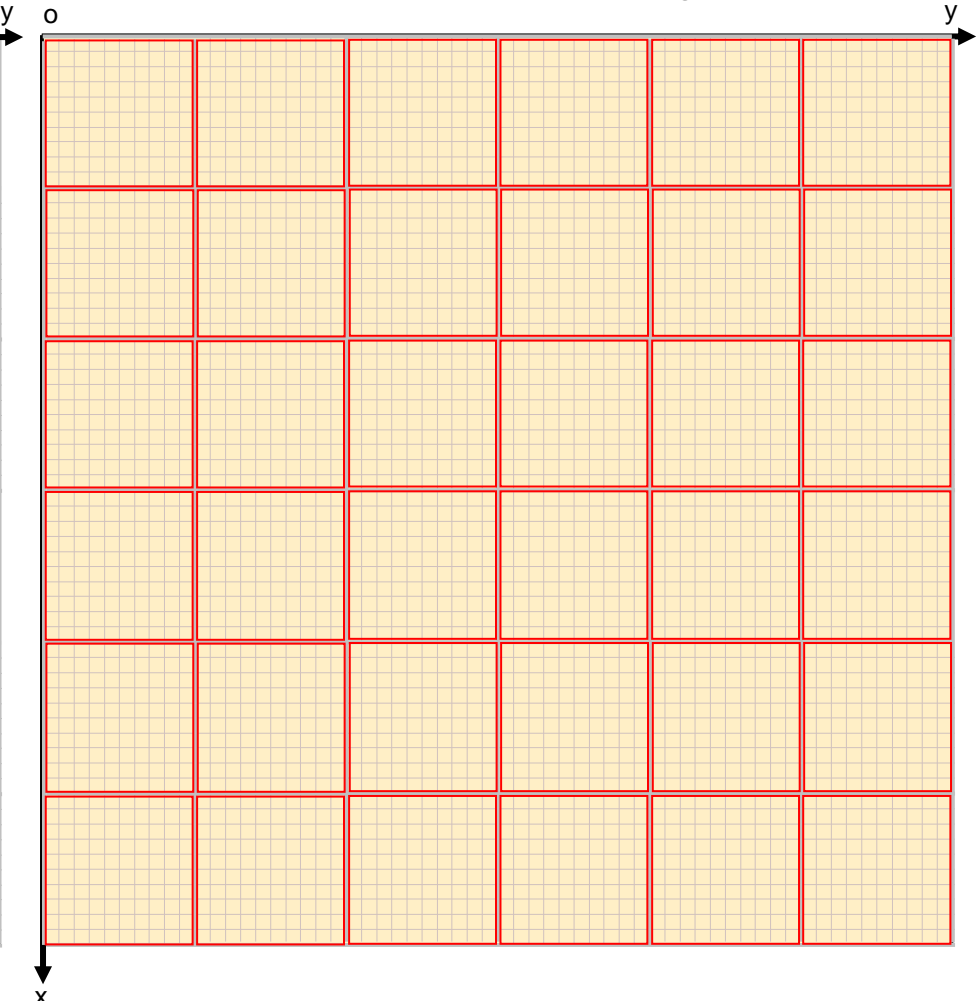


■ Interpolation moyenne

Exemple d'interpolation bi-linéaire (2x2)
pour un facteur de ré-échantillonnage de 0,1



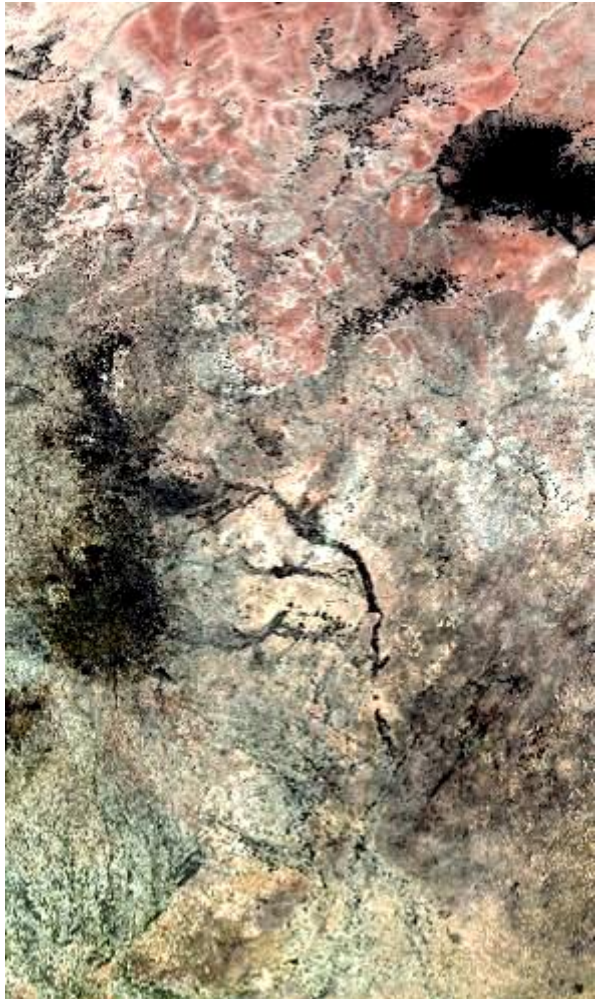
Exemple d'interpolation moyenne (10x10)
pour un facteur de ré-échantillonnage de 0,1



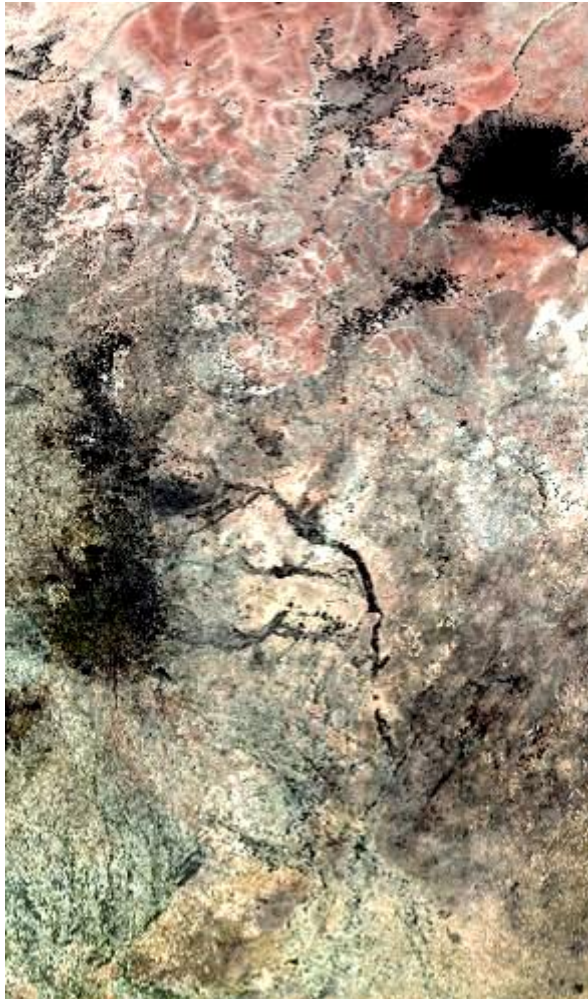
■ Interpolation moyenne – Exemple

Mosaïque du Darfour – Instrument DMC, acquisition décembre 2009 – Echantillonnage à 0,02

Plus proche voisin



Bi-cubique



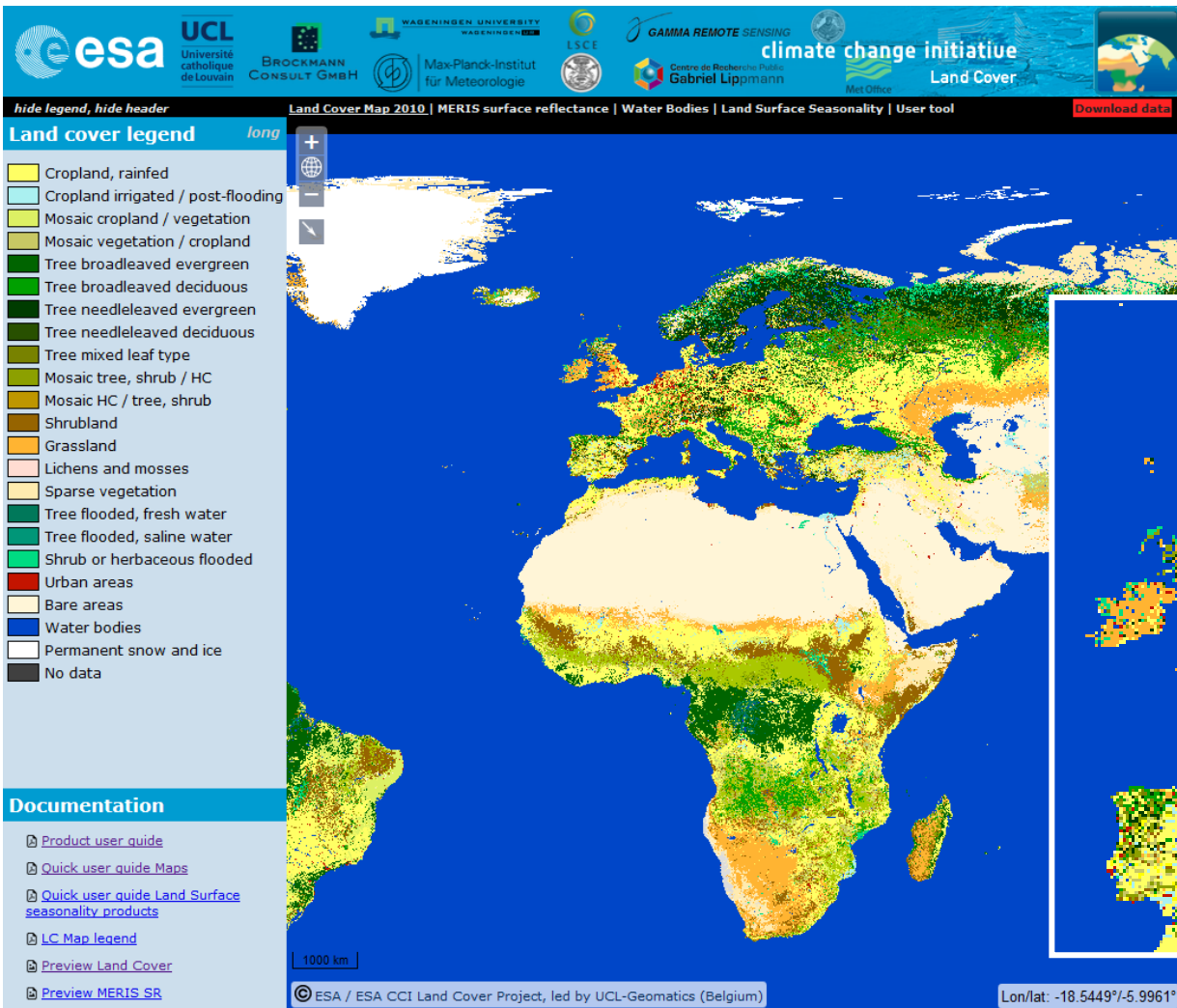
Moyenne





■ Interpolation majoritaire – Le plus proche voisin

Image thématique et LUT associée – Le problème de l'interpolation numérique



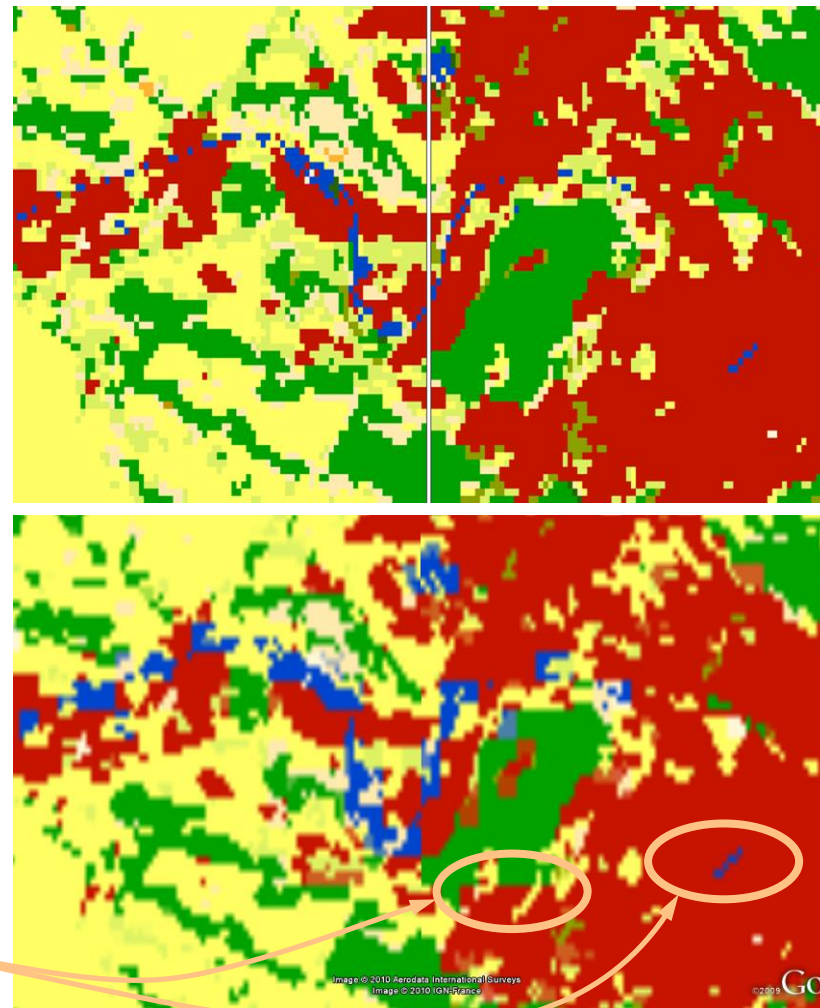
<http://maps.elie.ucl.ac.be/CCI/viewer/index.php>



■ Interpolation majoritaire – La somme d'indices ?

Image thématique et LUT associée – Le problème de l'interpolation numérique

Tuiles de la collection
GlobCover illustrant
l'occupation du sol

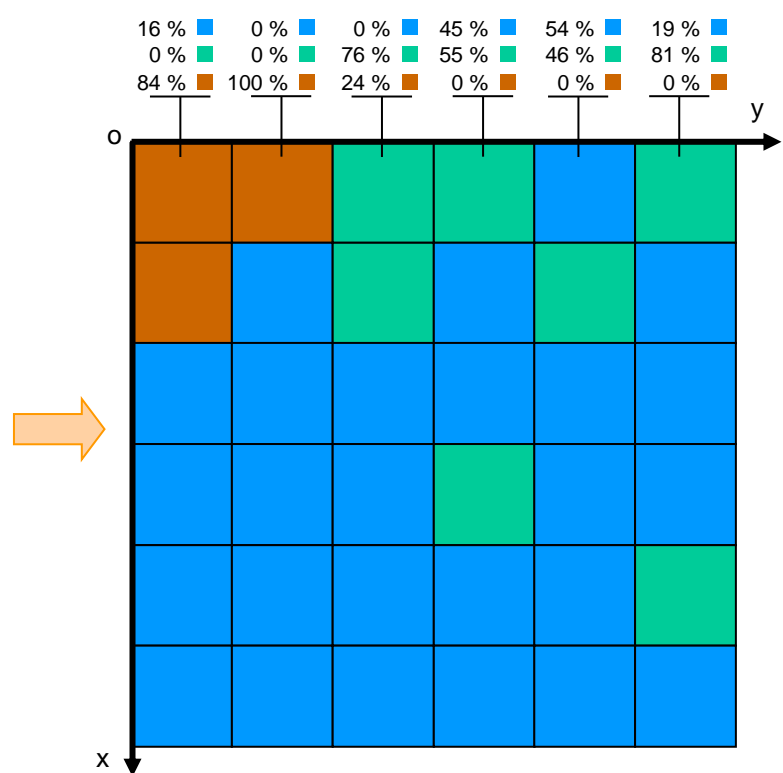
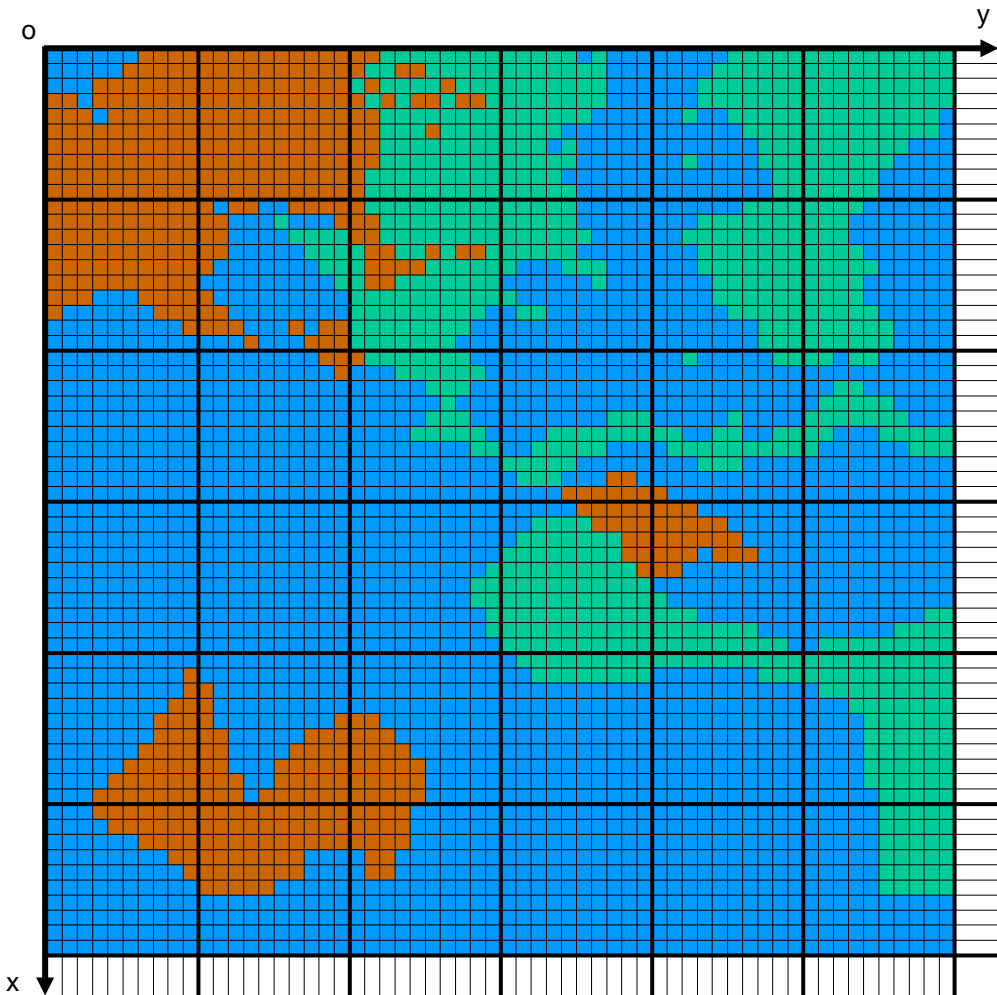


Vue de GlobCover
dans Google Earth

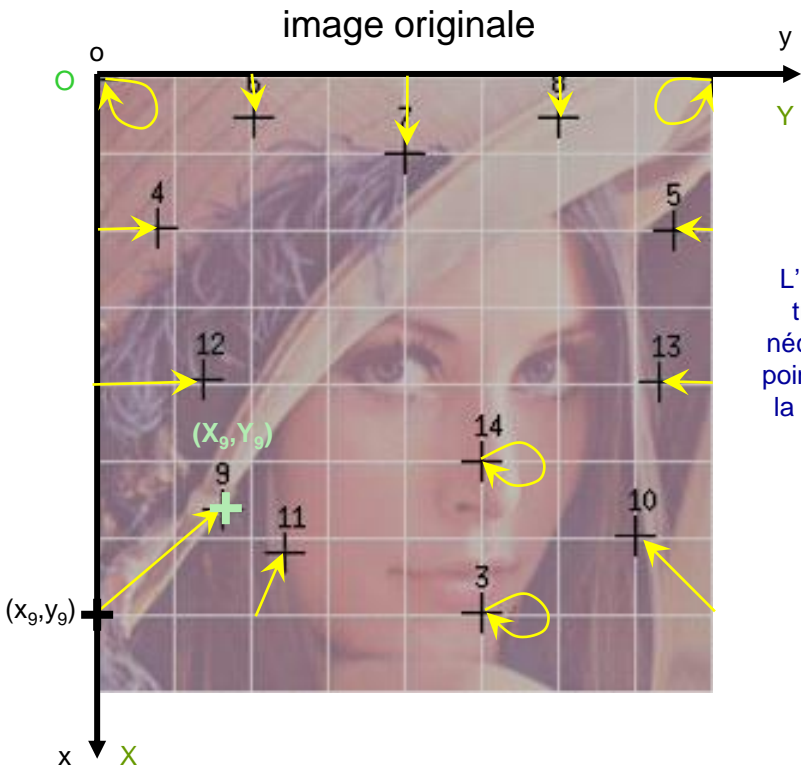
couleurs interpolées
erronées

■ Interpolation majoritaire

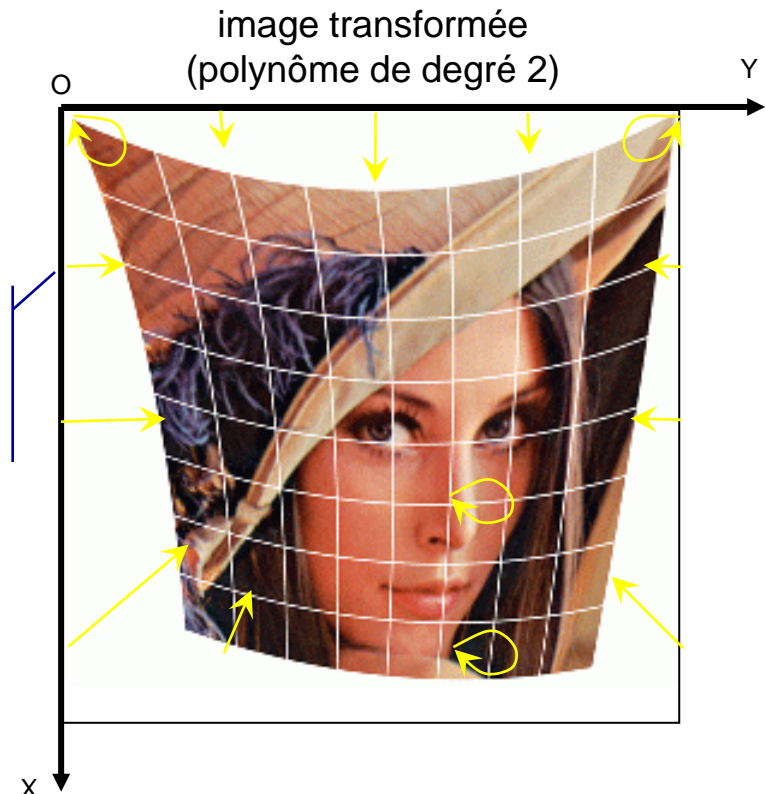
Exemple d'interpolation moyenne (10x10) pour un facteur de ré-échantillonnage de 0,1



- ❖ Transformation géométrique contrôlée par des points d'appui
- Saisie des couples de points



L'interpolation ne transforme pas nécessairement les points exactement à la position désirée



Points d'appui: $((x_i, y_i), (X_i, Y_i))$, $i=1 \dots N$

ou « points de contrôle »

Position originale

Position désirée

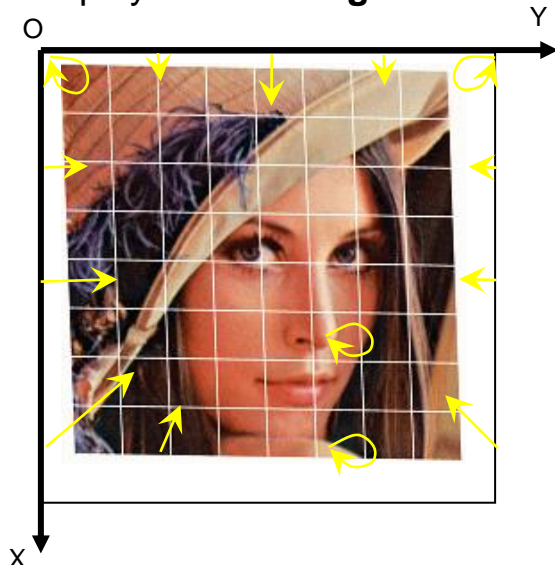
$$\begin{aligned} X &= a_0 + a_1 \times x + a_2 \times y + a_3 \times x^2 + a_4 \times xy + a_5 \times y^2 \\ Y &= b_0 + b_1 \times x + b_2 \times y + b_3 \times x^2 + b_4 \times xy + b_5 \times y^2 \end{aligned}$$

Pour chaque axe, 6 inconnues 6 points d'appui minimum



Influence du degré des transformations polynômiales

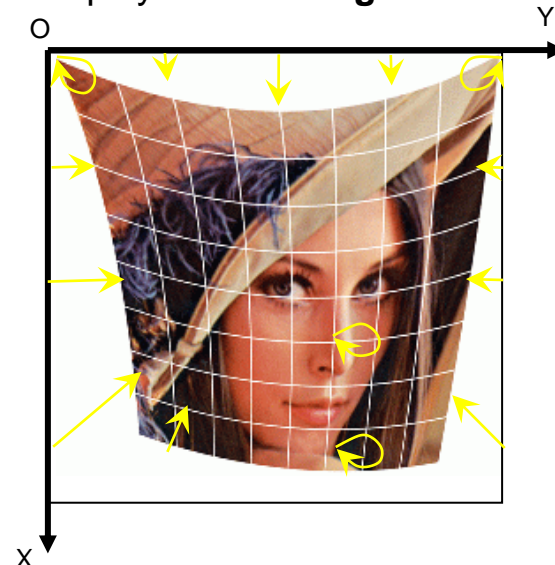
polynôme de **degré 1**



Pour chaque axe, **3 inconnues**

$$\begin{cases} X = a_0 + a_1 \times x + a_2 \times y \\ Y = b_0 + b_1 \times x + b_2 \times y \end{cases}$$

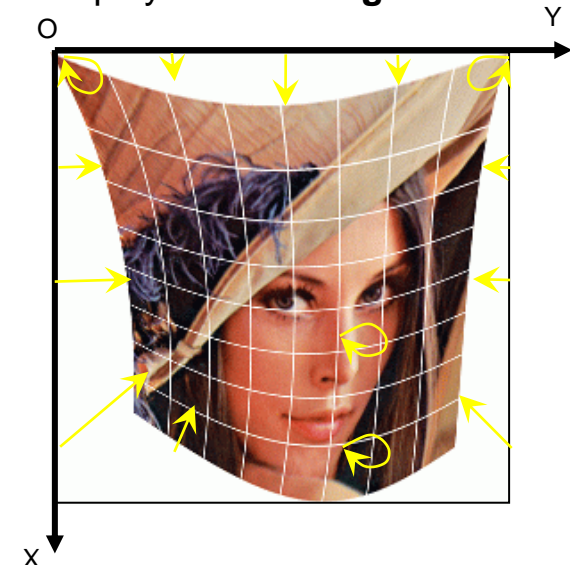
polynôme de **degré 2**



Pour chaque axe, **6 inconnues**

$$\begin{cases} X = a_0 + a_1 \times x + a_2 \times y + a_3 \times x^2 + a_4 \times xy + a_5 \times y^2 \\ Y = b_0 + b_1 \times x + b_2 \times y + b_3 \times x^2 + b_4 \times xy + b_5 \times y^2 \end{cases}$$

polynôme de **degré 3**



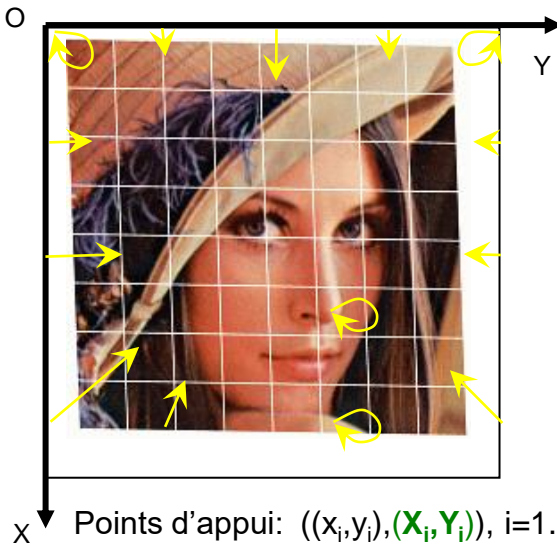
Pour chaque axe, **10 inconnues**

$$\begin{cases} X = a_0 + a_1 \times x + a_2 \times y + a_3 \times x^2 + a_4 \times xy + a_5 \times y^2 + a_6 \times x^3 + a_7 \times x^2 y + a_8 \times xy^2 + a_9 \times y^3 \\ Y = b_0 + b_1 \times x + b_2 \times y + b_3 \times x^2 + b_4 \times xy + b_5 \times y^2 + b_6 \times x^3 + b_7 \times x^2 y + b_8 \times xy^2 + b_9 \times y^3 \end{cases}$$



■ Estimation de la transformation par la méthode des « moindres carrés »

Exemple: polynôme de degré 1



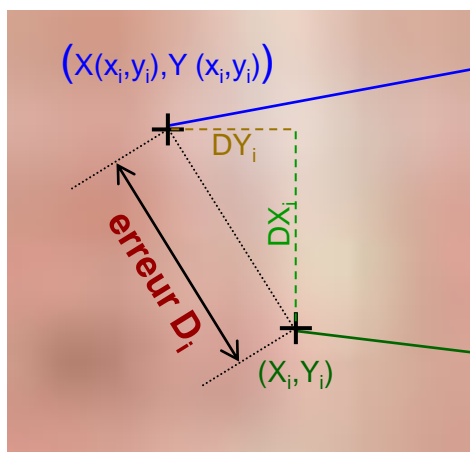
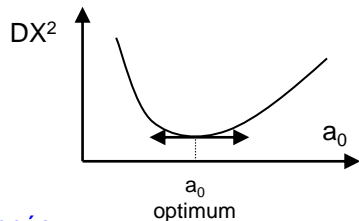
$$D_i = \sqrt{DX_i^2(a_0, a_1, a_2) + DY_i^2(b_0, b_1, b_2)}$$

Minimiser $D_i \Rightarrow$ minimiser DX_i et minimiser DY_i

$$\begin{aligned} DX_i^2(a_0, a_1, a_2) &= [X(x_i, y_i) - X_i]^2 \\ &= [(a_0 + a_1 x_i + a_2 y_i) - X_i]^2 \\ &= [a_0^2 + a_1^2 x_i^2 + a_2^2 y_i^2 + X_i^2 + 2a_0 a_1 x_i + 2a_0 a_2 y_i - 2a_0 X_i + 2a_1 a_2 x_i y_i - 2a_1 x_i X_i - 2a_2 y_i X_i] \end{aligned}$$

Trouver (a_0, a_1, a_2) minimisant l'erreur quadratique moyenne

$$\begin{aligned} DX^2(a_0, a_1, a_2) &= \frac{1}{N} \times \sum_{i=1}^N DX_i^2(a_0, a_1, a_2) \\ &= \frac{1}{N} \times \sum_{i=1}^N [a_0^2 + a_1^2 x_i^2 + a_2^2 y_i^2 + X_i^2 + 2a_0 a_1 x_i + 2a_0 a_2 y_i - 2a_0 X_i + 2a_1 a_2 x_i y_i - 2a_1 x_i X_i - 2a_2 y_i X_i] \end{aligned}$$



Position donnée par le modèle

$$\begin{cases} X(x, y) = a_0 + a_1 x + a_2 y \\ Y(x, y) = b_0 + b_1 x + b_2 y \end{cases}$$

Position désirée

$$\left\{ \begin{array}{l} \frac{\delta(DX^2(a_0, a_1, a_2))}{\delta a_0} = \frac{1}{N} \times \sum_{i=1}^N [2a_0 + 2a_1 x_i + 2a_2 y_i - 2X_i] = 0 \\ \Rightarrow a_0 \times N + a_1 \sum_{i=1}^N x_i + a_2 \sum_{i=1}^N y_i = \sum_{i=1}^N X_i \\ \\ \frac{\delta(DX^2(a_0, a_1, a_2))}{\delta a_1} = \frac{1}{N} \times \sum_{i=1}^N [2a_1 x_i^2 + 2a_0 x_i + 2a_2 x_i y_i - 2x_i X_i] = 0 \\ \Rightarrow a_0 \sum_{i=1}^N x_i + a_1 \sum_{i=1}^N x_i^2 + a_2 \sum_{i=1}^N x_i y_i = \sum_{i=1}^N x_i X_i \\ \\ \frac{\delta(DX^2(a_0, a_1, a_2))}{\delta a_2} = \frac{1}{N} \times \sum_{i=1}^N [2a_2 y_i^2 + 2a_0 y_i + 2a_1 x_i y_i - 2y_i X_i] = 0 \\ \Rightarrow a_0 \sum_{i=1}^N y_i + a_1 \sum_{i=1}^N x_i y_i + a_2 \sum_{i=1}^N y_i^2 = \sum_{i=1}^N y_i X_i \end{array} \right.$$



■ Résolution du système d'équations linéaires

Système de 3 équations à 3 inconnues

$$\begin{cases} a_0 \times N + a_1 \times \sum_{i=1}^N x_i + a_2 \times \sum_{i=1}^N y_i = \sum_{i=1}^N X_i \\ a_0 \times \sum_{i=1}^N x_i + a_1 \times \sum_{i=1}^N x_i^2 + a_2 \times \sum_{i=1}^N x_i y_i = \sum_{i=1}^N x_i X_i \\ a_0 \times \sum_{i=1}^N y_i + a_1 \times \sum_{i=1}^N x_i y_i + a_2 \times \sum_{i=1}^N y_i^2 = \sum_{i=1}^N y_i X_i \end{cases}$$

Notation matricielle: $A \otimes x = b$

$$\begin{pmatrix} N & \sum_{i=1}^N x_i & \sum_{i=1}^N y_i \\ \sum_{i=1}^N x_i & \sum_{i=1}^N x_i^2 & \sum_{i=1}^N x_i y_i \\ \sum_{i=1}^N y_i & \sum_{i=1}^N x_i y_i & \sum_{i=1}^N y_i^2 \end{pmatrix} \otimes \begin{pmatrix} a_0 \\ a_1 \\ a_2 \end{pmatrix} = \begin{pmatrix} \sum_{i=1}^N X_i \\ \sum_{i=1}^N x_i X_i \\ \sum_{i=1}^N y_i X_i \end{pmatrix}$$

Une des méthodes de résolution est la décomposition LU (*Lower Upper, Numerical recipes*) en deux matrices triangulaires (Méthode de Crout).

$$L \otimes U = A$$

$$\begin{pmatrix} \alpha_{11} & 0 & 0 \\ \alpha_{21} & \alpha_{22} & 0 \\ \alpha_{31} & \alpha_{32} & \alpha_{33} \end{pmatrix} \otimes \begin{pmatrix} \beta_{11} & \beta_{12} & \beta_{13} \\ 0 & \beta_{22} & \beta_{23} \\ 0 & 0 & \beta_{33} \end{pmatrix} = \begin{pmatrix} a_{11} & a_{12} & a_{13} \\ a_{21} & a_{22} & a_{23} \\ a_{31} & a_{32} & a_{33} \end{pmatrix}$$

La résolution du système s'effectue en deux passes :

$$A \otimes x = (L \otimes U) \otimes x = L \otimes (U \otimes x) = b$$

1. rechercher la solution telle que

$$L \otimes y = b$$

2. Puis résoudre

$$U \otimes x = y$$



Programmes – TimMatrixLuDecomposition

```
*****+
/* NAME                                     */
/* TimMatrixLuDecomposition performs the Lower Upper triangular decomposition */
/* of a matrix.                                */
*****+
/* SYNOPSIS                                     */
/* int TimMatrixLuDecomposition (<matrix_dimension>,
/* <matrix_to_be_processed>,                */
/* <permutation_array_to_be_initialized>,    */
/* <parity_of_permutation_order>);           */
*****+
/* DESCRIPTION                                     */
/* TimMatrixLuDecomposition implements the Crout's method with partial pivot. */
/* tng for matrix decomposition.                 */
/* Given a NxN matrix this routine replaces it by the LU decomposition of */
/* rowwise permutation of itself.               */
/* The first two parameters are in input, and describes the matrix to be pro- */
/* cessed. This matrix must be square and already initialized with double. */
/* elements. In the case matrix includes one row full of zeros, function */
/* TimMatrixLuDecomposition returns an error.   */
/* Third parameter (<permutation_array_to_be_initialized>) is an output vector/ */
/* which records the row permutation affected by the partial pivoting. Memory */
/* of this vector must have been previously allocated by caller.            */
/* TimMatrixLuDecomposition is to be used just before TimMatrixLuSubstitution */
/* in order to solve linear equation system.          */
/* Last parameter (<parity_of_permutation_order>) is initialized by function */
/* # if the number of row exchanges is even, and 0 otherwise.      */
/* BIBLIOGRAPHY : W.H. PRESS and al. - Numerical Recipes - Cambridge */
/* University Press - 3rd edition - pp.33-36.          */
/* TimMatrixLuDecomposition returns 0 on success, and -1 otherwise.        */
*****+
/* COPYRIGHTS                                     */
/* Copyrights 1991 by TELESPAZIO S.p.A. - All rights Reserved.          */
/* TELESPAZIO Proprietary - Delivered under License Agreement.          */
/* Copying and Distribution Prohibited Without Express Written Permission From */
/* TELESPAZIO S.p.A.                               */
*****+
/* ADMINISTRATION                                */
/* David DE NARDO | 09.10.92 | v0.0.1 | Creation of the SW component */
/* Giorgio FANARI | 09.10.92 | v0.0.1 | Creation of the SW component */
/* Serge RIAZANOFF | 15.01.93 | v0.1.0 | Tests, comments and validation */
/* David LE CORFEC | 04.03.98 | v0.2.0 | Added ANSI C support */
/* Serge RIAZANOFF | 17.02.00 | v0.2.02 | free (>-> TimFree `) */
/* Serge RIAZANOFF | 17.02.00 | v0.2.03 | 'calllec' (>-> TimAlloc(NULL,`) */
/* Serge RIAZANOFF | 02.03.03 | v0.3.01 | Version without Timh */
*****+
/* ANSI C inclusion files                      */
#include <stdio.h>
#include <stdlib.h>
#include <math.h>

*****+
/* TimMatrixLuDecomposition core              */
*****+
int TimMatrixLuDecomposition
{
    int n;           /* matrix dimension */
    double *matrix; /* matrix,      /* matrix to be decomposed */
    int *index;     /* permutation array to be initialized*/
    int *even_flag_p /* "permutation number is even" flag */
)
{
    /* Local variables */
    int ilin; /* index among lines in matrix */
    int ipx;  /* index among pixels in matrix */
    int k;    /* auxiliary index in matrix */
    int imax; /* pivot index */
    double *scale_factor; /* scaling factor per line */
    double sum; /* sum of matrix elements */
    double value; /* auxiliary variable used for swap */
    double max_value; /* pivot value */
    double scaled_sum; /* pivot value after scaling */
}

*****+
/* Check parameters */
if((matrix == NULL) || (n <= 0) || (index == NULL) || (even_flag_p == NULL))
{
    fprintf(stderr, "TimMatrixLuDecomposition : Wrong parameters [n]");
    return (-1);
}

/* Look for maximum, line per line */
*even_flag_p = 1;
if ((scale_factor=(double*)calloc(n,sizeof(double))) == NULL)
{
    fprintf(stderr, "TimMatrixLuDecomposition : Cannot allocate memory for scale factor[n]");
    return (-1);
}
for (ilin=0; ilin<n; ilin++)
{
    scale_factor[ilin] = 0.0;
    for (ipx=1; ipx<n; ipx++)
        if (fabs(matrix[ilin*n+ipx]) > scale_factor[ilin])
            scale_factor[ilin] = fabs(matrix[ilin*n+ipx]);
    if (scale_factor[ilin] == 0.0)
    {
        fprintf(stderr, "TimMatrixLuDecomposition: Passed matrix is singular [n]");
        if (scale_factor) free(scale_factor);
        scale_factor=NULL;
        return(-1);
    }
    scale_factor[ilin] = 1.0 / scale_factor[ilin];
}

/* Loop on columns in Crout's method */
for (ipx=0; ipx<n; ipx++)
{
    /* Initialize the upper part of the column */
    for (ilin=0; ilin<ipx-1; ilin++)
    {
        sum = matrix[ilin*n+ipx];
        for (k=0; k<=ilin; k++)
            sum = sum - matrix[ilin*n+k] * matrix[k*n+ipx];
        matrix[ilin*n+ipx] = sum;
    }

    /* Initialize the lower part of the column and get pivot position */
    max_value = 0.0;
    imax = ipx;
    for (ilin=ipx; ilin<n; ilin++)
    {
        sum = matrix[ilin*n+ipx];
        for (k=0; k<=ipx-1; k++)
            sum = sum - matrix[ilin*n+k] * matrix[k*n+ipx];
        matrix[ilin*n+ipx] = sum;
        scaled_sum = scale_factor[ilin] * fabs(sum);
        if (scaled_sum >= max_value)
        {
            max_value = scaled_sum;
            imax = ilin;
        }
    }

    /* Permutates elements between lines imax and ipx */
    if (ipx != imax)
    {
        for (k=0; k<n; k++)
        {
            value = matrix[imax*n+k];
            matrix[imax*n+k] = matrix[ipx*n+k];
            matrix[ipx*n+k] = value;
        }
        if (*even_flag_p) *even_flag_p = 0;
        else *even_flag_p = 1;
        scale_factor[imax] = scale_factor[ipx];
    }
    index[ipx] = imax;
}

/* When diagonal element is zero, replace it by tiny value */
if (matrix[ipx*n+ipx] == 0.0) matrix[ipx*n+ipx] = 1.0e-20;

/* Divide line elements by the pivot */
if (ipx != n-1)
{
    value = 1.0 / matrix[ipx*n+ipx];
    for (ilin=ipx+1; ilin<n; ilin++)
        matrix[ilin*n+ipx] = matrix[ilin*n+ipx] * value;
}

/* loop on columns */
/* Release memory */
if (scale_factor) free (scale_factor);
scale_factor = NULL;
/* Return */
return(0);
}
```



Programmes – TimMatrixLuSubstitution

```
/*************************************************************************/
/* NAME                                */
/* TimMatrixLuSubstitution substitutes the right hand B of N equations A.X=B  */
/* with the solution X of the system.                                         */
/*************************************************************************/
/* SYNOPSIS                                */
/* int TimMatrixLuSubstitution (<matrix_dimension>, */
/* <LU_decomposed_matrix>,           */
/* <permutation_array>,             */
/* <righ_hand_side_vector>)          */
/*************************************************************************/
/* DESCRIPTION                                */
/* TimMatrixLuSubstitution implements the Crout's method to solve system of N linear equation A.X=B. */
/* The first two parameters describes the matrix result of the LU decomposition (see function TimMatrixLuDecomposition). This matrix must not be singular (pivot value on the diagonal less than 1.0e-20). */
/* Third parameter (<permutation_array>) is input as the permutation vector returned by TimMatrixLuDecomposition. */
/* Last parameter (<righ_hand_side_vector>) is input as right-hand side vector (B), and returns with the solution vector (X). */
/* TimMatrixLuSubstitution is to be used just after TimMatrixLuDecomposition in order to solve linear equation system. */
/* BIBLIOGRAPHY : W.H. PRESS and al. - Numerical Recipes - Cambridge University Press - 3rd edition - pp.36-37. */
/* TimMatrixLuSubstitution return 0 on success, and -1 otherwise. */
/*************************************************************************/
/* COPYRIGHTS                                */
/* Copyrights 1991 by TELESPAZIO S.p.A. - All rights Reserved */
/* TELESPAZIO Proprietary - Delivered under License Agreement. */
/* Copying and Disclosure Prohibited Without Express Written Permission From */
/* TELESPAZIO S.p.A. */
/*************************************************************************/
/* ADMINISTRATION                                */
/* David DE NARDO | 09/10/92 | v0.0.1 | Creation of the SW component */
/* David DE NARDO | 09/10/92 | v0.0.1 | Creation of the SW component */
/* Serge RIAZANOFF | 15/01/93 | v0.0.1 | Tests, comment and validation */
/* David LE CORFEC | 04/03/98 | v02.01 | Added ANSI C Standard */
/* Serge RIAZANOFF | 02/03/03 | v03.01 | Version without Timh */
/*************************************************************************/
/* ANSI C inclusion files */
#include <stdio.h>
#include <stdlib.h>
#include <math.h>

/* TimMatrixLuSubstitution core */
int TimMatrixLuSubstitution
(
    int      n,          /* matrix dimension */
    double   *matrix,     /* matrix to be decomposed */
    int      *index,      /* permutation array to be initialized */
    double   *right_hand  /* vector in input and output */
)
{
    /* Local variables */
    int      ili;        /* index among lines in matrix */
    int      ili2;       /* index among lines in matrix */
    int      ili3;       /* index among lines in matrix */
    int      ipx;        /* index among pixels in matrix */
    double   sum;        /* sum of matrix elements */
    /* Check parameters */
    if((matrix == NULL) || (n <= 0) || (index == NULL) || (right_hand == NULL))
    {
        fprintf(stderr, "TimMatrixLuSubstitution : Wrong parameters\n");
        return (-1);
    }
    /* Check that the matrix is not singular */
    for(ili=0; ili<n; ili++)
    {
        if(fabs(matrix[ili*n+ili]) <= 1.0e-20)
        {
            fprintf(stderr, "TimMatrixLuSubstitution : Matrix is singular (matrix[%d,%d]=%e)\n",
                    ili,ili,matrix[ili*n+ili]);
            return (-1);
        }
    }
    /* Loop on lines forward */
    ili2 = 1;
    for(ili=0; ili<n; ili++)
    {
        ili3 = index[ili];
        sum = right_hand[ili3];
        right_hand[ili3] = right_hand[ili];
        if(ili2 != -1)
        {
            for(ipx=ili2; ipx<ili-1; ipx++)
                sum = sum - matrix[ili*n+ipx] * right_hand[ipx];
            else
                if(sum != 0.0)
                    ili2 = ili;
                right_hand[ili] = sum;
        }
        /* loop on lines forward */
    }
    /* Loop on lines backward */
    for(ili=n-1; ili>=0; ili--)
    {
        sum = right_hand[ili];
        if(ili < n-1)
        {
            for(ipx=ili+1; ipx<n; ipx++)
                sum = sum - matrix[ili*n+ipx] * right_hand[ipx];
            right_hand[ili] = sum / matrix[ili*n+ili];
        }
        /* loop on lines backward */
    }
    /* Return */
    return (0);
}
```



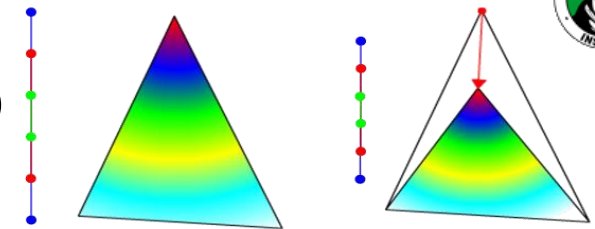
Programmes – TimMatrixSolveSystem - TestMatrixSolveSystem

```
*****  
/* NAME */  
/* TimMatrixSolveSystem solves a system of N equations A.X=B. */  
*****  
/* SYNOPSIS */  
/* int TimMatrixSolveSystem (<matrix_dimension>, */  
/* <system_matrix>, */  
/* <righ_hand_side_vector>, */  
/* <solution_vector>) */  
*****  
/* DESCRIPTION */  
/* TimMatrixSolveSystem implements the Crou's method to solve system of N */  
/* linear equation A.X=B. */  
/* The first three parameters describes the system to be solved. */  
/* Second parameter (<system_matrix>) is the NN square matrix including the */  
/* coefficients of linear equations (A). Coefficients (aij) must be arranged */  
/* in the following order : */  
/* 0 1 N+1 N+2 ... 2N 2N+1 ... */  
/* a00,a10,...,aN0,a11,...,aN1,...,aNN where i represents the */  
/* fine index, and j represents the coefficient index per line. */  
/* Third parameter (<righ_hand_side_vector>) is the known righ-hand side */  
/* vector (B). */  
/* Last parameter (<solution_vector>) returns the values of the unknowns (X). */  
/* Note : */  
/* 1. Third and fourth parameters can points on the same vector. */  
/* 2. <system_matrix> will be altered after TimMatrixSolveSystem completion. */  
/* BIBLIOGRAPHY : W.H. PRESS and al. - Numerical Recipes - Cambridge */  
/* University Press - 3rd edition - pp.33-37. */  
/* TimMatrixSolveSystem returns 0 on success, and -1 otherwise. */  
*****  
/* COPYRIGHTS */  
/* Copyrights 1991 by TELESPAZIO S.p.A. - All rights Reserved. */  
/* TELESPAZIO Proprietary - Delivered under License Agreement. */  
/* Copying and Disclosure Prohibited Without Express Written Permission From */  
/* TELESPAZIO S.p.A. */  
*****  
/* ADMINISTRATION */  
/* David DE NARDO [09.10.92] v0.01 | Creation of the SW component */  
/* Giorgio FANARI [09.10.92] v0.01 | Creation of the SW component */  
/* Serge RIAZANOFF [15.01.93] v0.01 | Test comments and validation */  
/* David LE CORFEC [04.03.98] v0.20 | Added ANSI C support */  
/* Serge RIAZANOFF [17.02.00] v0.20 | free() -> TimFree (' ') */  
/* Serge RIAZANOFF [17.02.00] v0.23 | calloc() -> TimAlloc(NULL, ' ') */  
/* Serge RIAZANOFF [02.03.03] v0.01 | Version without Tim.h */  
*****  
/* ANSI C inclusion files */  
*****  
#include <stdio.h>  
#include <stdlib.h>  
  
*****  
/* TimMatrixSolveSystem core */  
*****  
int TimMatrixSolveSystem  
{  
    int n; /* matrix dimension */  
    double *matrix, /* matrix to be decomposed */  
    double *right_hand, /* system known vector */  
    double *solution /* vector of unknown solutions */  
}  
*****  
/* Local variables */  
*****  
int index; /* permutation array */  
int even_flag; /* "permutation number is even" flag */  
int i; /* vector index */  
*****  
/* Check parameters */  
if (matrix == NULL) ||  
(n <= 0) ||  
(right_hand == NULL) ||  
(solution == NULL))  
{  
    fprintf(stderr, "TimMatrixSolveSystem : Wrong parameters\n");  
    return (-1);  
}  
*****  
/* Allocate memory for permutation array */  
if ((index=(int *)calloc(n,sizeof(int))) == NULL)  
{  
    fprintf(stderr,  
        "TimMatrixSolveSystem : Cannot allocate memory for permutation array\n");  
    return (-1);  
}  
*****  
/* Perform the LU decomposition */  
if ((TimMatrixLUDecomposition(n,matrix,index,&even_flag) != 0)  
{  
    fprintf(stderr,  
        "TimMatrixSolveSystem : Cannot compute LU decomposition\n");  
    if (index) free (index); index=NULL;  
    return (-1);  
}  
*****  
/* Copy right-hand values into solution vector */  
if (solution == right_hand)  
{  
    for (i=0; i<n; i++)  
        solution[i] = right_hand[i];  
}  
*****  
/* Perform the LU substitution */  
if ((TimMatrixLUSubstitution(n,matrix,index,solution) != 0)  
{  
    fprintf(stderr,  
        "TimMatrixSolveSystem : Cannot compute LU substitution\n");  
    if (index) free (index); index=NULL;  
    return (-1);  
}  
*****  
/* Release memory */  
if (index) free (index);  
index = NULL;  
*****  
/* Return */  
return (0);  
}  
  
*****  
/* TimMatrixSolveSystem core */  
*****  
int main  
(  
    int argc, /* number of arguments on command line */  
    char *argv[], /* values of arguments on command line */  
){  
    /* Local variables */  
    double solution[N]; /* solution to be computed */  
    int i; /* vector index */  
    /* Call the TimMatrixSolveSystem function */  
    if ((TimMatrixSolveSystem(N,matrix,right_hand,solution) != 0)  
{  
        fprintf(stderr, "TimMatrixSolveSystem : Cannot solve system.\n");  
        exit (1);  
    }  
    /* Print out the solution values */  
    printf (stdout,"SOLUTION:\n");  
    for (i=0; i<N; i++)  
        printf (stdout,"%d %f\n",i,solution[i]);  
    /* Return */  
    exit (0);  
}
```

Vecteur solution: (2,3,5)

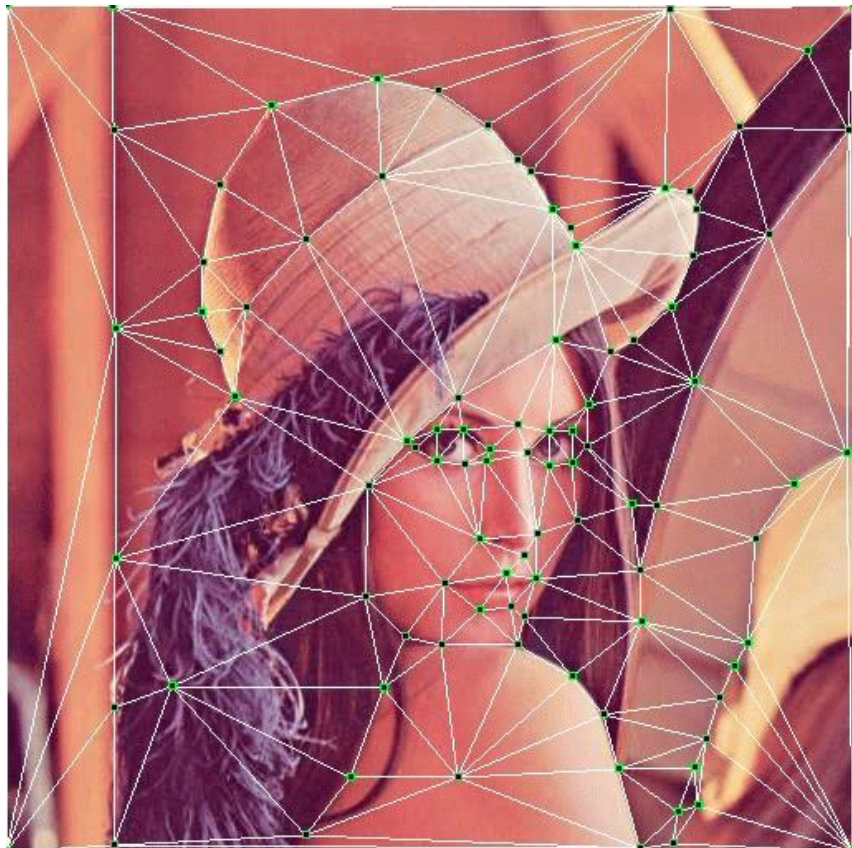
❖ Transformations par facettes (*piecewise*)

- ❖ Saisie des points d'appui
- ❖ Triangulation de Delaunay



D'après les résultats du projet
de Marc MEYNIER et Benoit NEIL (2004)

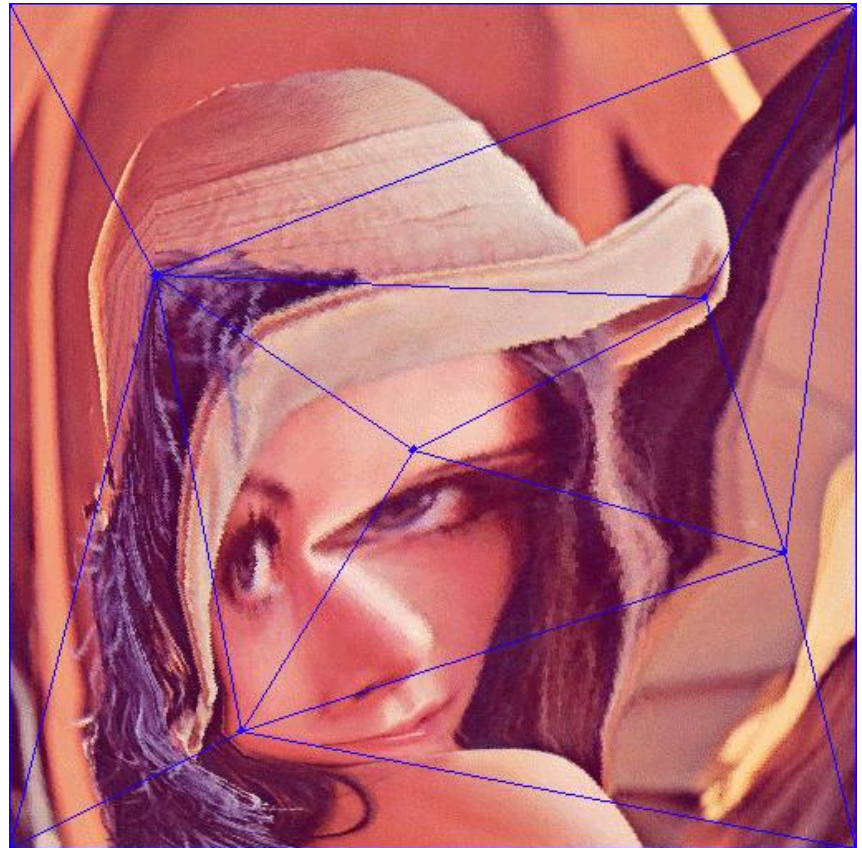
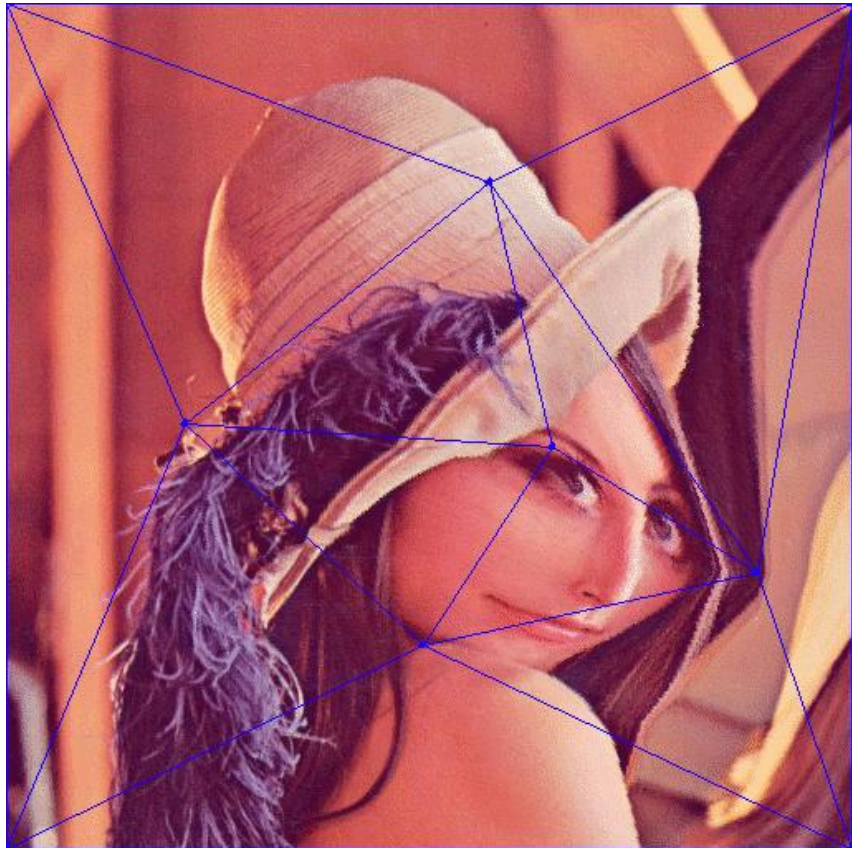
- Transformations par facettes (*piecewise*)
 - Animations



D'après les résultats du projet
de Marc MEYNIER et Benoit NEIL (2004)

◆ Transformations par facettes (*piecewise*)

■ Autres exemples

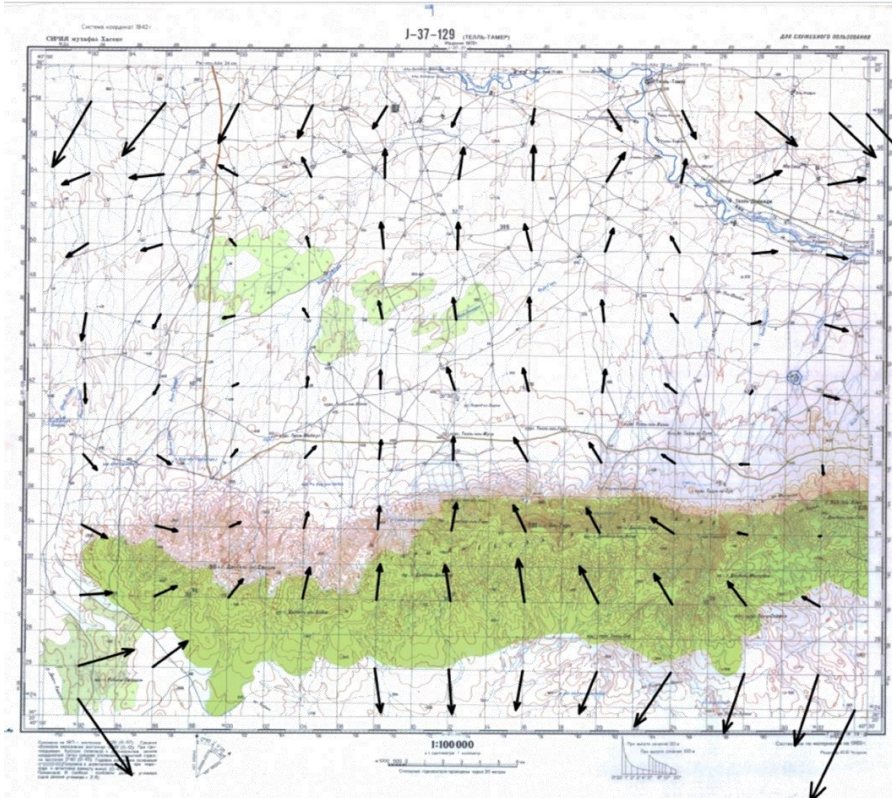


D'après les résultats du projet
de Victor VERRIERE et Daugoh TIVOLI (2004)

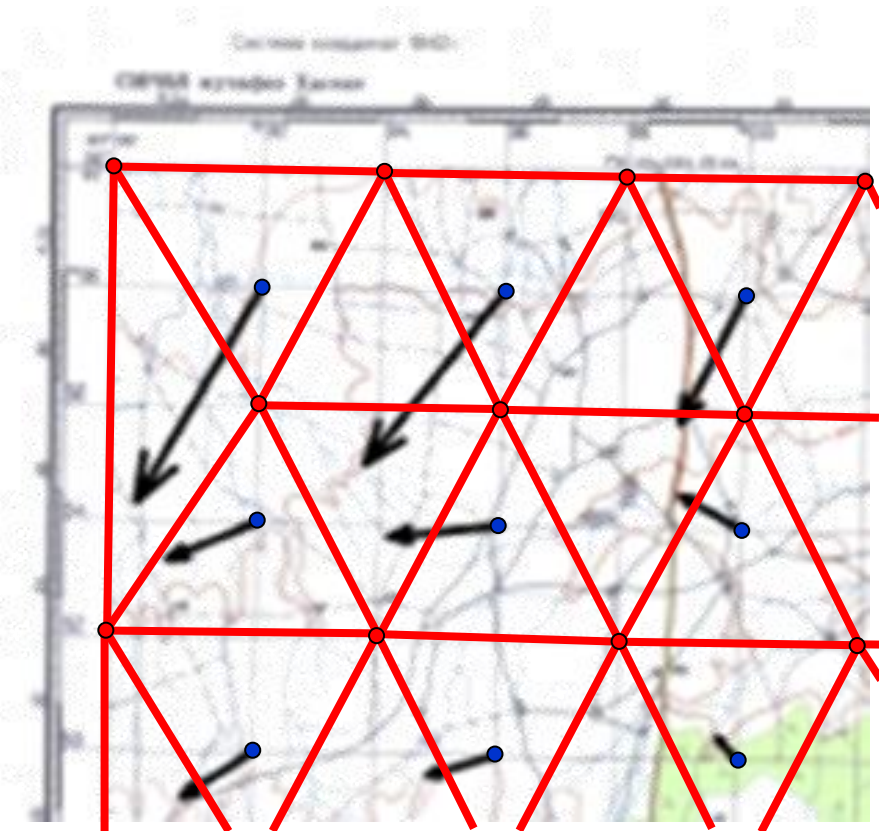


● Transformations par facettes (*piecewise*)

- Application possible au recalage des cartes scannées



Résultats du contrôle qualité d'une image géocodé par une transformation polynomiale de degré 1

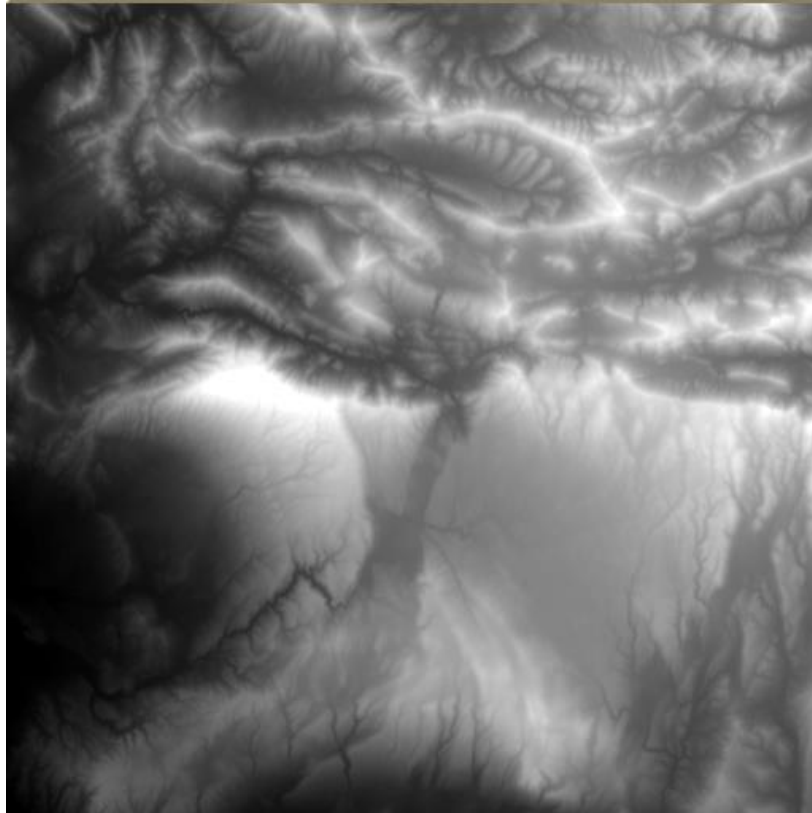


1. Saisir un réseau hexagonal de points d'appui
→ attention l'EQM est nécessairement nulle
2. Après traitement réaliser un contrôle qualité dans le réseau entrelacé
→ l'EQM est significative.

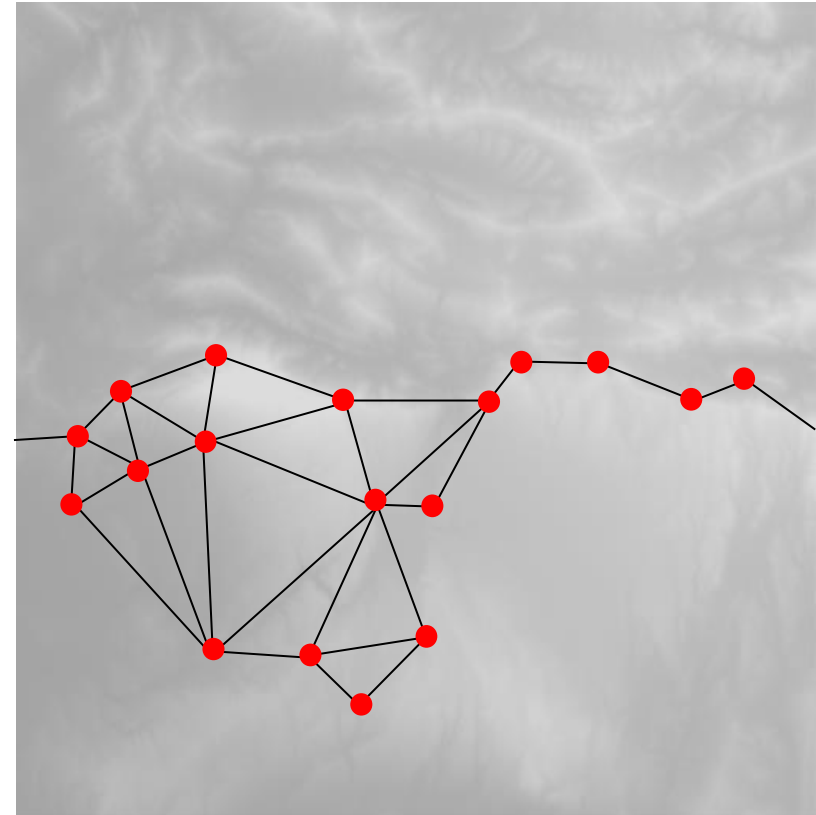


➊ Transformations par facettes (*piecewise*)

- Application très approximative sur une image présentant des erreurs de parallaxe

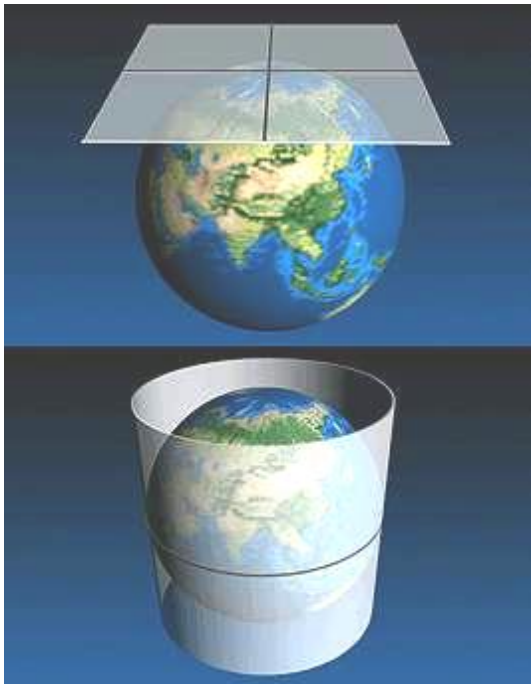


représentation maillée (grille, matrice, *raster*)

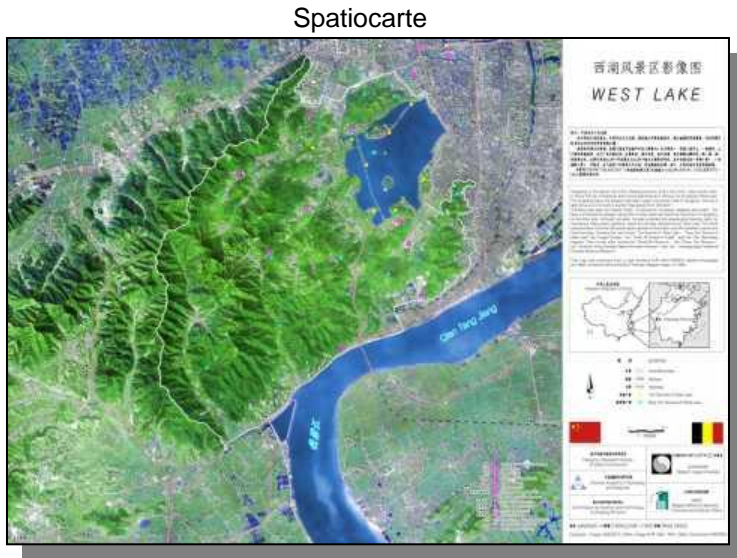


TIN (*Triangular Irregular Network*)

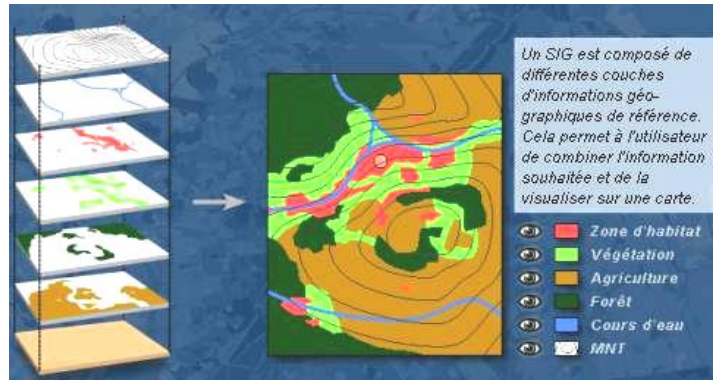
Exemples de transformation géométrique globale – Les changements de projection cartographique



<http://telsat.belspo.be/beo/fr/guide/index.htm>

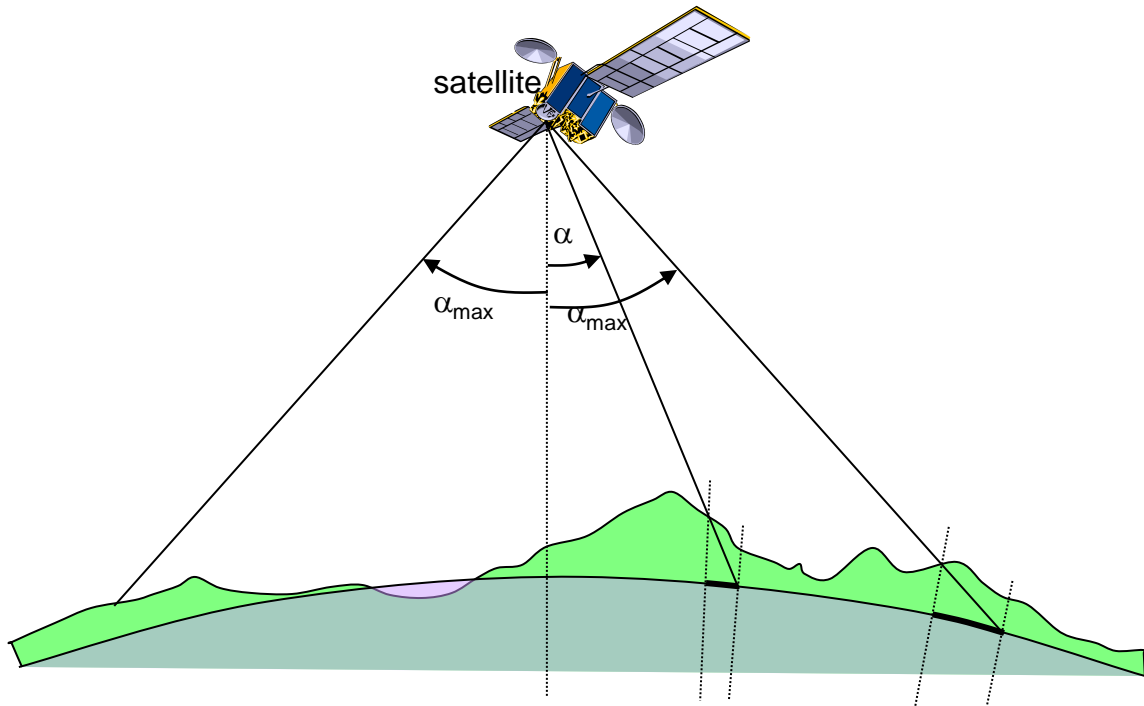


SIG : Système d'Information Géographique



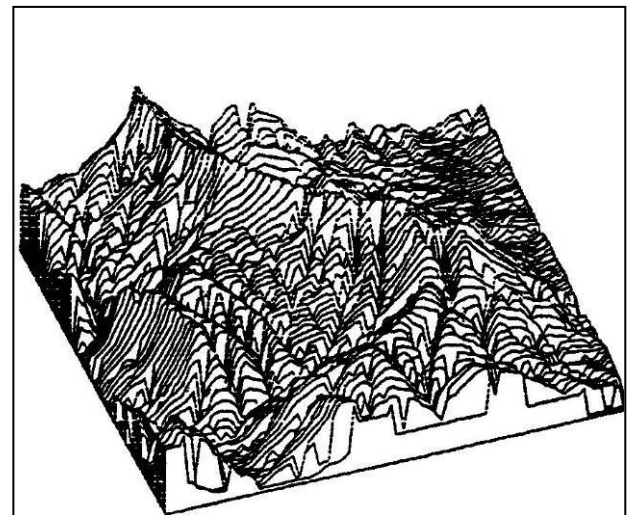
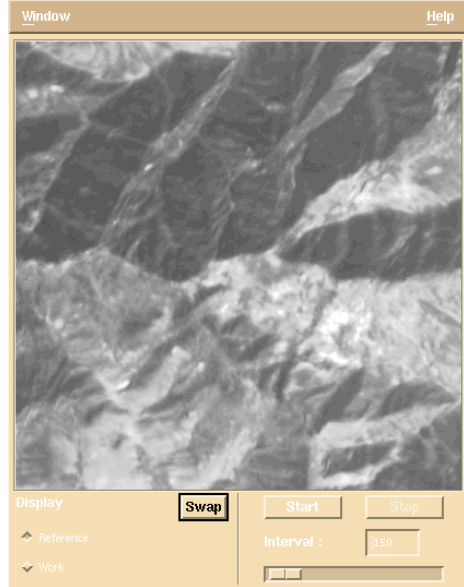
◆ Déformations locales

- Exemple de déformation locale –
⇒ L'orthorectification



Erreur de parallaxe

$$e_p \approx \tan(\alpha) \times h$$



▣ Défaut de parallaxe – Mosaïque de vues aériennes (New-York, Google Earth)



[Retour](#)



● Morphologie mathématique

- notions de topologie / voisinage
- ouverture / fermeture / élément structurant





◆ Bibliographie

- Rafael C. GONZALES, Richard E. WOODS – Digital Image Processing – Prentice Hall – Second edition - 2002.
- Henri MAÎTRE & al. – Le traitement des images – Hermès Science – 2003.
- Stéphane BRES, Jean-Michel JOLION, Franck LEBOURGEOIS – Traitement et analyse des images numériques – Hermès Science – 2003.
- Jean-Pierre COCQUEREZ, Sylvie PHILIPP & al. – Analyse d'images: filtrage et segmentation – Masson – 1995.
- Gregory A. BAXES – Digital Image Processing, Principles and Applications – John Wiley & Sons, Inc. – 1994.
- James B. CAMPBELL – Introduction to Remote Sensing, 2nd edition – Taylor & Francis London – 1996.
- John A. RICHARDS, Xiuping JIA – Remote Sensing Digital Image Analysis, An Introduction, 3rd edition – Springer-Verlag Berlin. – 1999.